

50376  
1983  
293

N° D'ORDRE 1133

50376  
1983  
293

# THESE

Présentée à

L'UNIVERSITE DES SCIENCES ET TECHNIQUES DE LILLE

Pour obtenir le titre de

**DOCTEUR DE TROISIEME CYCLE  
EN GEOLOGIE APPLIQUEE (HYDROGEOLOGIE)**



**ERICK CARLIER**



**INFLUENCE DE LA FRACTURATION SUR LE COMPORTEMENT HYDRODYNAMIQUE  
ET HYDRODISPERSIF DES CALCAIRES PALEOZOIQUES DE L'AVESNOIS (NORD)**



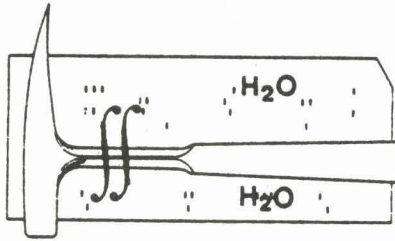
Soutenue le 8 décembre 1983 devant le Jury

<b>MM</b>	<b>J. PAQUET</b>	président
	<b>N. CRAMPON</b>	rapporteur
	<b>CL. DROGUE</b>	 examineurs
	<b>L. KIRALY</b>	
	<b>JP. COLBEAUX</b>	
	<b>M. RAZACK</b>	
	<b>JL. PELLETIER</b>	





\* A MILLETEKE \*





## AVANT-PROPOS

---

La réalisation d'une thèse nécessite les conseils de nombreuses personnes qu'il m'est ici très agréable de remercier.

Tout d'abord, je remercie Monsieur le Professeur PAQUET d'avoir accepté de présider le jury d'examen et d'avoir bien voulu me faire l'honneur de juger ce travail.

J'exprime ma profonde gratitude à Monsieur le Professeur CRAMPON, mon directeur de recherche, qui m'a toujours accordé sa confiance en me laissant une grande liberté dans le travail. Ses avis pertinents, ses remarques constructives ont été essentiels pour la réalisation de ce sujet.

C'est à Monsieur COLBEAUX que je dois mon initiation aux méthodes d'étude de la fracturation dont la connaissance a permis de mener à bien ce travail. Qu'il sache que je n'oublierai jamais la part importante qu'il a eue dans l'aboutissement de cette thèse.

Monsieur le Professeur DROGUE et Monsieur RAZACK ont bien voulu relire mon manuscrit et m'ont fait l'honneur de faire partie du jury. Je les remercie vivement.

Je tiens à remercier Monsieur le Professeur KIRALY dont les travaux sur l'hydrogéologie en milieu fissuré m'ont beaucoup aidé. Je lui suis gré d'avoir accepté de faire partie du jury.

Les entretiens que j'ai eus avec Monsieur PELLETIER m'ont fait apprécier son esprit critique et son profond sens humain. Je le remercie vivement pour l'intérêt qu'il a porté à ce travail.

J'ai toujours trouvé auprès de Monsieur le Professeur MANIA conseils et encouragements, je le remercie sincèrement.

Que Monsieur MAILLOT soit remercié de la confiance qu'il m'a faite en me faisant participer aux travaux de deux de ses étudiants.

Monsieur FIEVET m'a fait découvrir certains aspects cachés de l'Avesnois ; qu'il sache que j'ai beaucoup apprécié sa collaboration.

Que Monsieur LETHIERS sache que j'ai toujours apprécié les trop brèves discussions que nous avons eues ensemble.

Messieurs MILLER, LEDOIGT, FAURE et ROHAN m'ont permis d'accéder aux stations de pompes d'eaux souterraines, leur aide m'a été très précieuse.

Je remercie Monsieur et Madame CUVELIER, ainsi que leurs enfants, pour l'accueil chaleureux qu'il m'ont fait lors de mon travail sur le terrain.

Que Messieurs BLANC et GEORGE sachent que j'ai toujours apprécié l'intérêt qu'ils ont porté à cette étude.

J'exprime toute mon amitié à B. DROZ, G. POREL, C. PREAUX, M. VREULX, R. LEMPEREUR, J.P. SOLEAU... dont la présence m'a permis de travailler dans la bonne humeur.

Je voudrais remercier Mesdemoiselles FONTAINE et MULIER qui ont eu la lourde charge de déchiffrer ce manuscrit et d'en assurer la dactylographie.

Je tiens à remercier Madame PAILLARD dont la gentillesse est très appréciée au laboratoire.

J'exprime mes remerciements aux Professeurs, Maîtres-Assistants et Assistants de l'U. E. R. qui m'ont fait découvrir les divers aspects de la Géologie.

Je remercie la D. G. R. S. T. pour l'aide financière accordée pendant deux ans.

Enfin, c'est à CAROLE que je dédie cette thèse.

- SOMMAIRE -

RESUME.....19

ABSTRACT.....20

PREMIERE PARTIE : ASPECT FONDAMENTAL DE L'HYDRODYNAMIQUE ET DONNEES  
HYDRODISPERSIVES EN MILIEU FISSURE

I. SYNTHÈSE BIBLIOGRAPHIQUE SUR L'HYDRODYNAMIQUE EN MILIEU FISSURE.....	23
1.1. Loi de Darcy.....	23
1.2. Porosité.....	24
1.3. Limites de validité de la loi de Darcy pour son emploi en milieu fissuré.....	24
1.4. Perméabilités relatives aux conduits cylindriques et aux fissures.....	27
1.4.1. Conduits cylindriques.....	27
1.4.2. Fissures.....	29
1.5. Perméabilité en milieu anisotrope.....	29
1.6. Écoulement transitoire en milieu fissuré.....	33
1.7. Conclusion.....	33
II. EXPRESSION DE TENSEUR DE PERMEABILITE D'UN MILIEU A FISSURES ET A CONDUITS CYLINDRIQUES.....	34
III. MILIEUX EQUIVALENTS A GEOMETRIE SIMPLE.....	35
3.1. Introduction.....	35
3.2. Cas de N familles de fissures à ouvertures et fréquences différentes.....	35
3.2.1. Conclusion 1.....	38
3.2.2. Conclusion 2.....	39
3.3. Cas de N familles de conduits cylindriques à diamètres et fréquences différents.....	39
3.3.1. Conclusion 3.....	39
3.3.2. Conclusion 4.....	40
3.4. Choix des facteurs fréquence et ouverture.....	40
IV. CALCUL DES PERMEABILITES DIRECTIONNELLES, DES VITESSES ET DES GRADIENTS HYDRAULIQUES EN MILIEU ANISOTROPE - PROGRAMME CPVGRHMA....	43
4.1. Calcul des perméabilités directionnelles.....	43
4.2. Calcul des vitesses.....	44
4.3. Calcul des gradients hydrauliques.....	45
4.4. Programme CPVGRHMA.....	46
V. PROGRAMMES TENFY-TENCY.....	48
5.1. Introduction.....	48





9.2.3.	Méthode de relevé sur le terrain.....	78
9.2.4.	Etude statistique des données de terrain.....	78
9.2.5.	Schéma structural.....	81
9.2.6.	Représentativité des mesures à l'échelle du synclinorium	83
9.2.6.1.	Introduction.....	83
9.2.6.2.	Etude des fluctuations de la fracturation.....	83
9.2.6.3.	Commentaires.....	85
9.3.	Corrélation entre fracturation et géomorphologie.....	85
9.3.1.	Introduction.....	85
9.3.2.	Etude qualitative.....	85
9.3.3.	Etude quantitative.....	87
9.3.3.1.	Relation entre fracturation et cours d'eau.....	87
9.3.3.2.	Relation entre fracturation et vallées sèches.....	88
9.3.3.3.	Relation entre vallées sèches et cours d'eau.....	91
9.3.3.4.	Exemples d'utilisation des droites de régression.....	91
9.3.4.	Conclusion.....	92
9.4.	Hydrogéologie.....	92
9.4.1.	Ressource en eau du synclinorium.....	92
9.4.2.	Etude hydrodynamique et hydrodispersive.....	93
9.4.2.1.	Choix du modèle.....	93
9.4.2.2.	Les perméabilités directionnelles.....	94
9.4.2.3.	Etude d'une série Viséen moyen-Viséen supérieur	96
9.4.2.4.	Zones d'alimentation des captages.....	100
9.4.3.	Traçages.....	105
9.4.3.1.	Résultats.....	105
9.4.3.2.	Essai d'interprétation en milieu fissuré.....	106
9.4.3.3.	Validité des zones d'alimentation.....	113
X.	SYNCLINAL DE SARS-POTERIE.....	115
10.1.	Géologie.....	115
10.2.	Détermination des perméabilités principales à partir des traits morphologiques.....	115
10.3.	Zones d'alimentation des captages.....	118
10.4.	Traçages.....	120
XI.	MONOCLINAL DE TRELON.....	123
11.1.	Géologie.....	123
11.2.	Site expérimental de Moranrieux.....	123
11.2.1.	Pompages d'essai.....	123
11.2.1.1.	Résultats.....	123
11.2.1.2.	Interprétation à partir des données de fracturation.....	124
11.2.2.	Traçages.....	127
11.2.2.1.	Résultats.....	127
11.2.2.2.	Relation avec la fracturation.....	129
11.2.2.3.	Interprétation selon la fonction intrinsèque au terrain $g(x)$ telle que $D_L(t) = Ve^{3/2} \times g(x)$ .....	129
11.2.2.4.	Simulation de l'évolution spatio-temporelle d'un traceur en écoulement monodimensionnel non uniforme (Programme SIMEVOT)	
11.2.2.4.1.	Modelisation.....	134
11.2.2.4.2.	Ordinogramme du programme SIMEVOT	135
11.2.2.4.3.	Exemple de simulation.....	136





- LISTE DES FIGURES -

Fig. 1.- Domaines de validité des lois d'écoulement dans les fissures ou les conduits (d'après C. Louis).....	26
Fig. 2.- Carte géologique simplifiée de l'Avesnois (d'après Delporte, 1979).....	69
Fig. 3.- Schéma géologique du synclinorium de Bachant.....	73
Fig. 4.- Colonne stratigraphique du synclinorium de Bachant (d'après la notice de la carte géologique d'Avesnes à 1/50 000).....	74
Fig. 5.- Représentation stéréographique des axes synclinaux et anticlinaux du synclinorium de Bachant.....	76
Fig. 6.- Représentation stéréographique de la fracturation du synclinorium de Bachant.....	79
Fig. 7.- Schéma structural du synclinorium de Bachant.....	82
Fig. 8, 9, 10 et 11.- Relation entre traits morphologiques et fracturation.....	86-91
Fig. 12.- Directions des perméabilités principales du synclinorium de Bachant.....	95
Fig. 13.- Colonne stratigraphique du Viséen moyen et du Viséen supérieur....	97
Fig. 14, 15, 16 et 17.- Zones d'alimentation des captages du synclinorium de Bachant.....	101
Fig. 18, 19, 20 et 21.- Résultats des traçages effectués au niveau du synclinorium de Bachant.....	107
Fig. 22.- Schéma géologique du synclinal de Sars-Poteries (d'après la carte géologique de Trélon à 1/50 000).....	115
Fig. 23.- Zones d'alimentation des captages du synclinal de Sars-Poteries....	119
Fig. 24 et 25.- Résultats des traçages effectués au niveau du synclinal de Sars-Poteries.....	121
Fig. 26.- Schéma géologique du monoclinale de Trélon (d'après la carte géologique de Trélon à 1/50 000).....	123
Fig. 27.- Projet d'implantation piézométrique.	122
Fig. 28 et 29.- Résultats des traçages effectués au niveau du site expérimental de Moranrieux.....	128
Fig. 30.- Evolution temporelle de la fonction de dispersion longitudinale $D_L(t)$ .....	132
Fig. 31 et 32.- Résultats des traçages effectués au niveau du monoclinale de Trélon.....	141
Fig. 33.- Zones d'alimentation du captage de Wallers-Trélon.....	139
Fig. 34.- Courbes de restitution d'un traceur injecté instantanément en écoulement convergent et en fonction du nombre de Peclet.....	176
Fig. 35.- Courbes de restitution d'un traceur injecté instantanément en écoulement convergent et en fonction du temps de convection.....	176



- LISTE DES TABLEAUX -

Tabl. 1.- Principaux aquifères de l'Avesnois.....	68
Tabl. 2.- Azimut de l'axe des plis du synclinorium de Bachant.....	77
Tabl. 3.- Tableau synthétique de données de fracturation.....	80
Tabl. 4.- Représentativité des mesures à l'échelle du synclinorium de Bachant pour les fractures à forte pente.....	84
Tabl. 5.- Représentativité des mesures à l'échelle du synclinorium de Bachant pour les fractures à faible pente.....	84
Tabl. 6.- Relation entre fracturation et cours d'eau.....	87
Tabl. 7.- Influence de la stratification sur les cours d'eau.....	88
Tabl. 8.- Relation entre fracturation et vallées sèches.....	88
Tabl. 9.- Influence de la stratification sur les vallées sèches.....	89
Tabl. 10.- Tableau synthétique des relations entre traits morphologiques et fracturation.....	91
Tabl. 11.- Prélèvements en m <sup>3</sup> d'eau effectués au niveau du synclinorium de Bachant de 1977 à 1981.....	93
Tabl. 12.- Perméabilités principales du synclinorium de Bachant.....	94
Tabl. 13.- Fracturation de la série Viséen moyen-Viséen supérieur.....	99
Tabl. 14.- Perméabilités principales de la série Viséen moyen-Viséen supérieur.....	99
Tabl. 15.- Description lithologique de la série Viséen moyen-Viséen supérieur.....	98
Tabl. 16.- Interprétation globale des traçages effectués au niveau du synclinorium de Bachant.....	105
Tabl. 17.- Interprétation du traçage 1 par décomposition en courbes unimodales.....	109
Tabl. 18.- Relation non univoque entre porosité et perméabilité.....	110
Tabl. 19.- Interprétation du traçage 1 en fonction de la fracturation.....	110
Tabl. 20.- Détermination du régime d'écoulement relatif au traçage 3.....	111
Tabl. 21.- Détermination du régime d'écoulement relatif au traçage 4 dans l'hypothèse du milieu fissuré.....	112
Tabl. 22.- Comparaison entre les directions réelles et les directions calculées de l'écoulement souterrain.....	113
Tabl. 23.- Détermination de la fracturation à partir des traits morphologiques au niveau du synclinal de Sars-Poteries.....	116
Tabl. 24.- Comparaison entre les rapports des pourcentages des familles de fractures du synclinal de Sars-Poteries et ceux du synclinorium de Bachant.....	117
Tabl. 25.- Vitesses de Darcy et perméabilités calculées au niveau du synclinal de Sars-Poteries.....	118
Tabl. 26.- Résultats des traçages effectués au niveau du synclinal de Sars-Poteries.....	120

Tabl. 27.- Résultats des pompages d'essai effectués sur le site de Moranrieux.....	124
Tabl. 28.- Résultats des traçages effectués sur le site de Moranrieux.....	127
Tabl. 29.- Calcul de la dispersivité relative au traçage 13 pour le débit 73 m <sup>3</sup> /h à partir de celle obtenue pour le débit 44 m <sup>3</sup> /h.....	131
Tabl. 30.- Evolution temporelle de la dispersivité pour les débits 44 m <sup>3</sup> /h et 73 m <sup>3</sup> /h.....	133
Tabl. 31.- Evolution spatio-temporelle de la concentration (simulation du traçage 14).....	137
Tabl. 32.- Vitesse de Darcy et perméabilités calculées au niveau du monoclinale de Trélon.....	138
Tabl. 33.- Résultats des traçages effectués au niveau du monoclinale de Trélon.....	140
Tabl. 34.- Domaine de définition des abaques utilisés pour l'interprétation des traçages.....	173
Tabl. 35, 36, 37, 38 et 39.- Bilan hydrogéologique du synclinorium de Bachant de 1977 à 1981.....	181



- LISTE DES SYMBOLES LATINS -

- a : ouverture de la fissure (L).
- A : section de la colonne de sable ( $L^2$ ).
- C : concentration ( $ML^{-3}$ ).
- $C_{\max}$  : concentration maximale du traceur dans l'eau ( $ML^{-3}$ ).
- C' : coefficient de rugosité de la fissure.
- C'' : constante de Chezy ( $L^{0,5} T^{-1}$ ).
- d : coefficient de diffusion moléculaire ( $L^2 T^{-1}$ ).
- $d_i$  : diamètre du conduit cylindrique i (L).
- $d_h$  : diamètre hydraulique de la fissure (L).
- $D_L$  : coefficient de dispersion longitudinale ( $L^2 T^{-1}$ ).
- $D_T$  : coefficient de dispersion latérale ( $L^2 T^{-1}$ ).
- $D_m$  : tenseur de dispersion ( $L^2 T^{-1}$ ).
- $\bar{D} = D_m + d$  : tenseur de dispersion apparent ou équivalent ( $L^2 T^{-1}$ ).
- e : épaisseur d'aquifère (L).
- f : fréquence des fissures ( $L^{-1}$ ) ou des conduits cylindriques ( $L^{-2}$ ).
- F : degré de séparation de la fissure.
- g : accélération due à la pesanteur ( $LT^{-2}$ ).
- h : charge hydraulique (L).
- $\vec{i}$  : gradient hydraulique.
- i : module du gradient hydraulique.
- $\vec{i}_p$  : projection du gradient hydraulique sur le plan de fissure ou sur l'axe du conduit cylindrique.
- (100)  
(010)  
(001)
- I : matrice unité
- $\vec{j}$  : gradient hydraulique unitaire.
- K : perméabilité ( $LT^{-1}$ ).
- $\bar{K}$  : tenseur de perméabilité ( $LT^{-1}$ )
- $K_x, K_y, K_z$  : perméabilité selon les directions  $O_x, O_y, O_z$  dans un repère direct  $(O, X, Y, Z)$  ( $LT^{-1}$ ).
- l : longueur du tronçon i (L).
- $\vec{m}$  : direction du conduit cylindrique.
- M : masse de traceur injectée (M).
- $\vec{n}$  : normale au plan de fracture.
- P : nombre de Peclet.
- $P_m$  : périmètre mouillé (L).
- Q : débit ( $L^3 T^{-1}$ ).

$r$  : distance au puits (L).  
 $R_e$  : nombre de Reynolds.  
 $R$  : coefficient de retard.  
 $S$  : surface mouillée ( $L^2$ ).  
 $S_e$  : coefficient d'emmagasinement.  
 $S_s$  : coefficient d'emmagasinement spécifique.  
 $t$  : temps (T).  
 $T$  : transmissivité ( $L^2 T^{-1}$ ).  
 $t_a$  : temps d'arrivée du traceur (T).  
 $t_c$  : temps de transfert par convection pure (T).  
 $t_{c \max}$  : temps relatif à la concentration maximale (T) (temps modal).  
 $t_R$  : temps réduit ( $\frac{t}{t_c}$ ).  
 $\vec{V}$  : vecteur vitesse de Darcy.  
 $V$  : module du vecteur vitesse de Darcy ( $LT^{-1}$ ).  
 $V_e$  : vitesse effective ( $LT^{-1}$ ).  
 $V_{c \max}$  : vitesse correspondant à  $t_{c \max}$  ( $LT^{-1}$ ) (vitesse modale).  
 $V_{\max}$  : vitesse maximale ( $LT^{-1}$ ).  
 $\vec{v}$  : vecteur vitesse unitaire.  
 $x$  : distance entre point d'injection et point de surveillance (L).  
 $x, y, z$  : coordonnées dans le repère (o, x, y, z).

- LISTE DES SYMBOLES GRECS -

- $\alpha_t$  : dispersivité longitudinale (L).  
 $\alpha_T$  : dispersivité latérale (L).  
 $\alpha'$  : angle entre gradient hydraulique et écoulement souterrain.  
 $\beta$  : angle entre la vitesse et la plus grande perméabilité principale.  
 $\gamma$  : rapport entre l'aire des plans de fissures et le volume du milieu ( $L^{-1}$ ).  
 $\Delta_L$  : longueur de la colonne de sable (L).  
 $\Delta_t$  : pas de temps (T).  
 $\Delta_x$  : côté de la maille (L).  
 $\varepsilon$  : hauteur des protubérances de la fissure ou du conduit (L).  
 $\theta$  : angle entre gradient hydraulique et la plus grande perméabilité principale.  
 $\nu$  : viscosité cinématique ( $L^2 T^{-1}$ ).  
 $\phi$  : potentiel hydraulique ( $\rho \cdot h$ ) (L).  
 $\phi_{d'm}$  : masse échangée par unité de surface de contact entre eau et solide ( $ML^{-2} T^{-1}$ ) et par unité de temps.  
 $\omega$  : porosité totale.  
 $\omega_c$  : porosité cinématique.  
 $\omega_e$  : porosité efficace.  
 $\omega_m$  : porosité de la matrice.  
 $\omega'$  : fraction d'eau immobile ou teneur en eau immobile.

- RESUME -

Les formations primaires de l'Avesnois (Nord de la France) étant essentiellement constituées de calcaires compacts fissurés, leur comportement hydraulique est loin d'obéir aux lois qui régissent les écoulements en milieu poreux isotrope; en effet, le domaine de validité de la loi de Darcy est très limité pour le milieu fissuré. La première partie rappelle les différentes lois d'écoulement en milieu fissuré avec leur domaine de définition ; expose une méthode de représentation d'un milieu fissuré quelconque par un milieu, à géométrie simple, constitué de fissures et de conduits cylindriques dans l'hypothèse où la dimension des blocs fracturés est négligeable devant celle des secteurs étudiés ; présente une détermination algébrique des vecteurs gradient hydraulique et vitesse en milieu anisotrope et, enfin, traite le problème des variations piézométriques au sein d'une fissure pour les différents types d'écoulement.

La deuxième partie porte sur l'étude de la fracturation permettant de déterminer le tenseur de perméabilité ; afin de généraliser l'étude à des secteurs où l'absence d'affleurement ne permettait pas d'obtenir ce tenseur, une étude corrélatrice a été effectuée entre traits morphologiques et fracturation, étude de laquelle ont pu être tirées des lois de régression qui ont permis de quantifier la fracturation non visible. La connaissance du gradient hydraulique et du tenseur de perméabilité a permis de déterminer la direction du vecteur vitesse d'écoulement, non colinéaire au vecteur gradient hydraulique, et, donc, de déterminer les zones d'alimentation des captages. Des traçages ont permis de vérifier la validité de ces zones ; de plus, ils ont été étudiés dans différentes hypothèses d'écoulement et il s'est avéré que l'écoulement laminaire parallèle ne rendait pas compte des faits expérimentaux. Le site expérimental de Moranrieux a permis d'analyser deux pompages d'essai dont les résultats aberrants dans l'hypothèse du régime laminaire parallèle s'expliquent dans l'hypothèse de changement et de superposition de régimes d'écoulement ; l'analyse des traçages effectués sur ce site a permis d'élaborer un modèle mathématique qui rend compte de façon acceptable du transfert de traceur en écoulement convergent.



- ABSTRACT -

Avesnois' paleozoic formations (North of France) are mostly made of cracked and compact limestones ; their hydraulic behaviours are enough distant of Darcy's laws one established for isotropic porous media. The first part reminds the different flow laws in cracked media with their validity domain ; shows how to represent any sort of cracked media by a simple geometrical cracked one with the hypothesis where the block size is neglectable compared to the studied districts' one, points out an algebraic determination of hydraulic gradient and specific discharge vectors in anisotropic media, and treats variation piezometric levels in a crack for the different flow kinds.

The second part is about cracked state enables to compute hydraulic conductivity tensor ; in order to extend the study to districts where the outcrop absence didn't enable to get the tensor, a correlation between cracks and geomorphology has been studied ; this study enabled to get regression equations which enabled to quantify invisible cracked state. The hydraulic gradient and hydraulic conductivity tensor knowledge enables to get specific discharge vector direction and, then, to get catch water alimentation zones. Uranine injections enabled to verify zones validity ; these injections have been studied in different flow hypothesis, and it appeared that the Darcy's flow hypothesis didn't agree with the experimental facts. The experimental site of Moranrieux enabled to analyse two pumping tests data which the results, erroneous in Darcy's flow hypothesis, are explicable in the change and superposition flow kinds hypothesis ; the analyse of injection done on this site enabled to work out mathematical model which acceptably simulates the mass transfert in convergent flow.



PREMIERE PARTIE

ASPECT FONDAMENTAL DE L'HYDRODYNAMIQUE  
ET DONNEES HYDRODISPERSIVES EN MILIEU FISSURE





## I. SYNTHÈSE BIBLIOGRAPHIQUE SUR L'HYDRODYNAMIQUE EN MILIEU FISSURE

### 1-1 Loi de DARCY

En 1856, DARCY réalise une série d'expériences sur colonnes de sables en vue d'étudier les lois d'écoulements en milieu poreux et il en déduit la loi suivante :

$$Q = - KA \frac{\phi_1 - \phi_2}{\Delta L}$$

Q : débit filtrant ( $L^3T^{-1}$ )

K : perméabilité ( $LT^{-1}$ )

A : section de la colonne de sable ( $L^2$ )

$\Delta L$  : longueur de la colonne de sable

$\phi_1 - \phi_2$  : différence de potentiel hydraulique entre les deux niveaux d'eau, exprimé en unité de longueur.

La vitesse de filtration ou vitesse de DARCY est :

$$V = - K \frac{\phi_1 - \phi_2}{\Delta L} = \frac{Q}{A} \quad (LT^{-1})$$

Si l'on considère un milieu anisotrope, la perméabilité varie selon les directions de l'espace et la loi de DARCY se généralise de la manière suivante :

$$\vec{V} = K \overrightarrow{\text{grad}} \phi$$

$$\vec{V} \begin{pmatrix} (V_x) \\ (V_y) \\ (V_z) \end{pmatrix} / \begin{cases} \{V_x = - K_{xx} \frac{\partial \phi}{\partial x} - K_{xy} \frac{\partial \phi}{\partial y} - K_{xz} \frac{\partial \phi}{\partial z} \\ \{V_y = - K_{yx} \frac{\partial \phi}{\partial x} - K_{yy} \frac{\partial \phi}{\partial y} - K_{yz} \frac{\partial \phi}{\partial z} \\ \{V_z = - K_{zx} \frac{\partial \phi}{\partial x} - K_{zy} \frac{\partial \phi}{\partial y} - K_{zz} \frac{\partial \phi}{\partial z} \end{cases}$$

On est donc amené à utiliser la notion de tenseur pour exprimer le paramètre perméabilité :

$$\overline{K} = \begin{pmatrix} (K_{xx} & K_{xy} & K_{xz}) \\ (K_{yz} & K_{yy} & K_{yz}) \\ (K_{zx} & K_{zy} & K_{zz}) \end{pmatrix}$$

$\overline{K}$  est un tenseur symétrique, défini positif :

$$K_{i,j} = K_{j,i}$$

$$(\bar{K} \cdot \vec{X}) \cdot \vec{X} \geq 0 \iff \lambda_1, \lambda_2, \lambda_3 \text{ CR}^{+3}$$

$\lambda_1, \lambda_2, \lambda_3$  étant les valeurs propres du tenseur.

### 1-2 Porosité

La notion de porosité est liée à la notion de vide dans la roche ; on définit plusieurs porosités :

$$\text{porosité totale : } \omega = \frac{\text{volume des vides}}{\text{volume total de la roche}}$$

$$\text{porosité efficace : } \omega_e = \text{fraction d'eau mobile d'un milieu saturé se désaturant par drainage.}$$

$$\text{porosité cinématique : } \omega_c = \frac{\text{vitesse de DARCY}}{\text{vitesse effective}}$$

La vitesse de DARCY est égale au débit rapporté à la section totale, solide et vide du matériau. Elle est encore désignée sous le nom de vitesse apparente ou de filtration. En réalité, les eaux souterraines circulent uniquement à travers les vides ; la section d'écoulement est donc limitée aux vides et plus exactement à la section libre des vides (l'eau piégée dans les pores fermés et l'eau liée par force électrostatique aux parois n'interviennent pas dans la circulation). Conceptuellement, la porosité cinématique et la porosité efficace sont très proches, mais elles ne doivent pas être confondues : l'une étant définie comme un rapport de vitesses, l'autre comme un rapport de volumes.

Certains auteurs donnent une définition qui semble être la meilleure :  $\omega_e$  et  $\omega_c$  sont toutes deux définies comme étant le rapport du volume des vides où l'eau circule et du volume total de la roche ; mais  $\omega_c$  représente la fraction d'eau mobile en milieu saturé alors que  $\omega_e$  représente la fraction d'eau mobile d'un milieu saturé se désaturant par drainage.

En milieu poreux, la porosité est une porosité d'interstice alors qu'en milieu fissuré, la porosité est une porosité de fissure, à laquelle s'ajoute une porosité d'interstice si la matrice est poreuse.

### 1-3 Limites de validité de la loi de DARCY pour son emploi en milieu fissuré à matrice de bloc imperméable

La loi de DARCY indique une relation linéaire entre la vitesse



de filtration et le gradient hydraulique. Rechercher la validité de la loi de DARCY revient donc à examiner si cette relation linéaire est vérifiée.

C. LOUIS (1968) cité par A. MANGIN (1975) estime qu'en terrains fissurés aquifères, l'écoulement peut être considéré comme cylindrique ; ce qui conduit à étudier les limites de la linéarité des pertes de charge (gradient hydraulique) en fonction du régime d'écoulement défini à partir du nombre de Reynolds.

$$Re = \frac{Vd}{\nu}$$

$V$  : vitesse moyenne dans le conduit ( $LT^{-1}$ )

$d$  : diamètre du tube (L)

$\nu$  : viscosité cinématique ( $L^2T^{-1}$ )

Pour une fissure, le nombre de Reynolds s'exprime en fonction du diamètre hydraulique de la fissure défini par le rapport entre la surface de la section perpendiculaire à l'écoulement et son périmètre. Pour une fissure de hauteur unité et d'ouverture  $a$

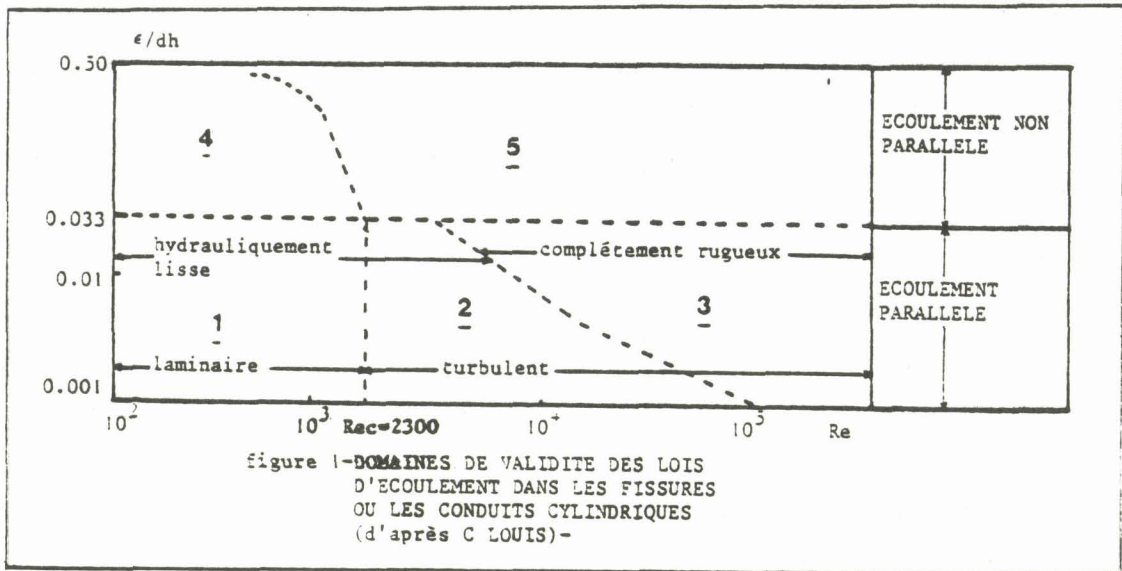
$$d_h = \frac{a}{2(1+a)}$$

Lorsque la largeur de la fissure peut être négligée devant la hauteur,

$$\text{alors } d_h = \frac{a}{2}$$

Si l'on compare une fissure d'ouverture  $a$  et un conduit cylindrique de diamètre  $d$  ayant même diamètre hydraulique, on en déduit la relation suivante :  $d = 2a$  ; on peut donc introduire le paramètre  $a$  dans l'expression du nombre de Reynolds :  $Re = \frac{2aV}{\nu}$

C. LOUIS (1967) définit les domaines de validité des lois d'écoulements dans les fissures ou les conduits, en étudiant la fonction :  $\frac{\epsilon}{d_h} = f(Re)$  où  $\epsilon$  est la hauteur des protubérances auxquelles est liée la rugosité ou la sinuosité des parois, par rapport à un plan de référence sur lequel est défini  $d_h$  (figure 1) :



Tout d'abord a été défini le nombre de Reynolds critique séparant le régime laminaire du régime turbulent. LOUIS propose  $Re_c = 2300$  pour des fissures lisses.

pour  $\varepsilon/dh \leq 0,033$  l'écoulement est dit parallèle,  $Re_c = 2300$

pour  $\varepsilon/dh > 0,033$  l'écoulement est dit non parallèle,  $Re_c$  diminue.

$$\text{Domaine 1 : } V = + \frac{ga^2}{12\nu} i$$

$$\text{Domaine 2 : } V = + \left[ \frac{g}{0,079} \left( \frac{2}{\nu} \right)^{0,25} \frac{5/4}{a} \right]^{4/7} i^{4/7}$$

$$\text{Domaine 3 : } V = + 4 \sqrt{ga} \left( \log \frac{3,7}{\varepsilon/dh} \right) \sqrt{i}$$

$$\text{Domaine 4 : } V = + \frac{ga^2}{12\nu \left[ 1 + 8,8 \left( \frac{\varepsilon}{dh} \right)^{1,5} \right]} i$$

$$\text{Domaine 5 : } V = + 4 \sqrt{ga} \log \left( \frac{1,9}{\varepsilon/dh} \right) \cdot \sqrt{i}$$

Il apparaît donc qu'il n'y a linéarité que pour l'écoulement laminaire. L'écoulement devient turbulent pour des valeurs de vitesse dites vitesses critiques. De l'expression du nombre de Reynolds, on en tire l'expression de la vitesse de filtration,

$$v = \frac{Re \nu}{2a}$$



En écoulement parallèle, pour que l'écoulement soit laminaire, il faut donc que la vitesse de filtration soit inférieure à  $\frac{v \times 2300}{2a}$ , en écoulement non parallèle la vitesse de filtration doit être inférieure à  $\frac{v \times 300}{2a}$ .

Les résultats des travaux de G. CHAUVETEAU (1965) cité par A. MANGIN sur le milieu poreux restreignent encore plus le domaine de validité de la loi de DARCY :

- $R_e < 1$  : écoulement laminaire à perte de charge linéaire
- $1 < R_e < 80$  : écoulement laminaire à perte de charge non linéaire
- $80 < R_e < 180$  : écoulement mixte laminaire et turbulent
- $R_e > 180$  : écoulement totalement turbulent.

A l'instar des vitesses critiques qui séparent le régime laminaire et le régime turbulent, on est amené à définir une vitesse qui sépare le régime laminaire à perte de charge linéaire et le régime laminaire à perte de charge non linéaire :  $V = \frac{v}{2a}$ .

En conclusion, on pourra retenir, en vertu des travaux des auteurs cités précédemment, que le régime laminaire passe au régime turbulent pour un nombre de Reynolds supérieur à 180, en écoulement parallèle ; qu'en écoulement non parallèle, le nombre de Reynolds critique diminue en fonction de la rugosité, et que l'écoulement parallèle passe à l'écoulement non parallèle pour un coefficient de rugosité  $\frac{\epsilon}{dh}$  supérieur à 0,033.

#### 1-4 Perméabilités relatives aux conduits cylindriques et aux fissures

J. BEAR (1972) présente, dans son traité "Dynamics of fluids in porous media", les connaissances acquises sur les perméabilités relatives aux conduits cylindriques et aux fissures. En résumant cet auteur, on distinguera :

##### 1-41 Les conduits cylindriques

Le débit issu de l'écoulement de l'eau dans un tube a pour expression :

$$Q = \frac{\pi d^4}{128\nu} g_i$$

L'expression de la vitesse moyenne est donc:  $V_e = \frac{4Q}{\pi d^2} = + \frac{d^2 g_i}{32\nu}$

La conductivité hydraulique, dans un tube, relative à un écoulement laminaire parallèle est donc :

$$K = \frac{gd^2}{32\nu}$$

Au niveau du front d'avancée du fluide dans le tube, l'enveloppe des vitesses est un paraboloïde, dont la vitesse maximum se situe au centre du tube. L'expression de cette vitesse est :

$$V_{\text{Max}} = \frac{gd^2}{16\nu} i.$$

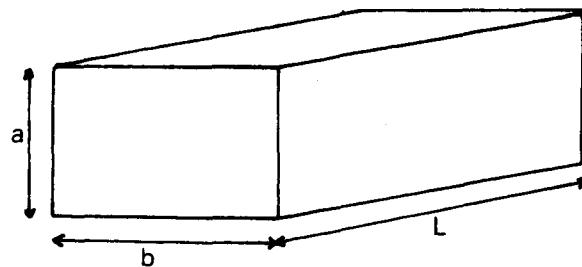
Pour une famille, constituée de  $n$  tubes parallèles, de même diamètre, l'expression de la vitesse de DARCY est :

$$V = + \frac{f\Pi d^4}{128\nu} gi \quad \text{où } f : \text{fréquence des tubes } (L^{-2})$$

La perméabilité est donc :  $K = \frac{f\Pi d^4 g}{128\nu}$

Si l'on veut exprimer  $K$  en fonction de la porosité  $\omega$ , on peut écrire :

$$\omega = \frac{n \frac{\Pi d^2}{4} \times L}{a \times b \times L} = f \frac{\Pi d^2}{4} \Rightarrow K = \omega \frac{d^2 g}{32\nu}$$



En divisant la vitesse de DARCY par  $\omega$ , assimilée à la porosité cinématique, on obtient la vitesse effective :

$$V_e = + \frac{d^2 g}{32\nu} i$$

Pour  $n$  tubes, parallèles et de même diamètre, on pourra retenir les vitesses suivantes :

$$\begin{cases} \text{vitesse moyenne ou vitesse de DARCY : } V = + \frac{f\Pi d^4}{128\nu} gi \\ \text{vitesse effective : } V_e = + \frac{d^2 g}{32\nu} i \\ \text{vitesse maximum : } V_{\text{Max}} = + \frac{d^2 g}{16\nu} i \end{cases}$$

Si le diamètre varie, la perméabilité devient :

$$K = \sum_{i=1}^m f_i \frac{\pi d_i^4}{128\nu} g$$

#### 1-42 Les fissures

L'expression de la vitesse moyenne pour une fissure est :

$$v = + \frac{a^2 g}{12\nu} i$$

pour n fissures parallèles et de même ouverture :

$$v = + \frac{fa^3 g}{12\nu} i = + \frac{\omega a^2 g}{12\nu} i$$

On peut retenir les expressions de trois vitesses principales :

$$\begin{cases} \{ V \text{ DARCY} = + \frac{fa^3 g}{12\nu} i \\ \{ \\ \{ V \text{ effective} = + \frac{a^2 g}{12\nu} i \\ \{ \\ \{ V \text{ maximum} = + \frac{a^2 g}{8\nu} i \end{cases}$$

si l'ouverture des fissures varie,  $K = \sum_{i=1}^m \frac{f_i a_i^3 g}{12\nu}$

C. LOUIS (1974), propose une autre expression de la perméabilité d'une fissure :

$$K_F = \frac{F \cdot g \cdot a^2}{12\nu C'} \quad \text{où } F : \text{ degré de séparation de la fissure} \\ C' : \text{ coefficient de rugosité de la fissure}$$

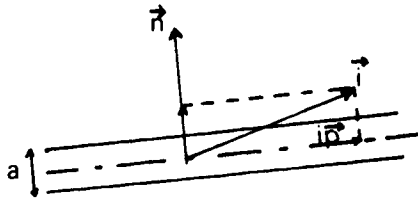
Mais il convient de souligner qu'il est très difficile d'appréhender, sur le terrain, les coefficients F et C'.

#### 1-5 Perméabilité en milieu anisotrope

Une des conséquences principales de l'anisotropie est la non-colinéarité, sauf cas particulier, entre le vecteur vitesse et le vecteur gradient ; ce qui revient à dire que les lignes de courant et les équipotentielles ne sont pas orthogonales.

L. KIRALY, à partir de la géométrie et de l'orientation des fissures et des conduits, introduit un tenseur de perméabilité (la notion de tenseur sous-entend que la dimension des blocs élémentaires est négligeable devant le domaine étudié).

Fissure

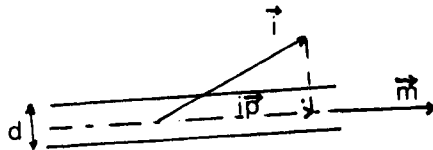


Pour une fissure :  $\vec{i}_p = \vec{i} - (\vec{i} \cdot \vec{n}) \cdot \vec{n} \implies \bar{K} = \frac{g}{12\nu} a^2 (\mathbf{I} - \vec{n} \otimes \vec{n})$

Pour n fissures parallèles et de même ouverture :  $\bar{K} = \frac{fg}{12\nu} a^3 (\mathbf{I} - \vec{n} \otimes \vec{n})$

Si l'on a m familles de fissures :  $\bar{K} = \frac{g}{12\nu} \sum_{i=1}^m f_i a_i^3 (\mathbf{I} - \vec{n}_i \otimes \vec{n}_i)$

Conduit



Pour un conduit :  $\vec{i}_p = (\vec{i} \cdot \vec{m}) \cdot \vec{m} \implies \bar{K} = \frac{gd^2}{32\nu} (\vec{m} \otimes \vec{m})$

Pour n conduits parallèles, de même ouverture :  $\bar{K} = \frac{fg\pi d^4}{128\nu} (\vec{m} \otimes \vec{m})$

Si l'on a m familles de conduits :  $\bar{K} = \frac{\pi g}{128\nu} \sum_{i=1}^m f_i d_i^4 (\vec{m}_i \otimes \vec{m}_i)$

N.B. : Si  $\vec{n}$  est un vecteur de coordonnées x,y,z :

$$\vec{n} \otimes \vec{n} = \begin{pmatrix} x^2 & xy & xz \\ yx & y^2 & yz \\ zx & zy & z^2 \end{pmatrix}$$

Les tenseurs de perméabilité sont des matrices symétriques, définies positives.

Les vecteurs propres (directions principales d'anisotropie) sont donc orthogonaux.

Les valeurs propres (valeur de la perméabilité selon ces directions) sont positives.

L'expression du tenseur de perméabilité, exprimé dans la base de ses vecteurs propres est :

$$\begin{pmatrix} K_y & 0 & 0 \\ 0 & K_y & 0 \\ 0 & 0 & K_y \end{pmatrix}$$

SCHNEBELLI (1966) donne la relation entre les débits dans le milieu anisotrope et le milieu isotrope :

en partant de l'équation de diffusivité :

$$K_x \frac{\partial^2 h}{\partial x^2} + K_y \frac{\partial^2 h}{\partial y^2} + K_z \frac{\partial^2 h}{\partial z^2} = S_s \frac{\partial h}{\partial t}$$

en en posant :  $x' = \sqrt{\frac{K}{K_x}} x$ ,  $y' = \sqrt{\frac{K}{K_y}} y$ ,  $z' = \sqrt{\frac{K}{K_z}} z$

on obtient l'équation suivante :  $K \frac{\partial^2 h}{\partial x'^2} + K \frac{\partial^2 h}{\partial y'^2} + K \frac{\partial^2 h}{\partial z'^2} = S_s \frac{\partial h}{\partial t}$

$S_s$  : coefficient d'emmagasinement spécifique.

Le flux  $Q'$  de la composante  $V'_x = -K \frac{\partial h}{\partial x'}$ , à travers la surface  $\Sigma'$ ,

normale à  $V'_x$  est exprimé par :  $Q' = V'_x dy' dz' = -K \frac{\partial h}{\partial x'} dy' dz'$

Le flux  $q$  de la composante  $V_x$  à travers la surface  $\Sigma$ , normale à  $V_x$

est exprimé par :  $q = V_x dy dz = -K \frac{\partial h}{\partial x'} \sqrt{\frac{K_y K_x K_z}{K^3}}$

$$\text{soit : } Q = Q' \sqrt{\frac{K_y K_z K_x}{K^3}}$$

$$\text{si } K = \sqrt[3]{K_y K_z K_x} \text{ alors } Q = Q'$$

$K$  est la perméabilité du milieu isotrope équivalent.

Le vecteur vitesse et le vecteur gradient n'étant pas colinéaires, on est amené à se poser deux problèmes :

- 1) La détermination du vecteur gradient, connaissant le vecteur vitesse.
- 2) La détermination du vecteur vitesse, connaissant le vecteur gradient.

J. BEAR (1972) traite ces deux problèmes.

Problème 1 : Détermination du vecteur gradient connaissant le vecteur vitesse.

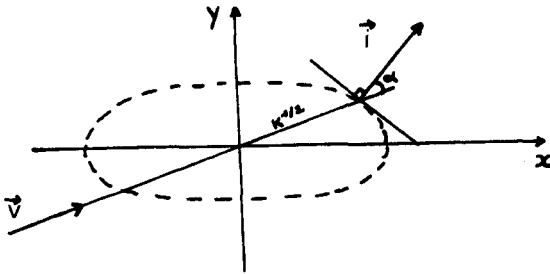
L'expression de la perméabilité selon  $\vec{V}$  s'écrit :

$$K = \frac{|\vec{V}|}{|\vec{i}| \cos \alpha}$$

On peut construire un ellipsoïde à partir des trois axes d'anisotropie dont l'équation est :

$$\frac{x^2}{K_x} + \frac{y^2}{K_y} + \frac{z^2}{K_z} = 1$$

Les demi-axes de l'ellipsoïde sont :  $K_x^{1/2}$ ,  $K_y^{1/2}$ ,  $K_z^{1/2}$ . Dans l'espace à deux dimensions  $\{\vec{x}, \vec{y}\}$ , on obtient une ellipse :  $\frac{x^2}{K_x} + \frac{y^2}{K_y} = 1$ . L'ellipsoïde (ou l'ellipse) permet d'obtenir, selon la direction du vecteur vitesse, la valeur de la perméabilité dans cette direction, et l'orientation du vecteur gradient :



Problème 2 : Détermination du vecteur vitesse connaissant le vecteur gradient.

L'expression de la perméabilité selon  $\vec{V}$  est :

$$K = \frac{|\vec{V}| \cos \alpha}{|\vec{i}|}$$

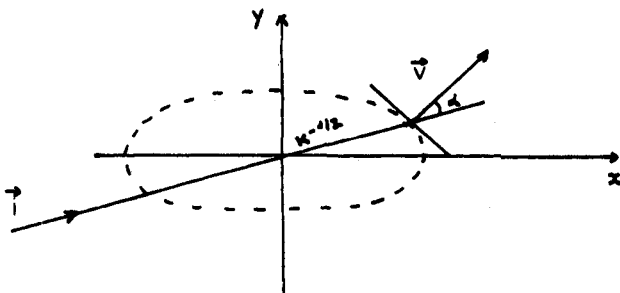
Nous cherchons à connaître la perméabilité selon le vecteur gradient, et à déterminer le vecteur vitesse.

J. BEAR montre que l'on est amené à construire l'ellipsoïde d'équation :

$$\frac{x^2}{1/K_x} + \frac{y^2}{1/K_y} + \frac{z^2}{1/K_z} = 1$$

Les demi-axes de l'ellipsoïde sont :  $K_x^{-1/2}$ ,  $K_y^{-1/2}$ ,  $K_z^{-1/2}$ .

A partir de cette ellipsoïde (ou ellipse en dimension 2), on peut déterminer le vecteur vitesse, et la perméabilité selon le vecteur gradient :



### 1-6 Écoulement transitoire en milieu fissuré

Jusqu'à présent, seul le cas de l'écoulement permanent a été considéré.

Si l'on fait intervenir des écoulements transitoires, une des propriétés fondamentales des milieux fissurés apparaît : la double porosité. Dans le cas général, le milieu fissuré peut être considéré comme la coexistence de deux systèmes de vides (les fissures et la porosité intergranulaire des blocs) ; en régime transitoire, on conçoit bien que la transmission des variations de pression soit beaucoup plus rapide dans les fissures que dans la matrice des blocs. On est donc amené à définir, dans un volume représentatif élémentaire, l'existence de deux pressions différentes, l'une dans les fissures et l'autre dans la matrice, accompagnée d'un terme d'échange de masse entre la porosité intergranulaire et la porosité de fissure.

On est donc amené à adopter une loi de DARCY particulière qui dépend du temps et de l'intensité du transfert entre blocs et fissures.

### 1-7 Conclusion

D'après les travaux et synthèses d'A. MANGIN (1975), C. LOUIS (1968) et CHAUVETEAU (1965), il apparaît que la plage de validité de la loi de DARCY est très restreinte pour le milieu fissuré. Cette loi, utilisée comme équation de l'impulsion, néglige les forces d'inertie ; or ces forces apparaissent non négligeables pour un nombre de Reynolds supérieur à 1 en écoulement laminaire. La non-linéarité des pertes de charge rend pratiquement impossibles les solutions analytiques. Dans sa synthèse sur les lois de l'écoulement en milieu karstique, A. MANGIN (1975) montre que la loi de DARCY reste essentiellement valable pour des fissures d'ouverture inférieure à  $100\mu$ , pour une hauteur mouillée de 1 m. Il convient donc d'être extrêmement prudent quant à l'utilisation des solutions analytiques pour le milieu fissuré.

## II. EXPRESSION DU TENSEUR DE PERMEABILITE D'UN MILIEU A FISSURES ET A CONDUITS CYLINDRIQUES

Si l'on considère un milieu constitué de  $n$  familles de fissures et de  $m$  conduits cylindriques, on peut exprimer le tenseur de perméabilité de la façon suivante :

$$\bar{K} = \frac{g}{12\nu} \sum_{i=1}^n f_i a_i^3 (I - \vec{n}_i \otimes \vec{n}_i) + \frac{g\pi}{128\nu} \sum_{k=1}^m F_k d_k^4 (\vec{m}_k \otimes \vec{m}_k)$$

$a_i$  = ouverture des fissures de la famille  $i$

$d_k$  = diamètre des conduits de la famille  $k$

soit :

$$\bar{K} = \frac{g}{12\nu} \left[ \sum_{i=1}^m f_i a_i^3 (I - \vec{n}_i \otimes \vec{n}_i) + 0,295 \sum_{k=1}^m F_k d_k^4 (\vec{m}_k \otimes \vec{m}_k) \right]$$

Si l'on reprend l'hypothèse de L. KIRALY (1969) selon laquelle l'écoulement s'effectue essentiellement au niveau des intersections de fissures assimilées à des conduits cylindriques, on peut écrire :

$$\begin{cases} \vec{m}_k = \frac{\vec{n}_i \wedge \vec{n}_j}{|\vec{n}_i \wedge \vec{n}_j|} \\ F_k = f_i \times f_j \times \sin(\vec{n}_i, \vec{n}_j) \end{cases}$$

L'assimilation des intersections à des conduits cylindriques reste très discutable de part leur différence géométrique ; il convient donc de souligner que cette assimilation n'est, en fait, qu'une approximation. Le diamètre hydraulique de l'intersection est :

$$dh = \frac{a_i \times a_j}{2(a_i + a_j)} = \frac{\pi d^2}{4\pi d} = \frac{d}{4}$$

Le conduit équivalent à l'intersection (même diamètre hydraulique) a pour diamètre :

$$d = 4dh = 2 \frac{a_i \times a_j}{(a_i + a_j)}$$

Dans cette hypothèse, l'expression du tenseur de perméabilité pour une famille de conduits a pour expression :

$$\bar{K}_k = \frac{0,125\pi g}{\nu} \frac{f_i \times f_j}{|\vec{n}_i \wedge \vec{n}_j|} \left[ (\vec{n}_i \wedge \vec{n}_j) \otimes (\vec{n}_i \wedge \vec{n}_j) \right] \left( \frac{a_i \times a_j}{a_i + a_j} \right)^4$$

pour  $P = C_n^2$  famille de conduits,  $\bar{K} = \sum_{i=1}^p \bar{K}_i$



### III. MILIEUX EQUIVALENT A GEOMETRIE SIMPLE

#### 3-1 Introduction

Dans son cours d'hydrogéologie, G. DE MARSILY (1980) met en évidence l'équivalence entre milieux anisotropes et milieux isotropes. Dans la suite de ce chapitre, on s'intéressera à la recherche de milieux équivalents, cette fois anisotrope mais de représentation géométrique simple, à des milieux anisotropes à géométrie complexe. Les conditions initiales seront les suivantes :

- le milieu est saturé
- l'écoulement est laminaire parallèle
- les fissures et conduits sont continus et lisses
- la dimension des blocs élémentaires est négligeable devant le domaine étudié.

On est donc dans le domaine de définition de la loi de DARCY.

#### 3-2 Cas de N familles de fissures, à ouvertures et fréquences différentes

L'expression du tenseur de perméabilité est (L. KIRALY 1969) :

$$\bar{\bar{K}} = \frac{g}{12\nu} \sum_{i=1}^n f_i a_i^3 (I - \vec{n}_i \otimes \vec{n}_i)$$

g : accélération due à la gravité :  $9,81 \text{ ms}^{-2}$

$\nu$  : viscosité cinématique du fluide :  $10^{-6} \text{ m}^2 \text{ s}^{-1}$

a : ouverture des fissures (m)

f : fréquence des fissures ( $\text{m}^{-1}$ )

I : matrice identité :  $\begin{pmatrix} 1 & 0 & 0 \\ 0 & 1 & 0 \\ 0 & 0 & 1 \end{pmatrix}$

$\vec{n}_i$  : vecteur orthonormé de la famille de fissures i

$\otimes$  : produit tensoriel définit par :

$$\vec{n} \otimes \vec{n} = \begin{pmatrix} x^2 & xy & xz \\ yx & y^2 & yz \\ zx & zy & z^2 \end{pmatrix}, \quad \vec{n} = (x, y, z)$$

$\vec{n} \otimes \vec{n}$  est une matrice, symétrique, définie positive. Elle possède donc trois valeurs propres positives et trois vecteurs propres orthogonaux.

Posons  $\overline{\overline{A}} = \sum_{i=1}^n f_i a_i \quad (I - \overrightarrow{n_i} \cdot \overrightarrow{n_i})$

$\overline{\overline{A}}$  est la matrice de l'application  $f : (x_1, x_2, x_3) \in \mathbb{R}^3 \quad (y_1, y_2, y_3) \in \mathbb{R}^3$

de l'espace vectoriel rapporté à la base  $\{ \overrightarrow{\text{NORD}}, \overrightarrow{\text{OUEST}}, \overrightarrow{H} = \frac{\overrightarrow{\text{NORD}} \wedge \overrightarrow{\text{OUEST}}}{|\overrightarrow{\text{NORD}} \wedge \overrightarrow{\text{OUEST}}|} \}$ :

$$\begin{cases} Y_1 = \sum_{i=1}^n f_i a_i^3 (1-x_i^2) X_1 - \sum_{i=1}^n f_i a_i^3 x_i y_i X_2 - \sum_{i=1}^n f_i a_i^3 x_i z_i X_3 \\ Y_2 = - \sum_{i=1}^n f_i a_i^3 x_i y_i X_1 + \sum_{i=1}^n f_i a_i^3 (1-y_i^2) X_2 - \sum_{i=1}^n f_i a_i^3 y_i z_i X_3 \\ Y_3 = - \sum_{i=1}^n f_i a_i^3 z_i x_i X_1 - \sum_{i=1}^n f_i a_i^3 z_i y_i X_2 + \sum_{i=1}^n f_i a_i^3 (1-z_i^2) X_3 \end{cases}$$

Soit  $\{Z_1, Z_2, Z_3\}$  la base constituée par les vecteurs propres de  $\overline{\overline{A}}$ , soient  $\lambda_1, \lambda_2, \lambda_3$  les valeurs propres de  $\overline{\overline{A}}$ .

La matrice  $\begin{pmatrix} \lambda_1 & 0 & 0 \\ 0 & \lambda_2 & 0 \\ 0 & 0 & \lambda_3 \end{pmatrix}$  est la matrice de  $f$  dans la base  $\{\overrightarrow{Z_1}, \overrightarrow{Z_2}, \overrightarrow{Z_3}\}$ .

Les vecteurs  $\overrightarrow{Z_i}$  ont pour coordonnées  $(\alpha_i, \beta_i, \gamma_i)$  dans la base  $\{\overrightarrow{\text{NORD}}, \overrightarrow{\text{OUEST}}, \overrightarrow{H}\}$

Soit le gradient hydraulique  $\overrightarrow{\text{grad}} h$   $\begin{matrix} (x) \\ (y) \\ (z) \end{matrix}$  défini dans la base

$\{\overrightarrow{\text{NORD}}, \overrightarrow{\text{OUEST}}, \overrightarrow{H}\}$

Exprimons ce gradient dans la base  $\{\overrightarrow{Z_1}, \overrightarrow{Z_2}, \overrightarrow{Z_3}\}$

$$\begin{cases} \overrightarrow{Z_1} = \alpha_1 \overrightarrow{N} + \beta_1 \overrightarrow{W} + \gamma_1 \overrightarrow{H} \\ \overrightarrow{Z_2} = \alpha_2 \overrightarrow{N} + \beta_2 \overrightarrow{W} + \gamma_2 \overrightarrow{H} \\ \overrightarrow{Z_3} = \alpha_3 \overrightarrow{N} + \beta_3 \overrightarrow{W} + \gamma_3 \overrightarrow{H} \end{cases}$$

Dans la base  $\{\overrightarrow{Z_1}, \overrightarrow{Z_2}, \overrightarrow{Z_3}\}$   $\overrightarrow{\text{grad}} h$  a pour coordonnées  $(x, y, z)$

$$\overrightarrow{\text{grad}} h = X \overrightarrow{z_1} + Y \overrightarrow{z_2} + Z \overrightarrow{z_3}$$

On en déduit que :

$$\begin{cases} x = \alpha_1 X + \alpha_2 Y + \alpha_3 Z & (\alpha_1 \ \alpha_2 \ \alpha_3) \begin{pmatrix} X \\ Y \\ Z \end{pmatrix} = \begin{pmatrix} x \\ y \\ z \end{pmatrix} \\ y = \beta_1 X + \beta_2 Y + \beta_3 Z & (\beta_1 \ \beta_2 \ \beta_3) \\ z = \gamma_1 X + \gamma_2 Y + \gamma_3 Z & (\gamma_1 \ \gamma_2 \ \gamma_3) \end{cases}$$

La matrice  $\begin{pmatrix} \alpha_1 & \alpha_2 & \alpha_3 \\ \beta_1 & \beta_2 & \beta_3 \\ \gamma_1 & \gamma_2 & \gamma_3 \end{pmatrix}$  est la matrice de passage entre la base  $\{\overrightarrow{N}, \overrightarrow{W}, \overrightarrow{H}\}$  et la base  $\{\overrightarrow{Z_1}, \overrightarrow{Z_2}, \overrightarrow{Z_3}\}$

L'expression de la vitesse d'écoulement est, selon DARCY :

$$\vec{V} = \overline{\overline{K}} \overrightarrow{\text{grad}} h$$

dans la base  $\{\vec{N}, \vec{W}, \vec{H}\}$  :  $\overline{\overline{K}} = \overline{\overline{A}}$

$$\text{dans la base } \{\vec{Z}_1, \vec{Z}_2, \vec{Z}_3\} : \begin{array}{c} \overrightarrow{\text{grad}} h (x,y,z) \\ \vec{V} (a,b,c) \end{array} \longrightarrow \overline{\overline{K}} = \begin{array}{l} (\lambda_1 00) \\ (0 \lambda_2 0) \\ (00 \lambda_3) \end{array}$$

$$\begin{array}{c} \overrightarrow{\text{grad}} h (X,Y,Z) \\ \vec{V} (a',b',c') \end{array}$$

$$a^2 = (\alpha_1 a' + \alpha_2 b' + \alpha_3 c')^2$$

$$b^2 = (\beta_1 a' + \beta_2 b' + \beta_3 c')^2 \quad (1)$$

$$c^2 = (\gamma_1 a' + \gamma_2 b' + \gamma_3 c')^2$$

$\vec{Z}_1, \vec{Z}_2, \vec{Z}_3$  étant normés et orthogonaux, on a :

$$\begin{cases} \alpha_1^2 + \beta_1^2 + \gamma_1^2 = 1 \\ \alpha_2^2 + \beta_2^2 + \gamma_2^2 = 1 \\ \alpha_3^2 + \beta_3^2 + \gamma_3^2 = 1 \end{cases} \quad \text{et} \quad \begin{cases} \alpha_1 \alpha_2 + \beta_1 \beta_2 + \gamma_1 \gamma_2 = 0 \\ \alpha_1 \alpha_3 + \beta_1 \beta_3 + \gamma_1 \gamma_3 = 0 \\ \alpha_2 \alpha_3 + \beta_2 \beta_3 + \gamma_2 \gamma_3 = 0 \end{cases}$$

En résolvant le système (1), on obtient :

$$a^2 + b^2 + c^2 = a'^2 + b'^2 + c'^2 \quad \text{soit} \quad |\vec{V} \{\vec{N}, \vec{W}, \vec{H}\}| = |\vec{V} \{\vec{Z}_1, \vec{Z}_2, \vec{Z}_3\}|$$

Les coordonnées de  $\vec{Z}_1, \vec{Z}_2, \vec{Z}_3$  dans la base  $\{\vec{Z}_1, \vec{Z}_2, \vec{Z}_3\}$  sont :

$$\vec{Z}_1 \quad (1, 0, 0)$$

$$\vec{Z}_2 \quad (0, 1, 0)$$

$$\vec{Z}_3 \quad (0, 0, 1)$$

$$I - \vec{Z}_1 \otimes \vec{Z}_1 = \begin{pmatrix} 000 \\ 010 \\ 001 \end{pmatrix}$$

$$I - \vec{Z}_2 \otimes \vec{Z}_2 = \begin{pmatrix} 100 \\ 000 \\ 001 \end{pmatrix}$$

$$I - \vec{Z}_3 \otimes \vec{Z}_3 = \begin{pmatrix} 100 \\ 010 \\ 000 \end{pmatrix}$$

$$\text{Posons l'égalité } \frac{g}{12\nu} \begin{pmatrix} \lambda_1 00 \\ 0 \lambda_2 0 \\ 00 \lambda_3 \end{pmatrix} = \frac{g}{12\nu} \left[ f_1 a_1^3 \begin{pmatrix} 000 \\ 010 \\ 001 \end{pmatrix} + f_2 a_2^3 \begin{pmatrix} 100 \\ 000 \\ 001 \end{pmatrix} + f_3 a_3^3 \begin{pmatrix} 100 \\ 010 \\ 000 \end{pmatrix} \right]$$

On en déduit que :

$$\begin{cases} \lambda_1 = f_2 a_2^3 + f_3 a_3^3 \\ \lambda_2 = f_1 a_1^3 + f_3 a_3^3 \\ \lambda_3 = f_1 a_1^3 + f_2 a_2^3 \end{cases} \quad \Longrightarrow \quad \begin{cases} f_1 a_1^3 = \frac{\lambda_3 + \lambda_2 - \lambda_1}{2} \\ f_2 a_2^3 = \frac{\lambda_1 + \lambda_3 - \lambda_2}{2} \\ f_3 a_3^3 = \frac{\lambda_1 + \lambda_2 - \lambda_3}{2} \end{cases}$$

Les paramètres  $f$  et  $a$  étant toujours définis positifs, il s'ensuit :

$$\begin{cases} \lambda_3 + \lambda_2 - \lambda_1 > 0 \\ \lambda_1 + \lambda_3 - \lambda_2 > 0 \\ \lambda_1 + \lambda_2 - \lambda_3 > 0 \end{cases}$$

Le milieu équivalent sera donc caractérisé dans la base

$\{\vec{Z}_1, \vec{Z}_2, \vec{Z}_3\}$  par :

$$\begin{array}{l} \vec{n}_1 \\ (0) \\ (0) \end{array} \begin{array}{l} (1) \\ (0) \\ (0) \end{array} f_1 a_1^3 = \frac{\lambda_3 + \lambda_2 - \lambda_1}{2}$$

$$\begin{array}{l} \vec{n}_2 \\ (1) \\ (0) \end{array} \begin{array}{l} (0) \\ (1) \\ (0) \end{array} f_2 a_2^3 = \frac{\lambda_1 + \lambda_3 - \lambda_2}{2}$$

$$\begin{array}{l} \vec{n}_3 \\ (0) \\ (1) \end{array} \begin{array}{l} (0) \\ (0) \\ (1) \end{array} f_3 a_3^3 = \frac{\lambda_1 + \lambda_2 - \lambda_3}{2}$$

Considérons l'hypothèse suivante :  $\lambda_2 + \lambda_1 - \lambda_3 = 0$

$$\begin{cases} \lambda_1 = f_2 a_2^3 \\ \lambda_2 = f_1 a_1^3 \\ \lambda_3 = f_1 a_1^3 + f_2 a_3^3 \end{cases}$$

Le milieu équivalent sera caractérisé, dans la base  $\{\vec{Z}_1, \vec{Z}_2, \vec{Z}_3\}$  par :

$$\begin{array}{l} \vec{n}_1 \\ (0) \\ (0) \\ \{ \\ (0) \\ \vec{n}_2 \\ (1) \\ (0) \\ \{ \\ (0) \\ \vec{n}_3 \\ (0) \\ (1) \end{array} \begin{array}{l} (1) \\ (0) \\ (0) \\ \{ \\ (0) \\ (1) \\ (0) \\ \{ \\ (0) \\ (0) \\ (1) \end{array} \begin{array}{l} f_1 a_1^3 = \lambda_2 \\ f_2 a_2^3 = \lambda_1 \\ f_3 a_3^3 = \lambda_1 + \lambda_2 \end{array}$$

### 3-21 Conclusion 1

Si la dimension des blocs élémentaires est négligeable devant le domaine étudié, tout milieu fissuré pourra être caractérisé par un milieu équivalent, constitué par trois familles de fissures selon les directions principales d'anisotropie (vecteurs propres) si les conditions suivantes sont respectées :

$$\begin{cases} \lambda_1 + \lambda_2 - \lambda_3 \geq 0 \\ \lambda_2 + \lambda_3 - \lambda_1 \geq 0 \\ \lambda_1 + \lambda_3 - \lambda_2 \geq 0 \end{cases}$$

Cherchons maintenant s'il est possible de caractériser un milieu fissuré par un milieu à conduit cylindrique.

Posons l'égalité :

$$\frac{g}{12v} \begin{pmatrix} \lambda_1 00 \\ 0\lambda_2 0 \\ 00\lambda_3 \end{pmatrix} = \frac{\pi g}{128v} \left[ f_1 d_1^4 (\vec{Z}_1 \otimes \vec{Z}_1) + f_2 d_2^4 (\vec{Z}_2 \otimes \vec{Z}_2) + f_3 d_3^4 (\vec{Z}_3 \otimes \vec{Z}_3) \right]$$

On en déduit :

$$\begin{cases} f_1 d_1^4 = 3,395 \lambda_1 \\ \{ \\ f_2 d_2^4 = 3,395 \lambda_2 \\ \{ \\ f_3 d_3^4 = 3,395 \lambda_3 \end{cases}$$

### 3-22 Conclusion 2

Si la dimension des blocs élémentaires est négligeable devant le domaine étudié, tout milieu fissuré pourra être caractérisé par un milieu équivalent, constitué par trois familles de conduits cylindriques selon les directions principales d'anisotropie.

### 3-3 Cas de N familles de conduits cylindriques, à diamètres et fréquences différents

Dans la base des vecteurs propres, l'expression du tenseur de perméabilité est :

$$\overline{\overline{K}} = \frac{\pi g}{128v} \begin{pmatrix} \lambda_1 00 \\ 0\lambda_2 0 \\ 00\lambda_3 \end{pmatrix}$$

On peut écrire :

$$\overline{\overline{K}} = \frac{\pi g}{128v} \left[ f_1 d_1^4 (\vec{Z}_1 \otimes \vec{Z}_1) + f_2 d_2^4 (\vec{Z}_2 \otimes \vec{Z}_2) + f_3 d_3^4 (\vec{Z}_3 \otimes \vec{Z}_3) \right]$$

$$\text{d'où : } \begin{cases} f_1 d_1^4 = \lambda_1 \\ \{ \\ f_2 d_2^4 = \lambda_2 \\ \{ \\ f_3 d_3^4 = \lambda_3 \end{cases}$$

### 3-31 Conclusion 3

Si la dimension des blocs élémentaires est négligeable devant le domaine étudié, tout milieu constitué de N familles de conduits cylindriques peut être caractérisé par un milieu équivalent, constitué de trois familles de conduits selon les directions principales d'anisotropie.

Posons l'égalité :

$$\frac{\pi g}{128\nu} \begin{matrix} (\lambda_1 00) \\ (0 \lambda_2 0) \\ (00 \lambda_3) \end{matrix} = \frac{g}{12\nu} [f_1 a_1^3 (I - \vec{Z}_1 \otimes \vec{Z}_1) + f_2 a_2^3 (I - \vec{Z}_2 \otimes \vec{Z}_2) + f_3 a_3^3 (I - \vec{Z}_3 \otimes \vec{Z}_3)]$$

On en déduit :

$$\begin{cases} f_1 a_1^3 = 0,147 (\lambda_3 + \lambda_2 - \lambda_1) \\ f_2 a_2^3 = 0,147 (\lambda_1 + \lambda_3 - \lambda_2) \\ f_3 a_3^3 = 0,147 (\lambda_1 + \lambda_2 - \lambda_3) \end{cases}$$

#### 3-32 Conclusion 4

Si la dimension des blocs élémentaires est négligeable devant le domaine étudié, tout milieu constitué de conduits cylindriques pourra être caractérisé par un milieu équivalent, constitué de trois familles de fissures selon les directions principales d'anisotropie, si les conditions suivantes sont respectées :

$$\begin{cases} \lambda_1 + \lambda_2 - \lambda_3 > 0 \\ \lambda_2 + \lambda_3 - \lambda_1 > 0 \\ \lambda_1 + \lambda_3 - \lambda_2 > 0 \end{cases}$$

De la même façon, on démontre que tout milieu constitué de fissures et de conduits cylindriques pourra être caractérisé par un milieu à trois familles de conduits cylindriques et, sous certaines conditions, par trois familles de fissures selon les directions principales d'anisotropie.

#### 3-4 Choix des facteurs fréquence et ouverture

##### Conduits cylindriques

Si l'inégalité (1) :  $0 < n \times \frac{\pi d^2}{4} < S$  n'est pas vérifiée, la surface de terrain considérée n'est constituée que de vide.

d : diamètre du conduit

n : nombre de conduit

s : surface du terrain

$$(1) \quad 0 < f \frac{\pi d^2}{4} < 1 \quad \text{avec } f = \frac{n}{S} : \text{fréquence des conduits } (L^{-2}) \quad (2).$$

$$(2) \quad 0 < f d^2 < \frac{4}{\pi} \implies 0 < X < \frac{4d^2}{\pi} \quad \text{avec } X = f d^4$$

Posons  $d = \alpha X$  (3)

$$(3) \quad f = \frac{1}{\alpha^4 X^3}$$

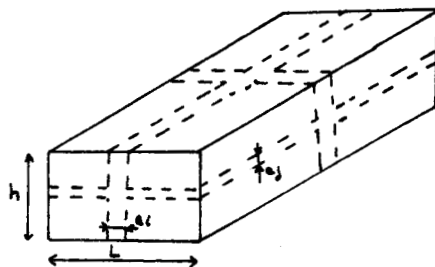
$$X < \frac{4\alpha^2 X^2}{\Pi} \quad \alpha > \sqrt{\frac{\Pi}{4X}}$$

$$\text{donc : } \begin{cases} fd^4 = X \\ d = \alpha X \\ f = \frac{1}{\alpha^4 X^3} \\ \alpha > \sqrt{\frac{\Pi}{4X}} \end{cases}$$

On peut choisir  $\alpha$  tel que  $\alpha = cte \sqrt{\frac{\Pi}{4X}}$   $cte \in ]1, +\infty [$

### Fissures

Sur chaque face du volume représentatif élémentaire du terrain apparaissent deux familles de fissures orthogonales.



$$n_i \times a_i \times L + n_j \times a_j \times L - (a_i \times a_j \times C^2 (n_i + n_j)) \leq (h \times L) \quad (4)$$

Prenons comme conditions :  $n_i \times a_i \times L + n_j \times a_j \times L < (h \times L)$  (5)

On voit que (5)  $\implies$  (4) car  $[C^2 (n_i + n_j) \times (a_i \times a_j)] > 0$

car

$$(5) \implies f_i a_i + f_j a_j < 1 \quad (6)$$

$$\text{Posons } \begin{cases} X_i = f_i a_i^3 \\ X_j = f_j a_j^3 \\ a_i = \alpha X_i \\ a_j = \alpha X_j \\ f_i = \frac{1}{\alpha^3 X_i^2} \\ f_j = \frac{1}{\alpha^3 X_j^2} \end{cases}$$

$$(6) \implies \alpha > \sqrt{\frac{X_i + X_j}{X_i^2 + X_j^2}}$$

On peut choisir  $\alpha$  tel que  $\alpha = Ct_e \times \sqrt{\frac{X_i + X_j}{X_i^2 + X_j^2}}$ ,  $Ct_e \in ]1, +\infty[$



IV. CALCUL DES PERMEABILITES DIRECTIONNELLES, DES VITESSES ET DES  
GRADIENTS HYDRAULIQUES EN MILIEU ANISOTROPE - PROGRAMME CPVGRHMA

4-1 Calcul des perméabilités directionnelles

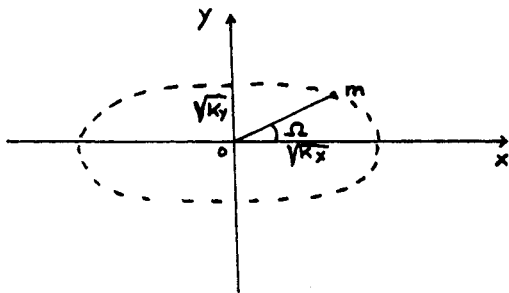
Hypothèses :

- Les perméabilités principales sont connues.
- L'espace vectoriel est de dimension deux et est rapporté à la base constituée par les vecteurs propres de la matrice des perméabilités (directions principales d'anisotropie).

Le tenseur de perméabilité étant une matrice symétrique, définie positive, sa représentation géométrique, en deux dimensions, est une ellipse d'équation, dans la base des vecteurs propres :

$$\frac{X^2}{K_x} + \frac{Y^2}{K_y} = 1$$

$K_x$  et  $K_y$  représentent les valeurs propres du tenseur (perméabilités principales).



Le problème à résoudre est de connaître la perméabilité dans une direction quelconque, faisant un angle  $\Omega$  avec  $K_x$ .

Soit le point  $m$ , intersection de la direction choisie avec l'ellipse. Les coordonnées du point  $m$  doivent vérifier le système d'équation suivant :

$$\begin{cases} \frac{X^2}{K_x} + \frac{Y^2}{K_y} = 1 & (1) \\ \end{cases}$$

$$\begin{cases} \frac{Y}{X} = \text{tg } \Omega & (2) \\ \end{cases}$$

La résolution de ce système conduit aux résultats suivants :

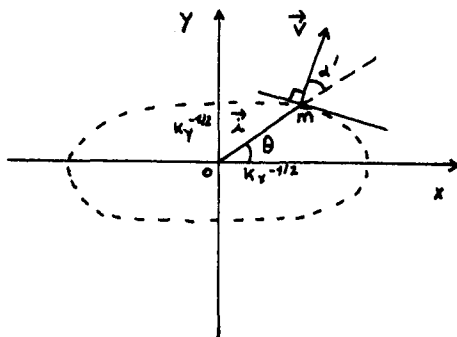
$$m(x,y) / x = \frac{\sqrt{K_x K_y}}{\sqrt{K_y + K_x \text{tg}^2 \Omega}}, \quad y = \frac{\sqrt{K_x K_y} \text{tg } \Omega}{\sqrt{K_y + K_x \text{tg}^2 \Omega}} \quad (3)$$

Valeur de la perméabilité selon  $\vec{om}$  :  $K = |\vec{om}|^2 = K_x K_y \frac{1 + \text{tg}^2 \Omega}{K_y + K_x \text{tg}^2 \Omega}$  (4)

#### 4-2 Calcul des vitesses

Les hypothèses sont les mêmes que dans le cas du calcul des perméabilités directionnelles. En milieu anisotrope, le vecteur vitesse et le vecteur gradient sont, en général, non colinéaires. Le problème à résoudre est de déterminer le vecteur vitesse (direction et module) connaissant le vecteur gradient.

J. BEAR (1972) propose la solution graphique suivante :



En construisant l'ellipse sur les demi-axes  $K_x^{-1/2}$ ,  $K_y^{-1/2}$ , on détermine la direction du vecteur vitesse ( $\vec{V}$ ) en traçant la tangente au point d'intersection entre l'ellipse et le vecteur gradient ( $\vec{i}$ ), et en prenant la normale à la tangente.

La résolution algébrique du problème peut s'effectuer de la façon suivante :

le point m a ses coordonnées qui vérifient le système :

$$\begin{cases} K_x X^2 + K_y Y^2 = 1 & (5) \\ \end{cases}$$

$$\begin{cases} \frac{Y}{X} = \text{tg} \theta & (6) \\ \end{cases}$$

La dérivée de (5) a pour expression :

$$2X K_x dX + 2Y K_y dY = 0 \iff \frac{dY}{dX} = - \frac{K_x X}{K_y Y} \quad (7)$$

$\frac{dY}{dX}$  est la pente de la tangente. L'équation de la tangente au point m

est donc :  $Y = \frac{-K_x}{K_y \text{tg} \theta} x + b$ .

Le vecteur normal à la tangente est :  $\vec{V} \left[ \begin{array}{c} \frac{K_x}{K_y \text{tg} \theta} \\ 1 \end{array} \right]$ . Il représente la

direction du vecteur vitesse.

Le vecteur unitaire, colinéaire à  $\vec{V}$  est :  $\vec{v} = \left( \begin{array}{c} \frac{K_x}{K_y t_g \theta \sqrt{1 + \frac{K_x^2}{K_y^2 t_g^2 \theta}}} \\ \frac{1}{\sqrt{1 + \frac{K_x^2}{K_y^2 t_g^2 \theta}}} \end{array} \right)$  (8)

Le vecteur unitaire, colinéaire au vecteur gradient est :

$$\vec{j} = \left( \begin{array}{c} \cos\theta \\ \sin\theta \end{array} \right) \quad (9)$$

Le produit scalaire des deux vecteurs unitaires est égal au cosinus de l'angle qu'ils font entre eux :

$$\cos\alpha' = \vec{v} \cdot \vec{j} = \frac{K_x \cos\theta + K_y \sin\theta t_g \theta}{\sqrt{K_y^2 t_g^2 \theta + K_x^2}} \quad (10)$$

L'angle entre la vitesse et le gradient hydraulique est donc :

$$\alpha = \text{ARCOS} \left[ \frac{K_x \cos\theta + K_y \sin\theta t_g \theta}{\sqrt{K_y^2 t_g^2 \theta + K_x^2}} \right] \quad (11)$$

L'angle entre la vitesse et  $K_x$  est :

$$\beta = \text{ARCOS} \left[ \frac{K_x}{t_g \theta \sqrt{(K_y^2 t_g^2 \theta + K_x^2) / t_g^2 \theta}} \right] \quad (12)$$

En effet  $\cos \beta = \vec{v} \cdot \vec{X}$  ou  $\vec{X}$  a pour coordonnées : (1,0).

Le module du vecteur vitesse est :

$$V = K i \cos\alpha'$$

où  $K$  est, d'après (4) :  $\sqrt{K_x^2 + K_y^2} \frac{1 + t_g^2 \beta}{K_y + K_x t_g^2 \beta}$  (perméabilité selon le vecteur vitesse) (13)

donc :

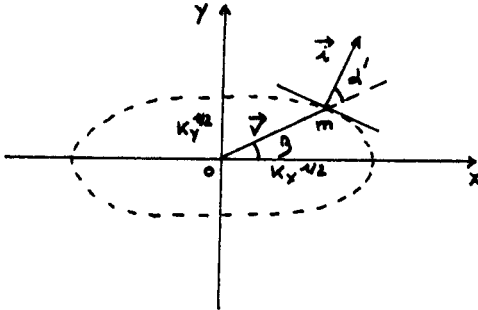
$$V = K_x K_y \frac{1 + t_g^2 \beta}{K_y + K_x t_g^2 \beta} \times \frac{(K_x \cos\theta + K_y \sin\theta t_g \theta)}{\sqrt{K_y^2 t_g^2 \theta + K_x^2}} \times i \quad (14)$$

#### 4-3 Calcul des gradients hydrauliques

Les hypothèses sont les mêmes que dans le cas du calcul des perméabilités directionnelles.

De la même façon que pour les vitesses, on peut déterminer la direction du gradient connaissant la direction de la vitesse par la méthode

graphique suivante (d'après J. BEAR (1972)) :



En construisant l'ellipse de demi-axes  $\sqrt{K_x}$ ,  $\sqrt{K_y}$ , on détermine la direction du vecteur gradient en traçant la tangente au point m et en prenant la normale à la tangente.

La résolution algébrique du problème peut s'effectuer comme suit :

les coordonnées du point m doivent vérifier le système :

$$\begin{cases} \frac{X^2}{K_x} + \frac{Y^2}{K_y} = 1 & (15) \end{cases}$$

$$\begin{cases} \frac{Y}{X} = \operatorname{tg} \beta & (16) \end{cases}$$

L'équation de la tangente est :  $\frac{dY}{dX} = - \frac{K_y}{K_x \operatorname{tg} \beta} x + b$  (17)

La direction du gradient est donnée par le vecteur  $\vec{J} \left( \frac{K_y}{K_x \operatorname{tg} \beta} \right)$  (18)

de la même façon que dans le cas des vitesses, on détermine :

l'angle entre gradient et vitesse :  $\alpha = \operatorname{ARCOS} \left[ \frac{K_y \cos \beta + K_x \sin \beta \operatorname{tg} \beta}{\operatorname{tg} \beta \sqrt{V(K_x^2 \operatorname{tg}^2 \beta + K_y^2) / \operatorname{tg}^2 \beta}} \right]$  (19)

l'angle entre gradient et  $K_x$  :  $\theta = \operatorname{ARCOS} \left[ \frac{K_y}{\operatorname{tg} \beta \sqrt{V(K_x^2 \operatorname{tg}^2 \beta + K_y^2) \operatorname{tg}^2 \beta}} \right]$  (20)

le module du vecteur gradient :  $i = \frac{V}{K_x K_y} \frac{K_y + K_x \operatorname{tg}^2 \beta}{1 + \operatorname{tg}^2 \beta} \times \frac{1}{\cos \alpha}$  (21)

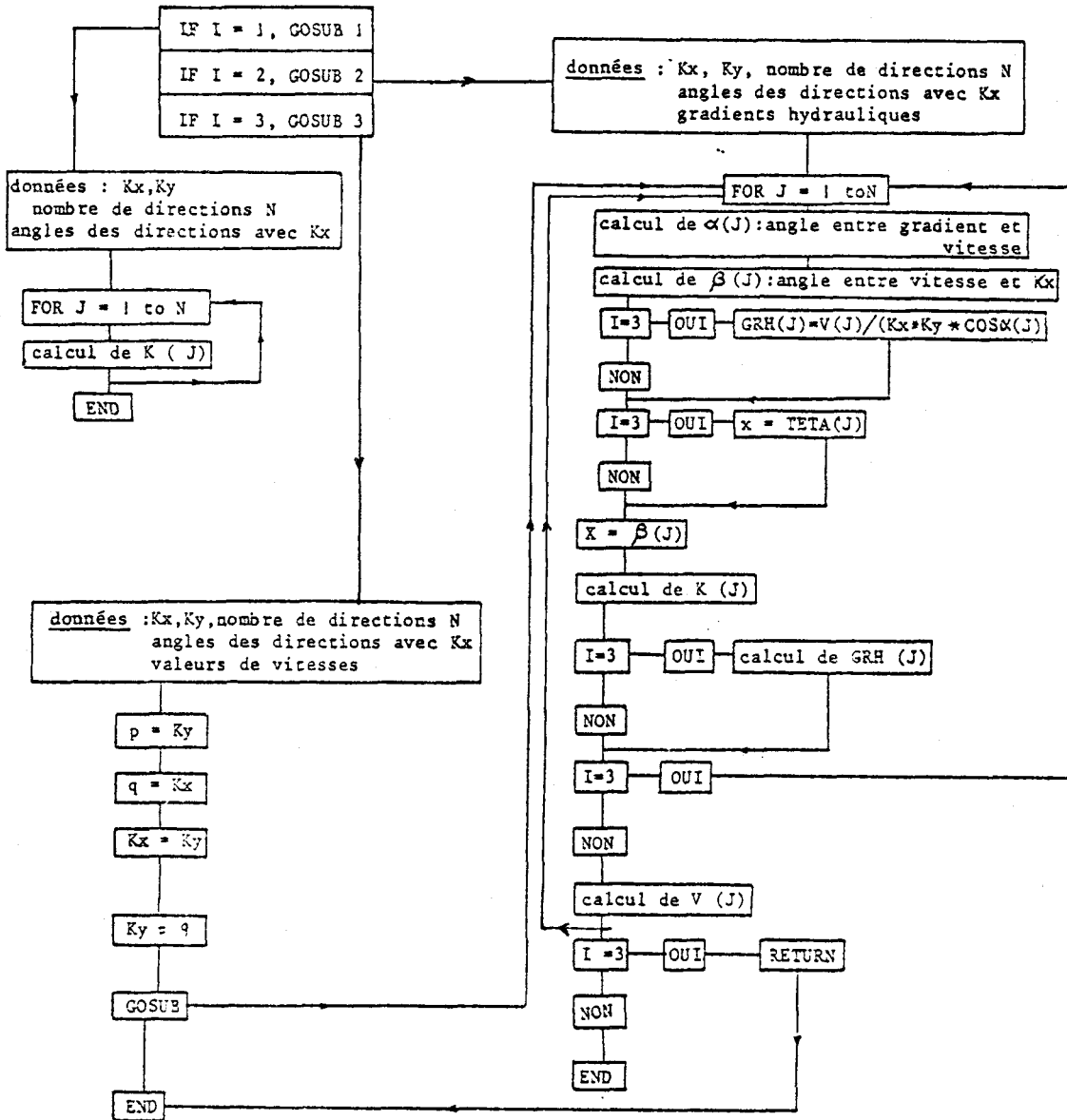
#### 4-4 Programme CPVGRHMA

Ce programme a pour fonction le calcul des perméabilités directionnelles, des vitesses et des gradients hydrauliques en milieu anisotrope.

Il est constitué de trois sous-programmes :

- sous-programme 1 : calcul des perméabilités directionnelles
- sous-programme 2 : calcul des vitesses
- sous-programme 3 : calcul des gradients hydrauliques.

Il a été écrit en langage BASIC III et est opérationnel sur  
 CBM COMMODORE.



## V. PROGRAMMES TENFY - TENCY

### 5-1 Introduction

J. MANIA a élaboré en 1976 le programme TENSEUR qui permet l'obtention des conductivités hydrauliques directionnelles du milieu poreux anisotrope équivalent à un milieu fissuré ; de plus, ce programme calcule les vitesses de DARCY pour chaque famille de fissures et la conductivité hydraulique du milieu poreux isotrope équivalent. Ce programme a été le point de départ de l'élaboration des programmes TENFY et TENCY.

### 5-2 Programme TENFY

#### 5-21 Fonction

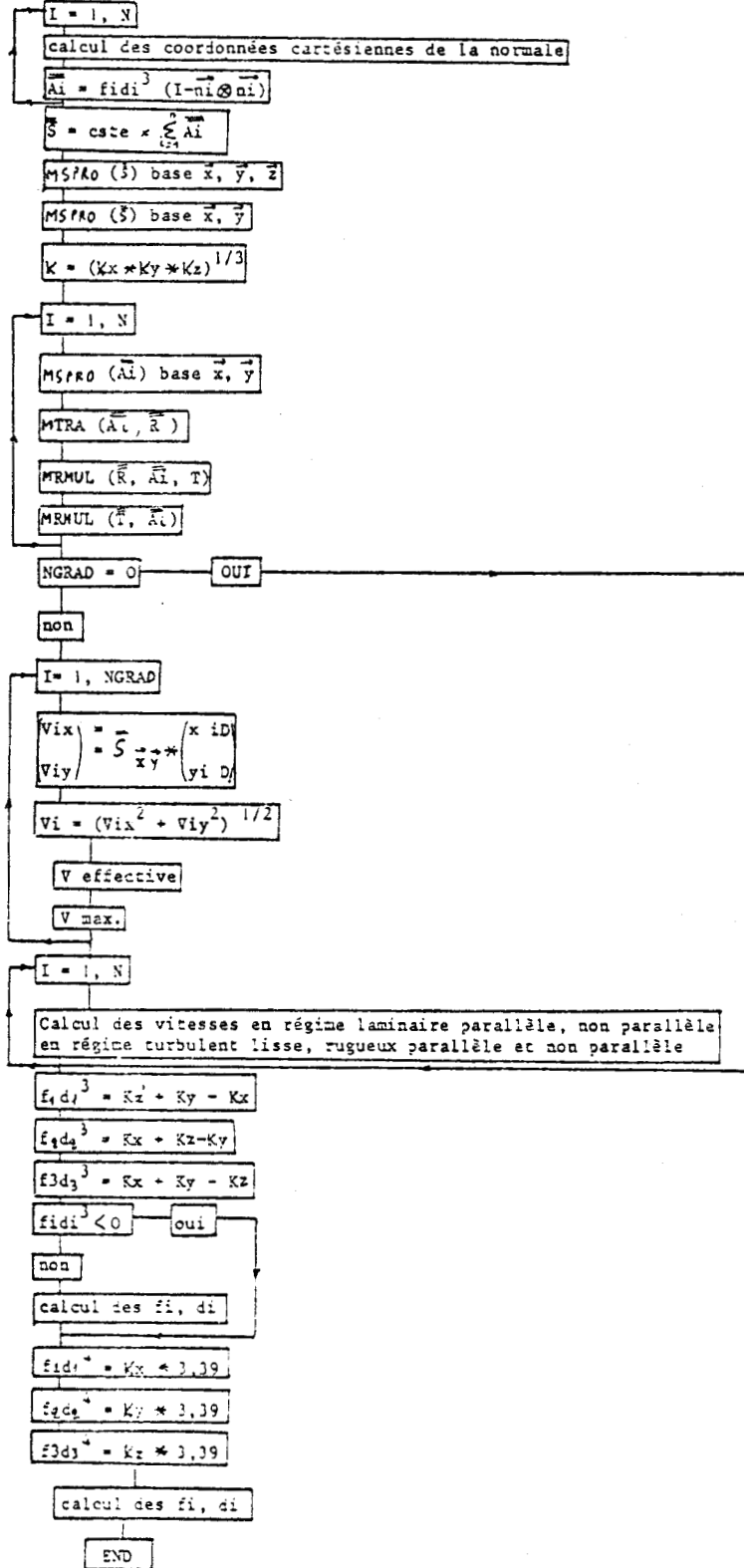
Le programme est relatif à des milieux fissurés. Il a pour fonction, outre celle du programme TENSEUR, le calcul des vitesses effectives et maximales en régime laminaire parallèle, le calcul des vitesses en régime turbulent rugueux non parallèle, en régime turbulent rugueux parallèle, en régime turbulent hydrauliquement lisse, en régime laminaire non parallèle. Il donne l'expression de chaque tenseur élémentaire de conductivité hydraulique, c'est-à-dire le tenseur relatif à chaque famille de fissure, dans le plan de la fissure et dans le plan géographique, ainsi que l'expression du tenseur global du milieu poreux anisotrope équivalent dans chaque plan de fissure et dans le plan géographique ; et enfin, l'expression de milieux équivalents constitués de trois familles orthogonales de fissures et de milieux équivalents constitués de trois familles orthogonales de conduits cylindriques.

#### 5-22 Données

- Nombre de familles de fissures
- Nombre de valeurs du gradient hydraulique
- Situation géographique du secteur
- Cinq réels compris dans l'intervalle  $] +1, +\infty [$  qui permettront la recherche de milieux équivalents
- Direction, valeur du pendage, azimut du pendage
- Fréquence et ouverture des fissures (f,a)
- Direction et valeur du gradient hydraulique

### 5-23 Ordinoigramme du programme TENFY

Une explication détaillée du programme est présentée en annexe 1.



### 5-3 Programme TENCY

Il a la même structure que le programme TENFY mais est relatif aux conduits cylindriques.





## VI. ESSAI DE SIMULATION DE L'ÉCOULEMENT A SURFACE LIBRE DANS UNE

### FISSURE

#### 6-1 Introduction

Depuis 1960, les hydrauliciens des usines de dérivation se sont intéressés au calcul des courbes de remous et, notamment, au calcul des cotes de rivières en amont de barrage afin de déterminer avec la plus grande marge de sécurité, le dimensionnement des ouvrages. Ils ont considéré l'écoulement comme étant turbulent rugueux. En s'inspirant de leurs travaux et en vue de mieux appréhender les modalités d'écoulement en milieu fissuré, il a semblé intéressant de présenter :

- une étude de l'écoulement à surface libre dans une fissure verticale en considérant non plus le seul régime turbulent rugueux mais aussi les autres types d'écoulement, à savoir :
  - l'écoulement turbulent hydrauliquement lisse
  - l'écoulement laminaire parallèle
  - l'écoulement laminaire non parallèle
- une méthode de calcul permettant de déterminer selon différents cas de figure, le type de régime d'écoulement.

#### 6-2 Equations aux différences finies

La différence de cote piézométrique entre deux points d'abscisse  $x_0$  et  $x_1$  s'écrit (annexe 2) :

$$Z_1 - Z_0 = \int_{x_1}^{x_0} i \, dx + \frac{V_0^2 - V_1^2}{2g}$$

En général, le terme  $\int_{x_1}^{x_0} i \, dx$  n'est pas intégrable analytiquement car

$i$  peut varier de façon quelconque en fonction de  $x$ . Par contre, le problème peut être résolu en utilisant l'équation différentielle de Saint-Venant sous la forme d'une équation aux différences finies.

Si l'on fait l'hypothèse que la perte de charge est constante entre deux points d'abscisse  $x_1$  et  $x_2$ , on a :

$$Z_2 - Z_1 = \Delta Z = i_2 (x_2 - x_1) + \frac{V_1^2 - V_2^2}{2g} \quad \text{soit} \quad Z_2 + \frac{V_2^2}{2g} = Z_1 + \frac{V_1^2}{2g} + i_2 (x_2 - x_1)$$

On reconnaît l'équation de BERNOUILLI.

On peut donc découper la fissure en  $n$  tronçons successifs au sein desquels les pertes de charges  $i_1, i_2, \dots, i_n$  pourront être considérées comme constantes, on obtient :

$$Z_i = Z_0 + \Delta_1 + \Delta_2 + \dots + \Delta_n$$

#### 6-21 Régime turbulent rugueux

CHEZY, cité par H. VARLET (1965), donne l'expression de la vitesse moyenne en fonction du rayon hydraulique.

$$v = C'' \sqrt{dh} \sqrt{v_i}$$

$$dh = \frac{\text{Surface mouillée}}{\text{Périmètre mouillé}} (L)$$

$$C'' = \frac{\alpha \sqrt{dh}}{\gamma + \sqrt{dh}} \quad (\text{constante de CHEZY } L^{0,5} \times T^{-1})$$

$$\alpha (L^{0,5} \times T^{-1}) = 87$$

$$\gamma : \text{coefficient de rugosité } (L^{0,5})$$

En régime turbulent rugueux, deux types d'écoulement peuvent avoir lieu :

- écoulement turbulent rugueux parallèle :

$$v = 4\sqrt{2gdh} \log \frac{3,7}{\epsilon/dh} \sqrt{v_i} \quad (\text{CHEZY-KRASNOPOLISKII})$$

$$\text{donc } C'' = 4 \sqrt{2g} \log \frac{3,7}{\epsilon/dh} \quad (\epsilon : \text{hauteur des protubérances})$$

- écoulement turbulent rugueux non parallèle :

$$v = 4\sqrt{2gdh} \log \frac{1,9}{\epsilon/dh} \sqrt{v_i} \quad (\text{LOUIS})$$

$$\text{donc } C'' = 4 \sqrt{2g} \log \frac{1,9}{\epsilon/dh}$$

En régime turbulent, l'expression de la perte de charge  $i$  est :

$$i = \frac{1}{C''^2 dh} \times v^2$$

$$\text{On en déduit donc : } i = \frac{q^2}{dh \times C''^2 \times S^2} = \frac{q^2}{C''^2} \times \frac{P_m}{S^3}$$

Pour le tronçon  $i+1$ , on prendra comme valeur de  $C$  et de  $i$  :

$$C''_{i+1} = 87 \frac{\sqrt{dh_i} + \sqrt{dh_{i+1}}}{\gamma + \left( \frac{\sqrt{dh_i} + \sqrt{dh_{i+1}}}{2} \right)}$$

$$i_{i+1} = \frac{q^2}{2C''^2_{i+1}} \left( \frac{P_{mi}}{S_i^3} + \frac{P_{mi+1}}{S_{i+1}^3} \right)$$

L'équation de Saint Venant devient donc :

$$Z_{i+1} - Z_i = \Delta_{i+1} = \frac{q^2}{2g} \left[ \frac{1}{S_i^2} - \frac{1}{S_{i+1}^2} \right] + \frac{q^2 l_{i+1}}{2C_{i+1}^2} \left[ \frac{P_m^i}{S_i^3} + \frac{P_m^{i+1}}{S_{i+1}^3} \right]$$

$l_{i+1}$  : longueur du tronçon  $i+1$

Les fissures étant généralement étroites, on peut négliger  $a_i$  devant  $h_i$  et il vient :

$$\frac{P_i}{S_i^3} = \frac{(h_i + a_i) \times 2}{h_i^3 a_i^3} \sim \frac{2h_i}{h_i^3 a_i^3} = \frac{2}{h_i^2 a_i^3}$$

donc :

$$Z_{i+1} - Z_i = \frac{q^2}{2g} \left[ \frac{1}{a_i^2 h_i^2} - \frac{1}{a_{i+1}^2 h_{i+1}^2} \right] + \frac{q^2 l_{i+1}}{C_{i+1}^2} \left[ \frac{1}{a_i^3 h_i^2} + \frac{1}{a_{i+1}^3 h_{i+1}^2} \right]$$

#### 6-22 Régime turbulent hydrauliquement lisse

$$v = \left[ \frac{g}{0,079} \left( \frac{2}{v} \right)^{0,25} a^{5/4} \right] \times i^{4/7} \quad (\text{formule de BLASIUS})$$

$$\text{La perte de charge } i \text{ est : } i = \frac{0,079 v^{0,25}}{1,19 \times g a^{1,25}} v^{1,75}$$

$$\text{soit } i = \frac{0,066 v^{0,25}}{g a^{1,25}} \left( \frac{Q}{S} \right)^{1,75}$$

Pour le tronçon  $i+1$ , on prendra comme valeur de  $i$  :

$$i = \frac{0,33 v^{0,25} \times q^{1,75}}{g} \left( \frac{1}{a_i^3 h_i^{1,75}} + \frac{1}{a_{i+1}^3 h_{i+1}^{1,75}} \right)$$

L'équation de Saint-Venant devient donc :

$$Z_{i+1} - Z_i = \Delta_{i+1} = \frac{q}{2g} \left[ \frac{1}{a_i^2 h_i^2} - \frac{1}{a_{i+1}^2 h_{i+1}^2} \right] + \frac{q^{1,75} \times 0,33 v^{0,25} \times l_{i+1}}{g} \left[ \frac{1}{a_i^3 h_i^{1,75}} + \frac{1}{a_{i+1}^3 h_{i+1}^{1,75}} \right]$$

#### 6-23 Régime laminaire en écoulement parallèle

$$v = \frac{ga^2}{12\nu} i$$

La perte de charge  $i$  est :

$$i = \frac{12\nu}{ga^2} \frac{q}{S}$$

Pour le tronçon  $i+1$  on prendra comme valeur de  $i$  :

$$i = \frac{q6\nu}{g} \left[ \frac{1}{a_i^3 h_i} + \frac{1}{a_{i+1}^3 h_{i+1}} \right]$$

L'équation de Saint-Venant devient donc :

$$Z_{i+1} - Z_i = \Delta_{i+1} = \frac{q^2}{2g} \left[ \frac{1}{a_i^2 h_i^2} - \frac{1}{a_{i+1}^2 h_{i+1}^2} \right] + \frac{q^6 v l_{i+1}}{g} \left[ \frac{1}{a_i^3 h_i} + \frac{1}{a_{i+1}^3 h_{i+1}} \right]$$

#### 6-24 Régime laminaire en écoulement non parallèle

$$v = \frac{g a^2}{12 \nu C'} i$$

$$C' = 1 + 8,8 \left( \frac{\varepsilon}{d_h} \right)^{1,5} : \text{coefficient de rugosité de la fissure.}$$

La perte de charge de  $i$  est :

$$i = \frac{12 \nu C'}{g a^2} \frac{q}{S}$$

Pour le tronçon  $i+1$ , on prendra comme valeur de  $i$  :

$$i = \frac{q^6 v}{g} C'_{i+1} \left[ \frac{1}{a_i^3 h_i} + \frac{1}{a_{i+1}^3 h_{i+1}} \right]$$

L'équation de Saint-Venant devient donc :

$$Z_{i+1} - Z_i = \Delta_{i+1} = \frac{q^2}{2g} \left[ \frac{1}{a_i^2 h_i^2} - \frac{1}{a_{i+1}^2 h_{i+1}^2} \right] + \frac{q^6 \nu C'_{i+1} l_{i+1}}{g} \left[ \frac{1}{a_i^3 h_i} + \frac{1}{a_{i+1}^3 h_{i+1}} \right]$$

Tous les types d'écoulement possibles en milieu fissuré ont été exprimés sous forme d'équations aux différences finies. Un exemple théorique va être traité afin de montrer l'utilisation et les avantages de ce mode de traitement.

#### 6-3 Exemple

Cas d'une fissure, dont les variations d'ouverture sont connues, dont on connaît la pente du fond, où l'on connaît deux cotes piézométriques, à un même instant, d'abscisse  $x_0$  et  $x_4$ .

Côte	Altitude du fond	Hauteur mouillée	a ouverture
$Z_0 = 2 \text{ m}$	$Y_0 = 1 \text{ m}$	$h_0 = 1 \text{ m}$	$a_0 = 0,01$
$Z_1$	$Y_1 = 1,2$	$h_1$	$a_1 = 0,009$
$Z_2$	$Y_2 = 1,4$	$h_2$	$a_2 = 0,0075$
$Z_3$	$Y_3 = 1,6$	$h_3$	$a_3 = 0,005$
$Z_4 = 5 \text{ m}$	$Y_4 = 1,8$	$h_4 = 3,2 \text{ m}$	$a_4 = 0,004$

$$\text{débit } q = 0,001 \text{ m}^3/\text{s}$$

$$x_4 - x_0 = 4000 \text{ m}$$

$$x_{i+1} - x_i = 1000 \text{ m}$$

6-31 Calage6-311 Calage en régime turbulent rugueux

$$Z_{i+1} - Z_i = \Delta_{i+1} = \frac{q^2}{2g} \left[ \frac{1}{a_i^2 h_i^2} - \frac{1}{a_{i+1}^2 h_{i+1}^2} \right] + \frac{q^2 l_{i+1}}{C''_{i+1}} \left[ \frac{1}{a_i^3 h_i^2} + \frac{1}{a_{i+1}^3 h_{i+1}^2} \right]$$

deux inconnues figurent dans cette équation :  $C_{i+1}$  et  $h_{i+1}$

$C''_{i+1}$  dépend de la valeur de  $\gamma$ , coefficient de rugosité. On prendra une valeur provisoire de  $\gamma$  en calculant  $C''$  à partir des deux extrêmes  $x_0$  et  $x_4$ .

$$C''^2 = 3\,367,8 \text{ d'où } C = 58,03. \text{ On en déduit que } \gamma = 0,029.$$

Pour déterminer  $h_{i+1}$ , on utilisera la méthode dite de fausse position, en ce sens que l'on attribuera à  $Z_{i+1}$  une cote supposée,  $Z_i$  étant déterminée, d'où l'on déduira la hauteur mouillée  $h_{i+1}$  que l'on reportera dans l'équation. On calculera, par l'équation,  $\Delta_{i+1}$ .

Si  $\Delta_{i+1}$  calculée =  $\Delta_{i+1}$  supposée,  $Z_{i+1}$  est déterminée ; sinon, il faut attribuer à  $Z_{i+1}$  une autre valeur jusqu'à ce qu'il y ait égalité entre la valeur supposée et la valeur calculée. On calculera, maille par maille, les cotes piézométriques. Si  $Z_4$  observée =  $Z_4$  calculée, la valeur provisoire de  $\gamma$  sera retenue, sinon il faudra recommencer les calculs avec une autre valeur de  $\gamma$ , et ceci jusqu'à ce qu'il y ait égalité entre  $Z_4$  observée et  $Z_4$  calculée.

$$\gamma = 0,029$$

Calcul de  $Z_1$ 

$Z_1$ supposée	$h_1$ (hauteur mouillée)	$Z_1$ calculée
2,5	1,3	2,483
2,48	1,28	2,489
2,487	1,289	2,486
2,487	1,287	2,487
$Z_1 = 2,487$	$C''_1 = 61,23$	

Calcul de  $Z_2$ 

$Z_2$ supposée	$h_2$	$Z_2$ calculée
3	1,6	2,975
2,98	1,58	2,98
$Z_2 = 2,98$	$C''_2 = 59,9$	



Calcul de Z<sub>3</sub>

Z <sub>3</sub> supposée	h <sub>3</sub>	Z <sub>3</sub> calculée
3,5	1,9	3,76
3,7	2,1	3,66
3,65	2,05	3,68
3,66	2,06	3,679
3,67	2,07	3,67
Z <sub>3</sub> = 3,67	C'' <sub>3</sub> = 63,5	

Calcul de Z<sub>4</sub>

Z <sub>4</sub> supposée	h <sub>4</sub>	Z <sub>4</sub> calculée
4,9	3,1	4,89
4,88	3,08	4,877
4,878	3,078	4,878
Z <sub>4</sub> = 4,878	C'' <sub>4</sub> = 53,95	

On voit que Z<sub>4</sub> calculée est inférieure à Z<sub>4</sub> observée. Il convient donc de diminuer C'' afin d'augmenter la valeur Z<sub>4</sub> calculée.

On peut choisir comme critère de convergence l'algorithme suivant :

si Z<sub>i</sub> calculée < Z<sub>i</sub> observée

$$\frac{(Z_i \text{ calculée} - Z_0)}{(Z_i \text{ observée} - Z_0)} = \frac{(C''_1)^2}{(C''_2)^2} \implies C''_1 = C''_2 \times \frac{(Z_i \text{ calculée} - Z_0)}{(Z_i \text{ observée} - Z_0)}$$

Si Z'<sub>i</sub> calculé < Z<sub>i</sub> observée, Z'<sub>i</sub> calculée étant la nouvelle valeur calculée à partir de C'

$$C''_2 = C''_1 \times \frac{(Z_i \text{ calculée} - Z_0)}{(Z_i \text{ observée} - Z_0)} = C''_1 \times \frac{(Z_i \text{ calculée} - Z_0)(Z'_i \text{ calculée} - Z_0)}{(Z_i \text{ observée} - Z_0)^2}$$

Si, le n<sup>ie</sup> essai est concluant on aura :

$$C''_n = C''_2 \prod_0^{n-1} \frac{Z_i^{(K)'} \text{ calculée} - Z_0}{(Z_i \text{ observée} - Z_0)^n}$$

De même si Z<sub>i</sub> calculée > Z<sub>i</sub> observée, on aura :

$$C''_n = C''_2 \times \frac{(Z_i \text{ observée} - Z_0)^n}{\prod_0^{n-1} (Z_i^{(K)'} - Z_0)}$$

$$\frac{2,83}{3} = \frac{(C''_1)^2}{(C''_3)^2} \implies C''_1 = 56,26 \implies \gamma = 0,031$$

Pour cette valeur de  $\gamma$ , on obtient successivement :

$$\begin{array}{ll} Z_1 = 2,5 & C''_1 = 60 \\ Z_2 = 3,005 & C''_2 = 58,65 \\ Z_3 = 3,82 & C''_3 = 55,86 \\ Z_4 = 4,97 & C''_4 = 52,58 \end{array}$$

Il faut donc diminuer  $C$ , soit augmenter  $\gamma$ .

$$\frac{2,96}{3} = \frac{(C')^2}{(C)} \implies C' = 55,88 \implies \gamma = 0,032$$

On obtient pour  $\gamma = 0,032$

$$\begin{array}{ll} Z_1 = 2,51 & C''_1 = 59,40 \\ Z_2 = 3,016 & C''_2 = 58,04 \\ Z_3 = 3,837 & C''_3 = 55,22 \\ Z_4 = 4,996 & C''_4 = 51,91 \end{array}$$

$$Z_4 \text{ calculée} - Z_4 \text{ observée} = 0,004 \text{ m.}$$

L'erreur est donc de 4 mm. On peut continuer le calcul pour un nouveau  $\gamma$  jusqu'à obtenir  $Z_4$  calculée égale à  $Z_4$  observée. Ici, on conviendra que l'ajustement est acceptable.

#### 6-312 Calage en régime laminaire parallèle

$$Z_{i+1} - Z_i = \frac{q^2}{2g} \left[ \frac{1}{a_i^2 h_i^2} - \frac{1}{a_{i+1}^2 h_{i+1}^2} \right] + \frac{q^6 v l_{i+1}}{g} \left[ \frac{1}{a_i^3 h_i} + \frac{1}{a_{i+1}^3 h_{i+1}} \right]$$

On obtient successivement :

$$\begin{array}{l} Z_1 = 3,1 \\ Z_2 = 3,648 \\ Z_3 = 4,67 \\ Z_4 = 6,04 \end{array}$$

$Z_4$  calculée est donc différent de  $Z_4$  observée, on peut donc dire que l'écoulement relatif à ce cas de figure n'est pas laminaire parallèle.

#### 6-313 Calage en régime laminaire non parallèle

$$Z_{i+1} - Z_i = \frac{q}{2g} \left[ \frac{1}{a_i^2 h_i^2} - \frac{1}{a_{i+1}^2 h_{i+1}^2} \right] + \frac{q^6 v C' l_{i+1}}{g} \left[ \frac{1}{a_i^3 h_i} + \frac{1}{a_{i+1}^3 h_{i+1}} \right]$$

$$C' = 1 + 8,8 \left( \frac{\varepsilon}{dh} \right)^{1,5} > 1, \text{ donc } Z_4 \text{ calculée sera donc supérieur à}$$

$Z_4$  calculée en régime laminaire parallèle ; on peut donc dire que l'écoulement relatif à ce cas de figure n'est pas laminaire non parallèle.

6-314 Calage en régime turbulent hydrauliquement lisse

$$Z_{i+1} - Z_i = \frac{q^2}{2g} \left[ \frac{1}{a_i h_i} - \frac{1}{a_{i+1} h_{i+1}} \right] + \frac{q^{1,75} \times 0,33 \times v^{0,35} \times l_{i+1}}{g} \left[ \frac{1}{a_i^{3/4} h_i^{1,75}} - \frac{1}{a_{i+1}^{3/4} h_{i+1}^{1,75}} \right]$$

On obtient successivement :

$$Z_1 = 3,28$$

$$Z_2 = 4,46$$

$$Z_3 = 5,99$$

$$Z_4 = 8$$

L'écoulement n'est donc pas un écoulement en régime turbulent hydrauliquement lisse.

6-315 Discussion

Si le régime d'écoulement est turbulent rugueux, le problème est donc de savoir si il est parallèle ou non parallèle. Pour cela, nous allons calculer le nombre de Reynolds  $Re$  et la rugosité relative  $\frac{\epsilon}{dh}$  ; on pourra donc déterminer dans quel domaine se situe le point  $m(Re, \frac{\epsilon}{dh})$  et, donc, de résoudre le problème.

Calcul de  $Re$  :

$$Re = \frac{2 V e}{\nu} = 1218$$

Calcul de  $\frac{\epsilon}{dh}$  :

a) écoulement non parallèle

$$C'' = 4 \sqrt{2g} \log \frac{1,9}{\epsilon/dh} \Rightarrow \frac{\epsilon}{dh} = 0,08 \quad (C = 55,88)$$

b) écoulement parallèle

$$C'' = 4 \sqrt{2g} \log \frac{3,7}{\epsilon/dh} \Rightarrow \frac{\epsilon}{dh} = 0,16$$

$Re > 180$  : l'écoulement est donc turbulent

$\frac{\epsilon}{dh} > 0,033$  : l'écoulement est donc non parallèle

Conclusion : L'écoulement est en régime turbulent, rugueux et non parallèle.

La hauteur des protubérances est :  $\epsilon = 0,00028$

#### 6-4 Etude prévisionnelle

Le modèle étant calé, il est possible d'envisager divers scénarios.

##### 6-41 Augmentation de la cote piézométrique

Supposons que la cote  $Z_0$  passe de 2 m à 3,5 m ; et que le débit passe de  $0,001 \text{ m}^3/\text{s}$  à  $0,005 \text{ m}^3/\text{s}$  ; connaissant la valeur de  $\gamma$ , il est possible de calculer les cotes piézométriques en amont de  $Z_0$

$$\begin{array}{ll} Z_1 = 5,23 & C''_1 = 59,4 \\ Z_2 = 6,526 & C''_2 = 58,04 \\ Z_3 = 8,6 & C''_3 = 55,22 \\ Z_4 = 11,6 & C''_4 = 51,91 \end{array}$$

##### 6-42 Diminution de la cote piézométrique

Supposons que la cote  $Z_0$  passe à 1,8 m, que le débit devient égal à  $18 \times 10^{-9} \text{ m}^3/\text{s}$ .

Le calcul des cotes  $Z_i$  montre une très faible surélévation :

$$\begin{array}{l} 1,8 < Z_1 < 1,8000001 \\ Z_1 < Z_2 < 1,8000001 \\ Z_2 < Z_3 < 1,8000002 \\ Z_4 = 1,8012. \end{array}$$

$$\begin{array}{l} R_e = \frac{2Ve}{\nu} = 21 < 180 \\ \frac{\epsilon}{dh} = 0,08 > 0,033 \end{array} \} \implies \text{l'écoulement est en régime laminaire} \\ \text{non parallèle}$$

Le calcul des cotes  $Z_i$  donne donc des résultats erronés, car il a été fait dans l'hypothèse d'un régime turbulent rugueux non parallèle.

Il faut donc recalculer ces cotes dans l'hypothèse du régime laminaire non parallèle.

Le coefficient de rugosité a pour expression en régime laminaire non parallèle :

$$C = 1 + 8,8 \left(\frac{\epsilon}{dh}\right)^{1,5} \text{ soit } C = 1 + 8,8 \frac{(0,00028)^{1,5}}{(dh)^{1,5}} = 1 + \frac{410^{-5}}{dh^{1,5}}$$

Les cotes  $Z_i$  sont donc :

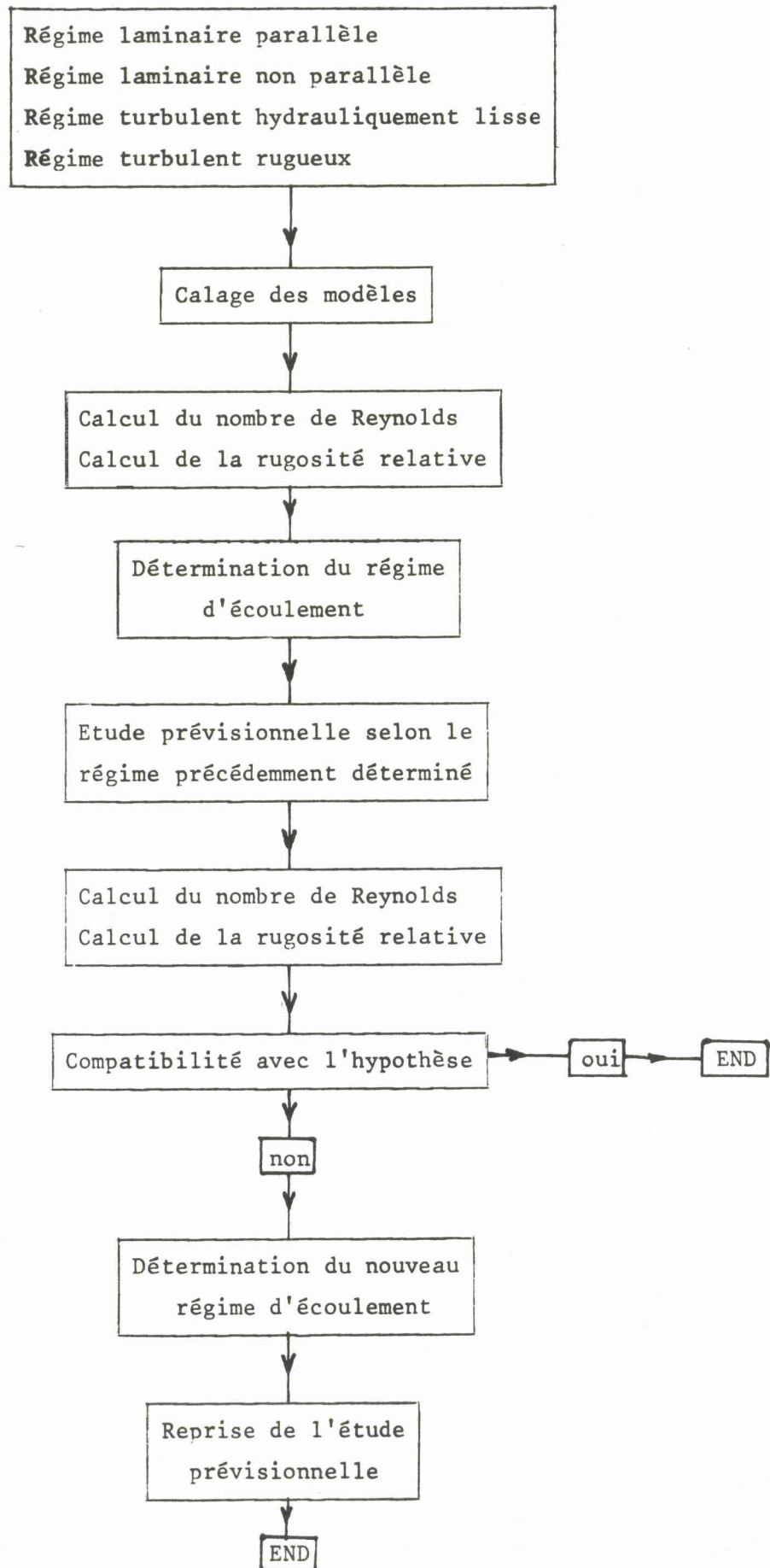
$Z_1 = 1,800057$	$C'_1 = 1,12$
$Z_2 = 1,8002$	$C'_2 = 1,151$
$Z_3 = 1,801$	$C'_3 = 1,229$
$Z_4 = 1,8185$	$C'_4 = 1,37$

#### 6-5 Conclusion

Il conviendra donc d'être très prudent quand on effectuera une étude prévisionnelle ; en effet, une variation de la cote peut engendrer un changement de régime d'écoulement. Il faudra donc vérifier si le résultat, caractérisé par le nombre de Reynolds et la rugosité relative, n'est pas en contradiction avec l'hypothèse faite au départ ; auquel cas, il faudra recommencer le calcul avec une hypothèse plus adéquate.

L'ordinogramme suivant synthétise le déroulement de l'étude.





## VII. SYNTHÈSE BIBLIOGRAPHIQUE SUR L'HYDRODISPERSION EN MILIEU FISSURE

### 7-1 Définition (d'après G. DE MARSILY, cours d'hydrogéologie 1980, ENSMP)

L'hydrodispersion est un ensemble de phénomènes mécaniques et physico-chimiques responsables de l'éloignement dans le temps et dans l'espace de particules qui étaient, à l'origine, voisines.

Equation de la dispersion :

elle a comme hypothèse de base la conservation de la masse :

$$m = \int_V \omega C dv + \int_V \omega' C' dv + \int_V (1-\omega) C'' dv \quad m = \int_V \omega_c C dv + \int_V \omega' C' dv + \int_V (1-\omega) C'' dv$$

1                    2                    3

Le terme (1) exprime la masse relative à la concentration C de la phase fluide mobile, le terme (2) celle relative à la concentration C' de la phase fluide immobile, le terme (3) celle relative à la concentration C'' au niveau du solide.

La variation de masse dans le temps  $\frac{dm}{dt}$  résulte de trois phénomènes qui sont la convection, la diffusion moléculaire, la dispersion cinématique ; on peut écrire :

$$\frac{dm}{dt} = \frac{\partial \omega_c C}{\partial t} + \frac{\partial \omega' C'}{\partial t} + \frac{\partial (1-\omega) C''}{\partial t} = - \operatorname{div}(C\vec{V}) + \operatorname{div}[\omega_c \overrightarrow{\operatorname{grad}C} (\overline{D_m} + d)] + \operatorname{div}[\omega' d \overrightarrow{\operatorname{grad}C}']$$

$\overline{D_m} + d = \overline{D}$  est le tenseur de dispersion apparent ou équivalent.

$$\overline{D_m} = \begin{pmatrix} D_L & 0 & 0 \\ 0 & D_T & 0 \\ 0 & 0 & D_T \end{pmatrix}$$

$D_L$  : Coefficient de dispersion longitudinale ( $L^2 T^{-1}$ )

$D_T$  : Coefficient de dispersion transversale ( $L^2 T^{-1}$ )

$d$  : Coefficient de diffusion moléculaire

$\omega$  : Porosité

$\omega_c$  : Fraction d'eau mobile ou teneur en eau mobile =  $V_{wm}/V_T$

$\omega'$  : Fraction d'eau immobile ou teneur en eau immobile :  $V_{wim}/V_T$

### 7-2 La dispersivité

Le tenseur de dispersion peut se mettre sous la forme :

$$\overline{D} = \begin{pmatrix} \alpha_L & 0 & 0 \\ 0 & \alpha_T & 0 \\ 0 & 0 & \alpha_T \end{pmatrix} \times V_e$$

pour un intervalle de nombre de Peclet défini par O. PFANKUCH.

- $V_e$  : vitesse effective  
 $\alpha_L$  : dispersivité longitudinale (L)  
 $\alpha_T$  : dispersivité latérale (L)

$\alpha_L$  et  $\alpha_T$  seraient des caractéristiques intrinsèques du terrain. Or, DIEULIN (1980) propose l'expression suivante :

$D_L = V_e^{3/2} \times g(x)$  ou  $g(x)$  est une caractéristique intrinsèque du terrain ; ceci d'après des études sur colonne (écoulement monodimensionnel uniforme) et sur terrain alluvionnaire (écoulement bidimensionnel uniforme).

En effet, il a étudié le rapport  $\frac{D_L(t)}{V_e} = \alpha_L$  en fonction de la distance  $V_{ext}$  et il montre que  $\alpha_L$  n'est pas indépendante de la vitesse.

### 7-3 Dispersion en milieu fissuré à matrice imperméable et poreuse

L'équation de dispersion établie précédemment reste valable pour le milieu fissuré.

Le seul mécanisme de migration dans la matrice est la diffusion moléculaire. Si  $\omega_m$  est la porosité de la matrice et  $C'$  la concentration du traceur dans l'eau retenue dans la matrice, la masse échangée par unité de surface de contact entre les deux milieux est  $\phi'_{d_m} = -\omega_{d_m} \overrightarrow{\text{grad}} C'$ .

L'équation de dispersion devra tenir compte de ce flux échangé qui sera introduit comme terme source dans l'équation (DE MARSILY, 1980)

$$\text{div} (\omega_c \overline{\overline{D}} \overrightarrow{\text{grad}} C - C\vec{V}) = \omega_c \frac{\partial C}{\partial t} + \gamma \phi'_{d_m}$$

$$\gamma = \frac{\text{aire des plans de fissures}}{\text{volume du milieu}}$$

Si l'on admet qu'il y a linéarité entre  $C$  et  $C'$ , on peut écrire :

$$\text{div} (\omega_c \overline{\overline{D}} \overrightarrow{\text{grad}} C - C\vec{V}) = \omega_c \left( 1 + \frac{\gamma K'}{\omega_c} \right) \frac{\partial C}{\partial t}$$

$$R = 1 + \frac{\gamma K'}{\omega} \text{ est le coefficient de retard.}$$

### 7-4 Quelques valeurs de dispersivité pour le milieu fissuré

Peu de valeurs de dispersivité sont connues pour le milieu fissuré :

Basaltes (AHLSTROM et al cité par DE MARSILY 1978) :  $\alpha_L = 30 \text{ m}$   
 $\alpha_T = 20 \text{ m}$

Basaltes et couches sédimentaires intercalaires (ROBERTSON (1974) cité par G. DE MARSILY 1978) :  $\alpha_L = 91 \text{ m}$   
 $\alpha_T = 137 \text{ m}$

Calcaire fissuré (G. ROVE 1978) :  $\alpha_L = 12$  m

Craie du Sénonien (POREL 1982) :  $0,17 < \alpha_L < 4,51$

La méthode d'obtention de la dispersivité est indiquée en annexe 3.



DEUXIEME PARTIE

UTILISATION DES LOIS DE L'HYDRODYNAMIQUE ET DE L'HYDRODISPERSION  
POUR L'ETUDE DES EAUX SOUTERRAINES DE L'AVESNOIS



UNIVERSITY OF CALIFORNIA



LIBRARY OF THE UNIVERSITY OF CALIFORNIA  
1000 UNIVERSITY AVENUE, LOS ANGELES, CALIF. 90024

## VIII. TRAITES GENERAUX DE LA GEOLOGIE ET DE L'HYDROGEOLOGIE DE L'AVESNOIS

---

### 8-1 Géologie

L'Avesnois fait partie d'un ensemble situé à la terminaison occidentale des Ardennes, et plus particulièrement, à la bordure sud du synclinorium de Dinant. Lors de la phase asturienne de l'orogénèse hercynienne, les terrains primaires furent plissés en petits synclinaux et anticlinaux de direction générale Est-Ouest puis faillés.

Le Trias et le Jurassique sont absents, le Wealdien est conservé dans des poches du socle paléozoïque calcaire, principalement dans des dépressions situées au contact de terrains calcaires et de terrains pélitiques. Les sédiments déposés lors de la transgression crétacée sont discordants sur le primaire. Le pays a connu un épisode continental marqué par des dépôts lacustres ou fluviatiles du Landenien (régression fin crétacé). La transgression marine du tertiaire s'est produite pendant l'Yprésien supérieur (Cuisien) dont il subsiste des lentilles sableuses.

### 8-2 Hydrogéologie

Plusieurs aquifères sont présents en Avesnois :

- l'aquifère du Dévonien moyen : la porosité des calcaires frasniens et givetiens est faible, mais grâce à leur fracturation, ils contiennent une nappe assez bien exploitée.
- l'aquifère du Fammenien : le Fammenien, constitué de pélites, grès et psammites était considéré comme imperméable. A l'affleurement, les schistes sont fissurés et altérés ce qui permet l'existence d'une nappe limitée en profondeur.
- l'aquifère du Dinantien : lors de la phase asturienne, le Dinantien fut plissé pour donner un ensemble de synclinaux de direction Est-Ouest. Chacune de ses formations est composée de calcaires et dolomie et contient une nappe dont la circulation s'effectue par les fissures.
- l'aquifère du Turonien : le Crétacé, transgressif sur le socle primaire, contient dans ses parties inférieure et moyenne des bancs calcaires séparés par d'épaisses couches de marnes. La nappe est localisée au niveau de ces calcaires.

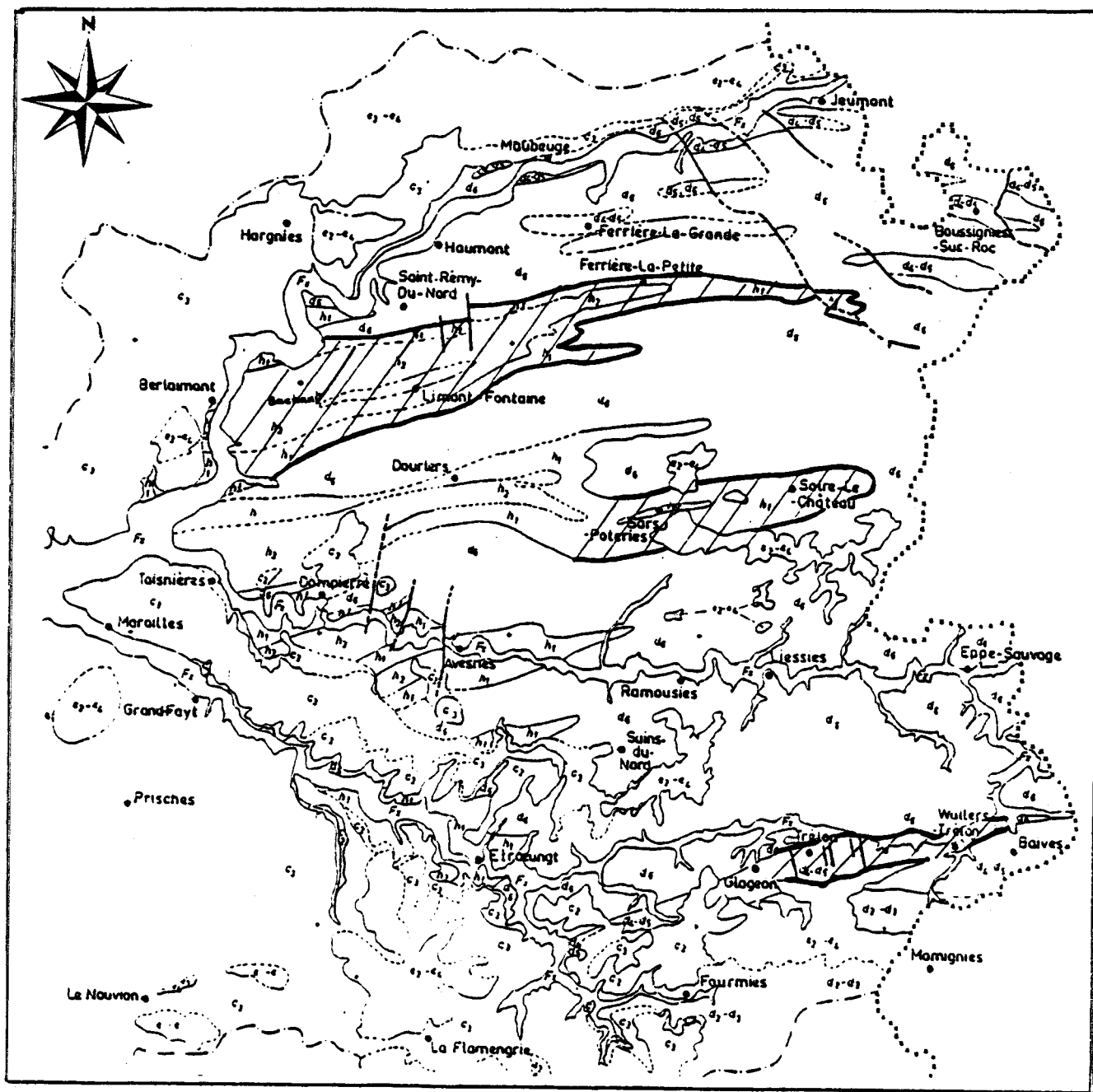
- l'aquifère des sables tertiaires : les massifs sableux sont souvent localisés au niveau des poches de dissolution de la surface du primaire. Ils affleurent pourtant à SARS-POTERIES et WALLERS-TRELON. Ils possèdent des perméabilités très faibles dues à leur taux élevé en matériaux argileux d'où leur utilisation comme substratum de décharge.
- l'aquifère des alluvions : seules les alluvions de la Sambre sont réellement aquifères.

		Aquicludes		Aquifères		
CENOZOIQUE	quaternaire	Holocène		Alluvions récentes (c2)		
		Pléistocène	Limons des plateaux (LP)			
	tertiaire	Eocène		Yprésien (L4)		
		Paléocène		Landenien (L2)		
MESOZOIQUE	Secondaire	Crétacé	Cénomaniens (c1-c2)	Turonien (C3)		
PALEOZOIQUE	Primaire	Carbonifère		Dinantien (h1-h2)		
		Dévonien	Famennien (d6)			
					Frasnien (d5)	
				Couvinien (d3)		Givétien (d4)
		Emsien (d2)				

Tableau 1 - Principaux aquifères de l'Avesnois.

Les secteurs étudiés (figure 2) sont :

- le synclitorium de Bachant-Ferrière-La-Petite
- le synclinal de Sars-Poteries
- le monoclinale de Trélon-Wallers-Trélon.




 secteurs étudiés  
5 km



figure 2 - CARTE GEOLOGIQUE SIMPLIFIEE DE L'AVESNOIS-  
(d'après Delporte 1979)



## IX. LE SYNCLINORIUM DE BACHANT

### 9-1 Géologie

#### 9-11 Stratigraphie

Dès 1880, J. GOSSELET a étudié la stratigraphie des secteurs de Maubeuge et de Bachant. Au niveau des formations primaires, il a reconnu :

Le Fammenien : Il est constitué successivement de schistes\* feuilletés qui affleurent à Marpent, Maubeuge, Ostergnies, Colleret et Hautmont ; de psammites qui sont des grès micacés, tantôt en feuillets minces, tantôt en bancs volumineux ; et de schistes argileux accompagnés de bancs calcaires compacts, gris à bleu à structure sublamellaire due à la présence de nombreuses tiges d'encrines (schistes et calcaire d'Etroeungt).

Le Carbonifère : J. GOSSELET y a reconnu huit formations qui sont successivement :

- le calcaire d'Avesnelles qui est un calcaire noir surmonté de schistes très fissiles
- "le petit granite" qui est un calcaire à encrines
- le calcaire de Waulsort qui est un calcaire rose à noyaux spathiques
- le calcaire de Bachant qui est un calcaire noir, compact ou subgrenu dont les bancs peuvent être épais ou mince ; cette formation a été étudiée ultérieurement en détail par CARPENTIER (1913) et DERVILLE (1952) qui montrent que ce calcaire présente de grande variation tant au niveau du faciès que de la faune
- la dolomie de Namur qui alterne avec des bancs calcaires
- le calcaire du Hauts-Banc qui est un calcaire gris blanc alternant avec des couches dolomitiques
- le calcaire de Limont qui est un calcaire blanc ou rosé et enfin le calcaire de St Rémy-Chaussée qui est un calcaire noir ou blanc, à banc dolomitique, fendillé ; ce calcaire peut présenter un aspect véritablement brèchique lorsque les fentes sont nombreuses.

De 1960 à 1970, C. DELATTRE, B. POLVECHE, B. et G. WATERLOT ont repris les travaux de J. GOSSELET et ont abouti à une description plus détaillée du carbonifère qui est divisé en quatre sous-étages qui sont :

\*Le mot schiste est employé pour définir des formations pelitiques ; c'est un vocabulaire régional car aucun métamorphisme n'est apparent dans la zone étudiée.



Le Tournaisien constitué du calcaire d'Avesnelles, du petit granite, du calcaire bleu à phanites, et de la dolomie du camp de Coesar qui correspond au niveau stratigraphique au calcaire de Waulsort de GOSSELET.

Le Viséen inférieur qui est constitué du calcaire de Bachant et d'un calcaire dolomitique qui correspond à la dolomie de Namur de GOSSELET.

Le Viséen moyen constitué du calcaire de fontaine qui correspond au calcaire du Haut-Banc de GOSSELET

Le Viséen supérieur constitué du banc d'or (brèche pyriteuse), du calcaire de Limont et du calcaire de St Hilaire qui correspond au calcaire de St Rémy Chaussée de J. GOSSELET. Le sommet du Viséen supérieur est caractérisé par les schistes de Queue-Noir-Jean dont l'aspect carbonneux annonce les formations namuriennes.

Seul le banc d'or n'avait pas été observé par J. GOSSELET.

Il convient de signaler que GOSSELET n'avait pas distingué d'étage de passage entre le Fammenien et le Tournaisien ; en effet il avait placé les schistes et calcaires d'Etroeungt dans le Fammenien ; or cette zone d'Etroeungt contient des faunes dévoniennes, notamment au niveau des schistes, et des faunes dinantiennes au niveau des calcaires (F. LETHIERS 1982). Il a donc semblé logique de désigner la zone d'Etroeungt comme une zone intermédiaire entre le Fammenien et le Tournaisien : le Strunien. Actuellement on distingue deux types de Strunien :

Le Strunien s.s : schiste et calcaire d'Etroeungt.

Le Strunien s.l ou Strunien au sens de CONYL (1964) : schiste et calcaire d'Etroeungt et schistes de l'épinette qui sont une épaisse formation comprise entre le Fammenien et le Strunien s.s

Le fait que les schistes de l'Épinette présentent plus d'affinités paléontologiques avec le Strunien s.s qu'avec le Fammenien, et leur caractère transgressif dans l'ensemble du bassin franco-belge après la régression du Fammenien supérieur expliquent la position logique des schistes de l'Épinette à la base du Strunien.

La figure (4) synthétise les données stratigraphiques du synclinorium.

#### 9-12 Paléogéographie et tectonique

Les schistes et psammites (sédiments détritiques) du Fammenien indiquent une phase régressive. Le passage entre le Dévonien et le Carbonifère



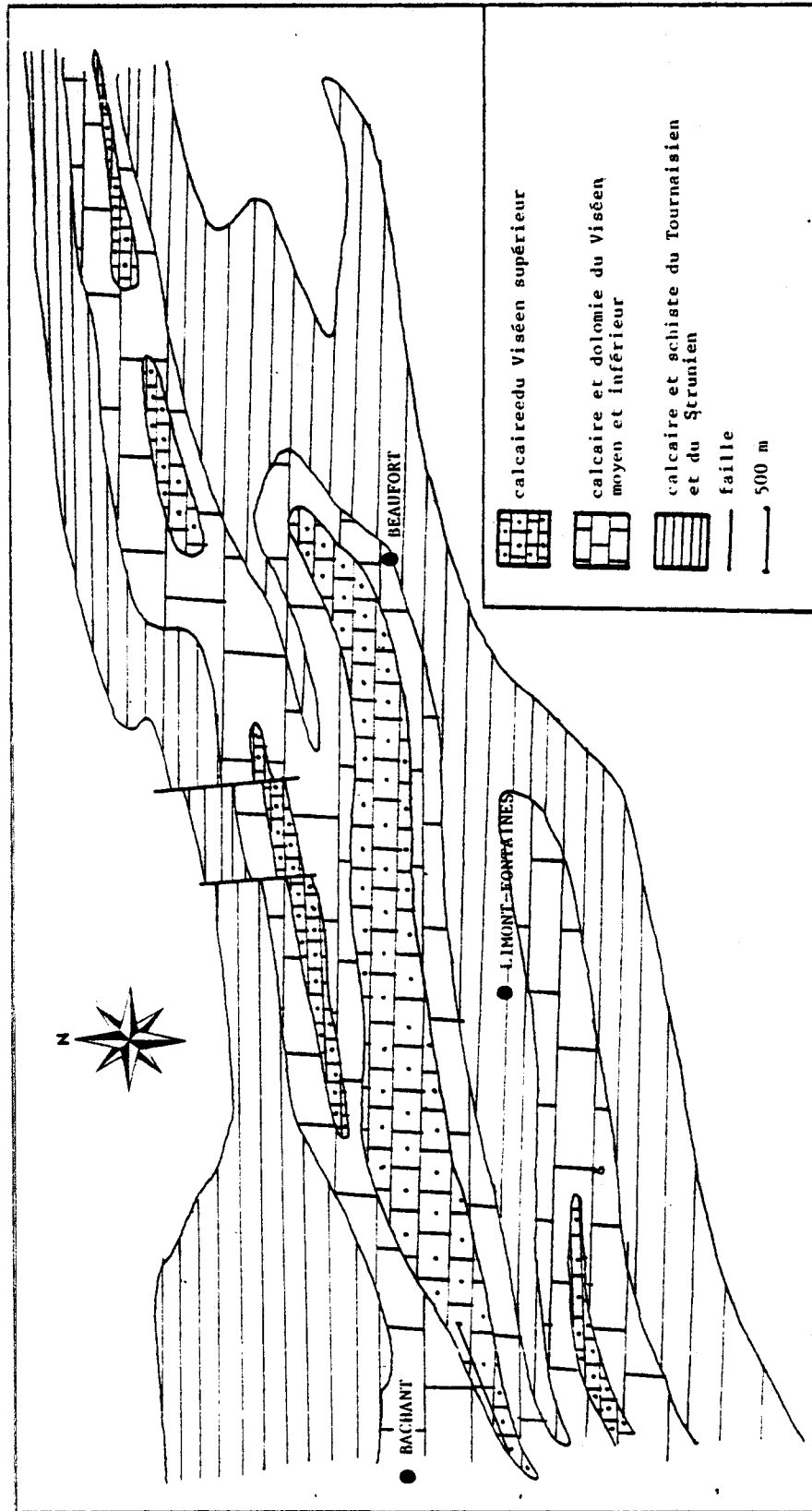


figure 3 - SCHEMA GEOLOGIQUE DU SYNCLINORION DE BACHIANT-

BUS  
LILLE

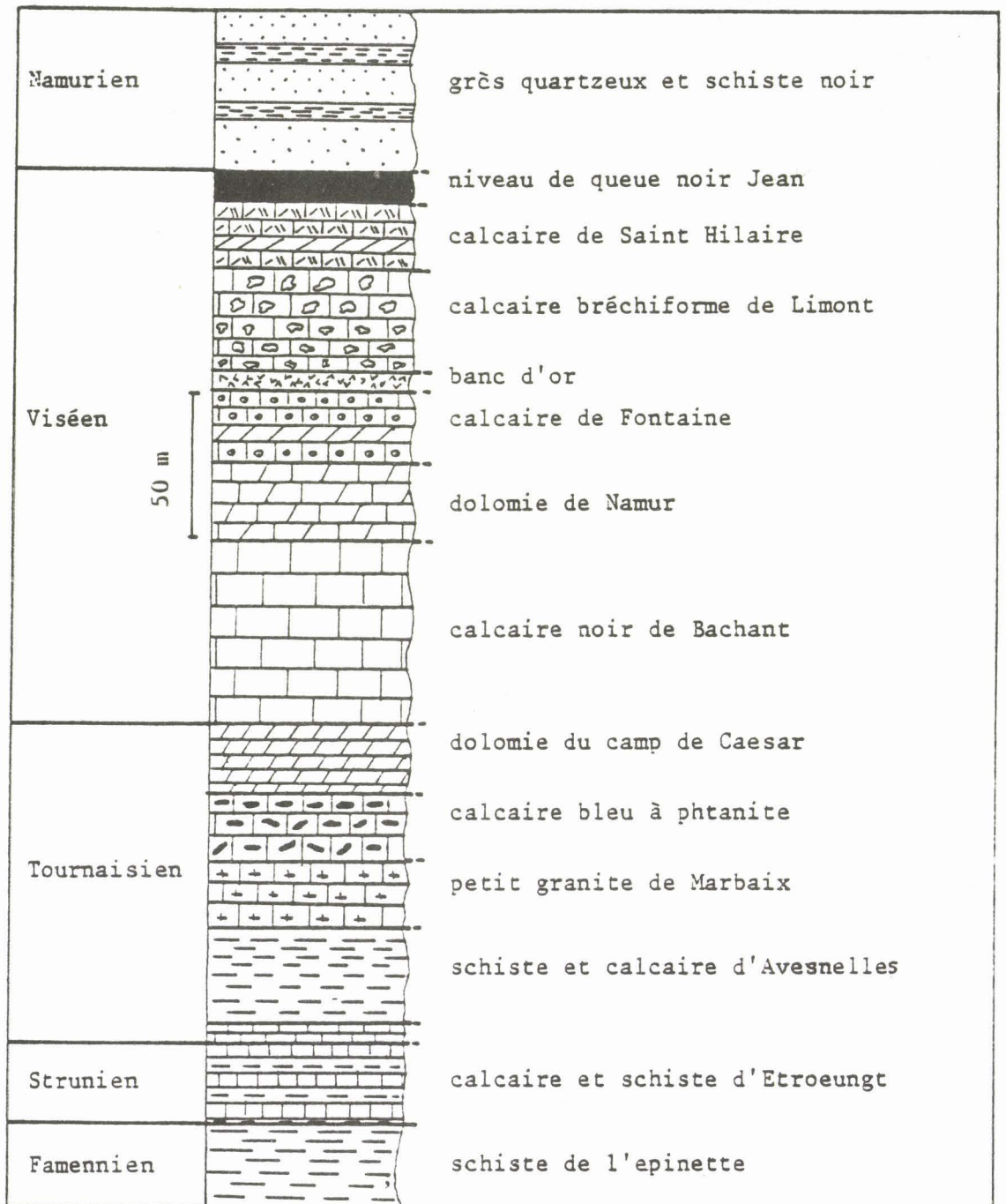


figure 4 - COLONNE STRATIGRAPHIQUE DU SYNCLINORIUM DE BACHANT-  
 (d'après la notice de la carte géologique d'Avesnes  
 à 1/50 000)

est représenté par le Strunien qui est un faciès de transition entre ces deux périodes, tant sur le plan paléontologique que sédimentologique. L'assise, forte de 25 mètres, montre une intercalation progressive de schistes calcareux et des bancs de calcaire pur qui deviennent prédominant vers le sommet de l'étage et annoncent la grande transgression dinantienne.

Au Dinantien commence l'importante transgression marine carbonifère ; les apports détritiques ont alors pratiquement cessé et il n'y aura plus qu'une sédimentation chimique.

Le Tournaisien, épais de 70 m, est marqué par une légère régression marquée par les schistes d'Avesnelles dont l'épaisseur peut aller jusqu'à 20 m. La diversité des faciès du Viséen inférieur : calcaire fin de Bachant (eaux calmes), calcaires organoclastiques ou oolithiques (eaux agitées) montre la mobilité du fond de la mer ; cette instabilité produit aussi des glissements et des plis synsédimentaires ; son épaisseur est d'environ 45 m. Au Viséen moyen, il y eut d'abord le comblement des dépressions avec le dépôt d'un calcaire massif très pur pouvant parfois contenir des niveaux de calcaire dolomitique. Le sommet de l'assise montre quelquefois une texture oolithique indiquant un remaniement des sédiments en mer peu profonde et agitée, son épaisseur est de 45 m. Le Viséen supérieur est caractérisé par une rythmicité de sédimentation ; les brèches intraformationnelles résultent de déformations en écho de la phase sudète. L'envahissement progressif par des sédiments détritiques annonce le régime terrigène du Namurien ; son épaisseur est d'environ 45 m. A la fin du Carbonifère, la phase asturienne entraîne la déformation de toute la série primaire ; le synclinorium de Dinant vient chevaucher le synclinorium de Namur par l'intermédiaire de la Faille du Midi. Des ondulations provoquées dans ce même synclinal naissent les différentes unités paléozoïques de l'Avesnois dont l'une est le synclinorium de Bachant-Ferrière-La-Petite. De ce fait la structure du synclinorium est composée d'une alternance d'anticlinaux et de synclinaux ; on peut y distinguer cinq synclinaux :

- synclinal de Fontaine
- synclinal d'Eclaibes
- synclinal de Berlaimont
- synclinal de Bachant
- synclinal de Ferrière-La-Petite

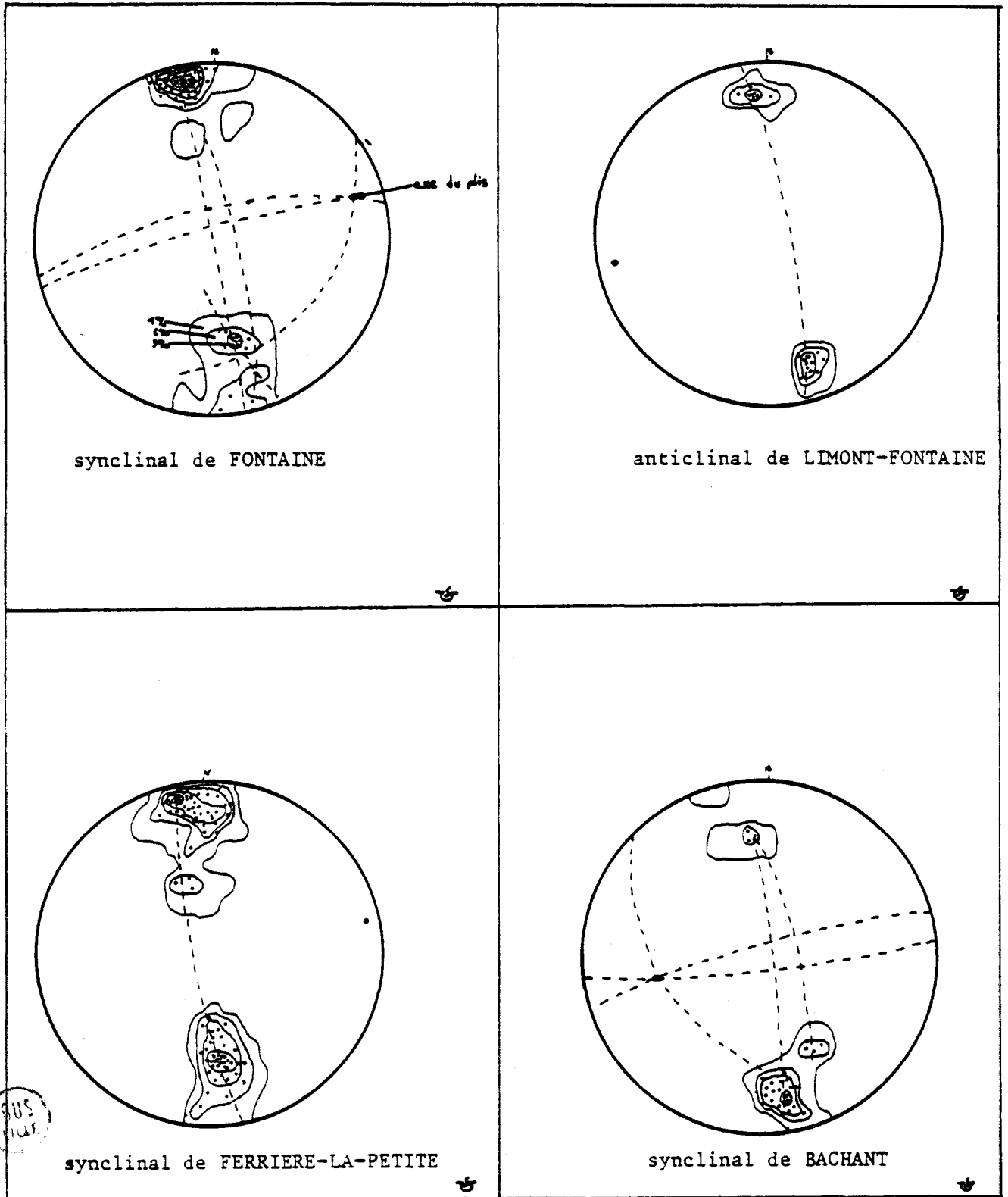


figure 5 - REPRESENTATION STEREOGRAPHIQUE DES AXES SYNCLINAUX ET ANTICLINAUX DU SYNCLINORIUM DE BACHANT-

### 9-13 Etude des plis

L'étude de la stratification (figure 5) au niveau de charnières de plis a montré de faibles surélévations d'axe de plis, certains pouvant être interprétés comme des plis coniques. De plus, un certain étirement subnormal des zones d'isodensité au grand cercle joignant les pôles des stratifications semblerait indiquer une reprise des plis selon une déformation Est-Ouest.

Durant la période d'émersion qui suivit la phase asturienne de l'orogénèse hercynienne, le relief existant est aplani et une karstification s'opère. A la fin du Jurassique, la phase néocimérienne déforme une nouvelle fois le socle paléozoïque qui acquiert sensiblement sa configuration actuelle.

DENOMINATION	AZIMUT DE L'AXE
synclinal de Ferrière-La-Petite	80°/8°
anticlinal de Limont-Fontaine	260°/10°
synclinal de Fontaine	72°/10°
synclinal de Bachant	258°/38°

tableau 2-AZIMUT DE L'AXE DES PLIS  
DU SYNCLINORIUM DE BACHANT-

### 9-2 Fracturation

#### 9-21 Introduction

L'étude de la fracturation du synclinorium a été entreprise afin de déterminer certains paramètres tels que les conductivités hydrauliques directionnelles qui interviennent dans le fonctionnement hydrodynamique de l'aquifère ; en effet, les calcaires du synclinorium étant pour la plupart compacts, on peut émettre l'hypothèse que la circulation des eaux souterraines s'effectue essentiellement au niveau des fissures. Cette étude, portant sur la répartition directionnelle, sur la fréquence et sur l'ouverture des fissures, va permettre de cerner les modalités de l'écoulement au niveau du synclinorium.

### 9-22 Définitions (d'après J.P.COLBEAUX 1982)

"Au cours des dernières décennies la définition des fractures s'est vue orientée vers la différenciation basée sur l'échelle d'observation ; le terme de diaclase étant réservé à des fractures sans déplacement, le terme de joint étant réservé à des fractures sans ou avec un petit déplacement et désignant par extension toute surface de rupture non cartographiable (KELLEY et CLINTON 1960). Le terme de faille désigne des fractures cartographiables ayant inclus des déplacements".

La nomenclature de J.P. COLBEAUX permet de distinguer :

- les joints (J) qui sont des ruptures simples, d'échelle centimétrique ou métrique
- les joints bien marqués (JBM) qui sont des ruptures bien visibles affectant un ou plusieurs bancs et qui engendrent des blocs faisant saillie sur le front de taille
- les grands joints qui sont des ruptures recoupant tous les bancs sur la hauteur du front de taille
- les joints stratigraphiques ou stratification.

### 9-23 Méthode de relevé sur le terrain

Pour chaque joint, ont été mesurés pendage et direction, ouverture (écartement des épontes), espacement entre joints d'une même famille (joints de même pendage et direction). De plus a également été relevé un remplissage éventuel de calcite, ou d'argile, un aspect karstique (trace de dissolution) . Ces mesures ont été effectuées à l'aide d'une boussole à clinomètre et d'un décimètre.

### 9-24 Etude statistique des données de terrains

Il faut un minimum de 50 mesures par affleurement pour que l'étude statistique soit significative. Les mesures de joints (direction et pendage) ont été reportés sur canevas de Schmidt (hémisphère inférieur) où le plan de joint est représenté par son pôle.

L'estimation de la densité des nuages de points se fait manuellement à l'aide d'une fenêtre représentant 1 % de la surface du canevas\* ; le comptage fait, il est alors possible de tracer les zones d'isodensité (fig. 6) qui représentent un nombre de pôle dans 1 % de la surface du stéréogramme.

\* La densité s'exprime en %, 5 % signifie que 5 pôles sont concentrés dans 1 % de la surface totale du stéréogramme, bien qu'il s'agisse d'un abus de langage, cette nomenclature est universellement admise.

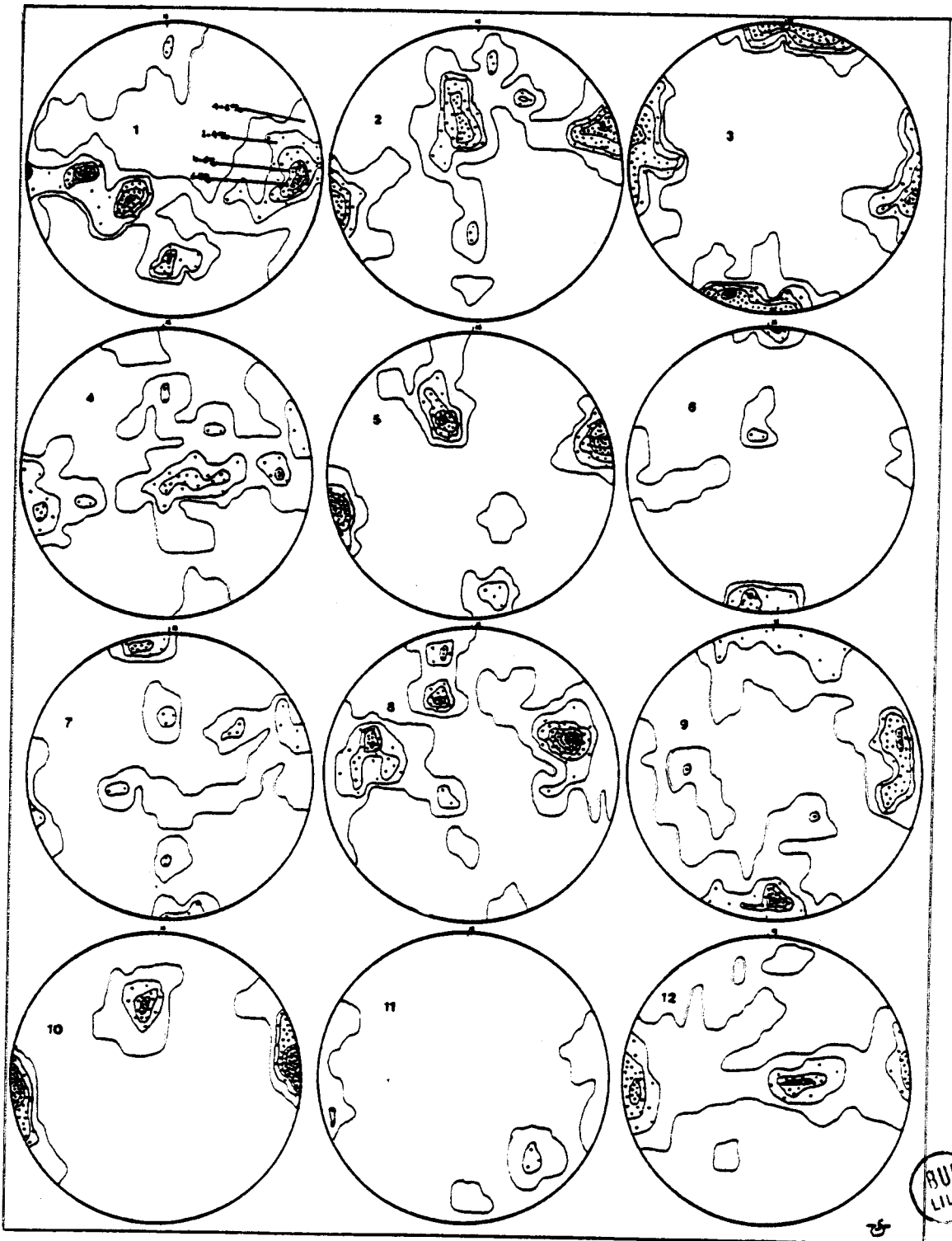


figure 6 - REPRESENTATION STEREOGRAPHIQUE DE LA FRACTURATION  
DU SYNCLINORIUM DE BACHANT-



Les résultats sont ensuite répertoriés sur un tableau (tableau 3) où est indiqué pour chaque famille de joints le pourcentage, le nombre de grands joints, de joints bien marqués, le nombre de joints présentant des traces d'écoulement, la fréquence ( $L^{-1}$ ), la fréquence des joints ouverts ( $L^{-1}$ ), l'ouverture (L) et un coefficient de pondération.

PAYS: France		REGION: Avesnois		LIEU DIT: carrière CBS		NOMBRE DE MESURES: 91				
ANTICLINAL	coeur	REMARQUES: karst selon la stratification(E-W) ouverture=0.09cm fréquence=0.02								
	bord									
SYNCLINAL	coeur									
	bord									
MONOCLINAL										
		%	GJ	JBM	KARST	FREQUENCE	FREQUENCE(J.ouvert)	OUVERTURE	PONDERATION	
DIRECTIONS ET PENDAGES DES FAMILLES PRINCIPALES DE JOINTS	170-180/W/30-40	7	1	7	0	0.035	0.015	0.001	14.18	
	160-180/E/65-90	5	3	7	1	0.115	0.015	0.001	14.81	
	160-180/W/65-90	5	3	7	1	0.115	0.015	0.001	14.81	
DIRECTIONS ET PENDAGES DES JOINTS ALEATOIRES	85/N/10									
	130/S/25									
	150/W/15									
	160/E/45									
	63/N/40									
	30/E/70									
	40/N/50									
	55/S/30									
	135/W/80									
	150/E/80									

tableau 3-TABLEAU SYNTHETIQUE DES DONNEES DE FRACTURATION-

ce coefficient a été calculé en tenant compte des paramètres suivants :

- contexte géologique : anticlinal (coeur : 0  
(bord : 5)
  - synclinal (coeur : 10  
(bord : 5)
  - du pourcentage : 10 pour la plus forte densité (22 %)
  - nombre de joints bien marqués : 3 pour le plus grand nombre (33)
  - nombre de grands joints : 3 pour le plus grand nombre (21)
  - fréquence des joints ouverts : 5 pour la plus grande fréquence (0,46)
  - l'ouverture : 5 pour la plus grande ouverture (0,05)
  - traces de circulation d'eau : 5 pour le plus grand nombre de trace (4).
- Ce coefficient, égal au maximum à 46, représente, en fait, une note d'aptitude à la circulation d'eau et n'est à prendre en considération que sur un plan purement qualitatif.



### 9-25 Schéma structural

Sur ce schéma (fig. 7) sont indiqués les axes synclinaux et anticlinaux ainsi que leur azimuth, les failles cartographiées, et la fracturation en représentation stéréographique.

Les familles principales de fractures à forte pente (pendage supérieur à  $60^\circ$ ) sont celles de direction  $80-90^\circ$ ,  $170-180^\circ$  ; celles à faible pente (pendage inférieur à  $45^\circ$ ) sont  $70-90^\circ$ ,  $170-180^\circ$ , et, secondairement,  $140-150^\circ$ .

Les failles cartographiées par C. DELATTRE, B. POLVECHE, G. WATERLOT (1967) et B. WATERLOT (1970) ont des directions similaires aux directions de fractures.

La faille de l'Horipette avait été cartographiée par C. DELATTRE, B. POLVECHE et G. WATERLOT (1967) comme une faille de direction  $N 30^\circ$ , alors que DASSONVILLE et PLAT (1968) avaient mesuré une direction  $N 80^\circ$ .

J'ai mesuré une direction  $N 80^\circ$ , corroborée par une famille principale de fractures de même direction.

Les synclinaux et anticlinaux ont une direction  $70-80^\circ$  et montrent des surélévations d'axes. Il a été montré qu'ils sont de types coniques ou cylindriques.

Au niveau de la région, J.P. COLBEAUX vient d'établir (1983), une chronologie relative des phases de déformation qui a permis de dresser un historique de la genèse des fractures et des plis du secteur étudié. Les plis d'axe Est-Ouest sont issus de la phase asturienne de l'orogénèse hercynienne (phase P1), de même que les fractures  $170-180^\circ$  à forte pente, et les fractures  $70-90^\circ$  à faible pente. La phase P2 du permotrias a généré des plis d'axe Nord-Sud, ce qui explique les surélévations d'axes des plis du secteur, et les fractures  $170-180^\circ$  à faible pente. La phase P3, fini Trias anté Rhétien, a fait rejouer les fractures  $70-90^\circ$  et  $170-180^\circ$  à faible pente. La phase P4, du Miocène a donné naissance aux fractures  $80-90^\circ$  à forte pente. Enfin, à la fin du Pléistocène moyen, la phase P5 a fait rejouer les fractures  $170-180^\circ$  à forte pente et en a généré un nombre très inférieur à celui relatif à la phase P1.

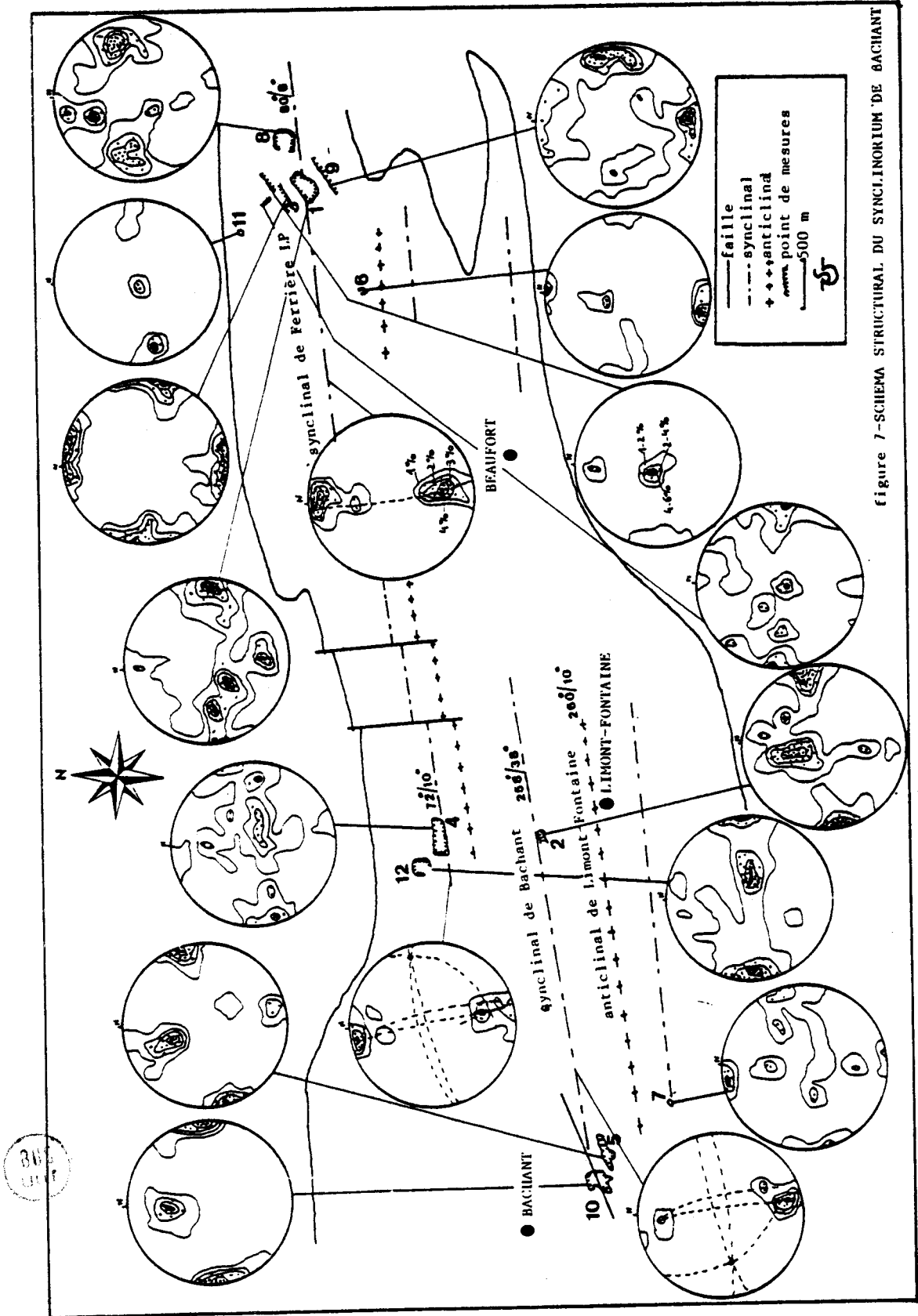


figure 7-SCHÉMA STRUCTURAL DU SYNCLINORIUM DE BACHANT

## 9-26 Représentativité des mesures à l'échelle du synclinorium

### 9-261 Introduction

Dans maints problèmes, on est amené à évaluer les caractéristiques d'une population à partir d'un échantillonnage donné ; même si les échantillons ont été extraits sans aucune sélection, de façon à être représentatifs, les caractéristiques qu'ils fournissent ne sont pas les caractéristiques exactes de la population, elles s'en écartent plus ou moins et il convient d'étudier leurs fluctuations.

### 9-262 Etude des fluctuations de la fracturation

Les données statistiques permettant ce type d'étude sont indiquées en annexe (5).

L'étude des fluctuations porte sur deux groupes de fractures :

- les fractures à forte pente (pendage  $\geq 60^\circ$ )
- les fractures à faible pente (pendage  $\leq 45^\circ$ ).

Au niveau de chaque groupe, les fluctuations sont étudiées sur les paramètres suivants :

- pourcentage de chaque famille de fractures
- fréquence dans chaque famille de fractures
- écartement des épontes dans chaque famille de fractures.

L'intervalle de confiance est déterminé pour le risque  $P = 1/5$ .

. Fractures à forte pente (tableau 4) :

Les familles prépondérantes sont celles de direction  $80-90^\circ$ ,  $170-180^\circ$ .

Exemple d'utilisation du tableau :

Pour la famille de direction N  $170^\circ$ , en un point quelconque du synclinorium, le risque est de  $1/5$  pour que le pourcentage de cette famille soit hors de la fourchette  $52,8\% - 12,6\%$ , pour que la fréquence soit hors de la fourchette  $0,08 - 0,032 \text{ m}^{-1}$ , pour que l'écartement des épontes soit hors de la fourchette  $0,0058\text{m} - 0,0025\text{m}$ .

. Fractures à faible pente (tableau 5) :

Les familles prépondérantes sont celles de direction  $70-90^\circ$ ,  $170-180^\circ$ .

DIRECTION	0	10	20	30	40	50	60	70	80	90	100	110	120	130	140	150	160	170	180	
MOYENNE	0	3.9	0	5.7	0	0	0	5.3	7.5	5.9	2.3	0	0	0	0	3.4	52.8	13.03		POURCENTAGE
VARIANCE	0	1319	0	253.9	0	0	0	253.6	356.7	588	9039	0	0	0	0	192.5	1652	1098		
INTERVALLE DE CONFIANCE	0	3.56	0	5.09	0	0	0	4.94	7.52	7.92	2.95	0	0	0	0	4.30	12.60	10.29		
MOYENNE	0	.004	0	.003	0	0	0	.009	.009	0	0	0	0	0	0	.009	.082	.007		FREQUENCE
VARIANCE	0	.0001	0	.0001	0	0	0	.001	.0005	0	0	0	0	0	0	.0014	.010	.0003		
INTERVALLE DE CONFIANCE	0	.004	0	.003	0	0	0	.009	.007	0	0	0	0	0	0	.0110	.032	.0056		
MOYENNE	0	3510 <sup>-5</sup>	0	2910 <sup>-5</sup>	0	0	0	.002	.001	.0006	.003	0	0	0	0	610 <sup>-4</sup>	.0058	.0035		OUVERTURE
VARIANCE	0	1510 <sup>-7</sup>	0	1510 <sup>-7</sup>	0	0	0	510 <sup>-5</sup>	10 <sup>-5</sup>	510 <sup>-6</sup>	1410 <sup>-5</sup>	0	0	0	0	610 <sup>-6</sup>	6.610 <sup>-5</sup>	.00015		
INTERVALLE DE CONFIANCE	0	310 <sup>-4</sup>	0	310 <sup>-4</sup>	0	0	0	.002	.001	.0007	.003	0	0	0	0	710 <sup>-4</sup>	.0025	.0038		

tableau 4-REPRESENTATIVITE DES MESURES A L'EHELLE DU SYNCLINORIUM DE BACHANT POUR LES FRACTURES A FORTE PENTE-

DIRECTION	0	10	20	30	40	50	60	70	80	90	100	110	120	130	140	150	160	170	180	
MOYENNE	5.88	0	0	0	0	0	8.88	14	18.82	0	0	0.9	0	0	4.38	0	7.23	21.26		POURCENTAGE
VARIANCE	588	0	0	0	0	0	698	538	1523	0	0	15.9	0	0	178	0	602	1555		
INTERVALLE DE CONFIANCE	7.5	0	0	0	0	0	8.27	3	12.1	0	0	1.15	0	0	4.14	0	7.62	12.24		
MOYENNE	610 <sup>-5</sup>	0	0	0	0	0	810 <sup>-4</sup>	.001	5.10 <sup>-4</sup>	0	0	6.10 <sup>-5</sup>	0	0	3.10 <sup>-4</sup>	0	1.10 <sup>-4</sup>	5.310 <sup>-4</sup>		FREQUENCE
VARIANCE	610 <sup>-4</sup>	0	0	0	0	0	710 <sup>-2</sup>	.10 <sup>-4</sup>	6.10 <sup>-6</sup>	0	0	6.10 <sup>-3</sup>	0	0	1510 <sup>-7</sup>	0	10 <sup>-7</sup>	15.10 <sup>-7</sup>		
INTERVALLE DE CONFIANCE	710 <sup>-5</sup>	0	0	0	0	0	810 <sup>-4</sup>	.001	7.10 <sup>-4</sup>	0	0	7.10 <sup>-5</sup>	0	0	3.710 <sup>-4</sup>	0	10 <sup>-4</sup>	3.210 <sup>-4</sup>		
MOYENNE	.003	0	0	0	0	0	.01	.016	.020	0	0	.0006	0	0	.01	0	.01	.016		OUVERTURE
VARIANCE	.10 <sup>-4</sup>	0	0	0	0	0	10 <sup>-3</sup>	.002	.002	0	0	6.10 <sup>-6</sup>	0	0	.001	0	.001	.001		
INTERVALLE DE CONFIANCE	.08	0	0	0	0	0	.01	.014	.014	0	0	7.10 <sup>-4</sup>	0	0	.009	0	.01	.010		

tableau 5-REPRESENTATIVITE DES MESURES A L'EHELLE DU SYNCLINORIUM DE BACHANT POUR LES FRACTURES A FAIBLE PENTE-

RUS  
LILL

### 9-263 Commentaires

Les tableaux rendent compte de la répartition moyenne, homogénéisée, de chaque famille à l'échelle du synclinorium ; or, une famille qui a un pourcentage moyen faible, peut avoir, localement, un pourcentage réel très important ; évidemment, si en ce point, on ne dispose d'aucun affleurement, il faudra se contenter du pourcentage moyen représentatif. Il convient donc d'essayer de trouver des "indicateurs" de fracturation qui rendent compte du pourcentage réel de fractures. Si ces indicateurs s'avèrent représentatifs de l'état de fracturation, ils pourront permettre de résoudre le problème du manque d'affleurement, problème souvent posé dans les régions telles que l'Avesnois où la couverture végétale est importante.

### 9-3 Corrélation entre fracturation et géomorphologie

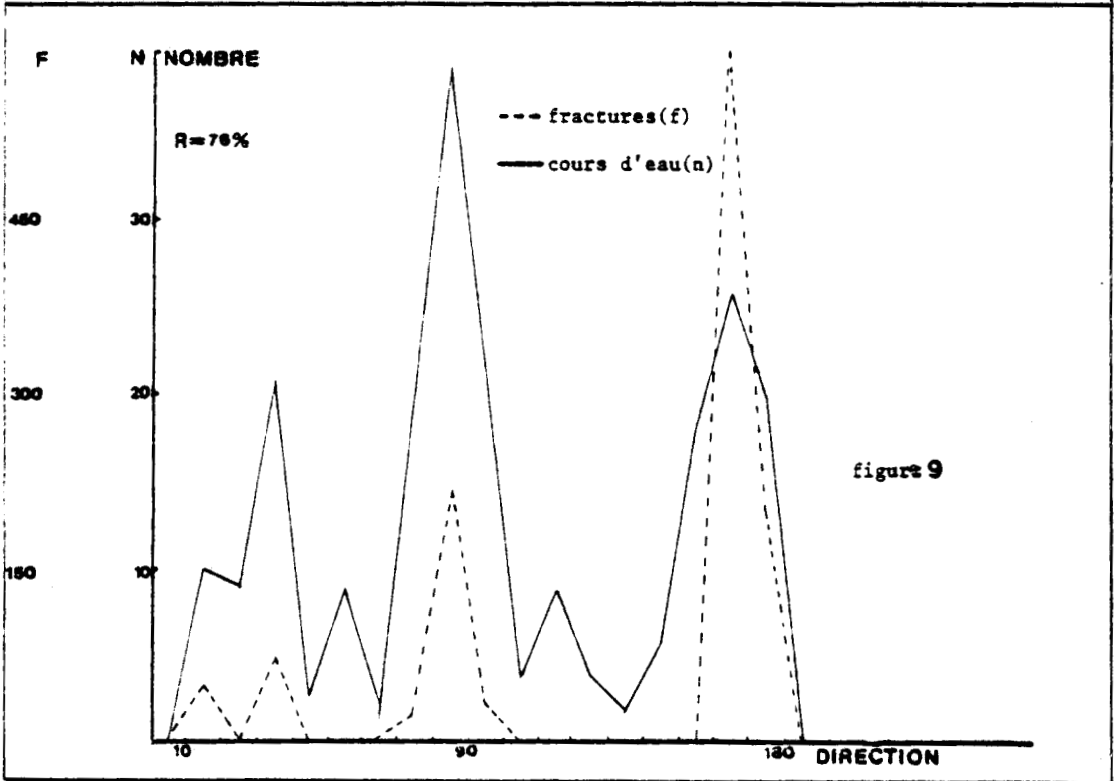
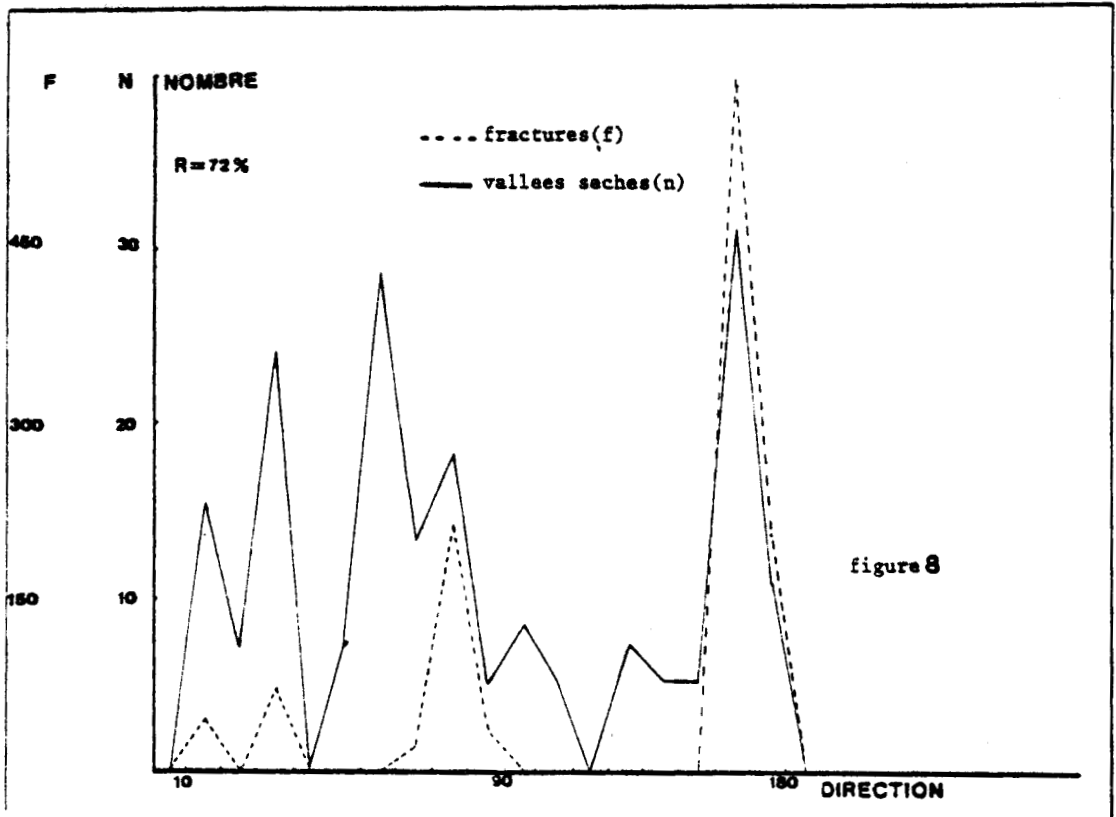
#### 9-31 Introduction

DAUBREE (1893) émit l'hypothèse d'une relation entre fracturation et géomorphologie. J.P. COLBEAUX et J. SOMME (1981) furent les premiers à effectuer ce type d'étude, de façon qualitative, sur le substrat crayeux du Nord de la France (feuille de DESVRES 1/50.000). Ils en ont déduit qu'au 1/50.000, la correspondance entre géomorphologie et fracturation n'est pas toujours évidente, alors qu'à plus grande échelle, la correspondance était sans équivoque. Dans ce chapitre, à la suite de ces auteurs, des comparaisons entre les paramètres suivants : fracturation, vallée sèche et cours d'eau sont présentés, tout d'abord de manière qualitative à l'aide des histogrammes comparés puis de façon quantitative à l'aide de lois statistiques.

#### 9-32 Etude qualitative

Les vallées sèches ont été relevées et comptabilisées pour chaque intervalle de 10° sur les cartes au 1/25.000 de Maubeuge, Avesnes et Trélon, au niveau du synclinorium de Bachant-Ferrière-La-Petite. Pour les cours d'eau, les mesures ont été effectuées au niveau des ruisseaux d'Eclaibes, d'Ecuelin, Desprès, de Waremme, de Glarge, de la Carnoye, des rivières la Solre, le Quievèlon, le Cligneux.

La méthode de travail consiste à mesurer les directions de vallées sèches et des coudes brusques des cours d'eau, de faire un comptage par famille et de les comparer aux nombres des familles à forte pente



figures 8 et 9—RELATION ENTRE TRAITES MORPHOLOGIQUES ET FRACTURATION—



de même direction. Les résultats sont présentés sur les figures 8 et 9. Les graphes comparés suggèrent une liaison, en direction, entre cours d'eau, vallées sèches et fractures.

### 9-33 Etude quantitative

Introduction :

Dans la nature, la plupart des paramètres peuvent à la fois ne pas être indépendants et ne pas être liés par une relation fonctionnelle qui pour un paramètre  $x$  lui associe un et un seul paramètre  $y$ , ce qui revient à dire que la probabilité d'obtenir la valeur de l'une des variables à partir de l'autre est égale à 1. Effectivement, la plupart des variables sont telles qu'à une valeur précise de  $x$  correspondent plusieurs valeurs de  $y$  et vice versa, on parle alors de liaison probabiliste ou stochastique. De plus, si la liaison stochastique est une relation linéaire, cette liaison s'appellera corrélation ou liaison corrélative. Un rappel théorique sur les liaisons corrélatives est présenté en annexe (6).

#### 9-331 Relation entre fracturation et cours d'eau

DIRECTION	0	10	20	30	40	50	60	70	80	90	100	110	120	130	140	150	160	170	180
NOMBRE DE FRACTURES	0	48	0	72	0	0	0	24	216	36	0	0	0	0	0	0	600	204	
NOMBRE DE COUDES DE COURS D'EAU -AU	2	10	9	21	3	9	2	20	39	20	4	9	4	2	6	8	26	20	

tableau 6-RELATION ENTRE FRACTURATION ET COURS D'EAU-

Aux valeurs nulles de certaines familles de fractures, correspondent diverses valeurs non nulles de cours d'eau dont la limite supérieure est 9. L'étude de la relation portera sur les nombres strictement positifs de fractures et les nombres de coudes de cours d'eau associés. Les nombres de fractures seront désignés par la variable  $x$ , les nombres de coude de cours d'eau par la variable  $y$ . De plus, la stratification de direction 70-100° peut influencer la variable  $y$ , il faut donc, dans un premier temps éliminer de l'étude ces familles .

moyennes :  $\bar{x} = 231$ ,  $\bar{y} = 19,25$

somme des carrés des écarts pour x : 195660  
 somme des carrés des écarts pour y : 134,75  
 somme des produits des écarts  $(\bar{x}-x_i)(\bar{y}-y_i)$  : 3885  
 coefficient de régression de y en x : 0,02  
 coefficient de régression de x en y : 0,034  
 coefficient de corrélation : 0,76  
 coefficient de Student : 2,34  
 probabilité d'erreur : 0,084  
 intervalle de confiance ex = 248,36  
 intervalle de confiance ey = 6,56  
 régression de y en x :  $y = 0,02 x + 14,63 \pm 6,56$   
 régression de x en y :  $x = 26,3 y - 324 \pm 248,36$

les droites de régression sont représentées sur la figure  
 Pour les familles 70-80°, 80-90°, 90-100°, il convient d'étudier l'influence de la stratification en prenant comme hypothèse de travail la validité de la corrélation :

DIRECTION	NOMBRE DE FRACTURES X	NOMBRE DE COUDES OBSERVES Y	CALCULES Y'	$\Delta Y$
70-80	24	20	15.11±6	4.86±6
80-90	216	39	18.95±6	20.05±6
90-100	36	20	15.35±6	4.65±6

tableau 7-INFLUENCE DE LA STRATIFICATION SUR LES COURS D'EAU-

y calculé correspond au nombre de coudes dus à la fracturation,  $\Delta y$  indique donc l'influence de la stratification pour ces familles. L'influence de la fracturation est prépondérante pour les familles 70°-80°, 90°-100°, alors que pour la famille 80°-90° l'influence de la stratification est sensiblement la même que celle de la fracturation.

### 9-332 Relation entre fracturation et vallées sèches

DIRECTION	0	10	20	30	40	50	60	70	80	90	100	110	120	130	140	150	160	170	180
NOMBRE DE FRACTURES	0	48	0	72	0	0	0	24	216	36	0	0	0	0	0	0	600	204	
NOMBRE DE VALLEES - SECHES	0	15	7	24	0	7	29	13	18	5	8	5	0	7	5	5	31	11	

tableau 8-RELATION ENTRE FRACTURATION ET VALLEES SECHES-

L'étude ne portera que sur les valeurs non nulles de fracture.



Les vallées sèches de direction  $60^{\circ}$ - $70^{\circ}$ , en nombre important, n'ont pas de correspondance avec la fracturation. On peut émettre deux hypothèses :

- elles sont en relation avec la stratification
- elles sont en relation avec des fractures  $60^{\circ}$ - $70^{\circ}$  non observées (il convient de signaler que des études faites par J.P. COLBEAUX sur les terrains primaires du Boulonnais montrent que ces fractures  $60^{\circ}$ - $70^{\circ}$  sont en générale fermées et d'espacement minimum décimétrique).

De plus, afin d'éliminer une éventuelle influence de la stratification, les vallées sèches de direction  $80^{\circ}$ - $100^{\circ}$  seront provisoirement éliminées. Le coefficient de corrélation calculé est égal à 66 %, l'équation de la régression de y en x est :  $y = 0,023 x + 14,85$ .

Influence de la stratification :

DIRECTION	NOMBRE DE FRACTURES X	NOMBRE DE VALLEES SECHES OBSERVEES Y	CALCULEES Y'	$\Delta Y$
70-80	24	13	15.40	-2.4
80-90	216	18	19.80	-1.8
90-100	36	5	15.6	-10.6

tableau 9-INFLUENCE DE LA STRATIFICATION SUR LES VALLEES SECHES-

$\Delta y$  est toujours négatif, il semble donc que la stratification soit sans influence pour les vallées sèches de directions  $80^{\circ}$ - $100^{\circ}$ . Il faut donc tenir compte de ces familles dans l'étude de la corrélation afin d'obtenir un ajustement plus représentatif du couple de variables (x,y) :

coefficient de régression de y en x : 0,03

coefficient de régression de x en y : 17,1

coefficient de corrélation : 0,72

coefficient de Student : 2,25

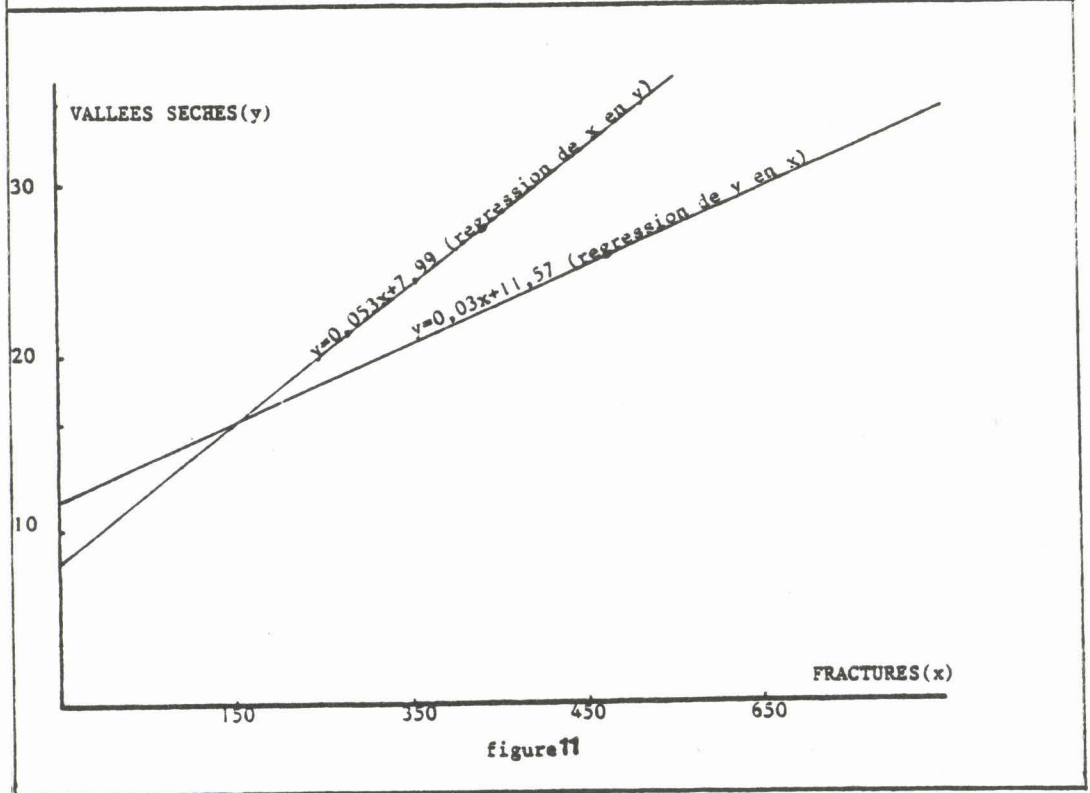
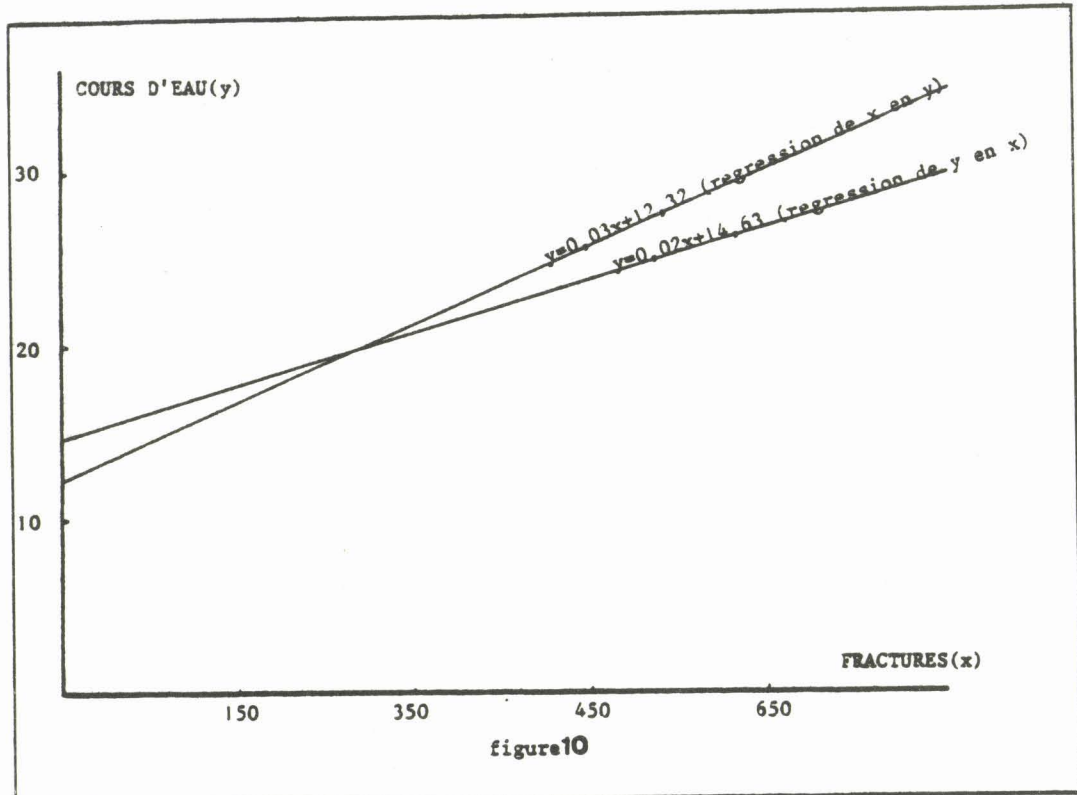
probabilité d'erreur : 0,079

intervalle de confiance ex : 244,75

intervalle de confiance ey : 8,62

régression de y en x :  $y = 0,03x + 11,57 \pm 8,62$

régression de x en y :  $x = 17,1y - 114,3 \pm 244,75$



figures 10 et 11-RELATION ENTRE TRAITES MORPHOLOGIQUES ET FRACTURATION-



Les vallées sèches 60-70° étant au nombre de 29, la régression de x en y indique un nombre de fractures de direction 60°-70° compris entre 136 et 626. Le nombre étant important, il semble qu'il faille rejeter l'hypothèse de la non observation. De plus, il est peu vraisemblable que la stratification 80°-100°, sans influence sur les vallées sèches 80°-100°, ait une influence sur les vallées sèches 60-70°. Il faut donc imputer la présence des vallées sèches 60-70° à des paramètres autres que la stratification et la fracturation.

#### 9-333 Relation entre vallées sèches et cours d'eau

En prenant les valeurs brutes, donc sans éliminer l'influence de la stratification sur les cours d'eau, on obtient un coefficient de corrélation égal à 0,3 donc faible.

En éliminant l'influence de la stratification sur les cours d'eau, on obtient un coefficient de corrélation égal à 0,68, un coefficient de Student de 2,074.

La régression de y en x est :  $y = 0,41 x + 11,48 \pm 5,6$

La régression de x en y est :  $x = 1,31 y - 4 \pm 9$ .

	COEFFICIENT DE CORRELATION	DROITE DE REGRESSION DE X EN Y	DROITE DE REGRESSION DE Y EN X	RISQUE	INTERVALLE DE CONFIANCE	
					Y EN X	X EN Y
FRACTURE COURS D'EAU	76%	$Y=0.02X + 14.63$	$X=28.8Y - 324$	0.084	6.56	248.36
FRACTURE VALLEE SECHE	71%	$Y=0.03X + 11.57$	$X=17.1Y - 114.3$	0.079	8.62	244.75
VALLEE SECHE COURS D'EAU	68%	$Y=0.41X + 11.48$	$X=1.31Y - 4$	0.095	5.6	9

tableau 10-TABLEAU SYNTHETIQUE DES RELATIONS ENTRE TRAITS MORPHOLOGIQUES ET FRACTURATION-

#### 9-334 Exemples d'utilisation des droites de régression

##### Exemple 1 (fig. 10) :

Pour un nombre de fracture égal à 150, pour une direction donnée, le nombre de variations brusques de cours d'eau de même direction est compris entre 11 et 24 avec un risque de 0,084.

( $n = 50 \ll x \ll 24$ ). Ce qui signifie que le nombre de coudes de cours d'eau de même direction que la fracturation à 91,6 chances sur 100 d'être compris entre 11 et 24.

Exemple 2 (fig. 11) :

Pour un nombre de coudes de cours d'eau égal à 25, pour une direction donnée, le nombre de fractures de même direction à 91,6 chances sur 100 d'être compris entre 196 et 657.

9-34 Conclusion

A l'échelle 1/25.000, on peut dire que la corrélation entre fracturation et géomorphologie existe. La quantification de cette corrélation, et de son risque d'erreur associé, permet, à partir de la géomorphologie, de définir quantitativement, l'état de fracturation du secteur étudié. Une simple étude sur carte topographique permet donc d'avoir une bonne idée, tant qualitative que quantitative de la fracturation. D'un point de vue hydrogéologique, l'écoulement se faisant essentiellement au niveau des fissures, on pourra donc déterminer de façon acceptable les possibilités directionnelles d'écoulement en mettant en oeuvre une méthodologie relativement simple et rapide.

9-4 Hydrogéologie

9-41 Ressource en eau du synclinorium

Le synclinorium de Bachant-Ferrière-La-Petite est très exploité puisqu'il fournit 50 % du volume d'eau utilisé pour l'ensemble de l'Avesnois, et il est vraisemblable que, dans les années à venir, sa production passe de 50 % à 75 %. Les prélèvements se font essentiellement au niveau des captages "Eau et Force", SIDEN et des captages de carrières. Un bilan hydrogéologique a été effectué afin de voir si le synclinorium n'est pas en surexploitation pour les 60 mois consécutifs, l'excédent est de 1420 mm pour une hauteur de pluie de 4245mm. Le volume d'eau total non évaporé est égal à 92.230.000 m<sup>3</sup>. B. DELPORTE (1979) montre que 40 % du volume d'eau non évaporé s'infiltré, le reste s'écoulant. Il y a donc 36.920.000 m<sup>3</sup> d'eau infiltré et 55.310.000 m<sup>3</sup> d'eau repris par les eaux de surface. De plus, il montre que sur l'ensemble des cours d'eau du synclinorium 25 % du volume d'eau écoulé se perd et rejoint les eaux souterraines ; on peut donc en déduire que 13.827.500 m<sup>3</sup> d'eau ont subi une infiltration retardée. Pour les cinq années, on peut donc estimer le volume d'eau infiltré à 50.747.000 m<sup>3</sup>.

Les prélèvements sont essentiellement effectués par les sociétés "Eau et Force" SIDEN, Maréchal Ketine, et la carrière CBS de Limont Fontaine :

	1977	1978	1979	1980	1981
EAU ET FORCE	8.578.000	8.726.000	8.943.000	8.948.000	8.760.000
SIDEN	1.143.410	1.245.188	1.398.306	1.746.661	1.673.903
TOTAL	9.721.410	9.971.188	10.346.306	10.694.661	10.433.903

tableau 11-PRELEVEMENT EN m<sup>3</sup> D'EAU EFFECTUE AU NIVEAU DU SYNCLINORIUM DE BACHANT DE 1977 A 1981-

La carrière CBS a prélevé en 1978 1.550.300 m<sup>3</sup> d'eau et 2.715.246 m<sup>3</sup> en 1979.

La société Maréchal Ketine a un prélèvement d'environ 500.000 m<sup>3</sup> par an.

Le volume d'eau total prélevé sur les cinq années est donc de 57.933.014 m<sup>3</sup> d'eau.

Il y a donc un déficit de 7.186.014 m<sup>3</sup> pour les cinq ans.

Si l'on considère que la Sambre et la Solre peuvent engendrer des apports extérieurs aux eaux souterraines du synclinorium par pertes franches ou diffuses, il suffirait que la somme des débits des pertes soit égale à 45 l/s pour compenser ce déficit.

#### 9-42 Etude hydrodynamique et hydrodispersive

##### 9-421 Choix du modèle

Le facteur déterminant pour la modélisation d'un milieu fissuré est le rapport entre la dimension des blocs fracturés et celle du domaine étudié ; si ce rapport est très faible, il sera possible d'assimiler le milieu fissuré à un milieu homogène anisotrope.

Au niveau du synclinorium, il y a rarement continuité, d'un secteur à l'autre, des paramètres relatifs à la fracturation ; en effet, même si l'on retrouve souvent les mêmes familles de fractures, celles-ci montrent des variations de fréquence et d'ouverture selon le domaine étudié. Le synclinorium de Bachant-Ferrière-La-Petite est donc considéré comme étant constitué de secteurs, homogènes anisotropes, dont la réunion forme un ensemble hétérogène et anisotrope.

9-422 Les perméabilités directionnelles

La notion de perméabilités directionnelles et de tenseur de perméabilités a été étudié au chapitre I. Le traitement des données de fracturation par programme TENFY (Chapitre V) a permis de dresser la carte des perméabilités du synclinorium (fig.12).

Le tableau suivant récapitule les valeurs des perméabilités principales des secteurs, considérés comme homogènes et anisotropes, ainsi que leur direction dans le repère  $\{\overrightarrow{\text{Nord}}, \overrightarrow{\text{Ouest}}\}$  (bidimensionnel) ; de plus, les familles de fractures ayant permis l'obtention de ces perméabilités, sont indiquées.

ZONE	PERMEABILITES PRINCIPALES (m/s)	COORDONNEES DANS LE REPERE NORD-OUEST	FRACTURES
1	K1=1.337 K2=0.257	X=0.98 Y=0.17 X=-0.17 Y=0.98	160-170/90 70-80/N/70-80 65-70/S/30-40
2	K1=0.02 K2=0.016	X=0.98 Y=0.17 X=-0.17 Y=0.98	160-170/W/70-80 160-170/E/25-35 70-80/S/75-85 80/S/35 80/N/45-55
3	K1=0.78 K2=1.04	X=0.98 Y=0.17 X=-0.17 Y=0.98	170/W/80-85 75-80/S/25-30
4	K1=0.0034 K2=13.08	X=0.98 Y=0.17 X=-0.17 Y=0.98	170-10/E/75-85 170-10/W/15-30 80/90
5	K1=0.03 K2=0.045	X=0.99 Y=-0.1 X=0.1 Y=0.99	90-100/N/75-85 80-90/S/15-20
6	K1=4.7 K2=0.36	X=0.34 Y=0.93 X=0.93 Y=-0.34	105-110/N/80-85 15-20/90 170-180/E/65-70 85-90/90
7	K1=0.22 K2=0.033	X=0.98 Y=0.17 X=-0.17 Y=0.98	170-180/E/5-7 165-170/E/65-75 165-170/W/55-65

tableau 12-PERMEABILITES PRINCIPALES DU SYNCLINORIUM  
DE BACHANT-

Les zones 1, 3, 4, 6 ont une de leurs perméabilités principales très importante (1,337 ; 1.04 ; 13.08 ; 4.7), elles sont situées au coeur de synclinaux pour les zones 1, 4, 6 et juste en bordure

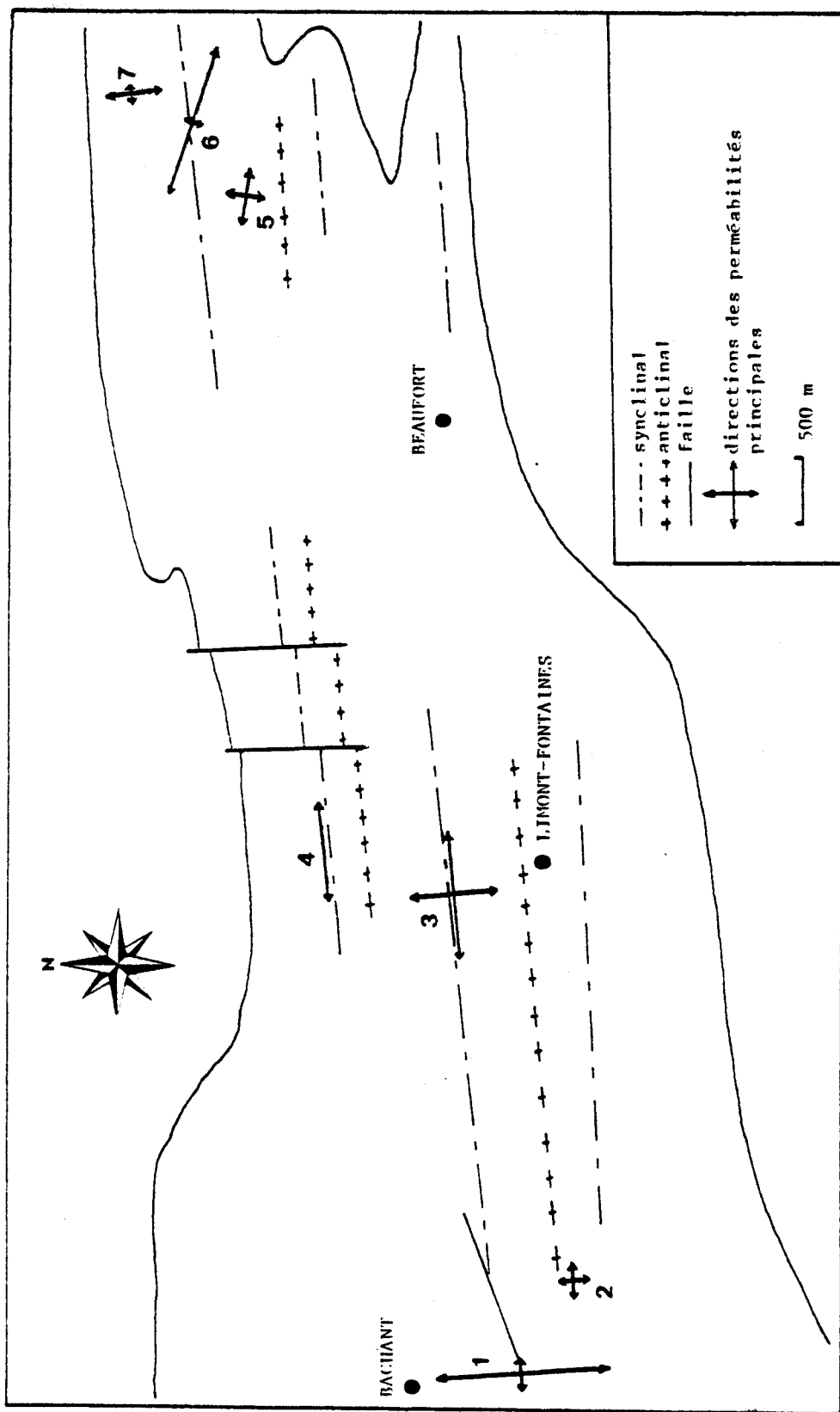


figure 17-DIRECTIONS DES PERMEABILITES PRINCIPALES DU SYNCLINORIUM DE BACHANT-





pour la zone 3 ; les autres zones présentent des perméabilités principales de 10 à 100 fois plus faibles et elles sont situées soit au niveau d'anticlinaux ou très en bordure de synclinaux. Il semble donc que les perméabilités les plus importantes se situent au niveau des synclinaux.

Hormis la zone 6, les zones ont des perméabilités principales Nord-Sud/Est-Ouest ; en effet, les familles de fractures systématiques sont de direction  $160^{\circ}$ - $180^{\circ}$ ,  $70^{\circ}$ - $90^{\circ}$  et, de plus, elles sont prépondérantes en fréquence et en ouverture. La zone 6 présente une perméabilité principale égale à 4,7 m/s et de direction  $x = 0,34$   $y = 0,93$  ; bien que les familles de direction  $160^{\circ}$ - $180^{\circ}$ , et  $70^{\circ}$ - $90^{\circ}$  soient présentes au niveau de cette zone, la famille prépondérante est celle de direction  $105^{\circ}$ - $110^{\circ}$  avec un pourcentage deux fois plus élevé que celles précédemment citées, et une ouverture moyenne 5 fois à 50 fois plus importante ; il convient de souligner que cette famille est absente au niveau des autres zones.

La zone 4 présente une perméabilité Est-Ouest très importante (13,08 m/s) ; ceci est dû au fait que des traces d'écoulement et des figures karstiques pouvant avoir des ouvertures de 20 cm, sont présentes selon la direction Est-Ouest.

#### 9-423 Etude d'une série Viséen moyen - Viséen supérieur

L'aquifère étant essentiellement localisé au niveau du Viséen moyen et du Viséen supérieur, une étude de la série a été effectuée afin d'y repérer, éventuellement, des niveaux perméables susceptibles de représenter les zones productrices réelles.

La série a été étudiée banc par banc et datée par les foraminifères dont la systématique fut établi par CONYL R., GROESSENS E. et PIRLET H. (1976).

La description lithologique des bancs représentée par la figure 13 est synthétisée par le tableau (15).

De plus, des relevés de fracturation (fréquence, ouverture, orientation) ont été effectués à chaque niveau.



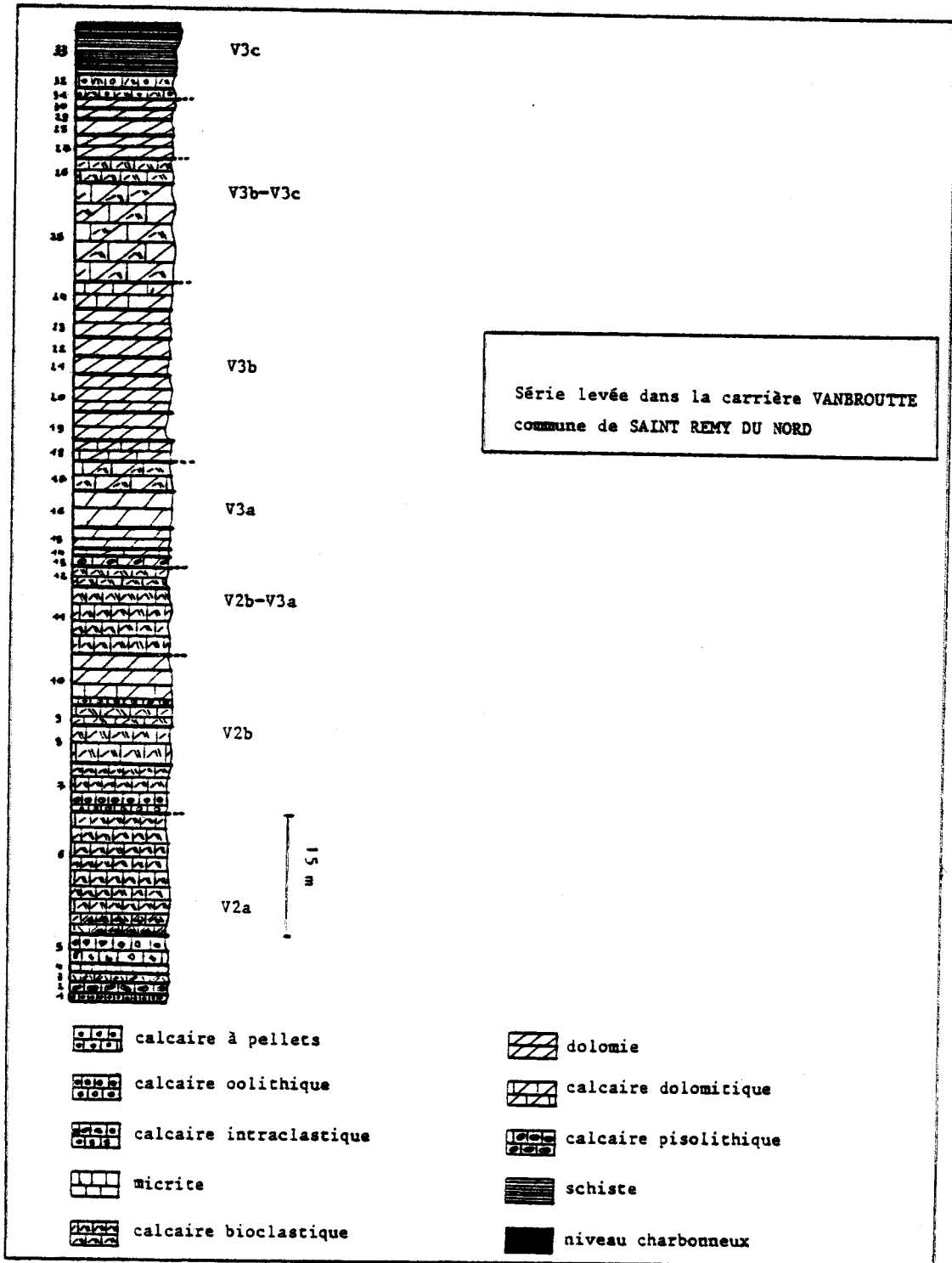


figure 13-COLONNE STRATIGRAPHIQUE DU VISEEN MOYEN ET DU VISEEN SUPERIEUR-



BANCS	EPAISSEUR	DESCRIPTION LITHOLOGIQUE
1	40cmm	calcaire à pellets,grumeleux,à ciment spathique
2	1m	calcaire pisolithique à ciment spathique
3	1m	calcaire bioclastique à ciment spathique
4	1m	micrite
5	3m	intrasparite
6	15m	calcaire bioclastique,oolithique à la base
7	5m	oosparite à la base,biosparite au sommet
8	4m	biosparite légèrement dolomitisée
9	2m	biointrasparite
10a	50cm	oosparite
10b	1m	calcaire dolomitique
10c	2.5m	dolomie
11	7m	biosparite
12	2m	biosparite
13	1m	calcaire dolomitique à faciès algair
14	1m	dolomie macrocristalline
15	2m	dolomie macrocristalline
16	4m	dolomie macrocristalline
17	3m	biomicrite dolomitisée
18	2m	calcaire dolomitique
19	3m	dolomie
20	4m	dolomie
21	2m	dolomie
22	2m	dolomie
23	3m	dolomie
24	4m	calcaire dolomitique
25	10m	biomicrite dolomitisée
26	2m	biomicrite
27	2m	dolomie macrocristalline
28	3m	dolomie
29	1m	micrite dolomitisée
30	1m	dolomie
31	1m	calcaire à pellets et à bioclastes
32	1m	calcaire à pellets et à bioclastes
33	4m	calcaire à niveaux charbonneux et schistes

tableau 15-DESCRIPTION LITHOLOGIQUE DE LA SERIE  
VISEEN MOYEN-VISEEN SUPERIEUR (St Rémy Du Nord)-

A partir des données de fracturation, le programme TENFY a permis d'obtenir les perméabilités principales pour chaque étage. Les perméabilités sont exprimées dans le plan géographique :

SUBDIVISIONS	ORIENTATION	FREQUENCE
V2a	170/W/50	1.4
	180/E/70	1.4
	175/E/45	0.86
V2b	60/N/50	0.5
	170/E/80	2.1
	160/W/60	1.1
	170/W/50	1.4
	85/90	0.2
V3a	0/0	0.73
	80/S/65	0.28
	170/E/65	1.7
	5/W/40	1.7
V3b-c	0/0	0.6
	180/W/30	2.8
	5/W/70	2.8
V3c	0/0	0.33
	180/E/75	5.7
	170/W/30	3.4

tableau 13-FRACTURATION DE LA SERIE  
VISEEN MOYEN-VISEEN SUPERIEUR  
(St Remy Du Nord)-



SUBDIVISIONS	PERMEABILITE K1 (m/s)	COORDONNEES		PERMEABILITE K2 (m/s)	COORDONNEES		PERMEABILITE GLOBALE (m/s)
		X1	Y1		X2	Y2	
V2a	$0.298 \cdot 10^{-2}$	0.997	0.072	$0.097 \cdot 10^{-2}$	-0.072	0.997	$1.7 \cdot 10^{-3}$
V2b	$0.374 \cdot 10^{-2}$	0.975	0.218	$0.092 \cdot 10^{-2}$	-0.218	0.975	$1.85 \cdot 10^{-3}$
V3a	$0.275 \cdot 10^{-2}$	0.996	0.087	$0.109 \cdot 10^{-2}$	-0.087	0.996	$1.7 \cdot 10^{-3}$
V3b-c	$0.457 \cdot 10^{-2}$	0.997	-0.068	$0.198 \cdot 10^{-2}$	0.068	0.997	$3 \cdot 10^{-3}$
V3c	$0.742 \cdot 10^{-2}$	0.999	0.0237	$0.241 \cdot 10^{-2}$	-0.0237	0.999	$4.2 \cdot 10^{-3}$

tableau 14-PERMEABILITES PRINCIPALES DE LA SERIE  
VISEEN MOYEN-VISEEN SUPERIEUR(St Remy Du Nord)-

Les perméabilités directionnelles Nord-Sud sont toujours plus importantes que celles Est-Ouest. Jusqu'au V3a, les perméabilités globales semblent garder une valeur constante ( $1,7 \cdot 10^{-3}$  à  $1,8 \cdot 10^{-3}$ ) alors que pour les niveaux supérieurs V3b-c, V3c elles augmentent ( $3 \cdot 10^{-3}$  et  $4,2 \cdot 10^{-3}$ ) ; or l'ouverture des fissures n'a pas augmenté, par rapport à celle des niveaux inférieurs, par contre on peut observer une augmentation de la fréquence des fissures pour les

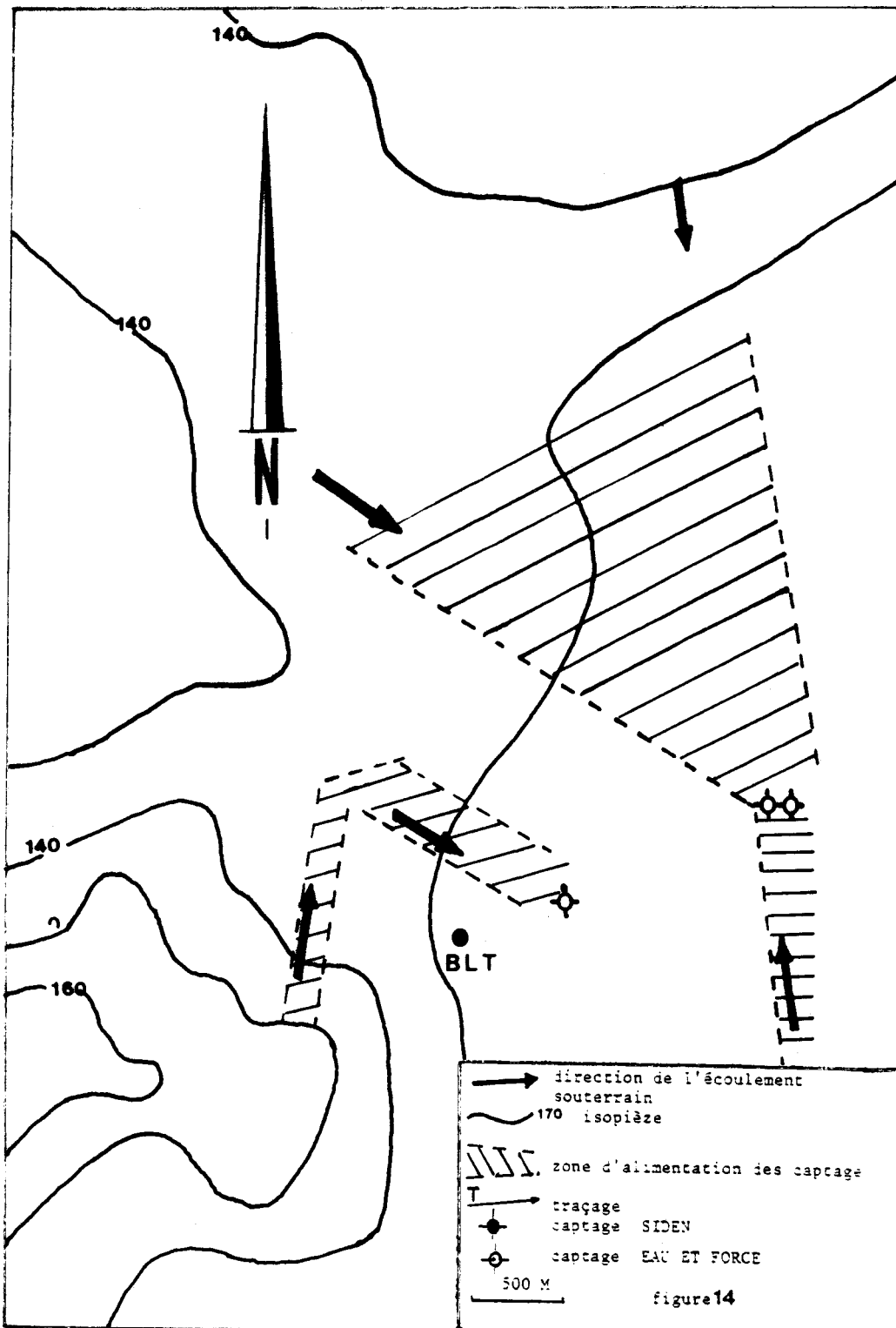
niveaux supérieurs. Il semble donc que les niveaux supérieurs (V3b, V3c) soient susceptibles d'être les zones les plus aquifères. De plus, au niveau du V3b où aucune mesure de fracturation n'a pu être effectuée de par la nature du terrain (dolomie sableux), il a été observé, toutefois, au niveau de la stratification, de véritables traces de karstification à la base du V3b. Ces observations permettent de penser que les cinquante premiers mètres de la série sont plus propices à la circulation des eaux souterraines.

#### 9-424 Zones d'alimentation des captages

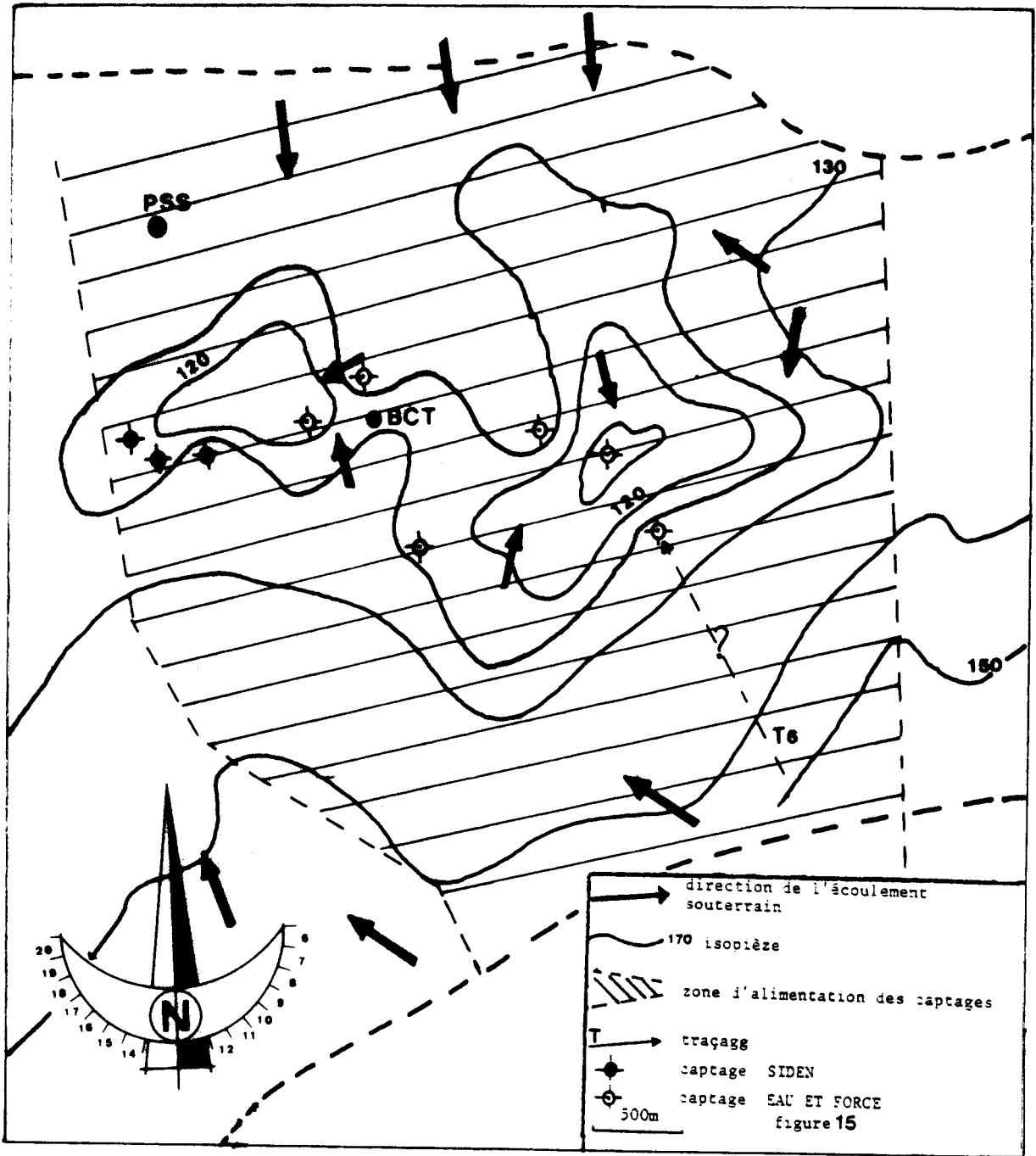
La connaissance de la fracturation et de la piézométrie du synclinorium établie par B. DROZ (1981) permet de déterminer les sens d'écoulements de la nappe ainsi que les vitesses de DARCY. Comme il a été montré au chapitre IV, gradient hydraulique et sens d'écoulement sont, sauf cas exceptionnel, non colinéaires. Le synclinorium a été divisé en cinq ensembles déterminés selon les champs captants ; chaque ensemble a été scindé en secteurs au sein desquels le gradient hydraulique est sensiblement constant ; connaissant les directions principales de perméabilités et le gradient hydraulique, le programme CPVGRHMA (chapitre IV) a permis de déterminer le sens d'écoulement et la vitesse de DARCY au sein de chaque secteur et de déterminer les zones dangereuses à partir desquelles une pollution éventuelle pourrait contaminer les champs captants (fig. 14, 15, 16, 17).

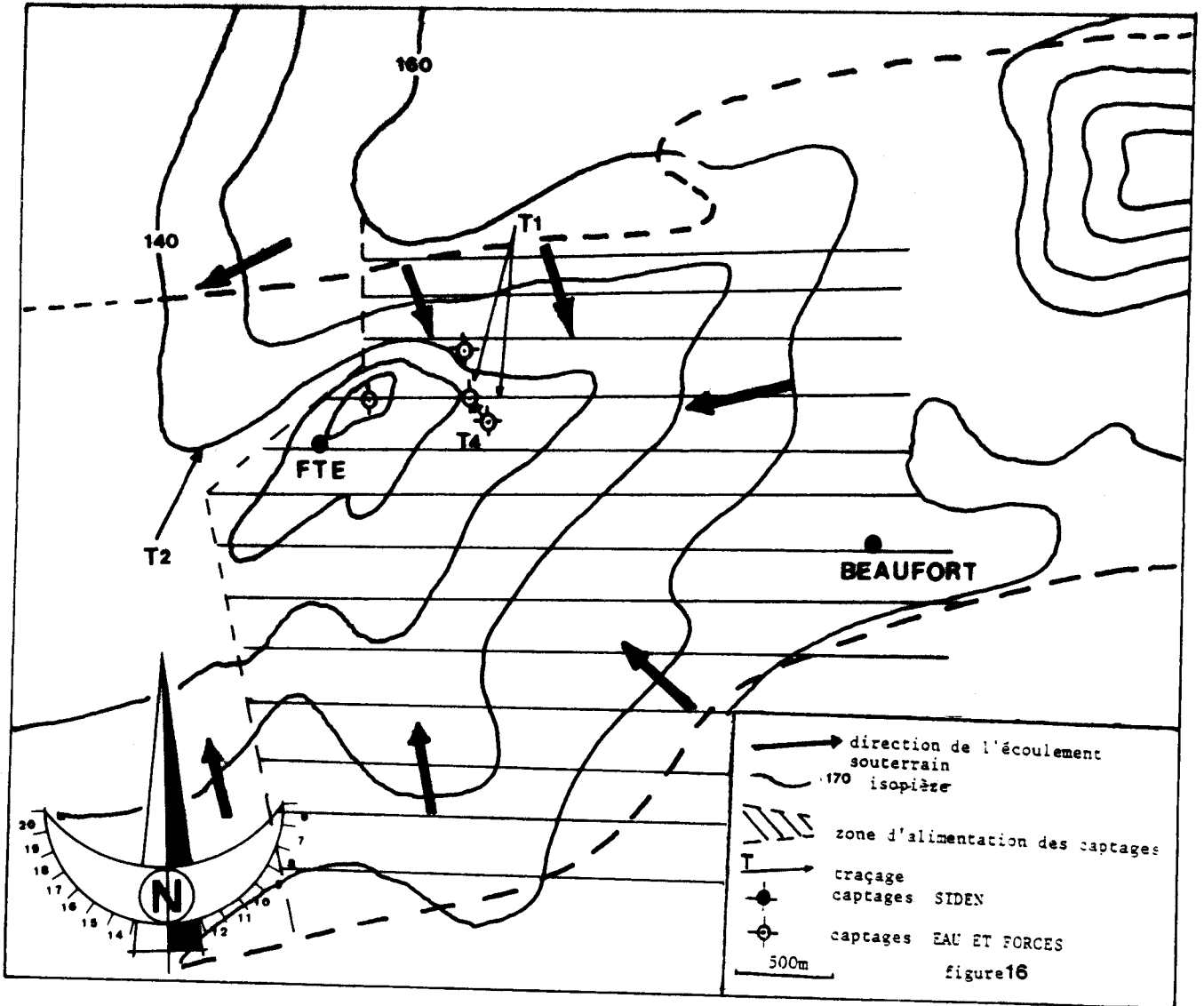
Ces zones n'intègrent pas la notion d'isochrones, mais seulement de zone d'alimentation.

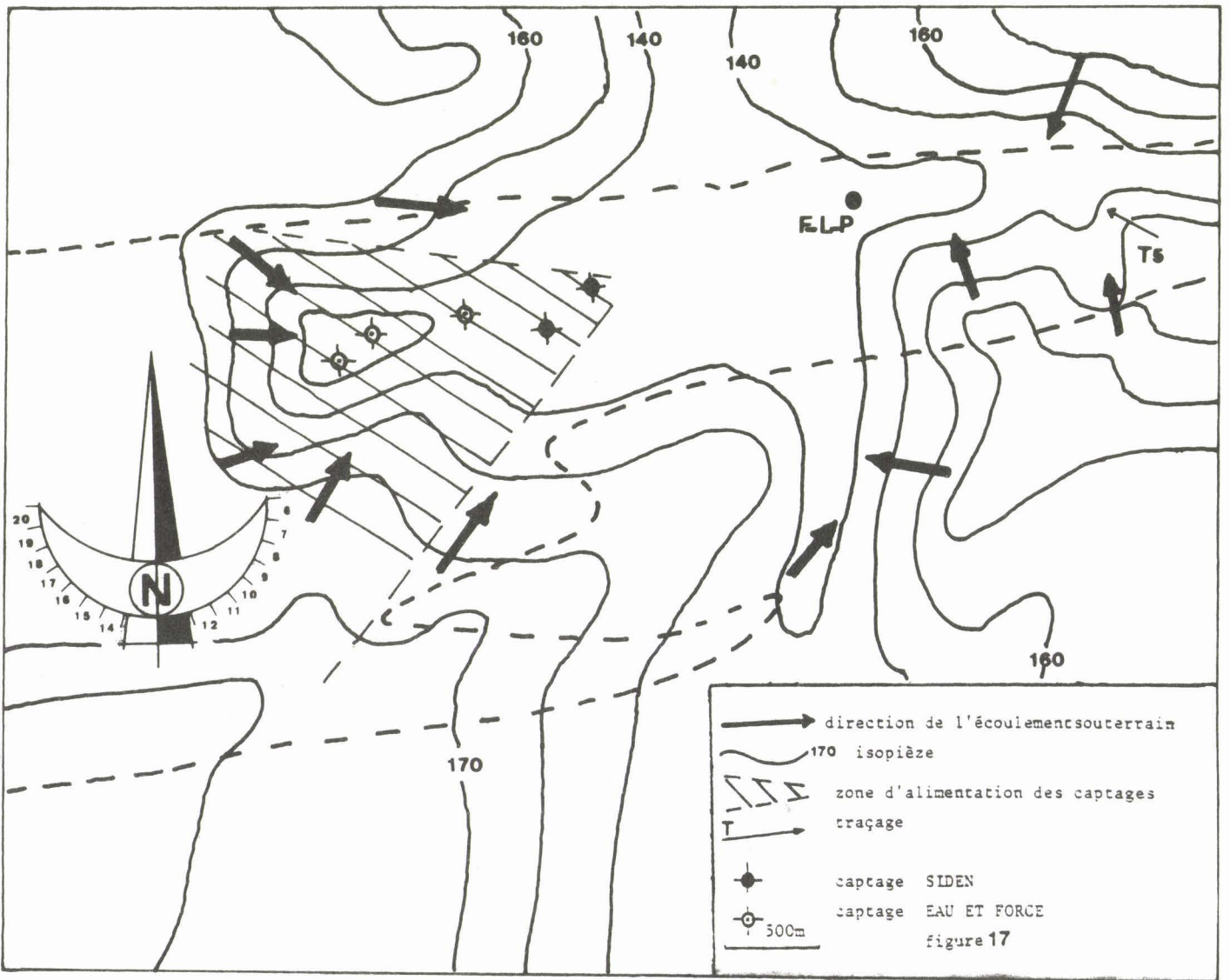
Les deux paramètres, fracturation et piézométrie, dont dépendent les zones d'alimentation, n'ont pas la même évolution spatio-temporelle. En effet, la fracturation peut être considérée, à l'échelle temporelle humaine, comme constante alors que la piézométrie varie, ne serait-ce qu'en période d'étiage et de hautes eaux. Il convient donc de signaler que ces zones ont un domaine de définition qui varie avec la piézométrie. Sachant que gradient hydraulique et vitesse n'ont pas la même direction, le tracé des zones d'alimentation de captages à partir des seules isopièzes, ce qui revient à considérer l'aquifère



BUS  
LIVRE









comme étant isotrope, est discutable. Il serait souhaitable d'étudier l'évolution de la piézométrie à période régulière, et de modifier, le cas échéant, les zones de vulnérabilité et les périmètres de protection éloignés.

### 9-43 Traçages

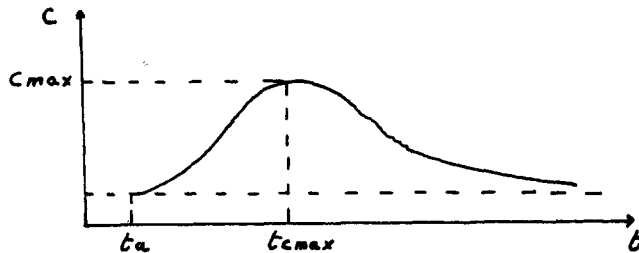
#### 9-431 Résultats

Le tableau suivant récapitule les résultats obtenus :

TRACAGE	DISTANCE (m)	durée(j)	ta(j)	t <sub>cmax</sub> (j)	c <sub>max</sub> (kg/l)	V <sub>max</sub> (m/j)	V <sub>cmax</sub> (m/j)	t <sub>c</sub> (j)	P	α <sub>L</sub> (m)
1	1000	45	8	16	$4.48 \cdot 10^{-7}$	125	62.5	/	/	/
2	510	30	2	13	$3.2 \cdot 10^{-9}$	255	39.2	13.33	400	1.25
3	480	14	3	12	$2.2 \cdot 10^{-9}$	160	40	/	/	7
4	116	10	1.13	5.33	$2.06 \cdot 10^{-8}$	103.2	21.75	9	4	29
5	600	16	9	/	/	66.66	/	/	/	/
6	15000	/	/	/	/	/	/	/	/	/

tableau 16-INTERPRETATION GLOBALE DES TRACAGES EFFECTUES-AU NIVEAU DU SYNCLINORIUM DE BACHANT-

Signification des symboles :



$t_a$  : temps d'arrivée

$t_{cmax}$  : temps correspondant à la concentration maximale

$P$  : nombre de peclét dynamique défini par  $x/\alpha_L$

$\alpha_L$  : dispersivité longitudinal

$t_c$  : temps de transfert par convection pure

$V_a$  : vitesse maximale

$v_{cmax}$  : vitesse correspondant au  $t_{cmax}$

2112  
1971

En écoulement monodimensionnel uniforme,  $t_c$  est égal à  $\frac{x}{V_e}$  où  $V_e$  est la vitesse effective (constante) ; en écoulement radial à débit constant,  $V_e$  n'est plus constante,  $t_c$  est égal à  $\frac{\omega_c \pi r^2 h}{|q|}$  où  $h$  est l'épaisseur de l'aquifère,  $r$  la distance au puits et  $\omega_c$  la porosité cinématique.

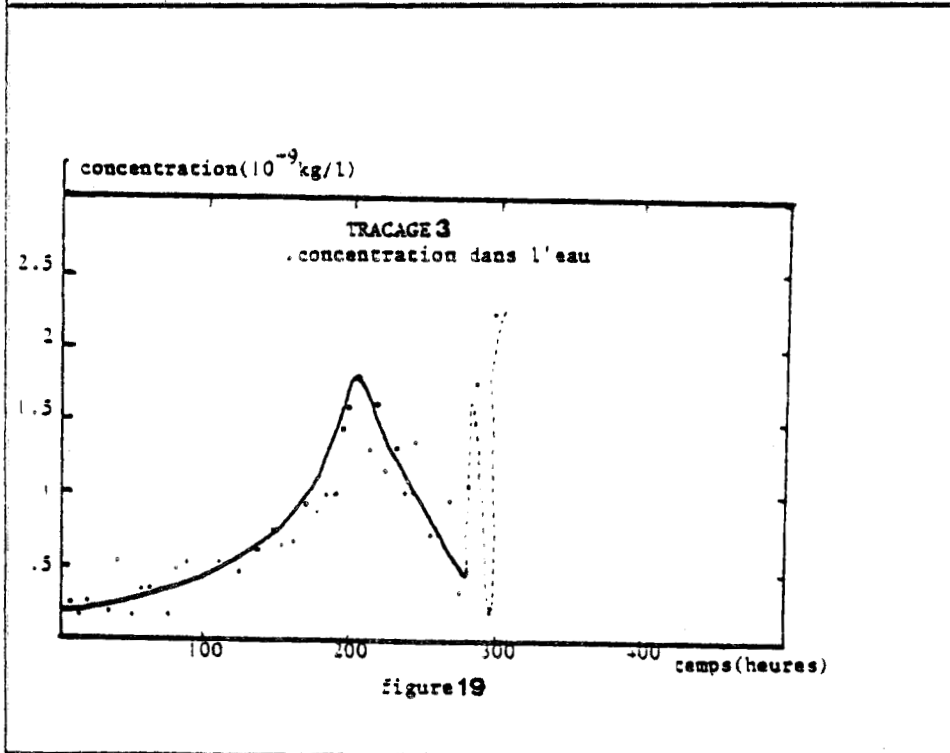
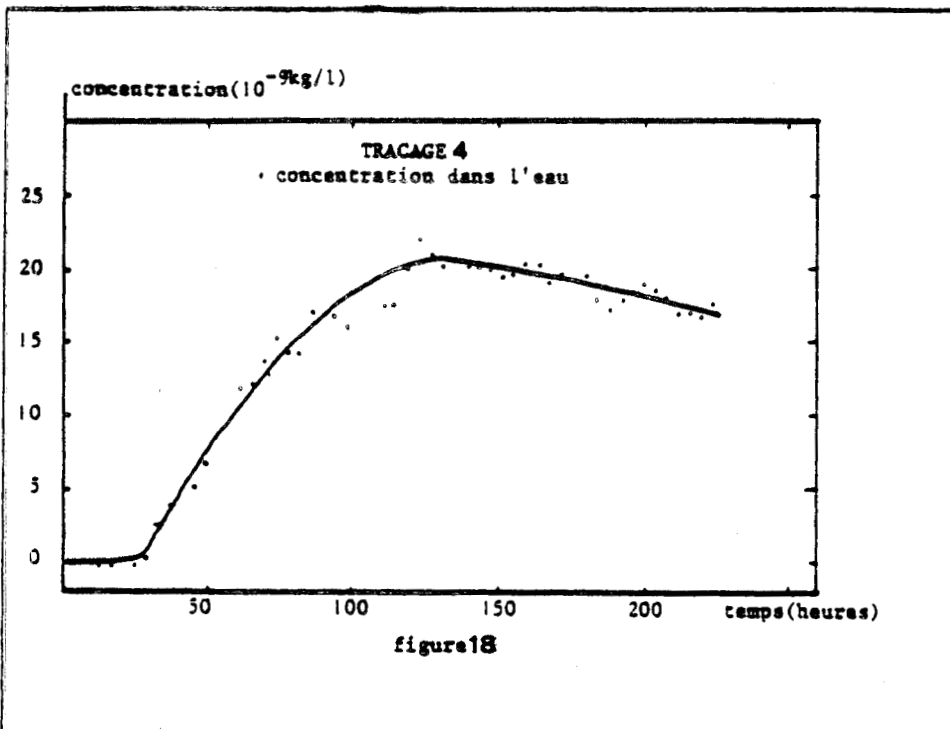
Les résultats sont difficilement interprétables de par l'irrégularité de la réponse (superposition d'écoulements selon les familles de fissures et ou variation du débit de pompage) et les problèmes liés à l'emploi des fluocapteurs (cf : M. VREULX DEA 1983) ; seuls deux traçages ont pu être traités en termes de dispersion.

#### 9-432 Essai d'interprétation en milieu fissuré

Le traçage 4 (fig. 18) indique une forte rétention ; la dispersivité est élevée ; il présente les caractéristiques d'un traçage effectué en milieu poreux, alors que le traçage 2 (fig. 19) montre une faible rétention, une faible dispersivité et un nombre de Peclet élevé qui indique une prédominance de la convection et de la dispersion mécanique par rapport à la diffusion moléculaire et à la rétention.

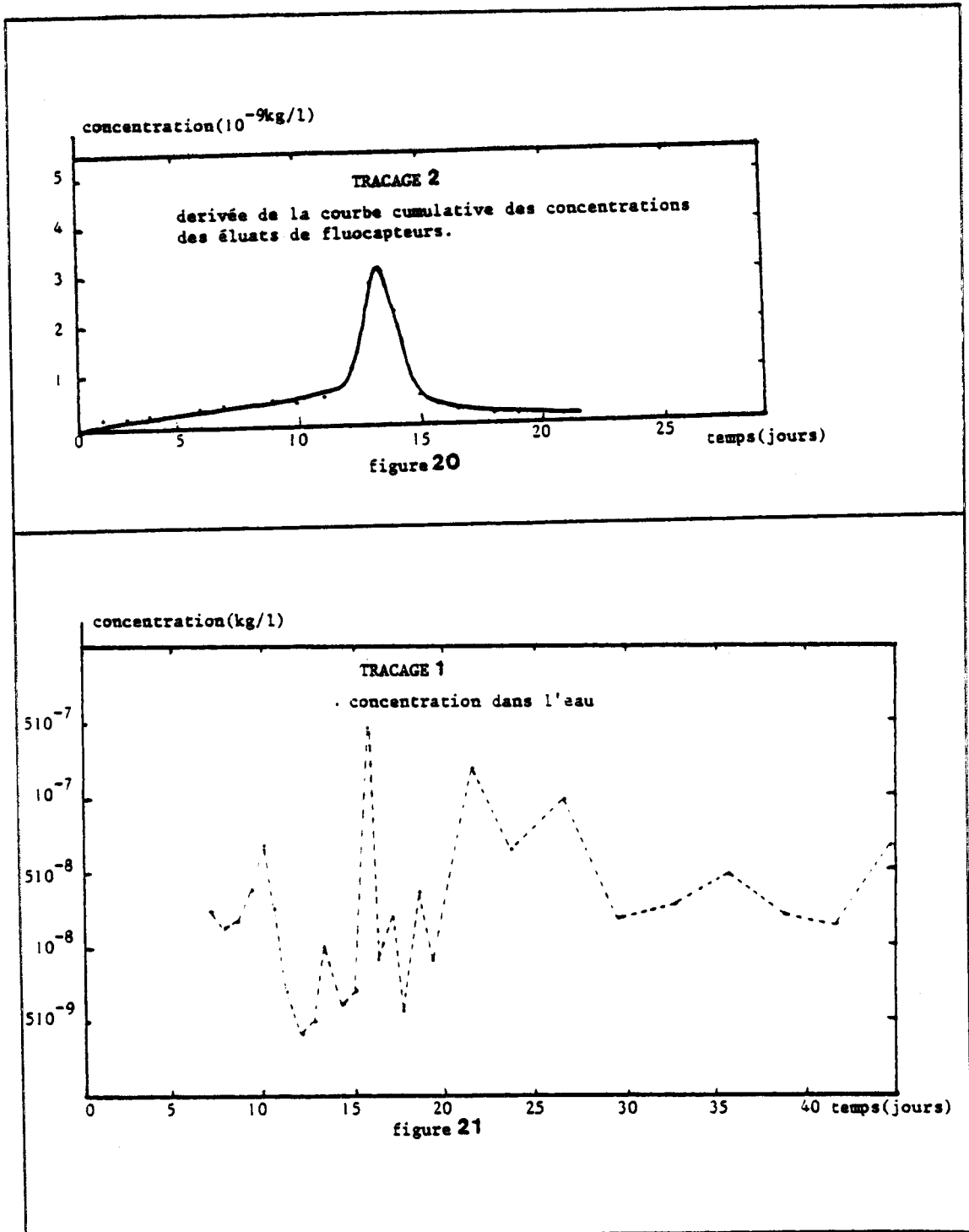
Les traçages 3 et 1 (fig. 19 et 21) montrent une arrivée du traceur en plusieurs vagues qui implique une impossibilité d'interprétation par la méthode des abaques pour l'obtention de paramètres hydrodispersifs ; on peut émettre deux hypothèses, l'une étant des variations de débits de pompage, l'autre étant un acheminement du traceur par des fractures à ouverture et fréquence différentes.

En considérant le débit de pompage constant, il est possible de tenter d'interpréter la courbe de restitution en le décomposant en courbes unimodales ; chacune d'elles étant relative à une famille de fissures. Par simplification, les fractures sont considérées comme étant verticales, ayant la même direction (celle du traçage) mais de fréquence et d'ouverture différentes. La courbe de restitution du traçage 1 (fig. 21) a été décomposée en trois courbes de concentration maximum successives  $6.810^{-7}$  Kg/l,  $4.4810^{-7}$  Kg/l et  $1.910^{-7}$  Kg/l.



figures 18 et 19-RESULTATS DES TRACAGES EFFECTUES AU NIVEAU DU SYNCLINORIUM DE BACHANT-





figures 20 et 21-RESULTATS DES TRACAGES EFFECTUES AU NIVEAU DU  
SYNCLINORIUM DE BACHANT-



COURBE	Cmax(kg/l)	Tcmax(h)	Tc(h)	P	d (m)
1	$6.8 \cdot 10^{-8}$	240	241.51	160	6.25
2	$4.5 \cdot 10^{-7}$	380	380.31	1226	0.81
3	$1.9 \cdot 10^{-7}$	520	520.65	800	1.25

tableau 17-INTERPRETATION DU TRACAGE 1 PAR DECOMPOSITION EN COURBES UNIMODALES-

Connaissant les valeurs des temps de transfert par convection pure, il est possible de calculer la vitesse effective d'écoulement ; cette vitesse s'exprime par la relation

$$V_e = \frac{K \cdot i}{\omega_c} \cos \alpha'$$

$i$  : gradient hydraulique

$K$  : perméabilité ( $LT^{-1}$ )

$\omega_c$  : porosité cinématique

$\alpha'$  : angle entre gradient hydraulique et la direction du traçage

Le calcul de  $i$  se fait à partir de l'esquisse piézométrique, le calcul de  $K$  s'effectue par le programme CPVGRHMA à partir des perméabilités principales du secteur :  $K = 3.4510^{-3}$  m/s.

Si l'on prend comme axe des abscisses, la direction du traçage, l'expression des perméabilités pour chaque famille de fissures est, dans le plan  $(x,y)$  :

$$\bar{K}_1 = \frac{g}{12v} f_1 a_1 \begin{pmatrix} 00 \\ 01 \end{pmatrix}^3$$

$$\bar{K}_2 = \frac{g}{12v} f_2 a_2 \begin{pmatrix} 00 \\ 01 \end{pmatrix}^3$$

$$\bar{K}_3 = \frac{g}{12v} f_3 a_3 \begin{pmatrix} 00 \\ 01 \end{pmatrix}^3$$

$$\text{soit } \bar{K} = \sum_{i=1}^3 K_i = \frac{g}{12v} \begin{pmatrix} 0 \\ 0 \end{pmatrix} \begin{pmatrix} 3 \\ f_1 a_1 \end{pmatrix} + \begin{pmatrix} 3 \\ f_2 a_2 \end{pmatrix} + \begin{pmatrix} 3 \\ f_3 a_3 \end{pmatrix}$$

On obtient une équation à six inconnues. Pour résoudre le problème, on fera l'hypothèse suivante :

les familles ont une même perméabilité mais présentent des porosités différentes.



Exemple :

FREQUENCE	OUVERTURE	POROSITE	PERMEABILITE
0.1845	1.077	0.198	$g/12v \times 0.23$
0.02307	2.155	0.049	$g/12v \times 0.23$

tableau 18-RELATION NON UNIVOQUE ENTRE  
POROSITE ET PERMEABILITE-

La perméabilité de chaque famille est donc :  $K' = 1.1510^{-3}$  m/s.  
Si l'on considère que la porosité cinématique  $\omega_c$  n'est pas trop éloigné du produit  $f \cdot a$ , on peut écrire :

$$V_e = \frac{g \cdot f a^3}{12v f a} i \cos \alpha' = \frac{g}{12v} a^2 i \cos \alpha' \quad a = \sqrt{\frac{V_e \cdot 12v}{g \cdot i \cdot \cos \alpha}}$$

a étant déterminé, on peut calculer f :  $f = \frac{\omega}{a} = \frac{K' \cdot i \cdot \cos \alpha}{V_e \cdot a}$   
( $i = 0,03$  ;  $\cos \alpha = 30^\circ$ ).

COURBE	VITESSE EFFECTIVE (m/s)	POROSITE CINEMATIQUE	FREQUENCE	OUVERTURE
1	$1.15 \cdot 10^{-3}$	0.0259	111.98	$2.32 \cdot 10^{-4}$
2	$7.3 \cdot 10^{-4}$	0.041	221	$1.85 \cdot 10^{-4}$
3	$5.3 \cdot 10^{-4}$	0.056	354	$1.59 \cdot 10^{-4}$

tableau 19-INTERPRETATION DU TRAÇAGE 1 EN FONCTION DE LA FRACTURATION-

Il convient bien de signaler que ces familles sont fictives et que, si elles existaient, elles donneraient un résultat comparable à celui du traçage 1.

Si l'on ne considère que la partie ascendante de la courbe du traçage 3, il est possible d'en tirer les caractéristiques hydrodispersives.

$$t_c = 230,7 \text{ h} \quad P = 8,44 \quad \alpha = 56,87$$

Le traçage a une direction N 80°, si l'on considère que le traceur est essentiellement acheminé par la famille 80°/90°, prépondérante dans ce secteur, de fréquence 0,02 m<sup>-1</sup> et d'ouverture 0,09 m, il est possible de pouvoir en tirer des caractéristiques hydrodynamiques. La vitesse effective est de  $5,7810^{-4}$  m/s, ce qui donne, compte tenu d'une porosité cinématique d'environ 0,0018, une vitesse de Darcy égale à  $10^{-6}$  m/s.

La vitesse de Darcy théorique, calculée à partir des données de fracturation est égale à  $6 \times 10^{-1}$  m/s, soit six cent mille fois plus importante. Il faut donc rejeter l'hypothèse du régime d'écoulement laminaire parallèle. Chaque régime d'écoulement a été envisagé ; les résultats sont présentés dans le tableau suivant :

REGIME D'ECOULEMENT	VITESSE	RUGOSITE RELATIVE	POSSIBLE
laminaire parallèle	0.6m/s	/	non
laminaire non parallèle	$10^{-6}$ m/s	1560	non
turbulent hydrauliquement lisse	0.16m/s	/	non
turbulent rugueux parallèle	$10^{-6}$ m/s	3.7	non
turbulent rugueux non parallèle	$10^{-6}$ m/s	1.9	oui

tableau 20-DETERMINATION DU REGIME D'ECOULEMENT  
RELATIF AU TRACAGE 3-

La rugosité relative  $\frac{\epsilon}{d_h}$ , où  $\epsilon$  représente la hauteur des protubérances et  $d_h$  le diamètre hydraulique, est égale à 3,7 dans le cas du régime turbulent rugueux parallèle, ce qui signifie que les protubérances,  $d_h$  étant égal à la moitié de l'ouverture, ont une hauteur égale à 1,85 fois l'ouverture, ce qui est impossible. Par contre, en régime turbulent rugueux non parallèle, la hauteur des protubérances est égale à 0,95 fois l'ouverture, ce qui rend ce régime le seul compatible avec les données expérimentales.

Le traçage 4 a une direction N/140° ; deux hypothèses sont envisagées :

- la fracturation est telle qu'elle rend le terrain assimilable à un terrain poreux, anisotrope
- le traceur a été acheminé par la famille 180°/W/10-30, la seule compatible avec la direction du traçage, au niveau du secteur.

Hypothèse du terrain fissuré :

La famille 180°/W/10-30 a une fréquence de 0,075 et une ouverture de 0,001 m. La vitesse effective étant égale à  $1,5 \cdot 10^{-4}$  m/s, et la porosité à 0,000075, il en résulte une vitesse de Darcy égale à  $1,125 \cdot 10^{-8}$  m/s.

La vitesse effective théorique est égale à  $1,65 \cdot 10^{-2}$  m/s soit une vitesse de Darcy de  $1,24 \cdot 10^{-6}$  m/s. En considérant les données de fracturation comme fiables, il en résulte que le régime n'est pas laminaire parallèle. Les différents types de régime d'écoulement sont envisagés et les résultats sont présentés par le tableau suivant :

REGIME D'ECOULEMENT	VITESSE(m/s)	RUGOSITE RELATIVE	POSSIBLE
Laminaire parallèle	$1.24 \cdot 10^{-6}$	/	non
laminaire non parallèle	$1.125 \cdot 10^{-8}$	5.83	non
turbulent hydrauliquement lisse	$1.2 \cdot 10^{-4}$	/	non
turbulent rugueux parallèle	$1.125 \cdot 10^{-8}$	3.7	non
turbulent rugueux non parallèle	$1.125 \cdot 10^{-8}$	1.9	oui

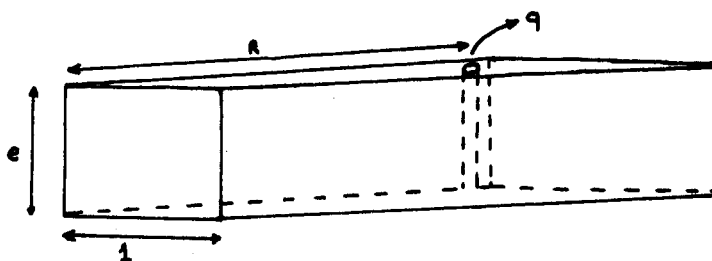
tableau 21-DETERMINATION DU REGIME D'ECOULEMENT RELATIF AU TRACAGE 4 DANS L'HYPOTHESE DU MILIEU FISSURE-

Seul le régime turbulent rugueux non parallèle est possible dans l'hypothèse du terrain fissuré.

La distance entre forage et point d'injection n'étant égale qu'à 116 m, l'écoulement est considéré comme monodimensionnel non uniforme (variation de la vitesse avec l'inverse de la distance au forage).

L'expression du débit de pompage en fonction de la hauteur d'eau captée est :

$$q = V_e \quad S \quad \omega_c \sim \frac{e \quad l \quad R \quad \omega_c}{t_c}$$



Pour  $R = 116$  m,  $Q : 0,03 \text{ m}^3/\text{s}$ ,  $t_c = 9$  jours,  $\omega_c = 0,000075$

$$e = \frac{2681375,3}{1}$$



Pour que  $\Delta$  soit compris entre 5 et 50 m, l est compris entre 536275,86 m et 53627,586 m.

On obtient une hauteur e aberrante ; il faut donc rejeter l'hypothèse du terrain fissuré.

- hypothèse du terrain poreux anisotrope

A partir des données de fracturation, le programme CPVGRHMA permet d'obtenir la perméabilité dans la direction du traçage qui est de  $4 \cdot 10^{-3}$  m/s ; ce qui donne une vitesse de Darcy égale à  $9,2 \cdot 10^{-5}$  m/s ; le rapport entre vitesse de Darcy et vitesse effective donne une porosité cinématique égale à 0,6. La hauteur h est égale à 0,46 m ; cette valeur, quoique faible est nettement plus cohérente que celle obtenue dans l'hypothèse du milieu fissuré.

Il semble donc que l'hypothèse du milieu poreux anisotrope soit acceptable.

#### 9-433 Validité des zones d'alimentation

En fonction des données de fracturation et de l'esquisse piézométrique, les directions d'écoulement ont été déterminées dans l'hypothèse du milieu homogène anisotrope. Il convient donc de comparer les directions de traçages avec les directions d'écoulement calculées.

TRACAGE	DIRECTION	DIRECTION DU GRADIENT HYDRAULIQUE LU SUR LA CARTE	DIRECTION DEL'ECOU- LEMENT CALCULEE	ECART $\Delta$
1	190	170	170	20
2	15	$10 < x < 20$	$9 < x < 17$	$6 > \Delta > 2$
3	256	225	260	4
4	320	325	318	2
5	302	315	307	5

tableau 22-COMPARAISON ENTRE LES DIRECTIONS REELLES ET LES DIRECTIONS  
CALCULEES DE L'ECOULEMENT SOUTERRAIN-

Mis à part le traçage 1, les écarts angulaires sont faibles (de 2 à 5°). L'anomalie de 20° relative au traçage 1 peut s'expliquer par un acheminement du traceur selon une trajectoire non rectiligne ; en se basant sur les zones d'alimentation, dont la validité semble être confirmée par les autres traçages, on peut dire que le traceur a eu un trajet de direction 165°/175° selon un écoulement naturel

uniforme jusqu'au cône de rabattement dû au champ captant, puis selon un écoulement provoqué convergent mais non axisymétrique jusqu'au captage.

De plus, les cartes des zones d'alimentation confirment le résultat négatif du traçage 6 ; la direction de la ligne point d'injection - point de surveillance (1500 m) est N/153°, la carte de vulnérabilité indique une direction d'écoulement N/125°, soit une différence de 25°, ce qui donne une erreur, pour 1500 m, égale à  $1500 \times \text{tg}25 = 699$  m.

## X. SYNCLINAL DE SARS-POTERIE

### 10-1 Géologie

Le synclinal de Sars-Poterie (fig. 22), d'axe Est-Ouest, est marqué par un substratum schisteux et psammitique Fammien surmonté d'un ensemble calcaire et dolomitique Strunien, Tournaisien et Viséen pouvant atteindre 120 à 150 m à Sars-Poterie dans l'axe de la cuvette. Des dépôts discordants de sables fins landeniens et de limons quaternaires recouvrent localement les terrains primaires.

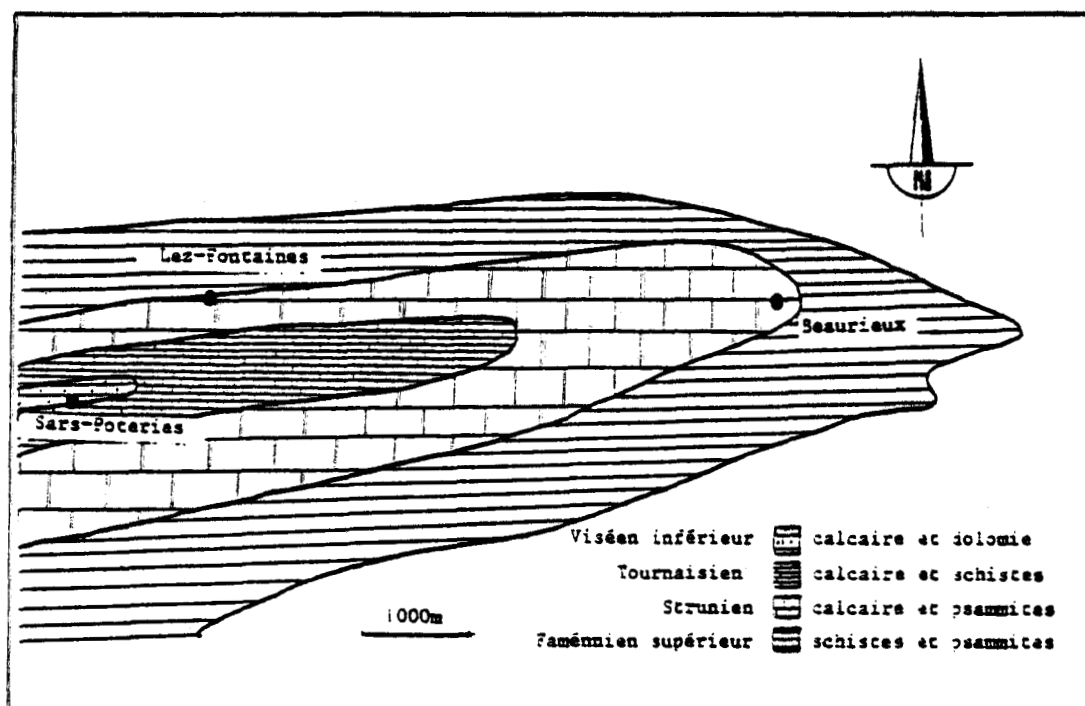


figure 22-SCHEMA GEOLOGIQUE DU SYNCLINAL DE SARS-POTERIES-

### 10-2 Détermination des perméabilités principales à partir des traits morphologiques

De par le manque d'affleurement, il n'a pas été possible d'effectuer une étude statistique directe de la fracturation ; mais

sachant que le synclinal fait partie du même ensemble structural que le synclinorium de Bachant-Ferrière-La-Petite, que les terrains sont de même nature, que les contraintes tectoniques qui ont sollicité ces formations sont les mêmes, j'ai considéré comme valable, pour ce secteur, les équations de régression relative à la comparaison entre fracturation et géomorphologie du synclinorium Bachant-Ferrière-La-Petite.

Les mesures géomorphologiques ont été effectuées sur carte topographique au 1/25.000. L'équation de régression utilisée est :

$$x = 17,09 y - 114,311 \pm 224$$

x : nombre de fractures dans une direction donnée

y : nombre de vallées sèches dans une direction donnée

Les résultats sont présentés dans le tableau suivant :

DIRECTION DES VALLEES SECHES	NOMBRE DE VALLEES SECHES OBSERVEES	NOMBRE DE FRACTURES DEDUIT DE LA CORRELATION
0-10	34	467
10-20	14	127
20-30	2	/
30-40	5	/
40-50	6	/
50-60	7	5
60-70	5	/
70-80	1	/
80-90	23	279
90-100	3	/
100-110	0	/
110-120	0	/
120-130	0	/
130-140	1	/
140-150	3	/
150-160	3	/
160-170	0	/
170-180	0	/

tableau 23-DETERMINATION DE LA FRACTURATION A PARTIR DES TRAITES MORPHOLOGIQUES AU NIVEAU DU SYNCLINAL DE SARS-POTERIES-

Ce tableau montre que les familles de fractures prépondérantes sont Nord-Sud, Est-Ouest, elles le sont aussi au niveau du synclinorium de Bachant-Ferrière-La-Petite.

Il n'est pas possible, à partir de ces données, de déterminer les perméabilités principales car les fréquences et ouvertures sont inconnues.

Si l'on compare les rapports entre les pourcentages des familles de fractures de synclinal de Sars-Poterie avec ceux du synclinorium de Bachant, on remarque qu'ils sont assez proches :

RAPPORTS	SYNCLINAL DE SARS-POTERIES	SYNCLINORIUM DE BACHANT	ECART
0-10/10-20	3.736	3.334	0.402
0-10/80-90	1.67	1.73	-0.06
10-20/80-90	0.448	0.52	-0.072

tableau 24-COMPARAISON ENTRE LES RAPPORTS DES POURCENTAGES DES FAMILLES DE FRACTURES DU SYNCLINAL DE SARS-POTERIES ET CEUX DU SYNCLINORIUM DE BACHANT-

Bien que le nombre de valeurs soit faible (6), la méthode des moindres carrés a été utilisée.

Le coefficient de corrélation est égal à 0,997, ce qui permet de dire que la relation est fonctionnelle.

L'équation de la droite est :  $y = 0,847 x + 0,2076$ .

Le coefficient de Student est égal à 25,76, ce qui donne un risque d'erreur inférieur à 1 %. Pour le calcul estimatif des perméabilités principales, on attribuera aux familles de fractures du synclinal de Sars-Poterie, les mêmes paramètres (fréquence, ouverture) de leurs homologues du synclinorium de Bachant. Il convient de souligner qu'il ne s'agit là que d'une simple hypothèse de travail malheureusement impossible à vérifier sur affleurements par suite de leur absence quasi totale.

Le traitement des données de fracturation par le programme TENFY a permis d'obtenir les résultats suivants :

Valeurs propres du tenseur de perméabilités dans le repère géographique tridimensionnel :

$$K_1 = 0,252510^{-3} \text{ m/s} \quad K_2 = 0,123310^{-4} \text{ m/s} \quad K_3 = 0,264910^{-3} \text{ m/s}$$

$$x = 0,996$$

$$x = 0,0917$$

$$x = 0$$

$$y = 0,0917$$

$$y = 0,996$$

$$y = 0$$

$$z = 0$$

$$z = 0$$

$$z = 1$$

Perméabilité du milieu poreux isotrope équivalent :  $K = 0,938810^{-4} \text{ m/s}$

### 10-3 Zones d'alimentation des captages

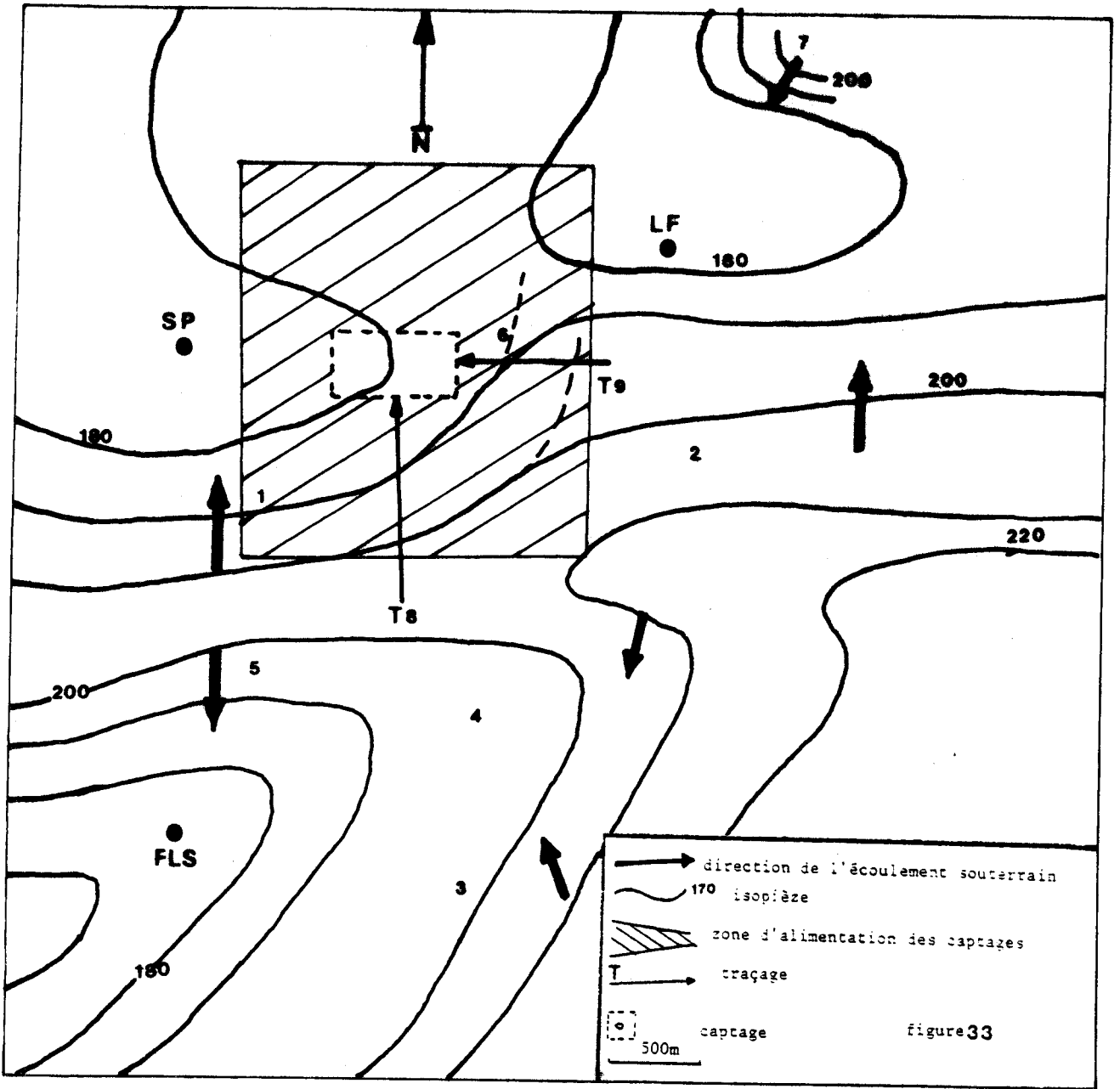
L'esquisse piézométrique a été divisée en secteurs où le gradient hydraulique est constant (fig. 23).

Le programme CPVGRHMA a permis de calculer pour chaque secteur, la direction du vecteur vitesse de DARCY, son module, la perméabilité selon ce vecteur (les directions sont données par rapport au Nord) :

SECTEUR	GRADIENT HYDRAULIQUE		VECTEUR VITESSE		PERMEABILITE (m/s)
	direction	valeur	direction	valeur	
1	1	0.0285	0	$7.210^{-6}$	$2.5110^{-4}$
2	1	0.02	0	$5.0310^{-6}$	$2.5110^{-4}$
3	293	0.017	-6.56	$8.310^{-6}$	$9.910^{-5}$
4	250	0.0126	7.63	$5.0810^{-7}$	$8.710^{-5}$
5	179	0.032	-0.049	$8.0610^{-6}$	$2.5210^{-4}$
6	330	0.02	-1.6	$3.8410^{-6}$	$2.1810^{-4}$
7	215	0.067	2	$1.1610^{-5}$	$2.0610^{-4}$

tableau 25-VITESSES DE DARCY ET PERMEABILITES CALCULEES  
AU NIVEAU DU SYNCLINAL DE SARS-POTERIES-

Les directions du vecteur vitesse ont permis de dresser la carte des zones d'alimentation des captages dont le champ est représenté en trait pointillé (fig. 23). Si l'on ne tient pas compte du cône d'influence du champ captant, on remarque que seule une partie du secteur (1) et du secteur (6) est en relation avec les captages.



10-4 Traçages

Résultats (fig. 24 et 25):

TRACAGE	Tc (j)	DISTANCE AU PUIITS (m)	VITESSE EFFECTIVE (m/j)
8	38	1400	37
9	23	700	30

tableau 26-RESULTATS DES TRACAGES EFFECTUES AU NIVEAU  
DU SYNCLINAL DE SARS-POTERIES-

- milieu poreux anisotrope (régime laminaire parallèle)

La direction du traçage 8 est la même que celle du vecteur vitesse de DARCY calculée du secteur 1. Le module du vecteur vitesse de DARCY est égal à  $7,18 \cdot 10^{-6}$  m/s ; la vitesse effective obtenue par traçage est de  $4,28 \cdot 10^{-4}$  m/s, ce qui donne une porosité cinématique sensiblement égale à 0,016.

Pour le traçage 9, la direction de la vitesse effective et celle du vecteur vitesse de DARCY sont quasiment orthogonales ; mais il convient de signaler que la détermination du vecteur vitesse de DARCY s'est faite sans tenir compte du cône d'influence du champ captant. Le fait que la direction du traçage 2 aurait du, en écoulement naturel, être orthogonale à celle observée, permet donc de suggérer une extension du cône d'influence des captages (écoulement radial convergent) d'au moins 700 m.

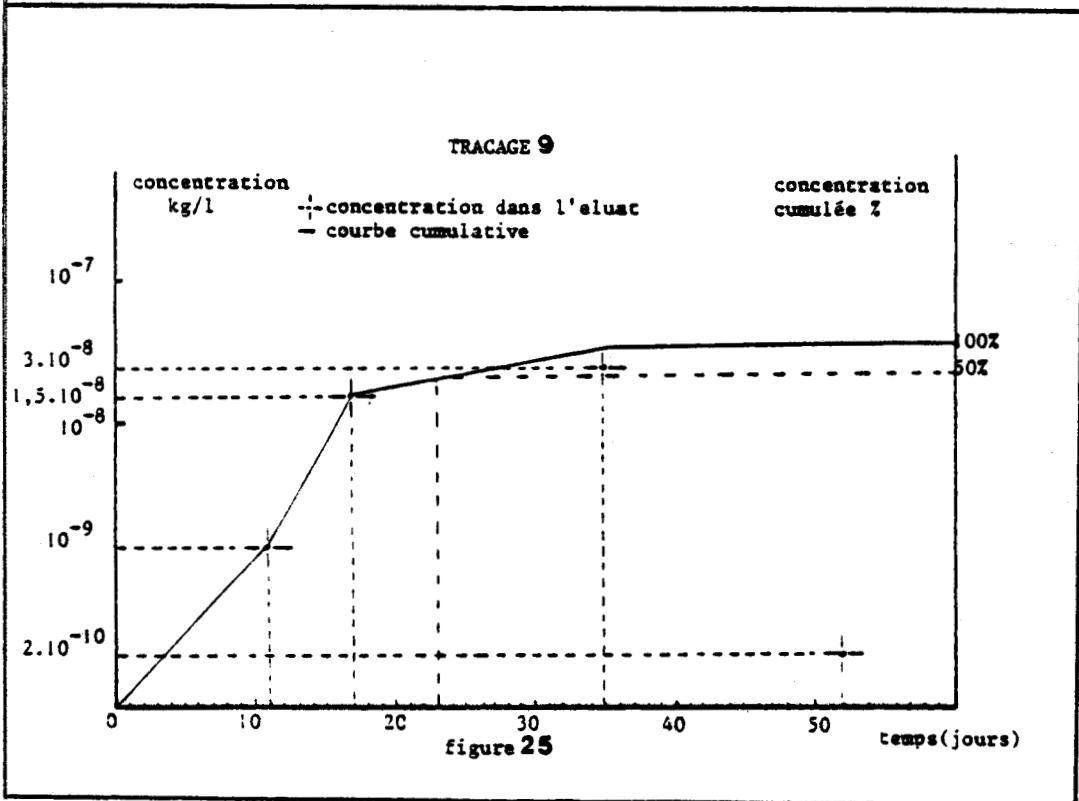
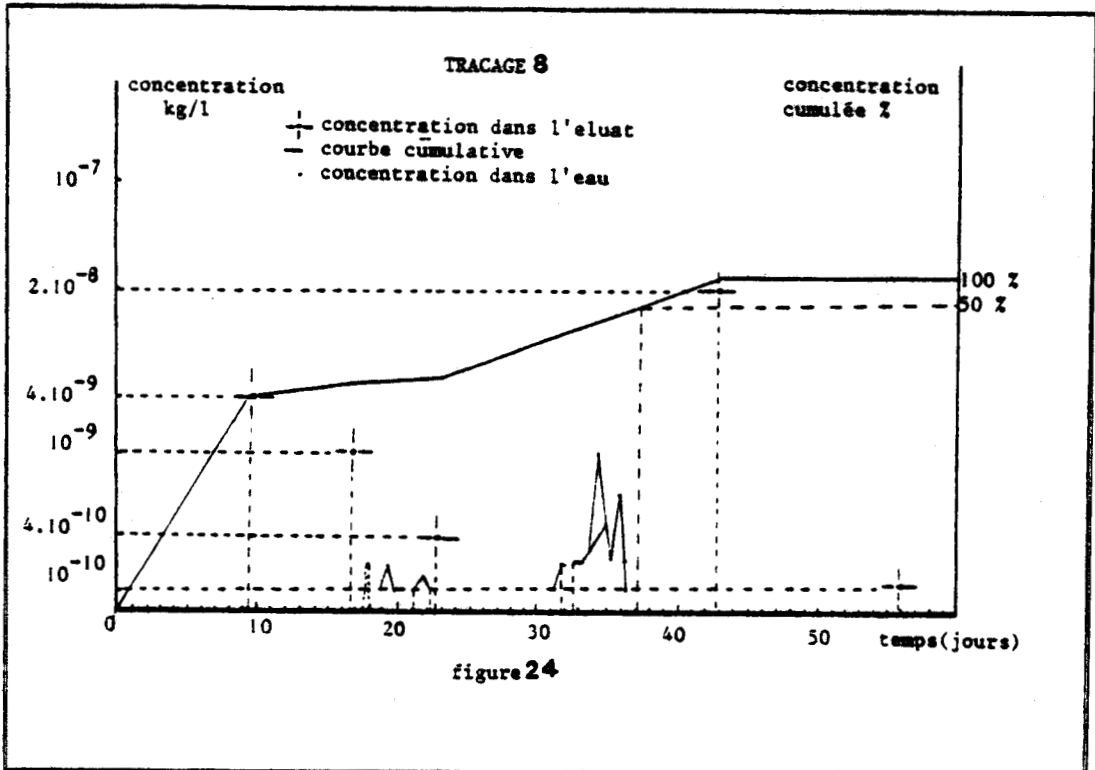
- Milieu fissuré.

Les deux traçages ont été considérés comme étant relatifs à deux familles de fissures, l'une de direction Nord-Sud, l'autre de direction Est-Ouest avec les caractéristiques déduites de la corrélation :

Famille Nord-Sud : fréquence = 0,0072      ouverture = 0,0035 m  
Famille Est-Ouest : fréquence = 0,009      ouverture = 0,0012 m

Les cinq régimes d'écoulement ont été envisagés (voir paragraphe 9432) et seul le régime turbulent rugueux non parallèle s'est avéré possible.





figures 24 et 25-RESULTATS DES TRACAGES EFFECTUES AU NIVEAU DU  
SYNCLINAL DE SARS-POTERIES-



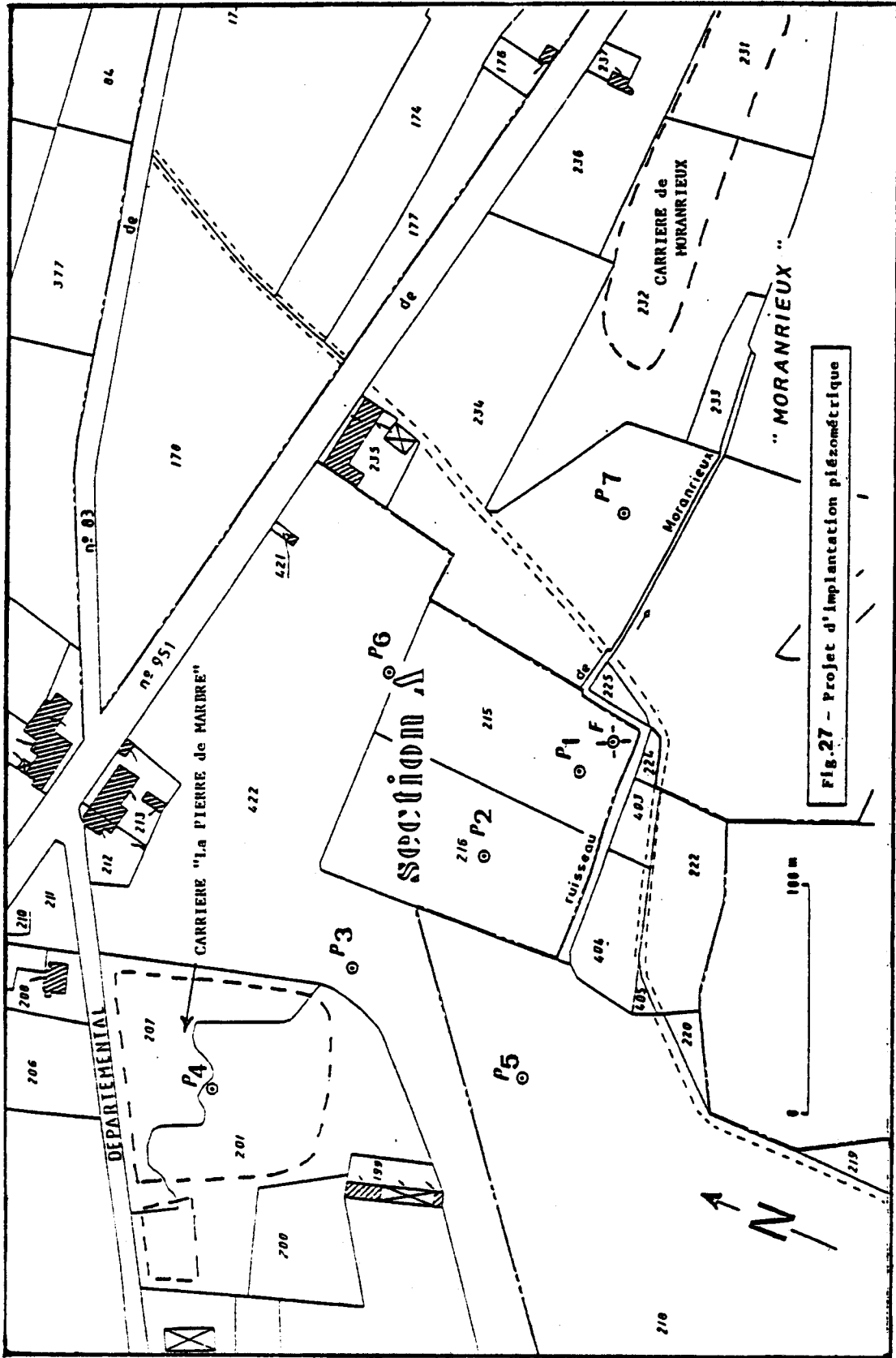


Fig. 27 - Projet d'implantation piézométrique

## XI. MONOCLINAL DE TRELON

### 11-1 Géologie

Le secteur de Rocquignies-Wallers-Trélon a une structure monoclinale constituée de bancs à pendage 30° à 40° Nord. Aux calchistes et calcaires du Couvinien succèdent les calcaires bleus, compacts du Givetien et les schistes et calcaires du Frasnien. Cet ensemble est compartimenté par un réseau de failles subverticales de direction N 160°-170° (fig. 26).

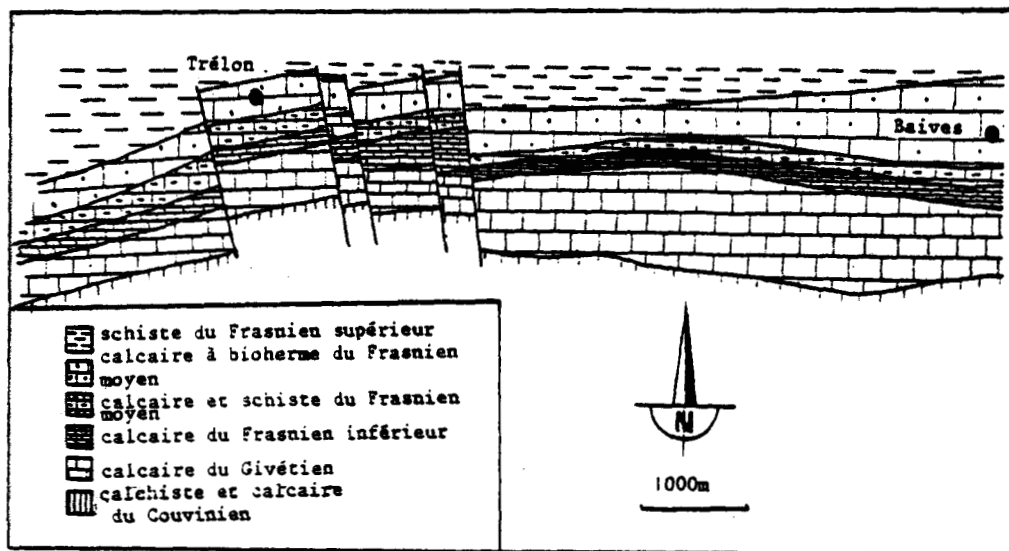


figure 26-SCHEMA GEOLOGIQUE DU MONOCLINAL DE TRELON-  
(d'après la carte géologique de Trélon à 1/50 000)

### 11-2 Site expérimental de Moranrieux

Le site est constitué d'un puits de pompage et de sept piézomètres (fig. 27). Des pompages d'essai en période de baisse des niveaux d'eau et en période de réalimentation, ainsi que des traçages y ont été effectués.

#### 11-21 Pompages d'essai

##### 11-211 Résultats

Le tableau (27) synthétise les résultats de pompage, l'un réalisé en juillet 1982 (pompage 1), l'autre en octobre 1982 (pom-

page 2). Ils ont été interprétés par deux méthodes relatives aux pompages d'essai en milieu anisotrope.

	METHODE DE HANTUSH					METHODE DE THIERRY			
	GROUPE DE PIEZOMETRES	Tx(m <sup>2</sup> /s)	Ty(m <sup>2</sup> /s)	ANGLE Tx,NORD	COEF.EMM S	Tx(m <sup>2</sup> /s)	Ty(m <sup>2</sup> /s)	ANGLE Tx,NORD	COEF.EMM S
POMPAGE 1	P6-P1-P5	0.015	2.4610 <sup>-3</sup>	259	0.0219	1.510 <sup>-2</sup>	2.2710 <sup>-3</sup>	90	0.017
	P6-P2-P5	0.013	3.5610 <sup>-3</sup>	298	0.0316				
	P6-P3-P5	9.510 <sup>-3</sup>	2.710 <sup>-3</sup>	294	0.023				
POMPAGE 2	P6-P1-P5	0.019	1.910 <sup>-3</sup>	318	0.016	4.1610 <sup>-2</sup>	1.2610 <sup>-2</sup>	95	0.091
	P6-P1-P7	0.044	1.110 <sup>-3</sup>	321	0.011				
	P6-P2-P5	0.046	8.410 <sup>-4</sup>	317	0.0075				
	P6-P2-P7	0.023	2.210 <sup>-3</sup>	319	0.0197				
	P6-P3-P5	0.054	0.0273	274	0.137				
	P6-P3-P7	0.058	0.0267	278	0.134				
	P6-P5-P7	0.011	4.710 <sup>-3</sup>	298	0.0257				
	P1-P5-P7	0.020	2.710 <sup>-3</sup>	107	0.0487				
	P2-P5-P7	0.019	3.010 <sup>-3</sup>	108	0.0458				
P3-P5-P7	0.048	0.0327	334	0.097					

tableau 27-RESULTATS DES POMPAGES D'ESSAI EFFECTUES SUR LE SITE DE MORENRIEUX-

La méthode de HANTUSH est valable si le milieu est véritablement anisotrope à l'échelle du dispositif puits-piezomètres. Son application par séries successives de trois directions montre une hétérogénéité directionnelle. Le milieu anisotrope équivalent peut alors être recherché par le complément apporté par D. THIERRY à cette méthode, en prenant en compte non plus trois directions, mais la totalité des résultats disponibles.

#### 11-212 Interprétation à partir des données de fracturation

Une étude de la fracturation effectuée par R. LEMPEREUR (1983) met en évidence deux familles principales de fractures dont les caractéristiques sont les suivantes :

180°/E/85°                      fréquence = 2                      ouverture = 1 cm  
 90°/S/70°                        fréquence = 2                      ouverture = 0,5 cm

Le tenseur de perméabilité relatif à ces deux familles est :

$\frac{9}{12v} \begin{pmatrix} 2,0310^{-6} & 0 \\ 0 & 2,1610^{-7} \end{pmatrix}$  dans la base  $\{\overrightarrow{\text{Nord}}, \overrightarrow{\text{Ouest}}\}$ .

On a donc une perméabilité principale de direction Nord-Sud égale à 1,66 m/s et une perméabilité principale Est-Ouest égale à 0,217 m/s.

La comparaison des résultats du pompage d'essai interprété par la méthode complémentaire de THIERY avec ceux de l'interprétation de la fracturation montre une similitude des directions principales d'anisotropie (Nord-Sud, Est-Ouest). Par contre, on observe une divergence des rapports  $\frac{K(E-W)}{K(N-S)}$  et  $\frac{T(E-W)}{T(N-S)} : \frac{K(E-W)}{K(N-S)} = 0,131$

$$\frac{T(E-W)}{T(N-S)} = 3,3(\text{pompage 2})$$

$$\frac{T(E-W)}{T(N-S)} = 6,6(\text{pompage 1})$$

En plus de la différence des rapports de perméabilité et de transmissivité, il convient de remarquer le résultat paradoxal suivant : les transmissivités obtenues lors du pompage (1) sont inférieures à celles du pompage (2) alors que ce dernier s'est effectué à une période où les côtes piézométriques étaient inférieures à celles relatives au pompage (1).

Hypothèses :

- l'épaisseur de l'aquifère est constante
- les perméabilités principales sont constantes

Proposition (1) :

Le régime est laminaire durant les intervalles de temps  $\Delta t_1$  et  $\Delta t_2$  correspondant aux pompages (1) et (2).

Si l'on considère que les fractures de direction Nord-Sud sont rugueuses, on peut écrire que :

$$\frac{K(E-W)}{K(N-S) \cdot \beta'} = 6,6 \quad \text{avec} \quad \beta' = \frac{F}{1 + 8,8 \left( \frac{\varepsilon}{dh} \right) 1,5} = \frac{0,131}{6,6} = 0,0197 \quad (\text{pompage (1)}).$$

F : degré d'ouverture de la fracture

$\frac{\varepsilon}{dh}$  : rugosité relative

$$\frac{K(E-W)}{K(N-S) \beta'} = 3,3 \implies \beta' = 0,0394 \quad (\text{pompage (2)}).$$

Comme, à l'échelle temporelle humaine,  $\beta'$  est constant, la proposition 1 n'est pas valable.

Proposition (2) :

Le régime est turbulent pour le pompage 1 et laminaire pour le pompage 2.

Si l'on considère que seul des fractures Nord-Sud sont rugueuses, il y a composition d'écoulement.

pompage (2) : composition d'un écoulement laminaire parallèle et d'un écoulement laminaire non parallèle

pompage (1) : composition d'un écoulement turbulent hydrauliquement lisse et d'un écoulement turbulent rugueux soit parallèle soit non parallèle.

Le rapport des perméabilités pour le pompage (1) est égal à :

$$\frac{\left[ \frac{g}{0,0079} \left( \frac{2}{v} \right)^{0,25} (fa^2)^{5/4} \right]^{4/7}}{4Fa \sqrt{g} \log \frac{x}{(\epsilon/dh)}} = 6,6 \quad (1)$$

$x = 1,9$  en écoulement rugueux non parallèle

$x = 3,7$  en écoulement rugueux parallèle.

- écoulement turbulent rugueux non parallèle

L'équation (1) permet d'écrire :  $F \log\left(\frac{1,9}{\epsilon/dh}\right) = 0,337$

Les paramètres  $\alpha$  et  $\epsilon/dh$  doivent vérifier le système :

$$\begin{cases} F \log\left(\frac{1,9}{\epsilon/dh}\right) = 0,337 & (\text{pompage 1}) \\ \frac{\alpha}{1+8,8\left(\frac{\epsilon}{dh}\right)^{1,5}} = 0,0397 & (\text{pompage 2}) \end{cases}$$

Ce système permet d'obtenir l'équation suivante :

$$F = \frac{F \log(F-0,0397) + 0,5055}{-0,0813}$$

Cette équation n'a pas de solution ; l'hypothèse du régime turbulent rugueux non parallèle est donc à rejeter.

- écoulement turbulent rugueux parallèle

$$\begin{cases} F \log \frac{3,7}{\epsilon/dh} = 0,337 \\ \frac{F}{1+8,8\left(\frac{\epsilon}{dh}\right)^{1,5}} = 0,0397 \end{cases} \implies \frac{F \log(F-0,0397) + 0,5055}{0,92} = F$$

Cette équation admet une solution :  $F = 0,1716$ , ce qui donne une rugosité relative égale à 0,5192.

Conclusion :

Pour rendre compte des données expérimentales, il est possible d'adopter le modèle d'un aquifère à perméabilités directionnelles et épaisseur constante, caractérisé par deux familles de fractures, l'une Est-Ouest, entièrement ouverte et lisse, l'autre Nord-Sud, ayant un

degré d'ouverture égal à 17,16 % et dont les aspérités ou sinuosité sont égales au quart de l'ouverture des fractures. De plus, il faut admettre que lors du pompage (1), il y avait composition de deux régimes d'écoulement, l'un turbulent rugueux selon la direction Nord-Sud, l'autre turbulent hydrauliquement lisse selon la direction Est-Ouest ; et que lors du pompage (2), il y avait un écoulement laminaire non parallèle selon la direction Nord-Sud et un écoulement laminaire parallèle selon la direction Est-Ouest.

### 11-22 Traçages

#### 11-221 Résultats

Le tableau suivant synthétise les résultats des deux traçages (Fig. 28 et 29), l'un Nord-Sud, à partir d'une perte du ruisseau Moranrieux (traçage 13), l'autre de direction 105° à partir du piézomètre P<sub>2</sub> (traçage 14).

TRACAGE	DISTANCE AU PUIITS	T <sub>c</sub>	P	d(m)	DEBIT(m <sup>3</sup> /h)
13	14 m	12.5mn	4.4	3.18	44.
14	68.88m	123h	7.7	1.8	73

tableau 28-RESULTATS DES TRACAGES EFFECTUES SUR  
LE SITE DE MORENRIEUX-

t<sub>c</sub> : temps de transfert par convection pure

P : nombre de Peclet dynamique

α : dispersivité

en supposant un écoulement axisymétrique convergent

L'expression de la hauteur h d'aquifère est :  $e = \frac{q \times t_c}{\pi r^2 \omega_c}$  avec

ω<sub>c</sub> : porosité cinématique.

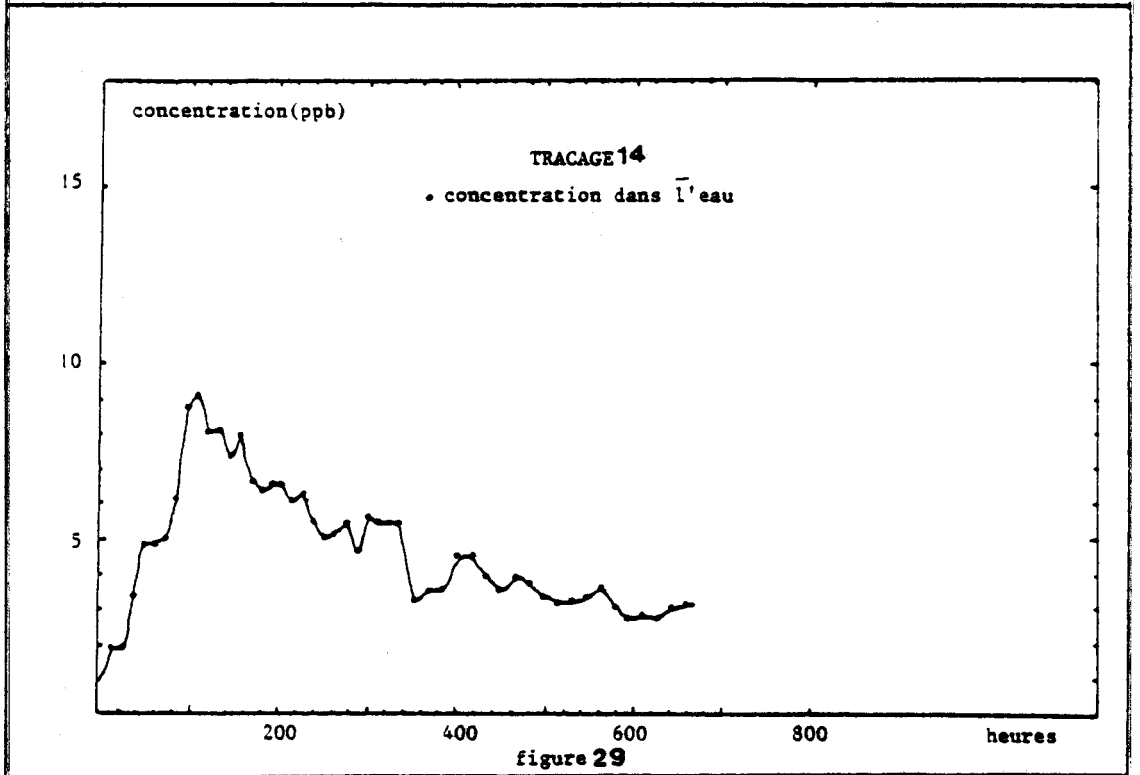
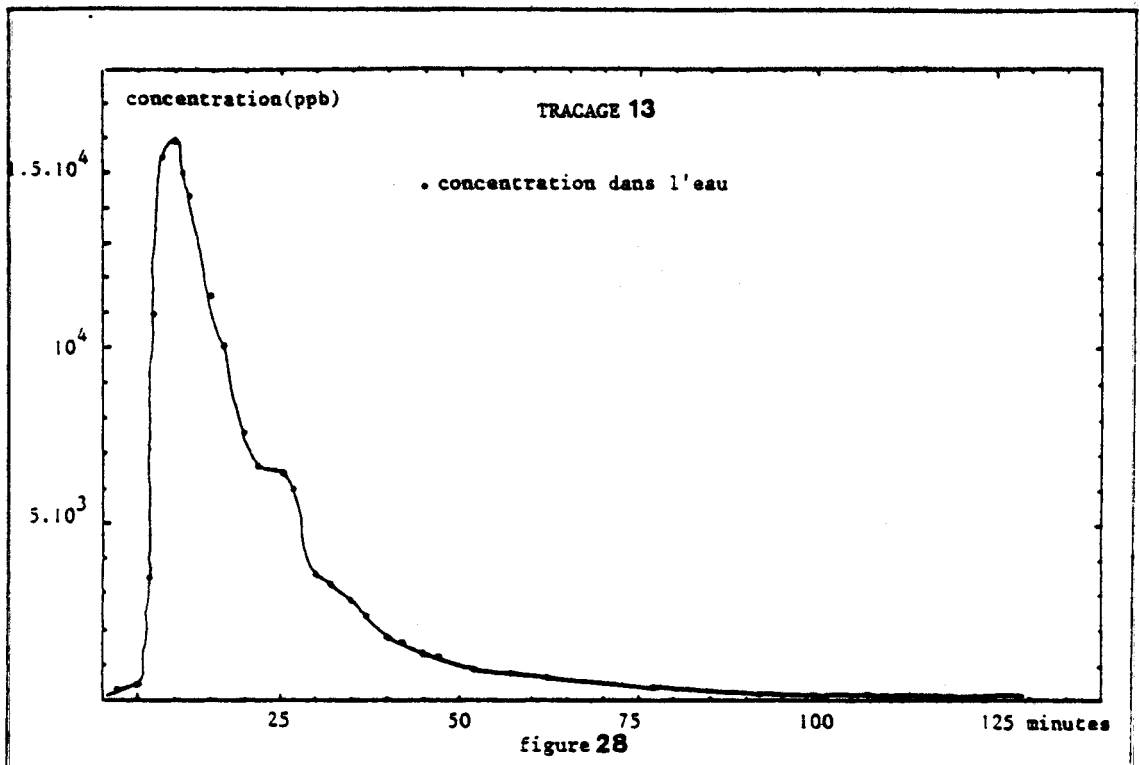
Si l'on désigne le produit eω<sub>c</sub> par hauteur efficace, on a :

eω<sub>c</sub> = 0,3845 m pour le traçage 2.

eω<sub>c</sub> = 0,0071 m pour le traçage 1.

Si l'on considère h comme constante, il faut admettre une variation de ω selon la direction c'est-à-dire admettre le concept de porosité cinématique directionnelle.

$$\frac{\omega_c \text{ Nord-Sud}}{\omega_c \text{ Est-Ouest}} = 0,02$$



figures 28 et 29-RÉSULTATS DES TRACAGES EFFECTUES AU NIVEAU DU SITE EXPERIMENTAL DE MORENRIEUX-





### 11-222 Relation avec la fracturation

Les données de fracturation donnent un rapport entre les porosités totales égal à 2, les deux familles de fractures ayant même fréquence et une ouverture deux fois plus importante pour la famille de direction Nord-Sud que pour la famille de direction Est-Ouest. Si l'on fait intervenir le degré d'ouverture des fractures de direction Nord-Sud (17 %) ainsi que la rugosité relative (0,5), le rapport passe de 2 à 0,17 ; il est encore 8,5 fois trop important. Les fractures de direction Est-Ouest, considérées comme lisses, ont une surface spécifique moins importante que celle des fractures de direction Nord-Sud, considérées comme rugueuses, ce qui implique que le pourcentage de molécules d'eau liée est plus important pour les familles Nord-Sud que pour les familles Est-Ouest. La porosité cinématique étant définie comme le rapport du volume d'eau mobile et du volume totale, on peut donc admettre que le facteur correctif égal à 8,5 est dû au rapport des pourcentages d'eau liée des familles Nord-Sud et Est-Ouest.

### 11-223 Interprétation selon la fonction intrinsèque au terrain $g(x)$ telle que $D_L(t) = v_e^{3/2} \cdot g(x)$

L'analyse des traçages donne une dispersivité plus importante dans la direction Nord-Sud que dans la direction Est-Ouest ; intuitivement, ce résultat semble logique, les fractures Nord-Sud étant considérées comme plus rugueuses. Des travaux récents (DIEULIN 1980, PREAUX, 1983) semblent montrer le caractère non intrinsèque de la dispersivité ; des traçages à des débits différents pour une même ligne de piézomètres, effectués sur le site expérimental de Béthune (Pas-de-Calais) montrent que la dispersivité varie. DIEULIN précise que la loi  $D_L = \alpha v_e^n$  n'est valable que dans le cas d'un aquifère homogène et isotrope ; il montre qu'une loi du type  $D_L(t) = v_e^{3/2} g(x)$ , où  $g(x)$  est une fonction qui ne dépend que de la distance, est plus adaptée à des terrains hétérogènes. Le traçage Nord-Sud ayant été effectué à 44 m<sup>3</sup>/h, et ayant donné une dispersivité apparente égale à 3,18 m, il convient donc de déterminer la dispersivité pour le débit 73 m<sup>3</sup>/h correspondant au traçage Est-Ouest, ce qui revient à déterminer l'évolution de la concentration du traceur pour ce débit. Connaissant les

fonctions de dispersion  $D_L(t)$  au débit  $44 \text{ m}^3/\text{h}$ , il est possible d'en déduire celles correspondant au débit  $74 \text{ m}^3/\text{h}$  :

$$\left. \begin{array}{l} D_L^{44}(t) = v_e^{3/2} g(x) \\ D_L^{44}(t') = v_e^{3/2} g(x) \end{array} \right\} \Rightarrow D_L^{74}(t') = D_L^{44} \left( \frac{v_e^{74}}{v_e^{44}} t' \right) \left( \frac{v_e^{74}}{v_e^{44}} \right)^{3/2} \quad (1)$$

$$\text{avec } x = v_e^{44} t = v_e^{74} t'$$

A partir des fonctions de dispersions relatives au débit  $74 \text{ m}^3/\text{h}$ , il est possible, grâce aux solutions analytiques du type  $C(x,t) = f(x,t,\omega,M,v_e,D_L(t))$  de calculer les concentrations en fonction du temps pour une distance donnée. J.P. SAUTY (1977) montre que, pour des nombres de Peclet dynamique supérieurs à 1, la solution en écoulement monodimensionnel uniforme pour une injection brève et que pour des nombres de Peclet supérieurs à 3, la solution de la dérivée de la réponse à l'échelon en écoulement monodimensionnel concordent très bien avec les solutions relatives à l'écoulement radial convergent.

Pour l'injection instantanée en écoulement monodimensionnel uniforme, la solution est :

$$C(x,t) = \frac{M/\omega_c}{2\sqrt{D_L(t)} t} \exp \left\{ - \frac{(x-v_e t)^2}{4D_L(t) t} \right\} \quad (2)$$

Pour la dérivée de la réponse à un échelon imposé elle est :

$$C(x,t) = \frac{M x}{2\omega_e v_e \sqrt{D_L(t)}} \frac{1}{t^{1,5}} \exp \left\{ - \frac{(x-v_e t)^2}{4D_L(t) t} \right\} \quad (3)$$

Or, l'équation (2) s'est avérée inapplicable aux données du traçage Nord-Sud : il n'a pas été possible de calculer les fonctions de dispersion  $D_L(t)$  à partir des valeurs  $C(x,t)$  ; alors qu'elles ont pu l'être en utilisant l'équation (3). Ce fait est certainement dû aux conditions expérimentales plus proches d'une injection en créneau que d'une injection instantanée.

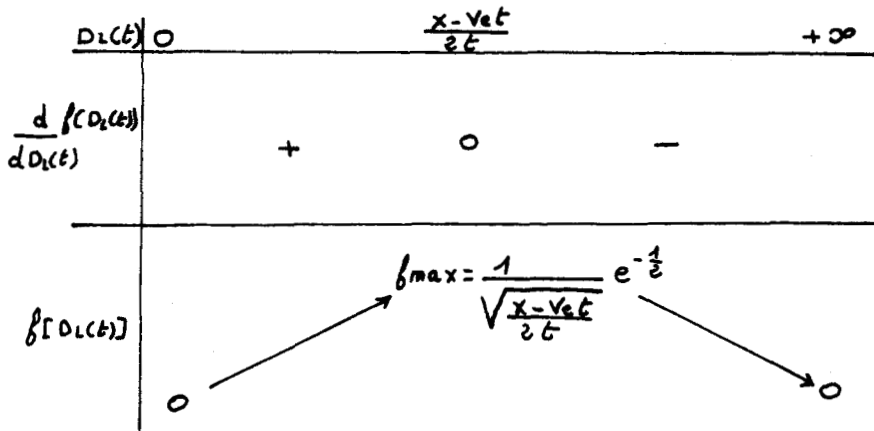
En posant  $F = \frac{M x}{2\omega_e v_e \sqrt{D_L(t)}}$ , l'expression (3) peut se mettre sous la forme :

$$\frac{C(x,t) t^{1,5}}{F} = \frac{1}{\sqrt{D_L(t)}} \exp \left\{ - \frac{(x-v_e t)^2}{4D_L(t) t} \right\} = f [D_L(t)] \quad (4)$$

L'expression de la dérivée en fonction de  $D_L(t)$  est :

$$\frac{d}{dD_L(t)} f [D_L(t)] = f [D_L(t)] \left[ \frac{(x-v_e t)^2}{2t} - D_L(t) \right] \frac{1}{2D_L(t)^2} \quad (5)$$

A partir de l'équation (5), il est donc possible d'étudier les variations de  $f[D_L(t)]$  en fonction de  $D_L(t)$



DIEULIN arrive au même résultat pour l'écoulement bidimensionnel uniforme.

Connaissant  $f_{max}$ , il est donc possible, à partir de l'équation (4) de calculer  $F$  ; connaissant  $F$  on pourra calculer les fonctions de dispersion  $D_L(t)$ , puis l'équation (1) permettra de calculer les fonctions  $D'_L(t)$  pour un débit différent.

A partir des valeurs  $D'_L(t)$  calculées, on pourra, à partir de l'équation (3) calculer les concentrations  $C(x,t)$  et donc d'obtenir les valeurs de dispersivités pour le nouveau débit.

Le tableau (29) présente les résultats obtenus.

La figure (30) montre l'évolution de la fonction  $D_L(t)$  pour les débits  $44\text{m}^3/\text{h}$  et  $73\text{m}^3/\text{h}$ .

TRACAGE	DISTANCE AU PUIITS	Tc	P	$\alpha$ (m)	DEBIT( $\text{m}^3/\text{h}$ )
13	14m	12.5mn	4.4	3.18	44
13	14m	10.5mn	2.38	5.88	73
14	68.88m	123h	1.8	1.8	73

tableau 29-CALCUL DE LA DISPERSIVITE RELATIVE AU TRACAGE 13 POUR LE DEBIT  $73\text{m}^3/\text{h}$  A PARTIR DE CELLE OBTENUE POUR LE DEBIT  $44\text{m}^3/\text{h}$

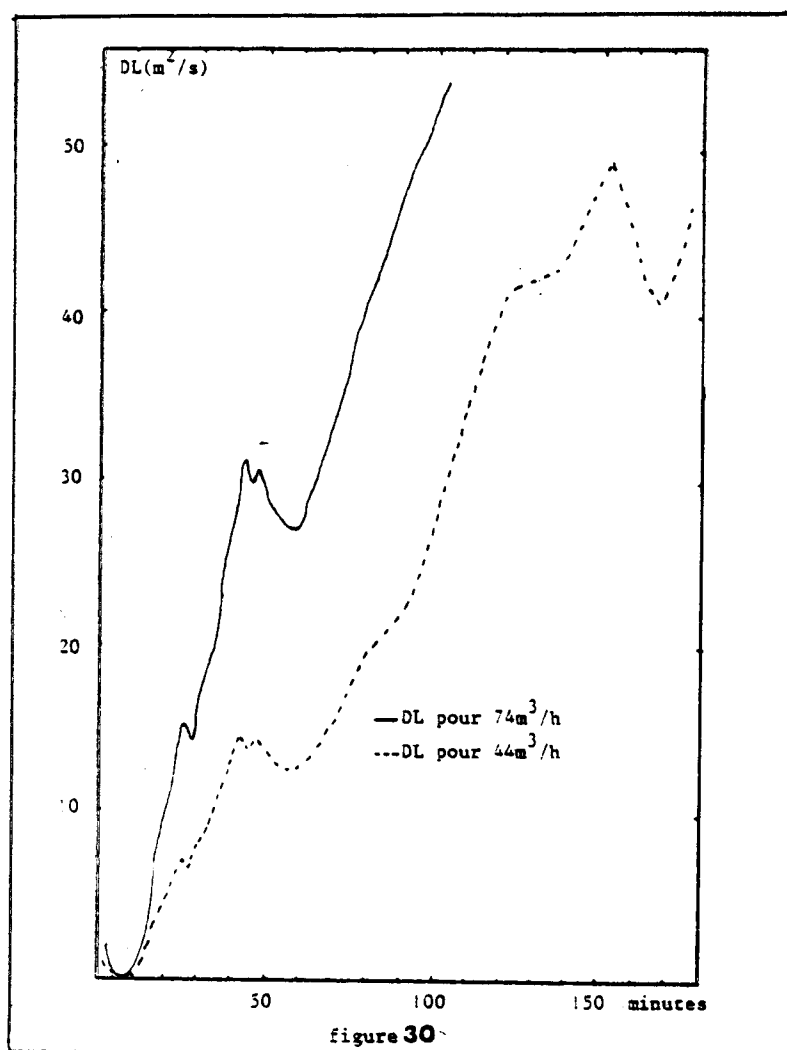


figure 30-EVOLUTION TEMPORELLE DE LA FONCTION DE  
DISPERSION LONGITUDINALE  $DL(t)$ -

La dispersivité obtenue pour le débit  $73 m^3/h$  est égale à 5,88 m ;  
donc supérieure à celle obtenue pour le débit  $44 m^3/h$ .

Les valeurs de dispersivités obtenues sont des valeurs globales qui résultent de l'hypothèse du caractère intrinsèque de la dispersivité (constance de la dispersivité en fonction du temps).

Or  $D_L$  étant une fonction du temps, si l'on considère le paramètre  $\frac{D_L(t)}{v_e} = \alpha(t)$ , on peut dire que la dispersivité est fonction

du temps. Le tableau (30) montre l'évolution de la dispersivité en fonction du temps pour les débits  $44\text{m}^3/\text{h}$  et  $73\text{m}^3/\text{h}$  ; on constate que les valeurs de dispersivité  $\alpha(t)$  sont plus élevées pour  $73\text{m}^3/\text{h}$  que pour  $44\text{m}^3/\text{h}$ .

t (mn)	C(t) (1000ppb)	Cxt <sup>1.5</sup>	Dl(t) (m <sup>2</sup> /mn)	t' = t x 1.65	C(t') (1000ppb)	Dl(t')	D'l(t')	C'(t) (1000ppb)	$\alpha(t)$ (m)	$\alpha(t')$ (m)
0	0.0015	0	0	0	0	0	0	0	0	0
2	0.23	0.65	2.09	3.3	0.3	1.05	2.23	1.44	1.25	1.16
5	0.41	4.5	0.485	8.25	15.7	0.2	0.426	2.7	0.291	0.22
6.38	3.5	56	0.293	10.53	15.6	0.02	0.0426	35	0.175	0.022
7	11.1	18	0.378	11.55	15	0.0016	0.0034	68	0.23	0.0017
8.18	15.5	96.26	0.208	13.49	12.9	0.013	0.0277	20.5	0.125	0.0144
9.42	16	46.26	0.077	15.54	11	0.1	0.213	18.5	0.046	0.11
11.18	15	56.07	0.0054	18.44	8.7	0.347	0.741	11.4	0.003	0.385
12	14.3	59.44	1.8610 <sup>-5</sup>	19.8	7.6	0.525	1.118	9.8	1.110 <sup>-5</sup>	0.58
14.5	11.5	63.49	0.0426	23.92	6.6	1.62	3.4	7.3	0.025	1.77
17	10	70.09	0.206	28.05	4.9	3.4	7.24	5.18	0.124	3.76
19.5	7.6	65.44	0.482	32.17	3.3	4.4	9.37	3.6	0.28	4.87
25.45	6.5	83.4	2.75	41.99	1.65	7.2	15.33	1.8	1.65	7.97
27	6	84.17	5.5	44.55	1.3	6.7	14.27	1.47	3.3	7.42
29.55	3.6	57.82	4.2	52.8	0.8	8	17.04	0.943	2.52	8.86
35.04	2.85	59.11	6.6	57.82	0.7	10	21.3	0.798	3.96	11.07
37	2.4	54.01	6.6	61.05	.65	11.8	25.13	0.731	3.96	13.06
39.55	1.8	44.77	5.8	65.26	0.59	13	27.7	0.63	3.48	14.4
42	1.65	44.31	7.2	69.3	0.5	14.6	31.1	0.557	4.32	16.17
44.55	1.3	38.65	6.75	73.5	0.4	13.8	29.4	0.462	4.05	15.28
47	1.2	38.66	7.9	77.55	0.35	14.5	30.88	0.406	4.74	16.05
57	0.8	34.42	11.6	94.05	0.15	12.6	26.84	0.2	6.96	13.95
62	0.61	29.77	11.5	102.3	0.11	12.9	27.48	0.153	6.9	14.28
77	0.35	23.64	14.1	127.05	0.08	18.7	39.83	0.107	8.46	20.71
92	0.16	14.12	12.4	151.8	0.055	22.8	48.56	0.073	7.44	25.25
107	0.111	12.17	14.6	176.55	0.05	32.5	69.22	0.062	8.76	35.99
122	0.099	13.34	19.5	201.3	0.042	41.5	88.4	0.051	11.7	46.0
137	0.064	10.26	19.4	226.05	0.03	42.8	91.16	0.037	11.64	47.4
152	0.055	10.30	23	250.8	0.025	49.5	105.43	0.031	13.8	54.8
167	0.044	9.49	25	275.55	0.014	40.7	86.7	0.019	15	45.08
182	0.036	8.84	27.2	300.3	0.0131	48	102.24	0.017	16.32	53.16

tableau 30-EVOLUTION TEMPORELLE DE LA DISPERSIVITE POUR LES DEBITS  $44\text{m}^3/\text{h}$  et  $73\text{m}^3/\text{h}$

11-224 Simulation de l'évolution spatio-temporelle d'un traceur en écoulement monodimensionnel non uniforme (Programme SIMEVOT)

11-2241 Modélisation

Il s'agit d'un modèle unidimensionnel à mailles carrées qui a deux fonctions :

- calcul de la piézométrie en régime transitoire
- calcul de la concentration du traceur pour chaque maille et pour chaque pas de temps lorsque le régime permanent est atteint.

Le calcul de la piézométrie est effectué, par différences finies, en utilisant la méthode explicite (voir annexe 9) :

$$h_i^{t+\Delta t} = \frac{T}{S_e \Delta x^2} h_{i+1}^t + h_{i-1}^t + h_i^t \left(1 - \frac{2T\Delta t}{S_e \Delta x^2}\right)$$

T : Transmissivité ( $m^2/s$ )

$S_e$  : Coefficient d'emménagement

$\Delta x$  : Côté de la maille (m)

$\Delta t$  : Pas de temps (s)

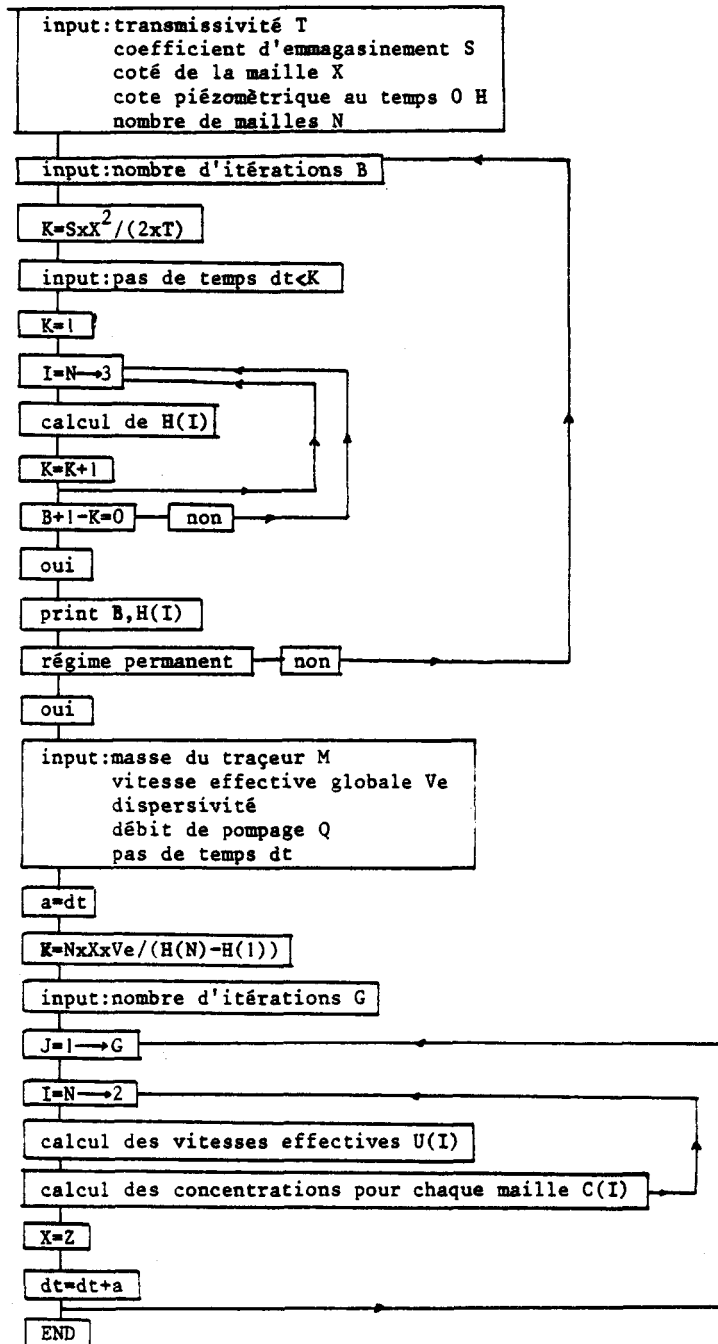
$h_i^t$  : Cote piézométrique de la maille à l'instant t.

Le calcul de la concentration du traceur est effectué en utilisant la solution explicite de la dérivée de la réponse à un échelon de concentration :

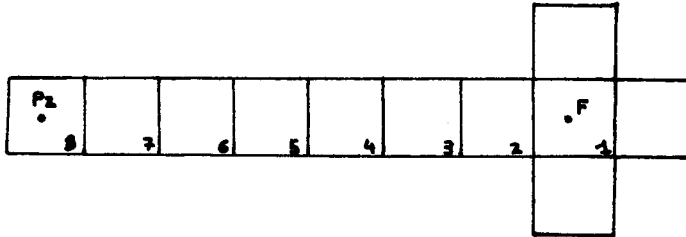
$$C(t) = \frac{M x}{2qVTD} \frac{1}{t^{1,5}} \exp \left\{ - \frac{(x-Vet)^2}{4D t} \right\}$$

SAUTY montre que cette solution constitue une excellente approximation pour l'écoulement convergent (injection brève) pour un nombre de Peclet supérieur à 3.

11-2242 Ordinogramme du programme SIMEVOT



## 11-2243 Exemple de simulation



## - Données :

Vitesse effective moyenne : 0,57 m/h

Dispersivité : 1,8 m

Débit de pompage : 71,05 m<sup>3</sup>/h

Transmissivité : 45,56 m<sup>2</sup>/h

Coefficient d'emmagasinement : 0,09

## - Cotes piézométriques des mailles en régime permanent (en m) :

$$h_1 = 195,2$$

$$h_2 = 195,460$$

$$h_3 = 195,720$$

$$h_4 = 195,980$$

$$h_5 = 196,237$$

$$h_6 = 196,493$$

$$h_7 = 196,747$$

$$h_8 = 197$$



- Concentrations en  $\text{Kg}/\text{m}^3$  pour chaque maille et pour un pas de temps égal à 5 heures :

TEMPS	C1	C2	C3	C4	C5	C6	C7
5	0	0	0	$9.3510^{-32}$	$3.1910^{-18}$	$6.2810^{-9}$	$5.3910^{-4}$
10	0	$7.8710^{-34}$	$1.610^{-23}$	$2.610^{-15}$	$3.2910^{-9}$	$2.9810^{-5}$	$1.5410^{-3}$
15	$5.4110^{-30}$	$1.5310^{-21}$	$4.2510^{-15}$	$4.6710^{-10}$	$1.9710^{-6}$	$2.5710^{-4}$	$1.310^{-3}$
20	$110^{-21}$	$1.5410^{-15}$	$5.0110^{-11}$	$1.4310^{-7}$	$3.510^{-5}$	$6.8110^{-4}$	$8.710^{-4}$
25	$7.610^{-17}$	$4.8710^{-12}$	$1.110^{-8}$	$3.510^{-6}$	$1.510^{-4}$	$8.810^{-4}$	$5.410^{-4}$
30	$1.1210^{-13}$	$8.710^{-10}$	$3.310^{-7}$	$2.4810^{-5}$	$3.5110^{-4}$	$8.8510^{-4}$	$3.2810^{-4}$
35	$1.710^{-11}$	$3.0710^{-8}$	$3.310^{-6}$	$8.6510^{-5}$	$5.4210^{-4}$	$7.6210^{-4}$	$1.9910^{-4}$
40	$6.910^{-10}$	$3.910^{-7}$	$1.6110^{-5}$	$1.9410^{-4}$	$6.6310^{-4}$	$6.0110^{-4}$	$1.210^{-4}$
45	$1.0710^{-8}$	$2.5310^{-6}$	$510^{-5}$	$3.2810^{-4}$	$6.9610^{-4}$	$4.4910^{-4}$	$7.3510^{-5}$
50	$8.710^{-8}$	$1.0310^{-5}$	$1.1210^{-4}$	$4.5310^{-4}$	$6.5810^{-4}$	$3.2310^{-4}$	$4.4910^{-5}$
55	$4.4910^{-7}$	$2.9710^{-5}$	$1.9910^{-4}$	$5.4110^{-4}$	$5.7710^{-4}$	$2.2710^{-4}$	$2.7610^{-5}$
60	$1.610^{-6}$	$6.6510^{-5}$	$2.9910^{-4}$	$5.8210^{-4}$	$4.7910^{-4}$	$1.5710^{-4}$	$1.710^{-5}$
65	$4.4710^{-6}$	$1.2210^{-4}$	$3.9110^{-4}$	$5.7710^{-4}$	$3.8210^{-4}$	$1.0710^{-4}$	$1.0610^{-5}$
70	$1.110^{-5}$	$1.9410^{-4}$	$4.6310^{-4}$	$5.3710^{-4}$	$2.9510^{-4}$	$7.2310^{-5}$	$6.610^{-6}$
75	$1.8910^{-5}$	$2.7210^{-4}$	$5.0410^{-4}$	$4.7510^{-4}$	$2.2210^{-4}$	$4.8510^{-5}$	$4.1310^{-6}$
80	$3.1210^{-5}$	$3.4610^{-4}$	$5.1410^{-4}$	$4.0410^{-4}$	$1.6410^{-4}$	$3.2310^{-5}$	$2.610^{-6}$
85	$4.6210^{-5}$	$4.0610^{-4}$	$4.9610^{-4}$	$3.3210^{-4}$	$1.1910^{-4}$	$2.1510^{-5}$	$1.6310^{-6}$
90	$6.210^{-5}$	$4.4610^{-4}$	$4.5810^{-4}$	$2.6610^{-4}$	$8.5510^{-5}$	$1.42810^{-5}$	$1.03610^{-6}$
100	$9.0810^{-5}$	$4.5910^{-4}$	$3.5110^{-4}$	$1.610^{-4}$	$4.2710^{-5}$	$6.2410^{-6}$	$4.1810^{-7}$
105	$110^{-4}$	$4.3710^{-4}$	$2.9410^{-4}$	$1.2110^{-4}$	$2.9810^{-5}$	$4.1110^{-6}$	$2.6610^{-7}$
110	$1.05610^{-4}$	$4.0210^{-4}$	$2.4110^{-4}$	$9.0710^{-5}$	$2.0710^{-5}$	$2.7110^{-6}$	$1.710^{-7}$
115	$1.06610^{-4}$	$3.5810^{-4}$	$1.9410^{-4}$	$6.6910^{-5}$	$1.4310^{-5}$	$1.7810^{-6}$	$1.0910^{-7}$
120	$1.03810^{-4}$	$3.11710^{-4}$	$1.5310^{-4}$	$4.8910^{-5}$	$9.8410^{-6}$	$1.1710^{-6}$	$710^{-8}$
125	$9.7810^{-5}$	$2.6410^{-4}$	$1.1910^{-4}$	$3.5410^{-5}$	$6.7310^{-6}$	$7.7410^{-7}$	$4.510^{-8}$
130	$8.9610^{-5}$	$2.210^{-4}$	$9.110^{-5}$	$2.5410^{-5}$	$4.610^{-6}$	$5.110^{-7}$	$2.910^{-8}$
135	$8.0110^{-5}$	$1.810^{-4}$	$6.910^{-5}$	$1.8110^{-5}$	$3.110^{-6}$	$3.3510^{-7}$	$1.8710^{-8}$
140	$710^{-5}$	$1.410^{-4}$	$5.2110^{-5}$	$1.2810^{-5}$	$2.1210^{-6}$	$2.2110^{-7}$	$1.210^{-8}$
145	$610^{-5}$	$1.1510^{-4}$	$3.8810^{-5}$	$9.0910^{-6}$	$1.4410^{-6}$	$1.4510^{-7}$	$7.8310^{-9}$
150	$5.0510^{-5}$	$9.0110^{-5}$	$2.8610^{-5}$	$6.3810^{-6}$	$9.710^{-7}$	$9.5710^{-8}$	$5.0710^{-9}$

tableau 31-EVOLUTION SPATIO-TEMPORELLE DE CONCENTRATION (simulation du traçage 14)-



- Comparaison avec les résultats expérimentaux :

La comparaison entre l'évolution des concentrations expérimentales au puits et celles des concentrations obtenues par simulation donne un coefficient de corrélation égal à 92 %.

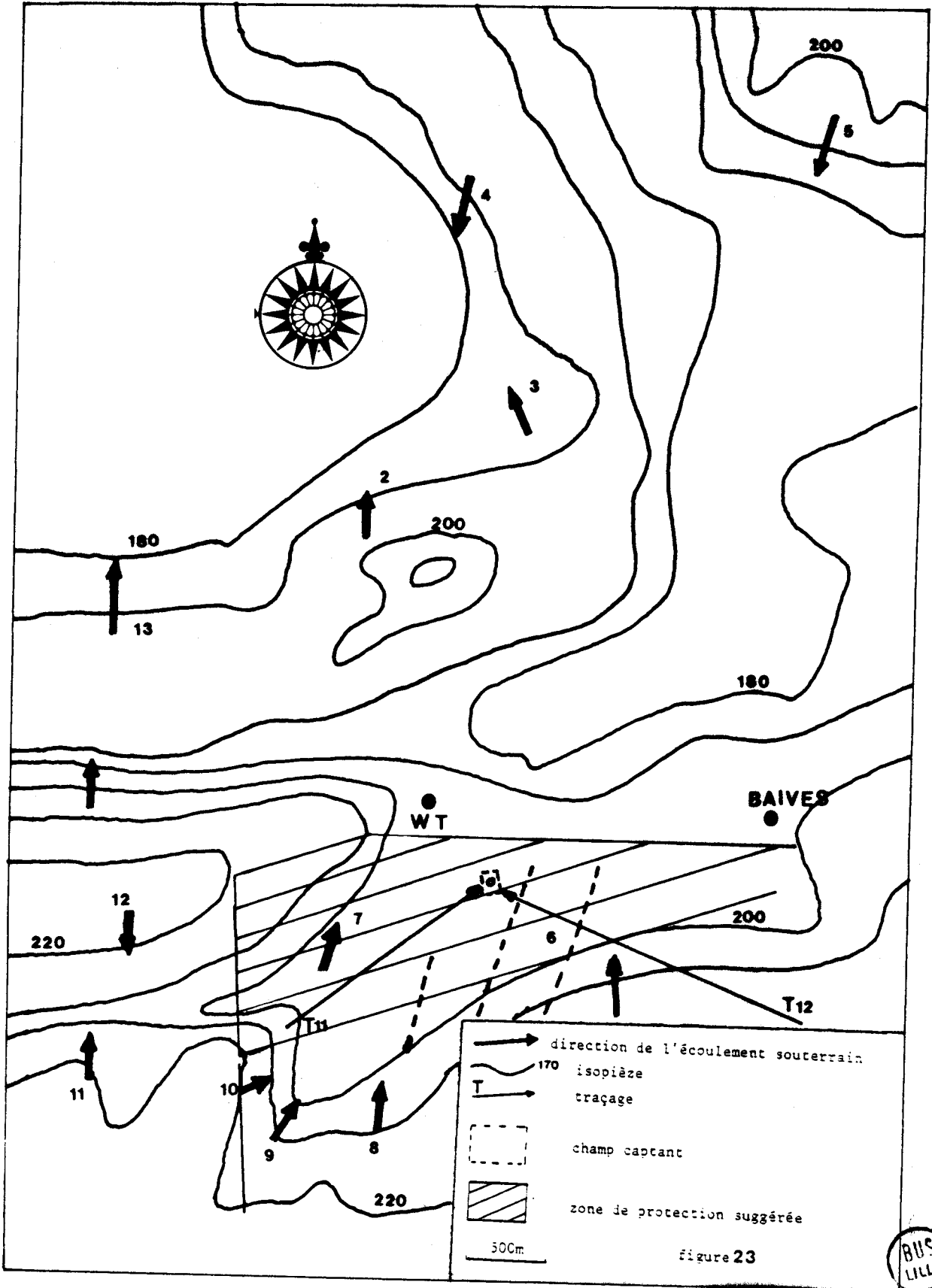
Le temps correspondant à la concentration maximum (9,3ppb) est égal à 110 heures pour les données expérimentales, pour les données simulées, il est égal à 115 heures (106,6ppb). On peut dire que, si le modèle rend compte de façon convenable de l'évolution des concentrations, il restitue des concentrations plus fortes que les concentrations expérimentales (ici, 10 fois supérieur) ; mais il convient de signaler que le modèle ne prend pas en compte les phénomènes de non restitution (stockage par absorption, dégradation) qui se manifestent fréquemment lors des expérimentations.

#### 11-3 Zones d'alimentation du captage de Wallers-Trélon

Les données de fracturation et piézométrique ont permis, à l'aide du programme CPVGRHMA, d'obtenir les résultats suivants (fig. 33).

SECTEUR	GRADIENT HYDRAULIQUE		VITESSE DE DARCY		PERMEABILITE(m/s)
	direction	valeur	direction	valeur	
1	1	0.026	0.1	0.043	1.66
2	320	0.026	-6.2	0.027	1.3
3	292	0.04	-17.9	0.017	0.65
4	240	0.026	12.75	0.015	0.85
5	205	0.026	3.48	0.036	1.50
6	345	0.0177	-2	0.027	1.60
7	45	0.0053	7.45	0.0049	1.18
8	350	0.022	-1.3	0.035	1.63
9	30	0.04	4.31	0.052	1.44
10	85	0.08	56.2	.018	0.26
11	1	0.026	0.13	0.043	1.66
12	175	0.033	-0.6	0.054	1.65
13	179	0.047	-0.13	0.078	1.66

tableau 32-VITESSE DE DARCY ET PERMEABILITES CALCULEES  
AU NIVEAU DU MONOCLINAL DE TRELON-



Au niveau du secteur 6, le vecteur vitesse de DARCY calculée et le vecteur vitesse effective expérimentale font un angle de  $60^\circ$ . Il y a donc divergence entre la piézométrie et l'écoulement réel souterrain. Il convient donc, en fonction de la direction de cet écoulement souterrain, de modifier le sens du gradient hydraulique (option 3 du programme CPVGRHMA) :

Azimut de l'écoulement souterrain :  $295^\circ$

Azimut du gradient hydraulique associé :  $274^\circ$

Le vecteur vitesse de DARCY recalculé avec le nouveau gradient a un azimut de  $-64,9^\circ$  et un module égal à  $3,9 \cdot 10^{-3}$  m/s. La perméabilité directionnelle est égale à 0,239 m/s.

#### 11-4 Traçages

##### 11-41 Résultats

Les résultats sont représentés par les figures (31 et 32)

TRACAGE	Tc(j)	DISTANCE AU PUIITS(m)	VITESSE EFFECTIVE(m/j)
11	17	1200	73
12	16	2500	156

tableau 33-RESULTATS DES TRACAGES EFFECTUES  
AU NIVEAU DU MONOCLINAL DE TRELON-

##### 11-42 Interprétation

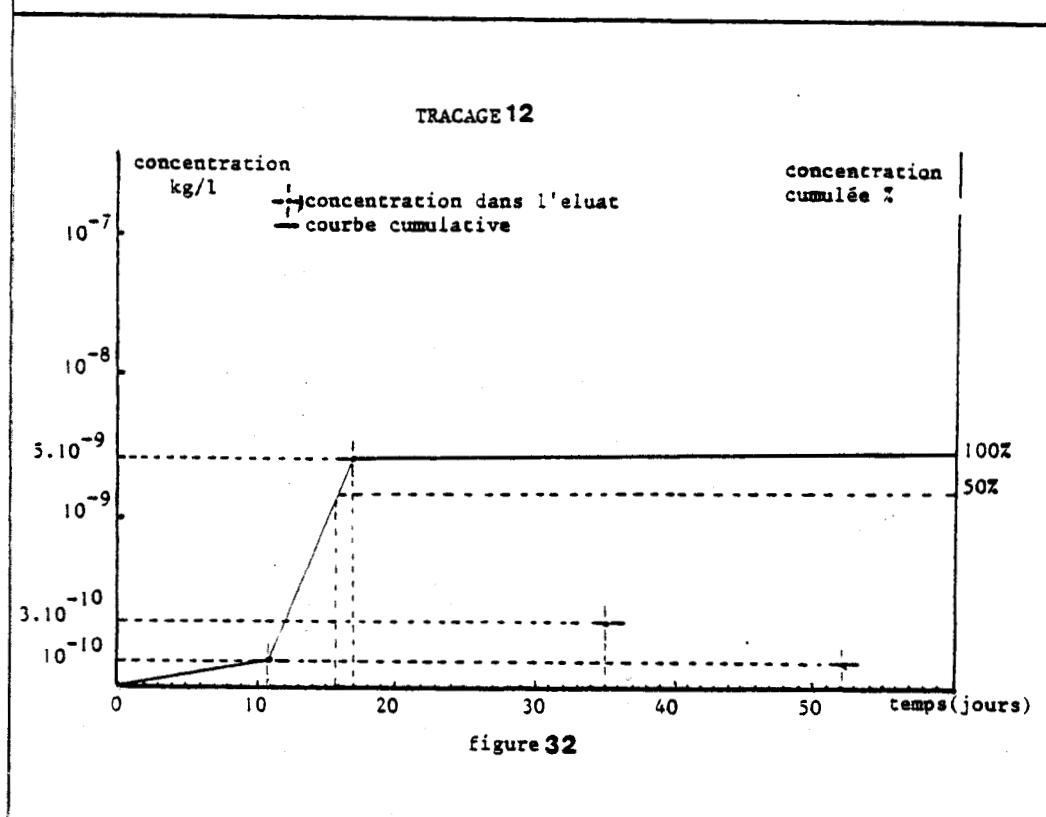
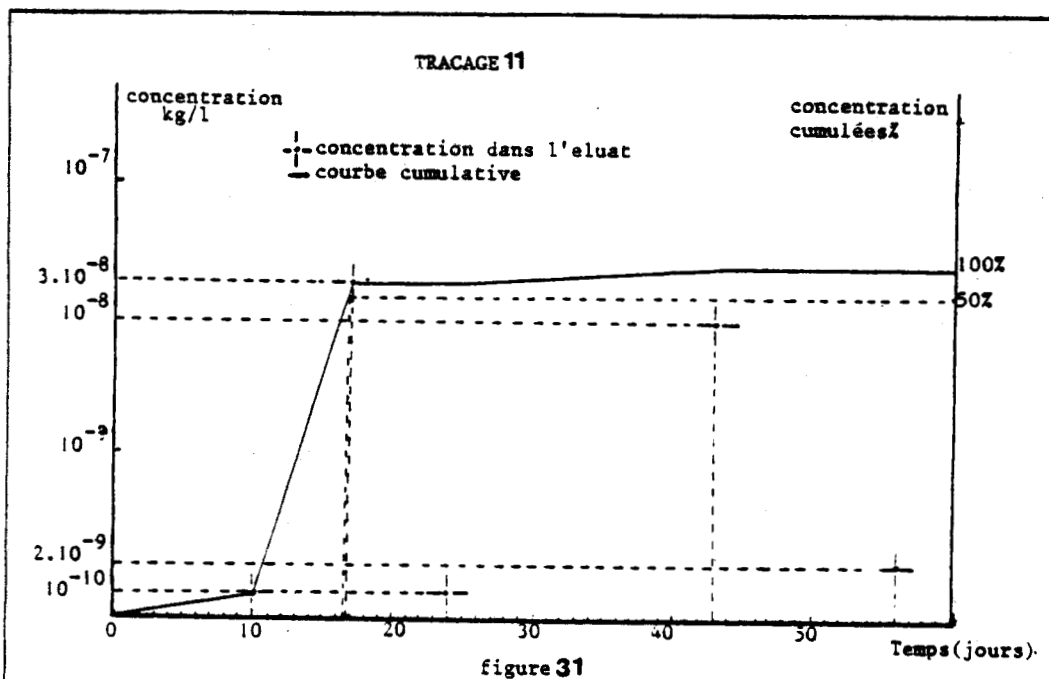
Le traçage 12 donne une vitesse effective de 156 m/J soit environ  $2 \cdot 10^{-3}$  m/s.

La vitesse de DARCY calculée est égale à  $3,9 \cdot 10^{-3}$  m/s ; on obtient donc une porosité cinématique supérieure à 1 donc aberrante.

Deux hypothèses sont envisageables :

##### 11-421 Hypothèse 1

Les relevés des fractures au niveau de carrières, donc en zone perturbée, ne sont pas représentatifs de ce qui prévaut au sein du massif non perturbé. En effet, la décompression des terrains, les ébranlements dus aux tirs à l'explosif, le délavage par des inondations d'eau ou de fluides de forage ont pour effet d'ouvrir les fissures et les perméabilités que l'on calcule en se fondant sur des



figures 31 et 32-RÉSULTATS DES TRACAGES EFFECTUÉS AU NIVEAU DU MONOCLINAL DE TRELON-

RIJS  
LILLE

épaisseurs observées dans de telles conditions sont toujours très supérieures aux perméabilités réelles déduites d'essai in situ intéressant des volumes de roches non perturbées. Auquel cas, il est illusoire de déterminer un module de perméabilité. Par contre l'expérience acquise jusqu'à ce jour a montré la validité des directions des perméabilités principales du tenseur calculé.

#### 11-422 Hypothèse 2

Le régime d'écoulement est hors du domaine de définition de la loi de DARCY. On peut modéliser le traçage par une famille de fissures telles que, pour le gradient hydraulique d'azimut  $274^\circ$  et de valeur  $0,0177$ , la vitesse de DARCY (régime laminaire parallèle) serait égale à  $3,9 \cdot 10^{-3}$  m/s ; cette famille de fissures étant supposées verticales et de même direction que celle du traçage.

$$\frac{g}{12\nu} fa^3 J \cos \alpha' = 3,9 \cdot 10^{-3} \text{ m/s} \Rightarrow fa^3 = 2,88 \cdot 10^{-7} \text{ avec } f = 2 \text{ et } a = 5,2 \cdot 10^{-3} \text{ m}$$

d'après les données de terrains.

#### 11-4221 Cas 1 : Régime laminaire non parallèle

$$\frac{\frac{g}{12\nu} fa^3 J \cos \alpha'}{\left[1 + 8,8 \left(\frac{\varepsilon}{dh}\right)^{1,5}\right]} < 2 \cdot 10^{-3} \text{ m/s} \quad 1 + 8,8 \left(\frac{\varepsilon}{dh}\right)^{1,5} > 1,95$$

$$\text{donc } \frac{\varepsilon}{dh} > 0,227$$

Le nombre de Reynolds  $Re = \frac{v \cdot 2a}{\nu}$  est inférieur à 2. Le régime laminaire non parallèle est donc possible.

#### 11-4222 Cas 2 : Régime turbulent hydrauliquement lisse

$$\left[ \frac{9}{0,079} \left(\frac{2}{\nu}\right)^{0,25} (fa^2)^{5/4} \right]^{4/7} (J \cos \alpha')^{4/7} < 2 \cdot 10^{-3} \text{ m/s}$$

$$\text{soit } 4 \cdot 10^{-4} \text{ m/s} < 2 \cdot 10^{-3} \text{ m/s.}$$

Le nombre de Reynolds  $Re$  est égal à  $\frac{v \cdot 2a}{\nu} = 0,41$ . Or le régime laminaire passe au régime turbulent pour un nombre de Reynolds supérieur à 180. L'hypothèse du régime turbulent hydrauliquement lisse n'est donc pas valable.

11-4223 Cas 3 : régime turbulent rugueux parallèle

$$4\sqrt{gfa^2} \left( \log \frac{3,7}{\epsilon/dh} \right) \sqrt{J \cos \alpha'} \approx 2 \cdot 10^{-3} \text{ m/s} \quad \frac{\epsilon}{dh} > \frac{3,7}{\left( \frac{0,5 \cdot 10^{-3}}{e(\sqrt{gfa^2 J \cos \alpha'})} \right)}$$

soit  $\frac{\epsilon}{dh} > 0,68$

Or l'écoulement parallèle passe à l'écoulement non parallèle pour un coefficient de rugosité supérieur à 0,033. L'hypothèse du régime turbulent rugueux non parallèle ne semble donc pas valable.

11-4224 Cas 4 : régime turbulent rugueux non parallèle

$$4\sqrt{gfa^2} \left( \log \frac{1,9}{\epsilon/dh} \right) \sqrt{J \cos \alpha'} < 2 \cdot 10^{-3} \text{ m/s} \implies \frac{\epsilon}{dh} > \frac{1,9}{\left( \frac{0,5 \cdot 10^{-3}}{e(\sqrt{gfa^2 J \cos \alpha'})} \right)}$$

soit  $\frac{\epsilon}{dh} > 0,35$

$$Re = \frac{V \cdot 2a}{\nu} < \frac{2 \cdot 10^{-3} \cdot 2a}{\nu} = 2$$

Comme le nombre de Reynolds est inférieur à 2 donc à 180, l'hypothèse du régime turbulent rugueux non parallèle ne semble pas valable.

11-4225 Conclusion

Si l'on considère les mesures de fracturation représentatives du massif rocheux, le seul régime d'écoulement compatible avec les mesures et avec les résultats du traçage paraît en définitive être le régime laminaire non parallèle avec un coefficient de rugosité relative supérieur à 0,227.





CONCLUSIONS



L'étude de la fracturation a permis de constater que la dimension des blocs fracturés était très petite par rapport à celle des secteurs étudiés ; il a donc été possible d'assimiler le milieu fissuré à un milieu poreux anisotrope équivalent pour étudier le comportement hydraulique des aquifères de l'Avesnois. L'utilisation du tenseur de perméabilité a mis en évidence l'équivalence entre un milieu fissuré quelconque et un milieu fissuré à géométrie simple constitué de trois familles de fissures, orientées selon les directions principales d'anisotropie si les valeurs propres du tenseur vérifiaient le système suivant :

$$\begin{cases} d_1 + d_2 - d_3 \geq 0 \\ d_2 + d_3 - d_1 \geq 0 \\ d_1 + d_3 - d_2 \geq 0 \end{cases}$$

A l'échelle de la fissure, l'utilisation des différences finies pour résoudre l'équation différentielle de Saint-Venant a permis, d'une part, de déterminer le type de régime d'écoulement compatible avec les données géométriques et hydrauliques initiales et, d'autre part, de prévoir l'évolution spatio-temporelle de la piézométrie et les changements de régimes d'écoulement.

- Synclitorium de Bachant-Ferrière-La-Petite : le calcul du tenseur, en chaque point de mesure, a montré la quasi-constance des directions des perméabilités principales (Nord-Sud, Est-Ouest), mais leurs valeurs relatives diffèrent d'un point à un autre, ceci étant dû à des variations de la fréquence des fissures dans une même direction. L'étude corrélative entre fracturation et traits morphologiques a donné les résultats suivants :

$$\begin{aligned} \text{fractures (X) - vallées sèches (Y)} & : R = 71 \% \quad \begin{cases} Y = 0,02 X + 14,63 \\ X = 28,8 \quad Y = 324 \end{cases} \\ \text{fractures (X) - cours d'eau (Y)} & : R = 76 \% \quad \begin{cases} Y = 0,03 X + 11,57 \\ X = 17,1 \quad Y = 114,3 \end{cases} \end{aligned}$$

A partir de ces résultats, il a été possible de déterminer les directions des perméabilités principales en des points dépourvus d'affleurement. A partir du gradient hydraulique et des perméabilités principales, les directions d'écoulement souterrain, non colinéaires au gradient, ont été déterminées ; il a donc été possible de connaître les zones d'alimentation des champs captants du synclitorium. Les traçages ont permis de tester la validité de ces zones et de mettre en évidence des écoulements

autres que celui du régime laminaire parallèle ; les courbes plurimodales de certains traçages ont pu être interprétées comme le résultat de l'acheminement du traceur par des familles de fissures différentes (traçage 1) ; de plus, ils montrent que la dispersivité n'est pas homogène :  $\alpha = 1,27$  m pour une distance de 510 m (traçage 2) ;  $\alpha = 29$  m pour une distance de 116 m (traçage 4). Les vitesses effectives calculées vont de 10 à 30 m/j. L'étude d'une série viséenne a montré que, quoique l'ouverture des fissures ne semblait pas augmenter vers les niveaux supérieurs, la fréquence était plus importante en montant dans la série ; ce qui permet de suggérer une zone aquifère intéressante située dans les cinquante premiers mètres de la série :

$$( K = 3 \text{ à } 4 \cdot 10^{-3} \text{ m/s ( 0 à 50 m) )}$$

$$( K = 1,7 \text{ à } 1,8 \cdot 10^{-3} \text{ m/s ( 50 m) )}$$

Un bilan hydrogéologique portant sur cinq années (1977 à 1981) a donné un déficit de  $7\,186\,014 \text{ m}^3$  soit, environ, 45 l/s ; il semble que les nombreuses pertes des cours d'eau qui traversent le synclinorium soient en mesure de compenser ce déficit.

- Synclinal de Sars-Poteries : l'étude des traits morphologiques, conditionnée par l'absence d'affleurement en ce secteur, a montré que les familles de fractures prépondérantes étaient les mêmes que celles du synclinorium de Bachant (Nord-Sud, Est-Ouest). Les traçages effectués au niveau de ce synclinal ont permis de vérifier les zones d'alimentation du champ captant et de connaître l'importance du cône d'influence. Ils donnent des vitesses effectives de l'ordre de 30 à 40 m/j.

- Monoclinal de Trélon : l'apport des résultats issus de l'étude de la fracturation aux résultats des pompages d'essai effectués sur le site expérimental de Moranrieux a permis de suggérer le modèle d'un aquifère à perméabilités directionnelles et épaisseur constantes, caractérisé par deux familles de fissures, l'une Est-Ouest, ouverte et lisse, l'autre Nord-Sud ayant un degré d'ouverture de 17,16 % et dont les aspérités et sinuosités sont égales au quart de l'ouverture des fractures ; de plus, les résultats s'expliquent par changement et superposition de régimes d'écoulement :

( hautes eaux : régime turbulent

( étiage : régime laminaire

Les traçages 8 et 9 effectués sur ce site ont permis d'élaborer un modèle mathématique qui rend compte de façon convenable des temps de transfert du traceur en écoulement monodimensionnel non uniforme.

Les traçages 11 et 12 ont permis de mettre en évidence des vitesses effectives (73 m/j et 156 m/j) plus importantes que celles calculées au niveau du synclitorium de Bachant-Ferrière-La-Petite et du synclinal de Sars-Poteries.





BIBLIOGRAPHIE





- ARLERY R., GRISOLLET H. et GUILNET B. (1962).- Climatologie, méthodes et pratiques. Monographies de météorologie. Gauthiers-Villars et Cie (Ed.).
- BADIN L. et MAYA C. (1971).- Etude des circulations souterraines par fluorimétrie. Rapport S. R. A. E. Franche-Comté.
- BEAR J. (1972).- Dynamics of fluids in porous media. American Elsevier (Ed.), p. 764.
- BERTRAND L., DURAND E. et FEUGA B. (1982).- Détermination en sondages de la perméabilité d'un milieu rocheux fracturé. Aspects théoriques et pratiques. Revue française de géotechnique. *B. R. G. M.*, 20, p. 39-54.
- BREDEHOEFT I.D. et KONIKOW L.F. (1978).- Computer model of two-dimensional solute transport and dispersion in ground-water. Book 7. U. S. Department of the interior, geological Survey.
- CAGNAC G., COMMEAU J. et RAMIS E. (1961).- Nouveau cours de mathématiques spéciales. Masson et Cie (Ed.), 1, p. 459.
- CARLIER E. (1981).- Etude de la circulation des eaux souterraines dans deux secteurs de l'Avesnois (Nord) par traçage à l'uranine. D. E. A., Univ. Lille, p. 50.
- CARPENTIER A. (1913).- Contribution à l'étude du Carbonifère du Nord de la France. *S. G. N.*, VII, 2, p. 102-104.
- CASTANY G. et MARGAT J. (1977).- Dictionnaire français d'hydrologie. *B. R. G. M.*, p. 250, Orléans.
- CHARRIERE R. (1974).- Perfectionnements à la mesure de traceurs fluorescents, applications à l'hydrogéologie. Thèse 3e cycle, Univ. Strasbourg.
- COLBEAUX J.P. et MANIA J. (1976).- Relations entre la fracturation et l'écoulement des eaux superficielles et souterraines en pays crayeux au cran d'escalles, application à l'Artois. 2e Colloq. d'Hydrogéologie en Pays Calcaire. *Ann. Sci. Univ. Besançon*, p. 179-194.
- COLBEAUX J.P. et SOMME J. (1981).- Fracturation du substrat crayeux et géomorphologie dans le Nord de la France. Exemple de la feuille de Desvres à 1/50 000.
- CONYL R. (1973).- Intérêt de certaines coupes de l'Avesnois dans la séquence classique du Dinantien. *S. G. N.*, XCIII, p. 169-175.

- CRAMPON N. et CARLIER E. (1981).- Circulation et vulnérabilité des eaux souterraines de l'Avesnois (1re phase). Rapport du laboratoire de géologie appliquée, Lille I.
- CRASQUIN S. (1982).- Répartition des Ostracodes dans le Viséen du Boulonnais et de l'Avesnois. D. E. A., Univ. Lille, p. 50.
- CROCHET P.- Etude statistique de la distribution de la fracturation en profondeur à partir de relevés sur carottes de sondages. Laboratoire d'hydrogéologie, Univ. Montpellier, p. 253-265.
- DASSONVILLE G. et PLAT R. (1968).- Données géologiques et hydrogéologiques sur le synclinorium carbonifère de Bachant-Ferrière-La-Petite. *Rapport B. R. G. M.*, 68 SGL 059 NPA.
- DELATRE C., POLVECHE J. et WATERLOT B. et G. (1967).- Aperçu de la structure des terrains carbonifères de l'Avesnois. *S. G. N.*, LXXXVII, p. 203-209.
- DELPORTE B. (1979).- Traitement de l'information hydrogéologique, socio-économique et économique ; application au bassin de la Sambre (Nord de la France). Thèse 3e cycle, Univ. Lille, p. 202.
- DE MARSILY G. (1980).- Cours d'hydrogéologie. Centre de géologie informatique, Fontainebleau, LHM/RD/37, p. 273.
- DE RIDDER N.A. et KRUSEMAN G.P. (1974).- Analysis and evaluation of pumping test data. International institute for land and improvement, Wageningen Nederlands, Bull. 11.
- DERVILLE H. (1952).- Les faciès du calcaire de Bachant. *S. G. N.*, LXXII, p. 14-29.
- DIEULIN A. (1980).- Propagation de pollution dans un aquifère alluvial. L'effet de parcours. Thèse Docteur Ingénieur, E. N. S. M. P.
- DREYFUS M. (1975).- Fortran IV. Dunod informatique, Bordas, p. 228.
- DRIEUX B. et LIJU A.L. (1973).- Le langage BASIC. Presses universitaires de France, p. 172.
- DROZ B. (1982).- Circulation des eaux souterraines dans le synclinorium de Bachant-Ferrière-La-Petite. D. E. A., Univ. Lille, p. 31.
- FRIED J. (1975).- Ground water pollution. Elsevier scientific publishing company, p. 330.

- GAILLAD B. (1976).- Méthode des traceurs pour la détermination des paramètres de transfert de substances en solution dans l'eau des aquifères. Contribution à la délimitation des périmètres de protection des captages d'eau d'alimentation publique. Thèse, Univ. Grenoble, p. 113.
- GOSSELET J. (1880).- Description géologique du canton de Maubeuge. *S. G. N.*, VI, p. 129.
- GOSSELET J. (1880).- Description géologique du canton de Berlaimont. *S. G. N.*, VII, p. 270-302.
- KIAM HU (1973).- Résultats d'essais par pompage réalisés sur quelques forages des karsts de la région montpelliéraine. Thèse Docteur de spécialité, Univ. Montpellier.
- KIRALY L. (1970).- L'influence de l'hétérogénéité et de l'anisotropie de la perméabilité sur les systèmes d'écoulement. Institut de géologie, Neuchatel. *Bull. ver. Schweiz. petrol. geol. U. Ing.*, 37, NR91, oktober, p. 50-57.
- LALLEMAND A. et PALOC H. (1964).- Possibilités offertes par la méthode de détection au charbon actif pour les expériences de coloration à la fluoresceine. *Speleunca mem.*, 4, p. 27-40.
- LEVASSOR A. (1978).- Simulation et gestion des systèmes aquifères ; application aux nappes du complexe terminal du Bas-Sahara algérien. Thèse 3e cycle, Univ. Paris VI, p. 173.
- LEZAS P. et SCHWARTZ D.- Eléments de statistique. Editions médicales Flammarion.
- LIMACHER D. et PROUVOST J. (1965).- A propos d'un échantillon de pyrite trouvé dans un forage au lieu dit "les fouées", commune de Ferrière-La-Petite. *S. G. N.*, LXXXV, p. 97-98.
- LOUIS C.L. (1972).- Les caractéristiques hydrauliques du massif de fondation du barrage de Grand-Maison (Isère). *Bull. B. R. G. M.*, 2e série, section III, 4, p. 37.
- MANGIN A. (1975).- Contribution à l'étude hydrodynamique des aquifères karstiques. Thèse Doctorat Etat. Institut Sciences de la Terre, Univ. Dijon.
- MANIA J. (1978).- Gestion des systèmes aquifères. Application au Nord de la France. Thèse Doctorat Etat. *S. G. N.*, Mémoire n° 15.

- PANAHI M. (1979).- Essai de détermination des paramètres hydrodispersifs de la nappe captive de la craie sur le site expérimental de l'I. U. T. de Béthune. D. E. A., Univ. Lille, p. 50.
- PAPADOPOULOS I.S. (1965).- Non steady flow to a well in an infinite anisotropic aquifer. Symposium in hydrology of fractured rocks. Duhovnik. *Int. Assoc. Sci. Hydrology*, I, p. 21-31.
- PITARD J. (1976).- Contribution à l'interprétation des essais par pompages dans les roches fissurés. Thèse Docteur de spécialité, Univ. Montpellier.
- PLOTNIKOV N.A. (1962).- Ressources en eaux souterraines. Classification et méthodes d'évolution. Gauthier-Villars (Ed.), p. 194.
- POREL G. (1982).- Paramètres hydrodispersifs de la nappe de la craie sur le site expérimental de Béthune (Pas-de-Calais). D. E. A., Univ. Lille, p. 51.
- PREAUX C. (1983).- Influence des conditions de réalisation et des méthodes de dépouillement de traçages en écoulement convergent sur les paramètres hydrodispersifs. Nappe de la craie. Site de Béthune. D. E. A., Univ. Lille, p. 55.
- ROCHE M. (1963).- Hydrologie de surface. *Cah. O. R. S. T. O. R. M.* Gauthier-Villars (Ed.).
- SAUTY J.P. (1977).- Contribution à l'identification des paramètres de dispersion dans les aquifères par interprétation des expériences de traçages. Thèse Docteur Ingénieur, Univ. Grenoble, p. 157.
- SAUTY J.P. (1977).- Analyse de la courbe de restitution d'une injection instantanée de traceur dans une nappe en écoulement uniforme. Colloque national organisé par le service géologique national, thème 2.
- SAUTY J.P. (1978).- Identification des paramètres du transfert hydrodispersif dans les aquifères par interprétation de traçages en écoulement cylindrique convergent et divergent. *Journ. hydrology*, 39, 1/2, p. 69-105.
- SCHENEDELLI G. (1966).- Hydraulique souterraine. Eyrolles (Ed.), p. 362.
- THIERY D. (1980).- Interprétation d'un pompage d'essai en milieu anisotrope. Utilisation de plus de trois piézomètres. Note technique 80/2. S. G. R. Hydrogéologie, Orléans.
- VARLET H. (1965).- Usines de dérivation. Eyrolles (Ed.), I, p. 337.

- VIALON P., RUHLAND M. et GROLIER J. (1976).- *Eléments de tectonique analytique*. Masson (Ed.), p. 118.
- VREULX M. (1983).- *Conditions d'application aux traçages de quelques méthodes de dosages*. D. E. A., Univ. Lille, p. 63.
- WATERLOT B. (1970).- *Données nouvelles sur le Carbonifère des environs de Pont-Sur-Sambre*. *S. G. N.*, XC, p. 39-40.
- WATERLOT B. et MARLIERE R. (1971).- *Carte géologique 1/50 000 de Le Quesnoy*.
- WATERLOT G. (1957).- *Carte tectonique du synclinal carbonifère de Bachant-Ferrière-La-Petite (Nord)*. *Rapport B. R. G. M.*, A 1 136, p. 2.
- WATERLOT G. (1970).- *Carte géologique 1/50 000 de Trélon*.
- WATERLOT G., BEUGNIES A. et GODFRIAUX Y. (1967).- *Carte géologique 1/50 000 de Maubeuge*.
- WATERLOT G. et WATERLOT B. (1969).- *Carte géologique 1/50 000 d'Avesnes*.



ANNEXES

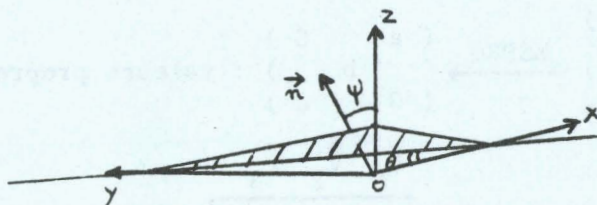
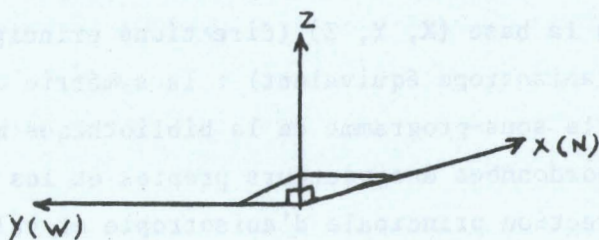






ANNEXE 1 : PROGRAMME TENFY

- Calcul des coordonnées cartésiennes de la normale à chaque famille de fissures ; repère direct :



$\vec{n}$  : normale au plan de fissure

$\theta$  : direction

$\psi$  : angle entre la normale et l'axe vertical OZ

Coordonnées de  $\vec{n}$  (x, y, z) :

$$x = \cos\left(\frac{\pi}{2} - \psi\right) \cos\left(\frac{\pi}{2} - \theta\right)$$

$$y = -\cos\left(\frac{\pi}{2} - \psi\right) \sin\left(\frac{\pi}{2} - \theta\right)$$

$$z = -\sin\left(\frac{\pi}{2} - \psi\right)$$

- Calcul du produit  $X_i = \text{fréquence}_i \times (\text{ouverture}_i)^3$

- Création de la matrice des normales :

$$\bar{A}_i = \begin{pmatrix} x_i^2 & x_i y_i & x_i z_i \\ y_i x_i & y_i^2 & y_i z_i \\ z_i x_i & z_i y_i & z_i^2 \end{pmatrix}$$

$$\bar{B}_i = \begin{pmatrix} 100 \\ 010 \\ 001 \end{pmatrix} - \bar{A}_i$$

- Produit des  $X_i$  x  $\overline{B}_i$

- Somme des produits :  $\overline{S} = \sum_{i=1}^n X_i \times \overline{A}_i$

- Calcul des vecteurs propres et des valeurs propres de la matrice  $\overline{S}$  x cste x  $10^{10}$  dans la base {X, Y, Z} (directions principales d'anisotropie du milieu poreux anisotrope équivalent) : la symétrie de la matrice a permis d'utiliser le sous-programme de la bibliothèque mathématique MSPRO qui calcule les coordonnées des vecteurs propres et les valeurs propres de la matrice (direction principale d'anisotropie et valeur de la conductivité hydraulique selon ces directions)

$$\begin{pmatrix} a_1 & & \\ a_2 & a_4 & \\ a_3 & a_5 & a_6 \end{pmatrix} \xrightarrow{\text{MSPRO}} \begin{pmatrix} a & 0 \\ & b \\ 0 & & c \end{pmatrix} : \text{valeurs propres} \quad \begin{cases} a = K_x \\ b = K_y \\ c = K_z \end{cases}$$

$$\begin{matrix} \vec{V}_1 & \vec{V}_2 & \vec{V}_3 \\ \hline \begin{pmatrix} x_1 & x_2 & x_3 \\ y_1 & y_2 & y_3 \\ z_1 & z_2 & z_3 \end{pmatrix} \end{matrix} \begin{matrix} \vec{X} \\ \vec{Y} \\ \vec{Z} \end{matrix} : \text{vecteurs propres}$$

Les conductivités hydrauliques principales sont :  $\frac{a}{10^{10}}$  selon  $\vec{V}_1$   
 $\frac{b}{10^{10}}$  selon  $\vec{V}_2$   
 $\frac{c}{10^{10}}$  selon  $\vec{V}_3$

Les valeurs de  $\overline{S}$  étant très faibles (pouvant aller jusqu'à  $10^{-11}$ ), il a été nécessaire de les multiplier par cste x  $10^{10}$  et ensuite de diviser les valeurs propres par  $10^{10}$ . En effet, le sous-programme MSPRO restituait des valeurs erronées pour des matrices à coefficient très faible.

- Calcul des vecteurs propres et valeurs propres de la matrice dans la base {X, Y} (représentation du tenseur globale dans le plan géographique)

$$\begin{pmatrix} a_1 & \\ a_2 & a_4 \end{pmatrix} \xrightarrow{\text{MSPRO}} \begin{pmatrix} a' & 0 \\ 0 & b' \end{pmatrix} : \text{valeurs propres}$$

$$\begin{matrix} \vec{V}'_1 & \vec{V}'_2 \\ \hline \begin{pmatrix} x'_1 & x'_2 \\ y'_1 & y'_2 \end{pmatrix} \end{matrix} \begin{matrix} \vec{x} \\ \vec{y} \end{matrix} : \text{vecteurs propres}$$



- Calcul de la conductivité hydraulique du milieu poreux isotrope équivalent :

$$K = \sqrt[3]{K_x K_y K_z}$$

- Expression des conductivités hydrauliques principales en fonction de la conductivité hydraulique globale :

$$K_x = \alpha K ; K_y = \beta K ; K_z = \gamma K$$

- Calcul des valeurs propres et vecteurs propres de chaque tenseur élémentaire dans la base  $\{\vec{X}, \vec{Y}\}$  à l'aide du sous-programme MSPRO.

- Représentation de chaque tenseur élémentaire dans la base {direction, pendage} de la fracture associée.

Soit  $\overline{t}_i$  un tenseur élémentaire relatif à la famille de fracture  $i$  ;  $\overline{t}_i$  est exprimé dans la base du repère direct  $\{\vec{X}, \vec{Y}, \vec{Z}\}$ .

L'expression de  $\overline{t}_i$  dans la base {direction, pendage} de la famille  $i$  est :

$$\overline{AC}^{-1} \times \overline{t} \times \overline{AC} = \overline{tt}$$

où  $\overline{AC}$ , matrice de rotation, a pour expression :

$$\overline{AC} = \begin{pmatrix} \cos \theta & \sin \theta \cos \psi & \sin \theta \sin \psi \\ -\sin \theta & \cos \theta \cos \psi & \sin \psi \cos \theta \\ 0 & -\sin \psi & -\cos \psi \end{pmatrix} \begin{matrix} \vec{X} \\ \vec{Y} \\ \vec{Z} \end{matrix}$$

pour les matrices de rotation, on sait que  $\overline{AC}^{-1} = \overline{AC}^t$ , c'est-à-dire que l'inverse d'une matrice de rotation est égale à la transposée de la matrice, donc :

$$\overline{tt} = \overline{AC}^t \times \overline{t} \times \overline{AC}$$

Les sous-programmes utilisés de la bibliothèque sont :

MRTRA : transposée d'une matrice

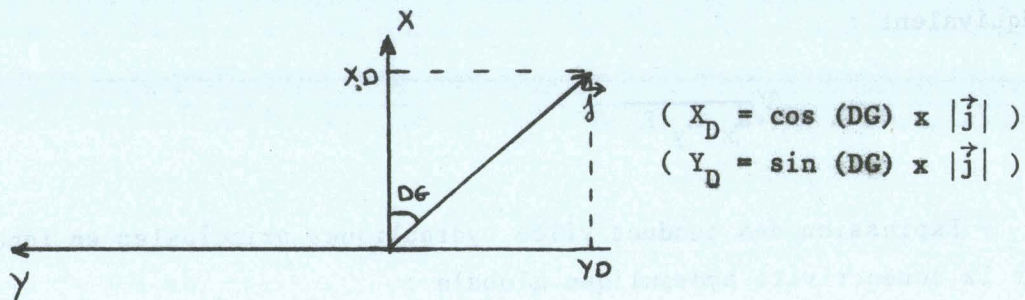
MRMUL : multiplication de deux matrices

MSPRO : calcul des vecteurs propres et valeurs propres d'une matrice symétrique

- Représentation du tenseur global dans chaque plan de fracture (même démarche que dans le cas de la représentation d'un tenseur élémentaire dans la base (direction, pendage).



- Calcul des coordonnées du gradient hydraulique lu sur la carte



- Calcul des vitesses en régime laminaire parallèle pour chaque famille de fissure ; vitesse de DARCY :  
les coordonnées du vecteur vitesse sont :

$$\begin{pmatrix} V_X \\ V_Y \end{pmatrix} = \begin{pmatrix} a & c \\ c & b \end{pmatrix} \begin{pmatrix} X_D \\ Y_D \end{pmatrix}$$

$$\begin{aligned} a &= f_i a_i^3 (1 - x_i^2) \times g/12 v \\ c &= f_i a_i^3 (-x_i y_i) \times g/12 v \\ b &= f_i a_i^3 (1 - y_i^2) \times g/12 v \end{aligned}$$

le module du vecteur vitesse est :  $v = \sqrt{v_x^2 + v_y^2}$

vitesse effective :  $v_{\text{eff}} = v \times a_i^2 / f_i a_i^3$

vitesse maximale :  $v_{\text{max}} = 1.5 \cdot v_{\text{eff}}$

- Calcul des vitesses en régime turbulent hydrauliquement lisse.  
L'expression de la vitesse est :

$$v = \left( \frac{9}{0,079} \left( \frac{2}{v} \right)^{0,25} \times a^{5/4} \right)^{4/7} \cdot i^{4/7}$$

en fonction de la vitesse de DARCY, elle s'écrit :

$$v = (v_{\text{darcy}}^{0,57}) \times 0,524 / (f_i a_i^3)^{0,213}$$

- Calcul des vitesses en régime laminaire non parallèle.  
L'expression de la vitesse est :

$$v = \frac{f_i a_i^3 \times g}{12 \left( 1 + 8,8 \times \left( \frac{\varepsilon}{dh} \right)^{1,5} \right)}$$

En fonction de la vitesse de DARCY, elle s'écrit :

$$V = V_{\text{darcy}} / (1 + 8,8 \times (\frac{\epsilon}{dh})^{1,5})$$

Les vitesses sont calculées pour les valeurs suivantes de rugosité relative  $\frac{\epsilon}{dh}$  :

$$0.001 ; 0.01 ; 0.033 ; 0.1 ; 0.2 ; 0.3 ; 0.4 ; 0.5$$

- Calcul des vitesses en régime turbulent rugueux parallèle.

L'expression de la vitesse est :

$$V = -4 \sqrt{g f_i a_i^2} \left( \log \frac{3,7}{\epsilon/dh} \sqrt{f_i} \right)$$

En fonction de la vitesse de DARCY, elle s'écrit :

$$V = 0.0138 \times \ln (3,7/\epsilon/dh) \times V_{\text{darcy}}^{0,9} / d_i^{0,5}$$

Les vitesses sont calculées pour les mêmes valeurs de rugosité relative que dans le cas du régime laminaire non parallèle.

- Calcul des vitesses en régime turbulent rugueux non parallèle.

L'expression de la vitesse est :

$$V = 4 \sqrt{g (f_i a_i^2)} \left( \log \frac{1,9}{\epsilon/dh} \sqrt{f_i} \right)$$

En fonction de la vitesse de DARCY, elle s'écrit :

$$V = 0.0138 \times \ln (3,7/\epsilon/dh) \times V_{\text{darcy}}^{0,5} / d_i^{0,5}$$

Les vitesses sont calculées pour les mêmes valeurs de rugosité relative que dans le cas du régime laminaire non parallèle.

- Calcul des vitesses relatives au milieu poreux anisotrope équivalent.

Les coordonnées de la vitesse sont :

$$\begin{pmatrix} V_x \\ V_y \end{pmatrix} = \begin{pmatrix} a & c \\ c & b \end{pmatrix} \begin{pmatrix} X_D \\ Y_D \end{pmatrix}$$

$$a = \sum_{i=1}^n f_i a_i^3 (1 - x_i^2) \times \frac{g}{12 v}$$

$$c = \sum_{i=1}^n f_i a_i^3 (-x_i y_i) \times \frac{g}{12 v}$$

$$b = \sum_{i=1}^n f_i a_i^3 (1 - y_i^2) \times \frac{g}{12 v}$$



Le module du vecteur vitesse est :

$$V = \sqrt{X_D^2 + Y_D^2}$$

- Expression des milieux équivalents

. Milieu équivalent fissuré.

Ce milieu est caractérisé par trois familles de fissures, orthogonales entre elles, dont les normales sont les directions principales d'anisotropie ( $K_x, K_y, K_z$ )

$$f_1 a_1^3 = (K_z + K_y - K_x)/2$$

$$f_2 a_2^3 = (K_x + K_z - K_y)/2$$

$$f_3 a_3^3 = (K_x + K_y - K_z)/2$$

Si l'une des valeurs  $f_i a_i^3$  est négative, il n'existe pas de milieu fissuré équivalent. Il a été montré au chapitre III que pour  $K_\epsilon \in ]+1, +\infty[$ , on a :

$$\alpha = K \sqrt{\frac{f_i a_i^3 + f_j a_j^3}{(f_i a_i^3 + f_j a_j^3)^2}}$$

avec :  $i = 1 \quad j = 2,3$

$i = 2 \quad j = 1,3$

$i = 3 \quad j = 1,2$

Calcul des fréquences :

$$f_i = \frac{1}{\alpha^3 (f_i a_i^3)^2}$$

$$f_j = \frac{1}{\alpha^3 (f_j a_j^3)^2}$$

Calcul des ouvertures de fissure :

$$a_i = \alpha f_i d_i^3$$

$$a_j = \alpha f_j d_j^3$$

. Milieu équivalent à faisceaux cylindriques.

Ce milieu est caractérisé par trois familles de conduits cylindriques, orthogonales entre elles, dont les directions sont les directions principales d'anisotropie (voir chapitre III).

$$f_1 d_1^4 = K_x \times 3,39$$

$$f_2 d_2^3 = K_y \times 3,39$$

$$f_3 d_3^4 = K_z \times 3,39$$

f : fréquence des conduits ( $L^{-2}$ )

d : diamètre des conduits

Pour  $K \in ]+1, +\infty[$ , on a :

$$\alpha = K \sqrt{\frac{\pi}{4 f_i d_i^4}}$$

$$f_i = \frac{1}{\alpha^4 f_i d_i^4}$$

$$d_i = \alpha f_i d_i^4$$







ANNEXE 2 : ECOULEMENT A SURFACE LIBRE

ASPECT THEORIQUE

Considérons une fissure, à écartement variable, dans laquelle s'effectue un écoulement à surface libre.

Le volume d'eau de la tranche est  $S \times dx$  au temps  $t$ . Au temps  $t + dt$ , la section 1 a pour abscisse  $x + \frac{dx}{dt} dt = x + Vdt$ , de même l'abscisse de la section 2 est  $(x + dx) + (V + \frac{\partial V}{\partial x} \cdot dx) dt$ .

L'aire mouillée de la première section est à  $t + dt$  :  $S + \frac{dS}{dt} dt$   
Comme  $dS = \frac{\partial S}{\partial t} dt + \frac{\partial S}{\partial x} dx$ , on en déduit que :

$$S + \frac{dS}{dt} dt = S + \left( \frac{\partial S}{\partial x} V + \frac{\partial S}{\partial t} \right) dt$$

Le volume d'eau de la tranche au temps  $t + dt$  est donc :

$$\left[ S + \left( \frac{\partial S}{\partial x} V + \frac{\partial S}{\partial t} \right) dt \right] \left[ \left( 1 + \frac{\partial V}{\partial x} dt \right) dx \right] \quad (1)$$

Si l'on admet que l'eau est incompressible, il vient :  $(1) = S dx$

$$\Rightarrow S \frac{\partial V}{\partial x} dt + \frac{\partial S}{\partial x} V dt + \frac{\partial S}{\partial x} V \frac{\partial V}{\partial x} (dt)^2 + \frac{\partial S}{\partial t} dt + \frac{\partial S}{\partial t} \frac{\partial V}{\partial x} (dt)^2 = 0$$

et si l'on néglige les termes de deuxième ordre par rapport au terme de premier ordre, on obtient :

$$S \frac{\partial V}{\partial x} + \frac{\partial S}{\partial x} V + \frac{\partial S}{\partial t} = 0 \iff \frac{\partial S}{\partial t} + \frac{\partial}{\partial x} (V \times S) = 0$$

Cette équation exprime la conservation du volume de la tranche d'eau ; c'est l'équation de continuité.

La masse d'eau de la tranche est  $m = \rho S dx$ . Si cette masse est soumise à une accélération  $\frac{dV}{dt}$ , on peut écrire :

$$m \frac{dV}{dt} = F + F' + F''$$

$F + F' + F''$  est la somme des projections horizontales des forces appliquées à la masse  $m$ . Ces forces sont :



$\vec{F}$  : poids de la masse d'eau.  $F = 0$  ( $F = |\vec{F}| \times \cos 90^\circ$ ).

$\vec{F}'$  : composante normale des réactions extérieures sur les faces de la tranche.

$\vec{F}''$  : composante tangentielle des réactions extérieures sur les faces de la tranche.

La composante normale fait équilibre à la pression qu'exerce l'eau de la tranche sur la face considérée tandis que la composante tangentielle correspond au frottement extérieur sur la tranche liquide.

### 1. Détermination de la projection horizontale de la résultante des réactions normales

Si  $P$  est la pression qui s'exerce sur l'aire  $S$ , la force  $P \times S$  admet pour projection sur l'axe  $x$ ,  $F = P S_x$  où  $S_x$  est la projection de  $S$  sur le plan  $YOZ$ .

Si l'on considère deux plans horizontaux infiniment voisins, séparés par  $dh'$ , on peut dire qu'ils déterminent deux bandes de surface :

$S_1$  au temps  $t$  dans la section 1.

$S_2$  au temps  $t$  dans la section 2.

$S_2 - S_1 = S' + S''$  où  $S'$  et  $S''$  représentent les projections, sur le plan  $YOZ$ , des surfaces mouillées latérales de la fissure.

Les pressions s'exerçant sur  $S_1$  et  $S_2$  sont :

$$P_1 = \rho'gh \text{ (potentiel } Z, \text{ abscisse } x)$$

$$P_2 = \rho g (h + dz) \text{ (potentiel } Z + dz, \text{ abscisse } x + dx)$$

$$P_2 = P_1 + \rho g dz$$

donc :  $dP = - \rho g dz$ .

On en déduit  $F' = - \rho g dz \int_s^{dS} = - \rho g dz S$ .

### 2. Détermination de la projection horizontale de la résultante des réactions tangentielles

La face  $F''$  effectue le travail résistant suivant :  $F'' \times V dt$ . Pour vaincre les frottements, l'eau a dû fournir un travail. Cette perte d'énergie a pour expression :



$$(\rho g V dt x S) x i x dx$$

où  $i$  est la perte de charge unitaire qui n'est autre que la perte de puissance par unité de poids de débit et par unité de longueur.

$V x S$  est le débit,  $\rho g V S dt$  est le poids d'eau débité pendant  $dt$ , donc :  $|F''| = \rho g S i dx$ .  $\vec{F}''$  étant dirigé en sens contraire de  $\vec{V}$ ,  $F'' = \rho g S i dx$ .  $F'$  et  $F''$  étant déterminés, on peut donc écrire l'équation dynamique :

$$m\gamma = \rho g dz S - \rho g S i dx$$

$$\text{soit : } \rho S dx \frac{dV}{dt} = - \rho g dz S - \rho g S i dx$$

$$\frac{dx}{g} \frac{dV}{dt} = - dz - i dx \quad - \frac{dz}{dx} = i + \frac{1}{g} \frac{dV}{dt}$$

Cette expression est l'équation de la pente hydraulique  $i'$  :

$$\frac{dV}{dt} = \frac{\partial V}{\partial x} \frac{dx}{dt} + \frac{\partial V}{\partial t} = V \frac{\partial V}{\partial x} + \frac{\partial V}{\partial t}$$

$$\text{donc : } i' = i + \frac{\partial}{\partial x} \left( \frac{V^2}{2g} \right) + \frac{1}{g} \frac{\partial V}{\partial t}$$

Le système d'équation différentielle qui régit l'écoulement à surface libre dans une fissure est :

$$\frac{\partial S}{\partial t} + \frac{\partial}{\partial x} (V S) = 0 \quad (\text{équation de continuité})$$

$$i' = i + \frac{\partial}{\partial x} \left( \frac{V^2}{2g} \right) + \frac{1}{g} \frac{\partial V}{\partial t} \quad (\text{équation dynamique})$$

Ces deux équations ont été établies pour la première fois par de Saint-Venant, cité par H. Varlet (1965). Le terme  $i$  est l'abaissement de pente (perte d'énergie) nécessaire pour vaincre les frottements. Le terme  $\frac{\partial}{\partial x} \left( \frac{V^2}{2g} \right)$  est la modification de pente due à la variation d'énergie cinétique engendrée par le passage de la vitesse  $V$  à la vitesse  $V + \frac{\partial V}{\partial x} dx$  en passant de la section d'abscisse  $x$  à la section d'abscisse  $x + dx$ . Le terme  $\frac{1}{g} \frac{\partial V}{\partial t}$  est la modification de pente accompagnant la variation de débit qui fait passer la vitesse  $V$  à la valeur  $V + \frac{\partial V}{\partial t} dt$  dans la même section d'abscisse  $x$ . Si le régime est permanent, alors  $\frac{\partial V}{\partial t} = 0$ .





### ANNEXE 3 : PROGRAMME D'OBTENTION D'ABAQUES ET DE TRAITEMENT DES DONNEES EXPERIMENTALES

#### FONCTION ET DOMAINE DE DEFINITION

A partir des solutions explicites des équations différentielles, des programmes d'obtention d'abaques ont été réalisés pour les différents types d'écoulement :

- DISECCOT : écoulement convergent
- DISECDIV : écoulement divergent et monodimensionnel uniforme
- DISECBID : écoulement bidimensionnel

Les abaques obtenus sont utilisables pour les nombres de Peclet suivants (selon J.P. Sauty, 1977 et 1978, pour l'usage des solutions explicites approchées en écoulement radial) :

INJECTION INSTANTANEE	INJECTION CONTINUE	PROGRAMME
P > 3	P > 3	DSECCOT
P > 1	P > 1	DISECDIV(divergent)
VP	VP	DISECDIV(monodimensionnel)
VP	VP	DISECBID

tableau 34-DOMAINE DE DEFINITION DES ABAQUES UTILISES  
POUR L'INTERPRETATION DES TRACAGES-

P : nombre adimensionnel qui caractérise l'importance du transport par convection par rapport à la dispersion.

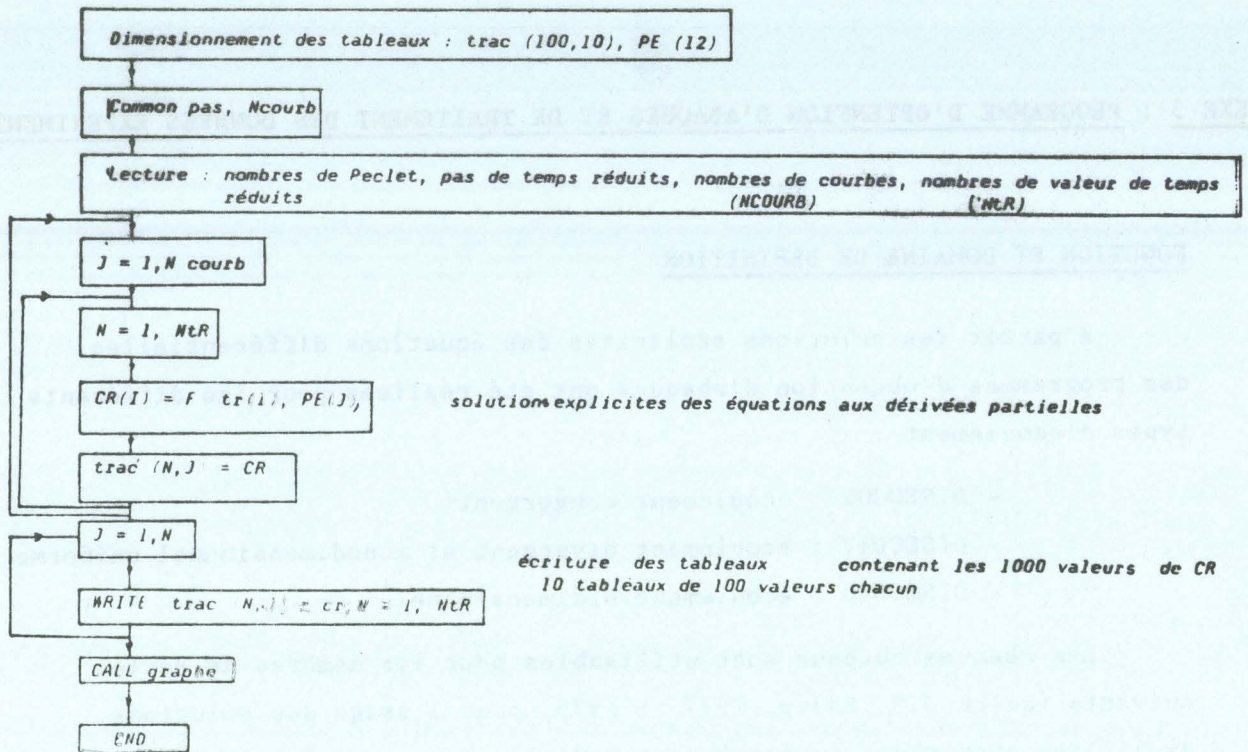
$$P = \frac{X}{\alpha}$$

La comparaison de la courbe expérimentale transcrite en coordonnée réduite  $CR = f(TR)$  permet l'obtention du nombre de Peclet dont on déduit la dispersivité.

#### ORDINOGRAMME

- Programme de calcul



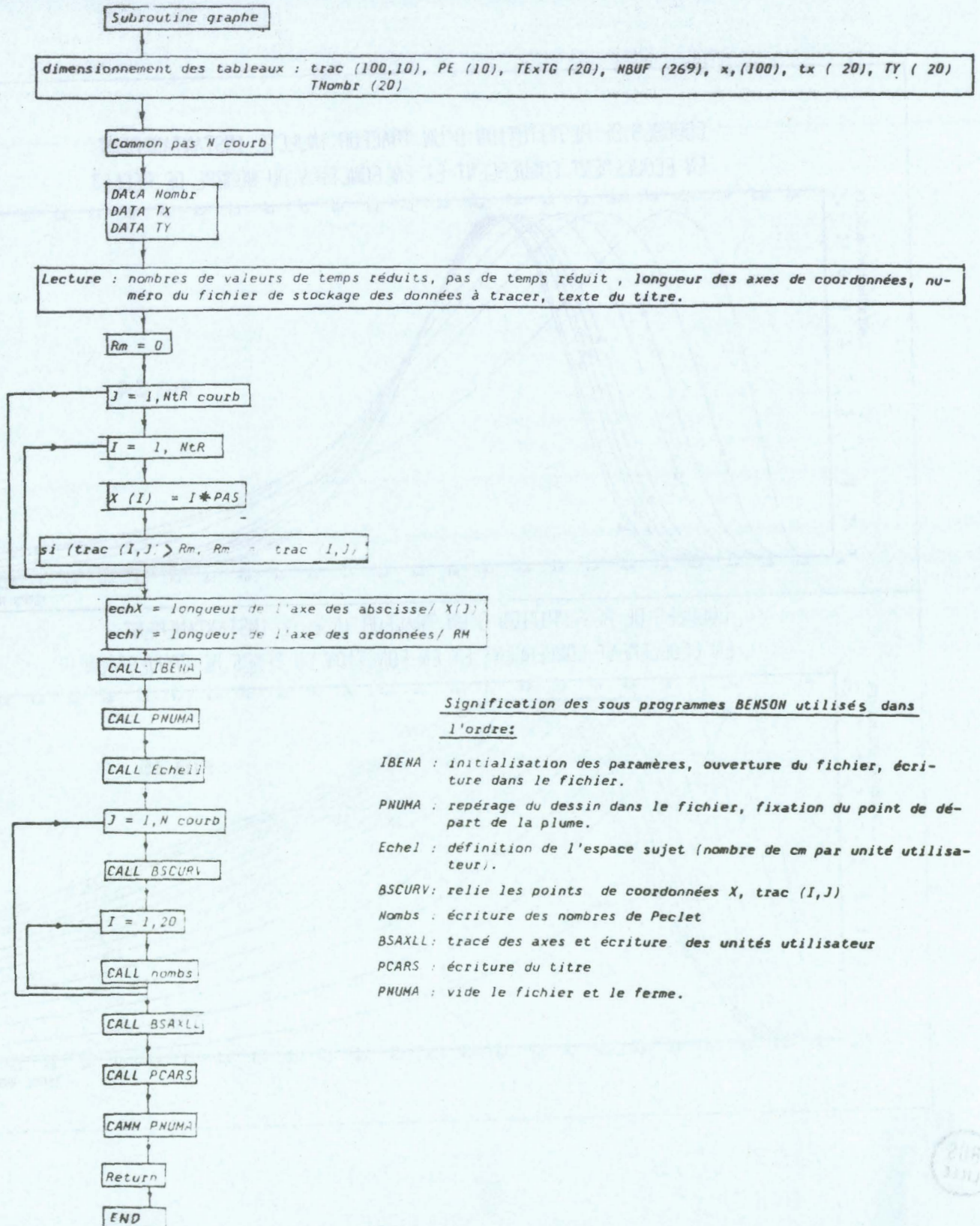


### - Programme graphique

Un exemple de sortie de résultat est représenté par la figure (34).

Un programme de traitement des données expérimental (D. E. C. O. R. S.) a été établi. Sa fonction principale est la restitution, pour une courbe expérimentale  $C(t)$ , de  $N$  courbes en coordonnées réduites  $CR(TR)$ , chacune étant relative à un temps de transfert par convection  $t_c$  choisi dans un voisinage du temps correspondant à 50 % des concentrations cumulées. La comparaison de ces courbes avec celles de l'abaque permet de déterminer le  $t_c$  le plus proche de la réalité. Un exemple de sortie de résultat est représenté par la figure (35).







COURBES DE RESTITUTION D'UN TRACEUR INJECTE INSTANTANEMENT  
EN ECOULEMENT CONVERGENT ET EN FONCTION DU NOMBRE DE PECLET

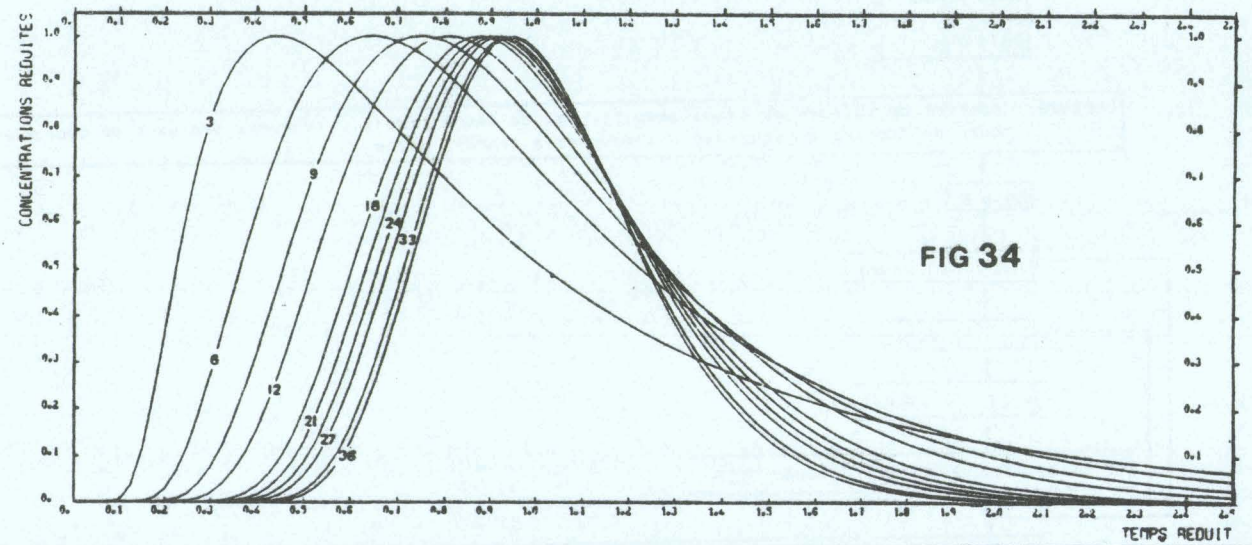


FIG 34

COURBES DE RESTITUTION D'UN TRACEUR INJECTE INSTANTANEMENT  
EN ECOULEMENT CONVERGENT ET EN FONCTION DU TEMPS DE CONVECTION

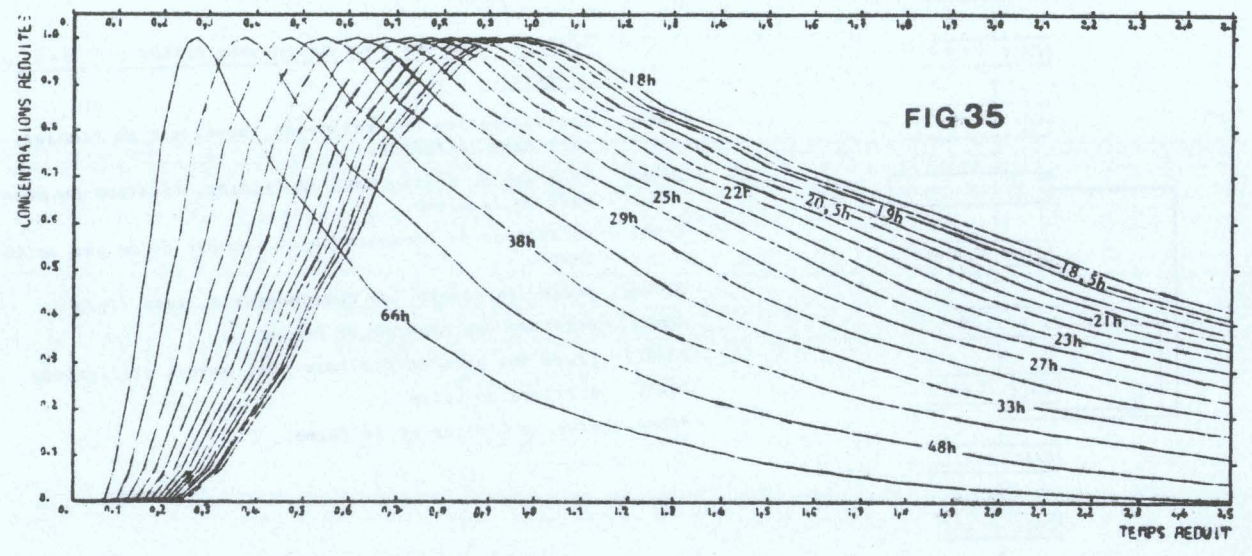


FIG 35



ANNEXE 4 : FLUCTUATIONSDEFINITIONS

Intervalle de "pari" : il est défini par un écart  $e$  autour de  $P$  qui est le pourcentage réel.

Le risque : c'est la probabilité d'être hors de l'intervalle de pari.

L'écart réduit : c'est l'écart  $e$  exprimé en unité d'écart type dont l'expression est  $T = \left( \frac{\sum (x_i - \mu)^2}{n} \right)^{1/2}$

où  $\mu$  est la moyenne réelle des paramètres  $x_i$  et où  $n$  est le nombre d'échantillon de valeur  $x_i$ .  $\epsilon$  est donc égal à  $\frac{e}{T}$ .

LA VARIANCE : c'est la moyenne des carrés des écarts  $T^2 = \frac{\sum (x_i - \mu)^2}{n}$

Si l'on dispose de  $n$  échantillons de valeur  $x_i$ , on peut calculer la moyenne  $m$  et la variance ; or,  $m$  est une estimation de  $\mu$ , moyenne réelle. On démontre que :

$$\forall \alpha \in \mathbb{R}, \sum (x_i - m)^2 < \sum (x_i - \alpha)^2$$

donc :  $\sum (x_i - m)^2 < \sum (x_i - \mu)^2$

La valeur de  $S^2 = \frac{\sum (x_i - m)^2}{n}$  est donc une estimation trop faible de  $T^2 = \frac{\sum (x_i - \mu)^2}{n}$ . On démontre que la meilleure correction possible consiste à compenser le numérateur trop petit de  $S^2$  en diminuant le dénominateur de une unité ; on a donc  $S^2 = \frac{\sum (x_i - m)^2}{n - 1}$ ,  $n - 1$  est le nombre de degré de liberté.

LES FLUCTUATIONS.  $m$  étant une estimation de  $\mu$ , moyenne réelle de la population, il convient d'évaluer, pour chaque intervalle centré sur  $\mu$ , la probabilité pour que  $m$  soit hors de cet intervalle.  $\epsilon$  étant l'écart réduit correspondant au risque  $\alpha$ , on assigne à la moyenne inconnue  $\mu$ , l'intervalle de confiance tel que  $\mu \in \left[ m - \epsilon \frac{S}{\sqrt{n}}, m + \epsilon \frac{S}{\sqrt{n}} \right]$





ANNEXE 5 : CORRELATION

Soit deux variables  $x$  et  $y$ . Si l'on porte  $x$  en abscisse et  $y$  en ordonnée, on obtient un nuage de points. La droite caractéristique de ce nuage passe par le point central du nuage de coordonnées  $(\bar{x}, \bar{y})$  que l'on peut prendre comme origine des ordonnées.

L'équation de la droite  $y = f(x) = \alpha_1 x + \beta_1$  sera déterminée par le calcul de  $\alpha_1$  et  $\beta_1$ . Si l'on admet que  $y$  fluctue autour de  $f(x)$  selon une loi de distribution normale, la probabilité pour que  $y - f(x)$  ait la valeur observée  $y_1 - f(x_1)$  à  $\pm dy$  près est :

$$\frac{2 dy}{\sqrt{\pi} T \sqrt{2}} \exp - \left[ \frac{y_1 - f(x_1)}{T \sqrt{2}} \right]^2$$

Il en est de même pour tous les couples  $[y_n, f(x_n)]$ . La probabilité pour que l'on ait simultanément tous ces événements s'obtient en multipliant les probabilités des événements élémentaires :

$$\left( \frac{2 dy}{\sqrt{\pi} T \sqrt{2}} \right)^n \times \exp - \left[ \frac{\sum [y_i - f(x_i)]^2}{T \sqrt{2}} \right]$$

La probabilité sera donc maximum lorsque  $\sum [y_i - f(x_i)]^2$  sera minimum. On démontre que cela se produit lorsque les dérivées partielles par rapport aux différents paramètres sont nulles :

$$\frac{\partial \sum [y_i - f(x_i)]^2}{\partial \alpha} = 0 ; \quad \frac{\partial \sum [y_i - f(x_i)]^2}{\partial \beta} = 0$$

$$\sum [y_i - f(x_i)]^2 = \sum [y_i - (\alpha x_i + \beta)]^2 = \alpha^2 \sum x_i^2 + 2\alpha\beta \sum x_i + n\beta^2 - 2\alpha \sum x_i y_i - 2\beta \sum y_i + \sum y_i^2.$$

Les dérivées partielles par rapport à  $\alpha$  et  $\beta$  permettent d'obtenir les relations suivantes :

$$\begin{aligned} \alpha \sum x_i^2 + \beta n \bar{x} &= \sum x_i y_i \\ \alpha \bar{x} + \beta &= \bar{y} \end{aligned}$$

Si le point central est pris comme origine, l'application affine devient linéaire donc  $\beta = 0$  ; on en déduit :

$$\alpha_1 = \frac{\sum (x_i - \bar{x})(y_i - \bar{y})}{\sum (x_i - \bar{x})^2}$$



La relation  $f : x \longrightarrow y = f(x)$  est appelée régression de  $y$  en  $x$ .

Si l'on considère la relation  $g : y \longrightarrow g(y) = x$ ,  $g$  sera la régression de  $x$  en  $y$ , et on aura :

$$\alpha_2 = \frac{\Sigma (y_i - \bar{y})^2}{\Sigma (x_i - \bar{x})(y_i - \bar{y})}$$

Le coefficient de corrélation est défini par l'expression  $R = \sqrt{\frac{\alpha_1}{\alpha_2}}$ .

Lorsque  $R = 1$ , les droites de régression sont confondues, il y a relation fonctionnelle

$R = 0$ , il y a indépendance

$0 < R < 1$ , il peut y avoir corrélation.

Le coefficient de corrélation étant calculé, il convient ensuite de déterminer la probabilité d'erreur, c'est-à-dire de déterminer le degré de validité de la dépendance des paramètres étudiés. Le calcul du coefficient de STUDENT  $t = \frac{R}{\sqrt{1 - R^2}} \sqrt{n - 2}$  permet de déterminer le risque

d'erreur ; en effet, à chaque valeur de  $t$  est associé le risque d'erreur correspondant. Enfin, il convient de déterminer l'intervalle de confiance, c'est-à-dire d'étudier, pour  $x$  donné, la fluctuation de  $y$  autour de  $\alpha_1 x + \beta_1$  et, pour  $y$  donné, la fluctuation de  $x$  autour de  $\alpha_2 y + \beta_2$  ; au risque  $P$  précédemment déterminé, correspond l'écart réduit  $\varepsilon = \frac{e}{T}$ ,  $T$  étant l'écart type ; connaissant  $\varepsilon$ , on en déduit  $e$ , intervalle de confiance.



ANNEXE6-bilan hydrogéologique du synclinorium de Bachant  
de 1977 à 1981-

MOIS	J	F	M	A	MA	J	JUIL	AO	SEP	OC	NO	DEC
TEMPERATURE	9.1	5.5	7	6.5	11.5	14.5	17	16.5	13.3	12.2	6.8	4.9
ETP(mm)	10	19	33	34	73	96	114	101	68	54	24	15
PLUIE(mm)	90.6	98.9	62.5	85.7	62.2	119.8	59.1	50.9	6.8	54	115.1	61.4
RFU(mm)	100	100	100	100	89.2	100	45.1	0	0	0	91.1	100
ETR(mm)	10	19	33	34	73	96	114	96	6.8	54	24	15
EXCEDENT(mm)	81	80	30	52	0	14	0	0	0	0	0	38

tableau 35-ANNEE 1977-

surface:65km<sup>2</sup>

excédent moyen sur les 12 mois: 24.41mm

précipitation: 867mm

volume d'eau non évaporé: 19.045.000m<sup>3</sup>

MOIS	J	F	M	A	MA	J	JUIL	AO	SEP	OC	NO	DEC
TEMPERATURE	2.9	2.3	6.8	7.7	12.9	15.2	15.3	16.4	14.7	11.8	5.3	3.4
ETP(mm)	9	8	32	41	82	100	102	101	75	52	18	11
PLUIE(mm)	72	30.3	103	49.5	106	75.8	65.4	36.9	28.7	18.9	9	102
RFU(mm)	100	100	100	100	100	83.8	46.4	0	0	0	0	91
ETR(mm)	9	8	32	41	82	100	102	83.3	28.7	18.9	9	11
EXCEDENT(mm)	63	22	74	8	24	0	0	0	0	0	0	0

tableau 36-ANNEE 1978-

surface:65km<sup>2</sup>

excédent moyen sur les 12 mois: 15.66mm

précipitation: 698mm

volume d'eau non évaporé: 12.220.000m<sup>3</sup>





MOIS	J	F	M	A	MA	J	JUIL	AO	SEP	OC	NO	DEC
TEMPERATURE	0	1.5	4.8	8.6	11.7	16.2	16.7	16.1	14	11.9	5.7	5.3
ETP (mm)	0	5	23	47	76	109	113	99	73	53	20	17
PLUIE (mm)	47.5	48.2	153	40.6	53.3	68.9	46.4	61	27.4	50.6	112	96.9
RFU (mm)	100	100	100	94	71	31	0	0	0	0	92	100
ETR (mm)	0	5	23	47	76	109	77	61	27.4	50.6	20	17
EXCEDENT (mm)	39	43	128	0	0	0	0	0	0	0	0	72

tableau 37-ANNEE 1979-

2

surface:65km

excédent moyen sur les 12 mois: 23.5mm

précipitation: 805mm

volume d'eau non évaporé: 18.330.000m<sup>3</sup>

MOIS	J	F	M	A	MA	J	JUIL	AO	SEP	OC	NO	DEC
TEMPERATURE	2.7	6.2	5.8	8.5	13	15.6	16.2	18.4	15.7	9.1	2.8	2.5
ETP (mm)	2	22	26	45	82	103	108	112	79	38	9	7
PLUIE (mm)	37.1	69.4	102	26	72.1	91.6	182	47.4	8.7	94.6	63.2	93.7
RFU (mm)	100	100	100	81	71	60	100	35	0	57	100	100
ETR (mm)	2	22	26	45	82	103	108	112	44	38	9	7
EXCEDENT (mm)	35	47.4	76	0	0	0	34	0	0	0	11	87

tableau 38-ANNEE 1980-

surface:65km<sup>2</sup>

excédent moyen sur les 12 mois:24.16mm

précipitation: 888mm

volume d'eau non évaporé: 18.850.000m<sup>3</sup>

MOIS	J	F	M	A	MA	J	JUIL	AO	SEP	OC	NO	DEC
TEMPERATURE	3.1	2.3	9.2	9.6	14	15.6	17.8	17.7	14.7	9.4	6.9	6.9
ETP (mm)	10	8	43	51	89	102	118	107	74	39	23	5
PLUIE (mm)	98.8	39.6	104	17	87.2	130	42	42.6	87.2	164.5	49.4	125
RFU (mm)	100	100	100	66	64	92	16	0	13	100	100	100
ETR (mm)	10	8	43	51	89	102	118	59	74	39	23	5
EXCEDENT (mm)	89	32	61	0	0	0	0	0	0	38.5	26	120

tableau 39-ANNEE 1981-

surface:65km<sup>2</sup>

excédent moyen sur les 12 mois: 30.5mm

précipitation: 987mm

volume d'eau non évaporé: 23.790.000m<sup>3</sup>



ANNEXE 7 : INTERPRETATION DES POMPAGES D'ESSAI EN MILIEU ANISOTROPE

METHODE DE GRINGARTEN ET WITHERSPOON

Ces auteurs proposent deux modèles pour interpréter les pompages d'essai en milieu fissuré : le modèle à fissure verticale unique et le modèle à fissure horizontale unique. Ils supposent deux types d'écoulements :

- un écoulement dans la fracture en communication avec le puits ;
- un écoulement dans la matrice.

Ils démontrent que la variation du rabattement au puits est proportionnelle à la racine carrée du temps, ce qui se traduit par une droite de pente 0,5 sur un graphique bilogarithmique. Au fur et à mesure que l'essai se prolonge, le rabattement devient approximativement identique à celui prévu par la solution de Theis.

L'obtention des caractéristiques hydrauliques résulte de la comparaison de la courbe expérimentale rabattement-temps en diagramme bilogarithmique avec les courbes de l'abaque relatives à différents types de fracturation et d'aquifères.

Il convient de noter que cette méthode n'est applicable que si la courbe expérimentale montre une droite de pente 0,5 au début du pompage ; ce qui suppose une surveillance de période très courte pendant le début du pompage. De plus, cette méthode suppose la connaissance de paramètres tels que l'épaisseur exacte de l'aquifère, la porosité.

On peut donc dire que cette méthode reste peu applicable en raison du manque de connaissance des paramètres qu'elle requiert.

METHODE DE HANTUSH (in De Ridder et Kruseman)

En milieu isotrope, l'expression du rabattement est :

$$S_i = \frac{Q}{4\pi T} \ln \frac{2,25 T t}{r_i^2 S}$$

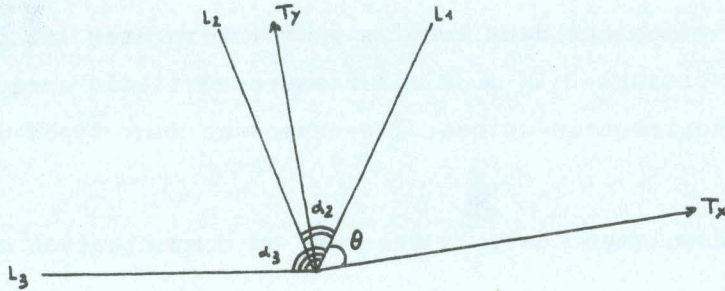
En milieu anisotrope, elle devient :

$$S_i = \frac{Q}{4\pi T_e} \ln \frac{2,25 T_i t}{r_i^2 S}$$



avec  $T_e = \sqrt{T_x T_y}$  où  $T_x$  et  $T_y$  représentent les transmissivités principales.  $T_e$  est appelée transmissivité équivalente.

L'utilisation de cette méthode est conditionnée par l'existence de trois lignes de piézomètres.



L'expression de la transmissivité  $T_i$  relative à la ligne  $i$  est :

$$T_i = \frac{T_x}{\cos^2 (\theta + \alpha_i) + m \sin^2 (\theta + \alpha_i)} \quad \text{avec } m = \frac{T_x}{T_y} = \left(\frac{T_e}{T_y}\right)^2$$

en posant  $a_i = \frac{T_1}{T_i} = \frac{\cos^2 (\theta + \alpha_i) + m \sin^2 (\theta + \alpha_i)}{\cos^2 \theta + m \sin^2 \theta}$

on en déduit :  $m = \frac{a_i \cos^2 \theta - \cos^2 (\theta + \alpha_i)}{\sin^2 (\theta + \alpha_i) - a_i \sin^2 \theta}$

La combinaison de ces équations permet d'obtenir l'expression suivante, en considérant trois lignes de piézomètres :

$$\operatorname{tg} 2 \theta = -2 \frac{(a_3 - 1) \sin^2 \alpha_2 - (a_2 - 1) \sin^2 \alpha_3}{(a_3 - 1) \sin 2\alpha_2 - (a_2 - 1) \sin 2\alpha_3}$$

Cette équation a deux solutions pour  $\theta$  :  $x$  ;  $x + \frac{\pi}{2}$

L'une de ces valeurs correspond à  $m > 1$  et l'autre à  $m < 1$ .

L'axe des  $x$  étant considéré comme l'axe de la plus grande transmissivité, la valeur de  $\theta$ , pour  $m > 1$ , donne la position de la première ligne de piézomètres par rapport à l'axe des  $x$ . De plus, si  $\theta$  est positif, l'axe des  $x$  se trouve à droite de la première ligne de piézomètres.

Cette méthode requiert les paramètres suivants :

-  $T_e$ ,  $\frac{S}{T_i}$  obtenue par la méthode de Theis ou de Jacob ;

- les angles que font entre elles les lignes de piézomètres.



Si l'on dispose de plus trois lignes de piézomètres, il convient d'appliquer la méthode à chaque groupe de trois piézomètres et l'on s'aperçoit qu'en général, on obtient des résultats différents. D. Thiery (1980), en complétant le méthode de I.S. Papadopoulos (1965) (+), montre comment, en employant la méthode des nombres carrés, utiliser tous les piézomètres à la fois et obtenir une méthode fiable et stable d'identification des directions des transmissivités principales et du coefficient d'emmagasinement.

#### METHODE DE PAPADOPOULOS COMPLETEE PAR D. THIERY

Les intersections de la droite de Jacob avec l'axe des temps permettent d'écrire le système d'équations suivant :

$$\begin{aligned} x_1^2 ST_{yy} - 2 x_1 y_1 ST_{xy} + y_1^2 ST_{xx} &= 2,25 T^2 \cdot t_1 \\ x_2^2 ST_{yy} - 2 x_2 y_2 ST_{xy} + y_2^2 ST_{xx} &= 2,25 T^2 \cdot t_2 \\ &\vdots \\ x_n^2 ST_{yy} - 2 x_n y_n ST_{xy} + y_n^2 ST_{xx} &= 2,25 T^2 \cdot t_n \end{aligned}$$

$$\begin{bmatrix} x_1^2 & x_1 y_1 & y_1^2 \\ \cdot & \cdot & \cdot \\ \cdot & \cdot & \cdot \\ \cdot & \cdot & \cdot \\ x_n^2 & x_n y_n & y_n^2 \end{bmatrix} \begin{bmatrix} ST_{yy} \\ - 2 ST_{xy} \\ ST_{xx} \end{bmatrix} = 2,25 T^2 \begin{bmatrix} t_1 \\ \cdot \\ \cdot \\ \cdot \\ t_n \end{bmatrix}$$

$(x_i, y_i)$  : coordonnées du piézomètre  $P_i$ .

On voit que A est une matrice rectangulaire. Pour trouver  $ST_{xx}$ ,  $ST_{xy}$  et  $ST_{yy}$ , on multiplie A par sa transposée afin d'obtenir une matrice symétrique :

$${}^t(A) \times (A) (ST) = 2,25 T^2 {}^t(A) (to)$$

L'expression  $T^2 = \frac{ST_{xx} \cdot ST_{yy} - (ST_{xy})^2}{S^2}$  permet d'obtenir S et l'on peut

(+) La méthode de Papadopoulos est, sous une forme un peu différente, identique à celle de Hantush.

en déduire  $T_{xx}$ ,  $T_{yy}$ ,  $T_{xy}$ .

Il est alors possible de déterminer les transmissivités principales :

$$T_x = \frac{T_{xx} + T_{yy} + \sqrt{(T_{xx} - T_{yy})^2 + 4 T_{xy}^2}}{2}$$

$$T_y = \frac{T_{xx} + T_{yy} - \sqrt{(T_{xx} - T_{yy})^2 + 4 T_{xy}^2}}{2}$$

et l'angle  $\theta$  entre l'axe OX et  $T_x$  :  $\operatorname{tg} \theta = \frac{T_x - T_{xx}}{T_{xy}}$



ANNEXE 8 : MODELE DE SIMULATION DE L'EVOLUTION SPATIO-TEMPORELLE D'UN TRACEUR EN ECOULEMENT MONODIMENSIONNEL NON UNIFORME

Le débit de transfert de la maille  $i - 1$  à la maille  $i$  (écoulement unidimensionnel) est :

$$q_{i-1 \rightarrow i} = \frac{-(K b \Delta x) (H_i^n - H_{i-1}^n)}{\Delta x} = T (H_i^n - H_{i-1}^n)$$

$K$  : perméabilité  $LT^{-1}$

$\Delta x$  : côté de la maille

$b$  : épaisseur de l'aquifère

$n$  : indice de temps

Stockage dans une maille :

$$\frac{\Delta V_i}{\Delta t} = S \times \Delta x \frac{(H_i^{t+\Delta t} - H_i^t)}{\Delta t} = q_{i-1 \rightarrow i} - q_{i \rightarrow i+1}$$

On en déduit :

$$H_{i+1}^n - 2 H_i^n + H_{i-1}^n = \frac{S}{T} \left(\frac{\Delta x}{\Delta t}\right)^2 (H_i^{t+\Delta t} - H_i^t)$$

La méthode explicite suppose que l'on connaisse les cotes piézométriques à un temps  $t$  ; pour une maille  $i$ , on peut donc en déduire la hauteur  $H_i$  à l'instant  $t + \Delta t$  :

$$H_i^{t+\Delta t} = \frac{T \cdot \Delta t}{S \Delta x^2} (H_{i+1}^t + H_{i-1}^t) + H_i^t \left(1 - \frac{2 T \Delta t}{S \Delta x^2}\right)$$

On démontre que pour que la solution converge, il faut que  $\Delta t$  soit inférieur à  $\frac{S \Delta x^2}{2 T}$

La vitesse effective globale a pour expression :  $VeF = \frac{K}{\omega} \frac{H_N - H_1}{\Delta x (N - 1)}$

La vitesse effective relative au transfert de la maille  $i+1$  à la maille  $i$  est :

$$V'eF = \frac{K}{\omega} \frac{H_{i+1} - H_i}{\Delta x}$$

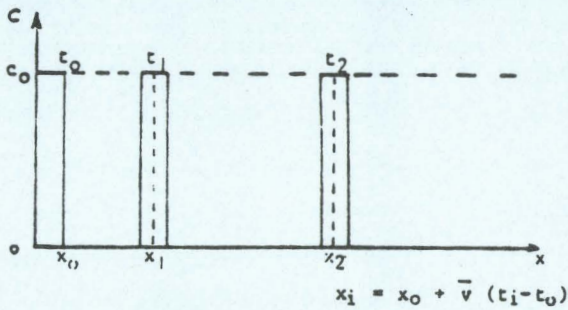
On en déduit :  $V'eF = VeF \frac{H_{i+1} - H_i}{H_N - H_1} (N - 1)$



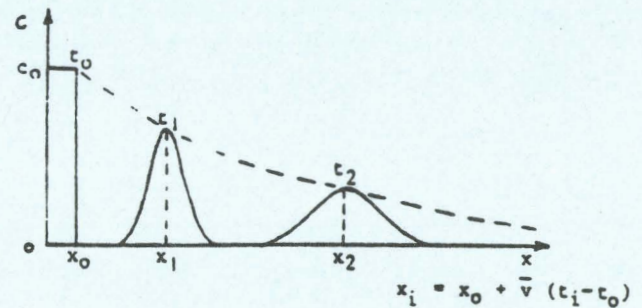


Annexe 9 - HYDRODISPERSION  
en écoulement uniforme monodimensionnel-Terminologie-

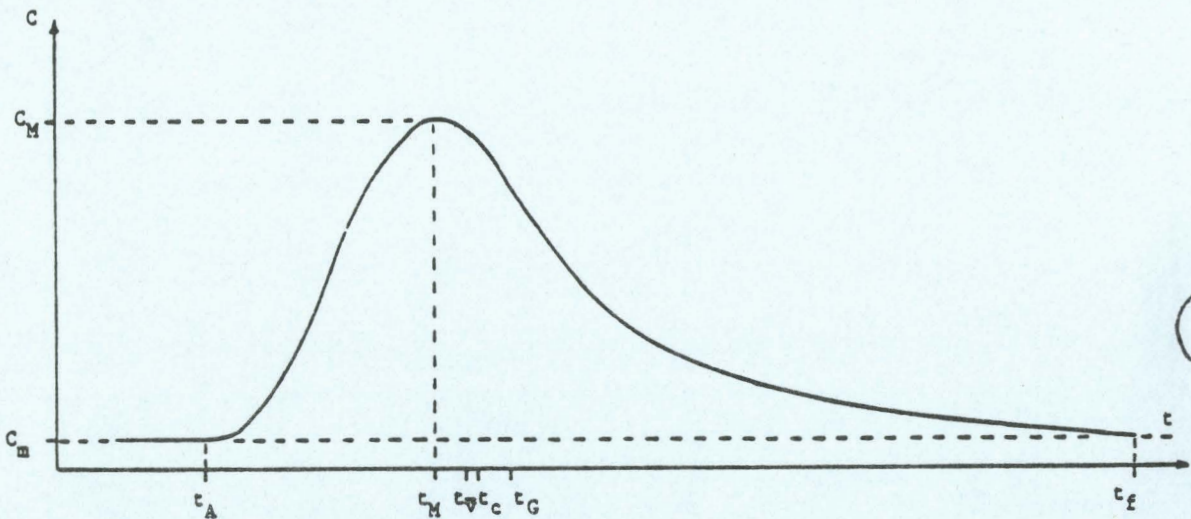
TEMPS		VITESSE (constante v x)	
Nom	Définition	Nom	Définition
Temps d'arrivée	$\frac{C}{C_m} = 1 + \varepsilon \Rightarrow t_A$ $t_A < t_M$	vitesse maximale	$v_A = \frac{X}{t_A}$
Temps final	$\frac{C}{C_m} = 1 + \varepsilon \Rightarrow t_f$ $t_f > t_M$	vitesse minimale	$v_f = \frac{X}{t_f}$
Temps de passage	$t_f - t_A$ $C > C_m$		
Temps modal	$t_M$ $dC/dt = 0$	vitesse modale	$v_M = \frac{X}{t_M}$
Temps moyen	$\bar{t} = t_G = \frac{\int_0^\infty t \cdot C \cdot dt}{\int_0^\infty C \cdot dt}$	vitesse médiane	$v_G = \frac{X}{t_G} = \frac{X \int C \cdot dt}{\int t \cdot C \cdot dt}$
	$t_{\bar{v}} = \frac{X}{\bar{v}} = \frac{\int C \cdot dt}{\int \frac{1}{t} C \cdot dt}$	vitesse moyenne	$\bar{v} = \frac{X \int \frac{1}{t} C \cdot dt}{\int C \cdot dt}$



Propagation d'une impulsion en écoulement purement convectif



Propagation d'une impulsion en écoulement hydrodispersif



BUS LILLE





ANNEXE 10-Récapitulatif des traçages-

TRACAGE	DATE D' INJECTION	LIEU D' INJECTION	MASSE(kg)	LIEU DE PRELEVEMENT	TYPE D'ANALYSE	DISTANCE(m)	Cm(kg/l)	Ta	Vmax	Cmax(kg/l)	Tcmax	Vcmax	Tc	Ve	α(m)
1	8/03/82	effondrement	2uraniné	forage2(Fontaine)	eau-fluocapteur	1000	$10^{-9}$	<8j	>125m/j	$44810^{-9}$	16j	42.5m/j	/	/	/
2	27/10/81	perte du ruisseau d'Ecclaire	2uranine	carrière CBS	fluocapteur	510	$.210^{-9}$	2j	255m/j	$3.210^{-9}$	13.3j	38.34m/j	13.33m/j	38.26m/j	1.2
3	9/10/81	forage4(Fontaine)	2NAI	forage5(Fontaine)	eau	480	$.2510^{-9}$	3j	160m/j	/	/	/	/	/	/
4	10/08/81	forage3(Fontaine)	2NAI	forage2(Fontaine)	eau	116	$.210^{-9}$	1.12j	103m/j	$20.610^{-9}$	9.33m	21.75m/j	9j	12.88m/j	.29
5	24/09/81	perte du ruisseau des hotels	2uranine	ruisseau du Quiè-velon	fluocapteur	400	$.0510^{-9}$	/	/	/	/	/	/	/	/
6	10/03/82	ferme de l'hôpital	1.5uranine	forage5(Grande-Faches)	fluocapteur eau	1500	/	/	/	/	/	/	/	/	/
8	5/11/80	ferme Taille-Pionne	3uranine	captages de Sars-Poteries	fluocapteur	1400	$410^{-9}$	<15j	93m/j	$210^{-8}$	42j	33.3m/j	37j	37m/j	/
9	10/01/81	Le Fourie	2uranine	captages de Sars-Poteries	fluocapteur	700	$10^{-9}$	10j	70m/j	$310^{-8}$	35j	20m/j	23j	30m/j	/
11	5/11/80	Helpe Majeure	2uranine	captage de Wallers-Trelon	fluocapteur	1200	$10^{-10}$	<10j	120m/j	$310^{-8}$	15.5j	77m/j	16j	73m/j	/
12	10/01/80	Macon	2uranine	captage de Wallers-Trelon	fluocapteur	2500	$10^{-10}$	10j	250m/j	$510^{-9}$	16j	156m/j	16.5j	152m/j	/
13	2/08/82	perte(Morenrieux)	0.25uranine	forage	eau	14	$.2510^{-6}$	2mn	510m/h	$1.510^{-5}$	10mn	108.5m/h	12.5mn	67.2m/h	3.18
14	17/11/82	piezo.P2(Morenrieux)	2uranine	forage	eau	68.88	$1.910^{-9}$	<12h	5.7m/h	$910^{-9}$	108h	.64m/h	123h	.56m/h	1.8









PROGRAMMES INFORMATIQUES





```

5 OPEN1,4
6 DIMH(50),U(50),D(50),C(50)
10 PRINT"OMBRE DE MAILLES?"
11 INPUT N
12 PRINT"TRANSMISSIVITE?"
13 INPUT T
14 PRINT"COEFFICIENT D'EMMAGASINEMENT?"
15 INPUT S
16 PRINT"COTE DE LA MAILLE(MAILLE CARREE)?"
17 INPUT X
18 PRINT"COTE PIEZOMETRIQUE AU TEMPS T=0?"
19 FORI=1TOH:INPUT H(I):NEXT I
20 PRINT"NOMBRE D'ITERATIONS?"
25 INPUT B
30 K=S*X+2/2/T
31 PRINT"K=";K
32 PRINT"PAS DE TEMPS?"
33 INPUT DT
35 W=T/S/X+2
37 PRINT#1,"PAS DE TEMPS=";DT
40 K=1
50 FORI=NT03STEP-1
55 H(I-1)=W*DT*(H(I)+H(I-2))+H(I-1)*(1-2*DT*W)
60 NEXTI
65 K=K+1
67 IFB+1-K=0THEN79
70 GOTO50
79 PRINT#1,"NOMBRE D'ITERATIONS";B
80 FORI=1TOH:PRINT#1,"H";I;"=";H(I):NEXTI
81 PRINT"SI LE NOMBRE D'ITERATION EST SUFFISANT,TAPEZ 1,SINON TAPEZ 0"
85 INPUT P
90 IFF=1THEN100
95 IFF=0THEN20
100 PRINT#1,"*****"
105 PRINT"EVOLUTION SPATIO-TEMPORELLE DU TRACEUR"
107 PRINT#1,"EVOLUTION SPATIO-TEMPORELLE DU TRACEUR"
110 PRINT"MASSE INJECTEE?"
115 INPUT M
120 PRINT"VITESSE EFFECTIVE GLOBALE?"
125 INPUT VEF
130 PRINT"DISPERSIVITE?"
135 INPUT ALPHA
140 PRINT"DEBIT DE POMPAGE?"
145 INPUT Q
150 PRINT"PAS DE TEMPS?"
155 INPUT DT
156 A=DT
160 CSTE=(N-1)*X*VEF/(H(N)-H(1))
165 PRINT"NOMBRE D'ITERATIONS?"
170 INPUT G
171 Z=X
175 FORJ=1TOG
180 F=1
185 L=1
186 E=0
187 U(N+1)=0
190 FORI=NT02STEP-1
191 E=E+1
195 U(I)=(H(I)-H(I-1))*CSTE/Z
199 U(I)=(U(I+1)*(E-1)+U(I))/E
200 D(I)=ALPHA*U(I)
205 C(I-1)=(M/2/Q/PI+.5/D(I)+.5/DT+1.5)*X
210 C(I-1)=C(I-1)*EXP(-(X-U(I)*DT)+2/4/D(I)/DT)
220 L=L+1
225 X=Z*L

```



```
230 NEXT I
235 PRINT#1,"TEMPS=";DT
238 PRINT#1,"C1=";C(1)/4
240 FOR I=2 TO N-1:PRINT#1,"C";I:"=";C(I):NEXT I
245 F=F+1
250 DT=DT+A
251 X=X+Z
255 NEXT J
```



READY.

```

10 OPEN1,4
20 PRINT"OPTION: CALCUL DES PERMEABILITES,TAPEZ 1"
21 PRINT"OPTION: CALCUL DES VITESSES,TAPEZ 2"
22 PRINT"OPTION: CALCUL DES GRADIENTS,TAPEZ3"
29 INPUTI
30 IFI=1THEN35
31 IFI=2THEN90
32 IFI=3THEN230
35 PRINT"CALCUL DES PERMEABILITES EN MILIEU ANISOTROPE"
36 PRINT"*****"
40 PRINT"VALEURS DE KX,KY (KX>KY)?"
45 INPUTB
46 INPUTA
47 PRINT"NOMBRE DE DIRECTIONS CHOISIES?"
48 INPUTN
50 PRINT"VALEUR DE L'ANGLE ENTRE KX ET LA DIRECTION CHOISIE?"
51 PRINT"<SENS TRIGONOMETRIQUE>"
55 FORJ=1TON:INPUTTETA(J):NEXTJ
56 CMD1
57 PRINT"CALCUL DES PERMEABILITES EN MILIEU ANISOTROPE"
58 PRINT"KX=";B;"M/S", "KY=";A;"M/S"
59 FORJ=1TON
60 TETA(J)=TETA(J)/57.296
65 K(J)=A*B*((1+TAN(TETA(J))^2)^.5)
66 K(J)=K(J)/(A^2+B^2*TAN(TETA(J))^2)^.5
70 PRINT"*****"
75 PRINT"ANGLE DE LA DIRECTION AVEC KX:",TETA(J)*57.296;"DEGRES"
76 PRINT"VALEUR DE LA PERMEABILITE:";K(J);"M/S"
80 NEXTJ
85 END
90 PRINT"CALCUL DES VITESSES EN MILIEU ANISOTROPE"
92 PRINT"*****"
95 PRINT"VALEURS DE KX,KY (KX>KY)?"
100 INPUTB
105 INPUTA
107 PRINT"NOMBRE DE DIRECTIONS CHOISIES?"
108 INPUTN
110 PRINT"VALEUR DE L'ANGLE ENTRE KX ET LE GRADIENT HYDRAULIQUE?"
115 FORJ=1TON:INPUTTETA(J):NEXTJ
120 PRINT"VALEUR DU GRADIENT HYDRAULIQUE?"
125 FORJ=1TON:INPUTGRH(J):NEXTJ
126 CMD1
127 PRINT"CALCUL DES VITESSES EN MILIEU ANISOTROPE"
128 PRINT"KX=";B;"M/S", "KY=";A;"M/S"
130 FORJ=1TON:PRINT"GRH=";GRH(J):NEXTJ
135 FORJ=1TON
140 TETA(J)=TETA(J)/57.296
145 C=(B*COS(TETA(J)))+(A*SIN(TETA(J))*TAN(TETA(J)))
150 D=((A^2*TAN(TETA(J))^2)+B^2)/TAN(TETA(J))^2
156 D=D+.5
157 Z=B/(D*TAN(TETA(J)))
160 E=C/(D*TAN(TETA(J)))
165 F=1-E^2
166 ZX=1-Z^2
170 G=F+.5/E

```



```

171 ZY=ZX↑.5/Z
172 BETA=ATN(ZY)
175 ALPHA=ATN(G)
176 IFI=3THENGRH(J)=V(J)/(A*B*E)
180 H=A*B*E*GRH(J)
181 IFI=3THENX=TETA(J)
182 IFI=2THENX=BETA
185 HH=1+TAN(X)↑2
190 HG=A↑2+B↑2*TAN(X)↑2
191 IFI=3THENGRH(J)=GRH(J)*((P↑2+Q↑2*TAN(TETA(J))↑2)/HH)↑.5
192 IFI=3THEN200
195 V=H*(HH/HG)↑.5
197 V=V↑2
198 V=V↑.5
200 PRINT"*****"
201 IFI=3THENPRINT"VALEUR DE LA VITESSE:";V(J);"M/S"
202 IFI=3THENPRINT"ANGLE DE LA VITESSE AVEC KX:";TETA(J)*57.296;"DEGRES"
203 IFI=3THENPRINT"ANGLE DU GRADIENT AVEC KX:";BETA*57.296;"DEGRES"
204 IFI=3THENPRINT"VALEUR DU GRADIENT:";GRH(J)
205 IFI=3THENZK=A*B*(HH/(P↑2+Q↑2*TAN(TETA(J))↑2)↑.5
206 IFI=3THENPRINT"VALEUR DE LA PERMEABILITE:";"K=";ZK;"M/S"
207 IFI=3THEN220
208 PRINT"VALEUR DU GRADIENT HYDRAULIQUE:";GRH(J)
210 PRINT"ANGLE DU GRADIENT AVEC KX:";TETA(J)*57.296;"DEGRES"
215 PRINT"ANGLE DE LA VITESSE AVEC KX:";BETA*57.296;"DEGRES"
216 PRINT"VALEUR DE LA VITESSE:";V;"M/S"
217 PRINT"VALEUR DE LA PERMEABILITE:";"K=";A*B*(HH/HG)↑.5;"M/S"
220 NEXTJ
223 IFI=3THENRETURN
225 END
230 PRINT"CALCUL DES GRADIENTS HYDRAULIQUES EN MILIEU ANISOTROPE"
235 PRINT"*****"
240 PRINT"VALEURS DE KX,KY (KX>KY)"
250 INPUTB
260 INPUTA
265 PRINT"NOMBRE DE DIRECTIONS CHOISIES?"
270 INPUTN
275 PRINT"VALEUR DE L'ANGLE ENTRE KX ET LA VITESSE?"
280 FORJ=1TON:INPUTTETA(J):NEXTJ
285 PRINT"VALEUR DE LA VITESSE?"
290 FORJ=1TON:INPUTV(J):NEXTJ
291 CND1
292 PRINT"CALCUL DES GRADIENTS EN MILIEU ANISOTROPE"
295 PRINT"KX=";B;"M/S";"KY=";A;"M/S"
300 P=A
305 Q=B
310 B=A
315 A=Q
320 GOSUB135
325 END

```



READY.

```

1 OPEN1,4
50 DIMM(250)
55 DIMMM(250)
60 DIMAA(250)
65 DINTETA(250)
66 DIMTY(250)
67 DINTX(250)
68 DIMTR(250)
70 DIMBETA(250)
71 DINTW(250)
72 DIMT(250)
73 DIMS(250)
74 DIMST(250)
80 INPUTN
85 PRINT"N=";N,"VALEUR DES TRANSMISSIVITES?"
90 FORI=1TON:INPUT(I):NEXT I
95 FORI=1TON:PRINT(I):NEXT I
97 PRINT"NUMEROS DES PIEZOMETRES?"
100 FORI=1TON:INPUTP(I):NEXT I
105 FORI=1TON:PRINTP(I):NEXT I
110 PRINT"DISTANCES AU PUIITS?"
115 FORI=1TON:INPUTR(I):NEXT I
117 FORI=1TON:PRINTR(I):NEXT I
120 PRINT"TEMPS POUR CHAQUE PIEZOMETRES?"
130 FORI=1TON:INPUTTC(I):NEXT I
135 FORI=1TON:PRINTTC(I):NEXT I
140 PRINT"ANGLES ENTRE PIEZOMETRES?"
145 FORI=1TON:INPUTALPHA(I):NEXT I
147 FORI=1TON:ALPHA(I)=ALPHA(I)/57.296:NEXT I
150 FORI=1TON:PRINTALPHA(I):NEXT I
151 CMD1
152 PRINT"COMMENTAIRES: POMPAGES D'ESSAI EN MILIEU ANISOTROPE-METHODE DE HANT
"
153 PRINT"SI TETA>0 ALORSTX EST A DROITE DE LA PREMIERE LIGNE CHOISIE"
154 KK=0
155 FORL=1TON-2
158 FORJJ=L+1TON:ALPHA(JJ)=ALPHA(JJ)-ALPHA(L):NEXTJJ
160 ST(L)=2.25*TC(L)/(R(L)^2)
165 J=L+1
170 M=1
175 K=J+1
185 FORI=JTONKSTEPM
190 A(I)=2.25*TC(I)/(R(I)^2)/ST(L)
195 NEXT I
200 KK=KK+1
202 IFALPHA(J)=ALPHA(K) THEN349
203 CD=(A(K)-1)*SIN(ALPHA(J))^2
204 CD=CD-(A(J)-1)*SIN(ALPHA(K))^2
205 CD=-2*CD
206 CB=((A(K)-1)*SIN(2*ALPHA(J)))-((A(J)-1)*SIN(2*ALPHA(K)))
208 AB=CD/CB
210 TETA(KK)=ATN(AB)
212 TETA(KK)=TETA(KK)/2
215 BETA(KK)=TETA(KK)+(PI/2)
220 AA(KK)=TETA(KK)
225 AA(KK+1)=BETA(KK)

```





```

230 FOR I I=KKTOKK+1
232 CC=((A(J)*COS(AA(II))^2)-(COS(AA(II)+ALPHA(J))^2)
233 CE=((SIN(AA(II)+ALPHA(J))^2)-A(J)*SIN(AA(II))^2)
235 M(II)=ABS(CC/CE)
237 CF=((A(K)*COS(AA(II))^2)-(COS(AA(II)+ALPHA(K))^2)
238 CG=((SIN(AA(II)+ALPHA(K))^2)-A(K)*SIN(AA(II))^2)
240 MM(II)=ABS(CF/CG)
245 NEXT I I
250 IF M(KK)>1 THEN C=(M(KK)+MM(KK))/2
255 IF M(KK+1)>1 THEN C=(M(KK+1)+MM(KK+1))/2
257 TW(KK)=(T(L)+T(J)+T(K))/3
260 TY(KK)=(C*TW(KK)^2)/C+.5
265 TX(KK)=C*TY(KK)
270 IF M(KK)>1 THEN TETA=AA(KK)
275 IF M(KK+1)>1 THEN TETA=AA(KK+1)
280 TR(L)=TX(KK)/(COS(TETA)^2+(C*SIN(TETA))^2)
285 TR(J)=TX(KK)/(COS(TETA+ALPHA(J))^2+(C*SIN(TETA+ALPHA(J))^2)
290 TR(K)=TX(KK)/(COS(TETA+ALPHA(K))^2+(C*SIN(TETA+ALPHA(K))^2)
295 S(L)=TR(L)*2.25*TC(L)/(R(L)^2)
300 S(J)=TR(J)*2.25*TC(J)/(R(J)^2)
305 S(K)=TR(K)*2.25*TC(K)/(R(K)^2)
310 PRINT "*****"
315 PRINT "ETUDE SUR LES PIEZOMETRES",P$(L),P$(J),P$(K)
317 PRINT "VALEUR DE LA TRANSMISSIVITE EQUIVALENTE",TW(KK):"M^2/S"
320 PRINT "VALEUR DES TRANSMISSIVITES PRINCIPALES","TX=";TX(KK),"TY=";TY(KK)
322 PRINT "ANGLE ENTRE LA TRANSMISSIVITE PRINCIPALE TX ET LA LIGNE PUIITS-":P$
";"
324 PRINT "TETA=";TETA*57.296;"DEGRES"
325 PRINT "VALEURS DES TRANSMISSIVITES ET DU COEFFICIENT D'EMMAGASINEMENT:"
330 PRINT "PIEZO. ";P$(L),"TRANS. ";TR(L),"COEF. EMMAG. ";S(L)
335 PRINT "PIEZO. ";P$(J),"TRANS. ";TR(J),"COEF. EMMAG. ";S(J)
340 PRINT "PIEZO. ";P$(K),"TRANS. ";TR(K),"COEF. EMMAG. ";S(K)
349 K=K+1
350 M=M+1
355 IF K=N THEN 185
360 J=J+1
365 K=J+1
370 M=1
375 IF J=L+1 THEN 185
378 FOR JJ=L+1 TO N:ALPHA(JJ)=ALPHA(JJ)+ALPHA(L):NEXT JJ
379 PRINT "ST=";ST(L)
380 NEXT L

```



## Programme DISSECT

```

C**PROGRAMME DE CALCUL DES GRAPHS DE DISPERSION EN ECOULEMENT CONVERGENT
C** PE=NUMBRE DE PELET, TR=TEMPS REDUIT MOLOTO, CR=CONC. REDUITE, MOLOTO
C** LE TABLEAU TRAC CONTIENT LES VALEURS DE 10 COURBES

```

```

DIMENSION TRAC(100,10),PE(12),LJ(0:11)

```

```

COMMON PAS,NCOURB

```

```

LEC=105

```

```

IMP=108

```

```

READ(LEC,9)NTR,PAS,(PE(J),J=1,10),NCOURB

```

```

WRITE(IMP,9)NTR,PAS,(PE(J),J=1,10),NCOURB

```

```

DO 1 J=1,10

```

```

X3=0.0

```

```

DO 1 N=1,NTR

```

```

TR=X3+(N-1)*PAS

```

```

TRMAX=(1.+(3./PE(J)**2)**0.5)-3./PE(J)

```

```

AKP=(TRMAX**1.5)*EXP(PE(J)*(1.-TRMAX)**2)/4./TRMAX

```

```

CR=AKP/(TR**1.5)*EXP(-PE(J)*(1.-TR)**2)/4./TR

```

```

1 TRAC(N,J)=CR

```

```

DO 2 I=1,10

```

```

WRITE(IMP,21)

```

```

2 WRITE(IMP,20)(TRAC(N,J),N=1,NTR)

```

```

20 FORMAT(2X,25(F5.2))

```

```

21 FORMAT(13Z('X')/,10Y,'TABLEAU DES VALEURS CALCULEES DE CR ET TR',/
11Z(' '))

```

```

WRITE(IMP,30)

```

```

30 FORMAT(2X,'APPEL DU PROGRAMME DE TRACAGE')

```

```

CALL GRAPHE(IRAC)

```

```

WRITE(IMP,40)

```

```

40 FORMAT(2X,'TRACAGE TERMINE AVEC SUCCES')

```

```

9 FORMAT(13,F5.3,10(F5.0),1Z)

```

```

END

```

```

SUBROUTINE GRAPHE(IRAC)

```

```

DIMENSION TRAC(100,10),PE(12),LJ(0:11),IEXIG(20),NBUF(269)

```

```

1,X(100)

```

```

REAL NUMBR

```

```

DIMENSION IX(20),IY(20),NUMBR(20)

```

```

DATA IX/1.,2.,4.,5.,05.,15.,0.,875.,88.,9.,1.,1.6,1.5,2.125,1.5/

```

```

1,1.325,1.3,1.2,1.2,1.15/

```

```

DATA IY/0.,4.,5.,2.,1.,1.,05.,2.,1.,02.,2.,21.,3.,02.,2.,11.,02.,

```

```

1.1.,02.,02/

```

```

DATA NUMBR/1.,3.,10.,20.,50.,100.,200.,300.,500.,1000.

```

```

1,1.,3.,10.,20.,50.,100.,200.,300.,500.,1000./

```

```

COMMON PAS,NCOURB

```

```

LEC=105

```

```

IMP=108

```

```

C** NJOUR=NUMBRE TOTAL DE JOURS DE SIMULATION (10 PREVUS AU MAXIMUM)

```

```

C** PAPX =DIMENSION DU GRAPHIQUE SELON L AXE X (EN CENTIMETRE)

```

```

C** POPY =DIMENSION DU GRAPHIQUE SELON L AXE Y (EN CENTIMETRE)

```

```

C** I11 =NUMERO DU FICHIER DE STOCKAGE SUR DISQUE DES DONNEES A TRACER

```

```

WRITE(IMP,500)

```

```

500 FORMAT(2X,'APPEL CONFIRME')

```

```

READ(LEC,100)NJOUR,PAPX,POPY,I11,IEXIG

```

```

RM=0.

```

```

DO 10 J=1,NCOURB

```

```

DO 10 I=1,NJOUR

```

```

X(I)=I/40.

```

```

IF (TRAC(I,J).GT.RM)RM=TRAC(I,J)

```

```

10 CONTINUE

```

```

ECHX=10.

```

```

ECHY=POPY/RM

```

```

CALL I8ENA(NBUF,269,I11)

```

```

NC=1

```

```

CALL PNUMA(0.,0.,NC,0.,0.)

```

BUS  
FILE



```
CALL ECHL(ECHX,ECHY,0.,0.)
```

```
DO 20 J=1,NCUUMB
```

```
XY=PE(J)
```

```
CALL BSLURVEX,TRAL(1,J),NJUUK,1,0,0.,0.,1,1,0.,0.,0.,0.)
```

```
DO 50 I=1,20
```

```
50 CALL NUMBS(IX(I),IY(I),0,NUMBR(I),-1,.1,.1,1.,0.)
```

```
20 CONTINUE
```

```
CALL BSAXLL(0.,0.,X(NJUUK),.1,0.,0.,'EMPS',-5,0,0,1)
```

```
DI=RM/5.
```

```
CALL BSALL(0.,0.,1.,DI,0.,0.,'KAPPUKI C/CL',-12,0,1,1)
```

```
CALL PCARS(0.5,RM*1.05,0,TEXTG,80,.5,.5,1.,0.)
```

```
NC=9444
```

```
CALL PNUMA(0.,0.,NC,0.,0.)
```

```
RETURN
```

```
100 FURMA(110X,14,F0.2,2X,F0.6,15/20A)
```

```
END
```







```

WRITE(IMP,49)
WRITE(IMP,30)A3
49 FORMAT(132('*')/,10X,'SOMME QUOTIENTS CONC-TEMPS*PAS'/,132('*'))
T1=PAS*N
CMOY=A1/T1
WRITE(IMP,59)
WRITE(IMP,30)CMOY
59 FORMAT(132('*')/,10X,'CONCENTRATION MOYENNE'/,132('*'))
WRITE(IMP,69)
B(1)=C(1)
ST(1)=(100*PAS/A1)*B(1)
DO 70 I=2,N
B(I)=C(I)+B(I-1)
P1=(100*PAS/A1)*B(I)
70 ST(I)=P1
69 FORMAT(132('*')/,10X,'TABLEAU ST'/,132('*'))
DO 80 I=1,N
80 WRITE(IMP,10)(ST(I),I=1,N)
K=0
91 K=K+1
P18=ST(K)-50.
IF(P18)91,91,92
92 T50=PAS*((K-1)+(50.-ST(K-1))/(ST(K)-ST(K-1)))
WRITE(IMP,93)
WRITE(IMP,30)T50
93 FORMAT(132('*')/,10X,'VALEUR DE T50'/,132('*'))
K=0
95 K=K+1
P19=ST(K)-84.1
IF(P19)95,95,96
96 T841=PAS*((K-1)+(84.1-ST(K-1))/(ST(K)-ST(K-1)))
WRITE(IMP,97)
WRITE(IMP,30)T841
97 FORMAT(132('*')/,10X,'VALEUR DE T84.1'/,132('*'))
K=0
99 K=K+1
P20=ST(K)-15.9
IF(P20)99,99,100
100 T159=PAS*((K-1)+(15.9-ST(K-1))/(ST(K)-ST(K-1)))
WRITE(IMP,101)
WRITE(IMP,30)T159
101 FORMAT(132('*')/,10X,'VALEUR DE T25.9'/,132('*'))
WRITE(IMP,109)
DO 110 I=1,N
P2=C(I)/A1
110 HT(I)=P2
109 FORMAT(132('*')/,10X,'TABLEAU HT'/,132('*'))
DO 120 I=1,N
120 WRITE(IMP,10)(HT(I),I=1,N)
F(1)=HT(1)
DO 130 I=2,N

```



```

F(I)=HT(I)+F(I-1)
130 P3=F(I)
H1=PAS*P3
WRITE(IMP,129)
WRITE(IMP,30)H1
129 FORMAT(132('*')/,10X,'VALEUR DE H1'/,132('*'))
G(I)=T(I)*HT(I)
DO 140 I=2,N
G(I)=T(I)*HT(I)+G(I-1)
140 P4=G(I)
H2=PAS*P4
WRITE(IMP,139)
WRITE(IMP,30)H2
139 FORMAT(132('*')/,10X,'VALEUR DE H2'/,132('*'))
U(I)=HT(I)/T(I)
DO 150 I=2,N
U(I)=HT(I)/T(I)+U(I-1)
150 P5=U(I)
H3=PAS*P5
WRITE(IMP,149)
WRITE(IMP,30)H3
149 FORMAT(132('*')/,10X,'VALEUR DE H3'/,132('*'))
VM=DIS/TMAX
WRITE(IMP,159)
WRITE(IMP,30)VM
159 FORMAT(132('*')/,10X,'VALEUR DE V*'/,132('*'))
V50=DIS/T50
WRITE(IMP,169)
WRITE(IMP,30)V50
169 FORMAT(132('*')/,10X,'VALEUR DE TV50'/,132('*'))
V31=DIS*A3/A1
WRITE(IMP,179)
WRITE(IMP,30)V31
179 FORMAT(132('*')/,10X,'VALEUR DE V3/1'/,132('*'))
VH31=DIS*H3/H1
WRITE(IMP,189)
WRITE(IMP,30)VH31
189 FORMAT(132('*')/,10X,'VALEUR DE VH3/1'/,132('*'))
VGA=DIS*A1/A2
WRITE(IMP,199)
WRITE(IMP,30)VGA
199 FORMAT(132('*')/,10X,'VALEUR DE VGA'/,132('*'))
VGH=DIS*H1/H2
WRITE(IMP,209)
WRITE(IMP,30)VGH
209 FORMAT(132('*')/,10X,'VALEUR DE VGH'/,132('*'))
TVA=A1/A3
WRITE(IMP,219)
WRITE(IMP,30)TVA
219 FORMAT(132('*')/,10X,'VALEUR DE TVA'/,132('*'))
TVH=H1/H3

```



```

WRITE(IMP,229)
WRITE(IMP,30)TVH
229 FORMAT(132('*'))/,10X,'VALEUR DE TVH'/,132('*'))
TGA=A2/A1
WRITE(IMP,239)
WRITE(IMP,30)TGA
239 FORMAT(132('*'))/,10X,'VALEUR DE TGA'/,132('*'))
TGH=M2/M1
WRITE(IMP,249)
WRITE(IMP,30)TGH
249 FORMAT(132('*'))/,10X,'VALEUR DE TGH'/,132('*'))
P(1)=H1(1)
SH(1)=(100*PAS/H1)*P(1)
DO 250 I=2,N
P(I)=HT(I)+P(I-1)
P6=(100*PAS/H1)*P(I)
250 SH(I)=P6
WRITE(IMP,259)
WRITE(IMP,10)(SH(I),I=1,N)
259 FORMAT(132('*'))/,10X,'TABLEAU SH'/,132('*'))
DO 260 I=1,N
P7=C(I)/CMAX
260 CR(I)=P7
WRITE(IMP,269)
WRITE(IMP,10)(CR(I),I=1,N)
269 FORMAT(132('*'))/,10X,'TABLEAU CONC-REDUITES'/,132('*'))
DO 270 J=1,M
DO 280 I=1,N
P8=T(I)/TC(J)
280 TR(I)=P8
WRITE(IMP,279)
WRITE(IMP,10)(TR(I),I=1,N)
279 FORMAT(132('*'))/,10X,'TABLEAU TEMPS REDUITS'/,132('*'))
270 CONTINUE
DO 290 J=1,M
P9=PAS/TC(J)
290 PASR(J)=P9
WRITE(IMP,289)
WRITE(IMP,10)(PASR(J),J=1,M)
289 FORMAT(132('*'))/,10X,'TABLEAU PAS REDUITS'/,132('*'))
R(1)=CR(1)
DO 300 I=2,N
R(I)=CR(I)+R(I-1)
300 P10=R(I)
R(1)=CR(1)
SR(1)=(100/P10)*R(1)
DO 320 I=2,N
R(I)=CR(I)+R(I-1)
P11=R(I)
P12=100*P11/P10
320 SR(I)=P12

```



```

WRITE(IMP,319)
319 FORMAT(132('*'))/,10X,'TABLEAU SR'/,132('*'))
DO 330 I=1,N
330 WRITE(IMP,10)(SR(I),I=1,N)
K=0
400 K=K+1
P15=ST(K)-50.
IF(P15)400,400,500
500 YT=(ST(K)-ST(K-1))/PAS
WRITE(IMP,401)
WRITE(IMP,30)YT
401 FORMAT(132('*'))/,10X,'VALEUR DE LA PENTE ST'/,132('*'))
K=0
600 K=K+1
P16=SH(K)-50.
IF(P16)600,600,700
700 YH=(SH(K)-SH(K-1))/PAS
WRITE(IMP,601)
WRITE(IMP,30)YH
601 FORMAT(132('*'))/,10X,'VALEUR DE LA PENTE RELATIVE A SH'/,132('*'))
K=0
800 K=K+1
P17=SR(K)-50.
IF(P17)800,800,900
900 CONTINUE
DO 901 J=1,M
P13=(SR(K)-SR(K-1))/PASH(J)
901 YR(J)=P13
WRITE(IMP,902)
WRITE(IMP,10)(YR(J),J=1,M)
902 FORMAT(132('*'))/,10X,'VALEURS DES PENIES SR'/,132('*'))
DO1000 J=1,M
DO 1000 I=1,N
P20=T(I)
P21=TC(J)
P23=P20/P21
1000 TRAC(I,J)=P23
CALL GRAPHE
END

```



```

SUBROUTINE GRAPHE
DIMENSION TEXTIG(20),NBUF(269)
COMMON TRAC(200,20),CR(200),TC(20)
LEC=105
I*P=108
READ(LEC,1000)I,PAPX,PAPY,ITI,TEXTIG
READ(LEC,1010)N,M
K=0.
DO 10 I=1,N
IF(CR(I).GT.RM)RM=CR(I)
10 CONTINUE
OUTPUT RM
ECHX=10.
ECHY=PAPY/RM
OUTPUT ECHY
CALL TDEVA(NBUF,269,ITI)
NC=1
CALL PRUMA(0.,0.,NC,0.,0.)
CALL ECHEL(ECHX,ECHY,0.,0.)
DO 20 J=1,
CALL BSCURV(TRAC(1,J),CR,1,1,0,0.,0.,1,1,0.,0.,0.)
CALL NOMBAS(0.,0.,2,TC(J),2.,1.,1.,0.)
20 CONTINUE
CALL BSAXLL(.,.),2.5,0.10,0.,0.,'TEPS',-5,0,0,1)
ITER=75.
OUTPUT DI
CALL BSAXLL(0.,0.,1.,DI,0.,0.,'RAPPORT C/CC',-12,0,1,1)
CALL PCARS(0.3,K*1.05,0,TEXTIG,80.,3.,5,1.,0.)
C=9999
CALL PRUMA(0.,0.,NC,0.,0.)
RETURN
000 FORMAT(1X,14,F0.2,2X,F0.2,I5/20A4)
010 FORMAT(10X,2I3)
END

```



Programme T E N C Y

```

C      CALCUL DES VALEURS PROPRES DU TENSEUR DES PERMEABILITES
      DIMENSION A(60),B(9),FRQ(20),FP(20),FACT(20),Y(180),P(9),W(9,20),
      1S(9),AA(6),BB(9),YY(180),TETA(6),AC(9),AR(9),RA(9),RR(9),ARR(3),
      1CC(4),PHI(6),DGRAD(20),VGRAD(20),VII(20)
      1,OO(9),FE(4),PE(9),PC(9),OU(9),GA(9)
      1,FF(4),GG(3),HH(4)
      1,FA(3),FK(3),FG(15),ED(15),FF(15),EC(5)
      1,EEF(15),EED(15)
      1,ZZ(3),VV(4)
      1,VVX(20),VVY(20),VVIT(20)
      1,VEF(20),VMAX(20),VX(20),VY(20)
      INTEGR SITUATION(8)
      LEC=105
      INP=108
      READ(LEC,1) N,NGRAD,SITUATION
      READ(LEC,3)(EC(I),I=1,5)
      NW=N
      L=N*3
C      LECTURE DE L AZIMUT DE LA FAMILLE DE CONDUITS CYLINDRIQUES
C      EP=OUVERTURE DES CONDUITS
      READ(LEC,13)(TETA(I),I=1,N),(PHT(I),I=1,N)
C      LECTURE DES PROJECTION X&Y , ANGLE ALPHA SUR CANEVAS DE WULF
      READ(LEC,3)(FRQ(NA),NA=1,N),(EP(NA),NA=1,N)
C      N=NUMBRE DE FAMILLES DE CONDUITS CYLINDRIQUES
C      NOMBRE MAXIMUM AUTORISE: 20 FAMILLES
C      FRQ=FREQUENCE D APPARITION DES CONDUITS
C      DGRAD=DIRECTION DE L'ECOULEMENT
      IF(NGRAD.EQ.0.)GO TO 31
      READ(LEC,24)(DGRAD(K),K=1,NGRAD),(VGRAD(K),K=1,DGRAD)
C      VGRAD=VALEUR DU GRADIENT HYDRAULIQUE
      31 CONTINUE
      K=0
      DO 100 I=1,L,3
      K=K+1
      TETA(K)=TETA(K)*3.1416/180.
      PHI(K)=PHT(K)*3.1416/180.
      A(I)=COS(PHT(K))*COS(TETA(K))
      A(I+1)=-1*COS(PHI(K))*SIN(TETA(K))
      A(I+2)=-1*SIN(PHI(K))
100 CONTINUE
C      LE TABLEAU A CONTIENT LES COMPOSANTES X,Y,Z DE L AZIMUT DE CHAQUE FAMILLE
      IC=0
      CST=2.409F+15
      DO 20 J=1,N
      EPP=EP(J)
      FACT(I)=FRQ(J)*EPP*EPP*EPP*EPP
      DO 20 K=1,3
      KK=K+(J-1)*3
      DO 20 I=1,3
      II=I+(J-1)*3
      IC=IC+1

```



```

      Y(IC)=A(IT)*A(KK)
20 CONTINUE
      M=0
      IC=0
      DO 300 K=1,N
500 IC=IC+1
      M=M+1
      YY(M)=Y(IC)
      L=K*9
      IF(IC.LQ.L) GO TO 400
      GO TO 500
400 CONTINUE
      M=0
      DO 300 I=1,9
      W(I,K)=YY(I)*FACT(K)
300 CONTINUE
      DO 400 I=1,9
      S(I)=0.
      DO 40 J=1,11
40 S(I)=S(I)+W(I,J)
      S(I)=S(I)*CST
400 CONTINUE
      J=0
      REPEAT 50, FOR I=1,4,5,7,8,9
      J=J+1
      AA(J)=S(I)
50 CONTINUE
      J=0
      REPEAT 51, FOR I=1,2,5
      J=J+1
      ZZ(J)=S(I)
1 CONTINUE
      CALL MSPRO(ZZ,VV,2,0,1.E-09)
      WRITE(IMP,17)
      WRITE(IMP,7) SITUATION
      WRITE(IMP,17)
      WRITE(IMP,26)
      WRITE(IMP,27)(FACT(K),K=1,N)
      WRITE(IMP,17)
      CALL MSPRO(AA,BB,3,0,1.E-09)
      WRITE(IMP,4)
      I=0
      REPEAT 60, FOR J=1,3,6
      I=I+1
      AA(I)=AA(J)*1.E-10
60 CONTINUE
      WRITE(IMP,8) (AA(I),I=1,3)
      WRITE(IMP,17)
      CH=AA(1)*AA(2)*AA(3)
      CH=CH**0.3533
      WRITE(IMP,22)CH

```



```

WRITE(IMP,17)
WRITE(IMP,5)
J=0
REPEAT 70, FOR I=1,4,7,2,5,8,3,6,9
J=J+1
DD(J)=BR(I)
70 CONTINUE
WRITE(IMP,9) (DD(J),J=1,9)
WRITE(IMP,17)
M=0
DO 101 T=1,NW
TETA(T)=TETA(T)*180./3.1416
PHI(I)=PHI(I)*180./3.1416
Z=TEIA(I)
P=PHI(I)
WRITE(IMP,17)
WRITE(IMP,14)7,P
P4=FACT(I)*CST*1.E-10
DO 4000 KKKK=1,9
M=M+1
Y(M)=W(KKKK,I)*CST
4000 CONTINUE
WRITE(IMP,18)P4
CH1=P4/CH
WRITE(IMP,17)
WRITE(IMP,23)CH1
IF(NGRAD.FG.0)GOTO35
DO 34 K=1,NGRAD
32 XD=DGRAD(K)*3.1416/180.
XD=COS(XD)*VGRAD(K)
YD=-1.*SIN(XD)*VGRAD(K)
33 CONTINUE
VX(K)=((Y(1)*XD)+(Y(2)*YD))/1.E+10
VY(K)=((Y(4)*XD)+(Y(5)*YD))/1.E+10
VIT(K)=SQRT((VX(K)**2.)+(VY(K)**2.))
VEF(K)=1.274*VIT(K)*(FP(I)**2.)/FACT(I)
VMAX(K)=VEF(K)*2.
VTI=VEF(K)
VITI=VMAX(K)
VKX=VX(K)
VKY=VY(K)
DG=DGRAD(K)
VG=VGRAD(K)
VT=VIT(K)
WRITE(IMP,4004)VKX,VKY
WRITE(IMP,17)
WRITE(IMP,25)DG,VG,VT
WRITE(IMP,4001)DG,VG,VTI
WRITE(IMP,4002)DG,VC,VITI
WRITE(IMP,17)
34 CONTINUE

```



```

WRITE(IMP,25)DG,VC,VT
35 CONTINUE
WRITE(IMP,17)
101 CONTINUE
WRITE(IMP,3000)
ZZ(1)=ZZ(1)/1.E+10
ZZ(3)=ZZ(3)/1.E+10
WRITE(IMP,8000)ZZ(1),ZZ(3)
ZZ(1)=ZZ(1)/CH
ZZ(3)=ZZ(3)/CH
WRITE(IMP,8001)ZZ(1),ZZ(3)
WRITE(IMP,7000)
WRITE(IMP,8002)VV(1),VV(3),VV(2),VV(4)
WRITE(IMP,17)
WRITE(IMP,1990)
WRITE(IMP,17)
DO 4009 KA=1,NGRAD
XD=COS(DGRAD(KA)*3.1416/180.)
YD=-1.*SIN(DGRAD(KA)*3.1416/180.)
VVX(KA)=((S(1)*XD)+(S(2)*YD))/1.E+10
VVY(KA)=((S(4)*XD)+(S(5)*YD))/1.E+10
VVII(KA)=SQRT((VVX(KA)**2.)+(VVY(KA)**2.))
WRITE(IMP,4004)VVX(KA),VVY(KA)
WRITE(IMP,17)
WRITE(IMP,25)DGRAD(KA),VGRAD(KA),VVII(KA)
WRITE(IMP,17)
4009 CONTINUE
EA(3)=-.147*(AA(1)+AA(2)-AA(3))
EA(2)=-.147*(AA(1)+AA(3)-AA(2))
EA(1)=-.147*(AA(3)+AA(2)-AA(1))
IF(EA(1).LT.0.) GOTO 1112
IF(EA(2).LT.0.) GOTO 1112
IF(EA(3).LT.0.) GOTO 1112
GOTO 1111
1112 WRITE(IMP,1114)
DO 9000 J=1,15
EF(J)=0.
ED(J)=0.
9000 CONTINUE
GOTO 1001
1111 CONTINUE
J=0
DO 1000 I=1,2
J=J+1
EW(J)=((EA(I)+EA(I+1))/(EA(1)**2.+(EA(I+1)**2.))**.5
1000 CONTINUE
EW(3)=((EA(1)+EA(3))/(EA(1)**2.+(EA(3)**3.))**.5
K=0
DO 1001 J=1,3
DO 1001 I=1,5
K=K+1

```



```

      EG(K)=EG(I)*EW(J)
      ED(K)=EG(K)*FA(J)
      EF(K)=1./((EG(K)**3.)*(EA(J)**2.))
1001 CONTINUE
      DO 1002 I=1,3
      EA(I)=AA(I)
      EW(I)=(3.1416/(4.*EA(I)))**.5
1002 CONTINUE
      K=0
      DO 1003 J=1,3
      DO 1003 I=1,5
      K=K+1
      EG(K)=EG(I)*EA(J)
      ED(K)=EG(K)*EA(J)
      EF(K)=1./((EG(K)**4.)*(EA(J)**3.))
1003 CONTINUE
      WRITE(IMP,17)
      WRITE(IMP,17)
      WRITE(IMP,1011)
      WRITE(IMP,17)
      WRITE(IMP,1004)
      WRITE(IMP,1005)(DD(1),DD(4),DD(7))
      WRITE(IMP,17)
      WRITE(IMP,1008)
      WRITE(IMP,1010)(EF(I),ED(I),I=1,5)
      WRITE(IMP,17)
      WRITE(IMP,1009)
      WRITE(IMP,1010)(EEF(I),EED(I),I=1,5)
      WRITE(IMP,17)
      WRITE(IMP,1006)
      WRITE(IMP,1005)(DD(2),DD(5),DD(8))
      WRITE(IMP,17)
      WRITE(IMP,1008)
      WRITE(IMP,1010)(EF(I),ED(I),I=6,10)
      WRITE(IMP,17)
      WRITE(IMP,1010)(EEF(I),EED(I),I=6,10)
      WRITE(IMP,1009)
      WRITE(IMP,17)
      WRITE(IMP,1007)
      WRITE(IMP,1005)(DD(3),DD(6),DD(9))
      WRITE(IMP,17)
      WRITE(IMP,1008)
      WRITE(IMP,1010)(EF(I),ED(I),I=11,15)
      WRITE(IMP,17)
      WRITE(IMP,1009)
      WRITE(IMP,1010)(EEF(I),EED(I),I=11,15)
      WRITE(IMP,17)
1004 FORMAT(1X,'*', 'COMPOSANTES*1ER VECTEUR PROPRE',47X,'*')
1005 FORMAT(1X,'*',7X,'X,Y,Z',7X,3(E11.4,10X),'*')
1006 FORMAT(1X,'*', 'COMPOSANTES*2EME VECTEUR PROPRE',46X,'*')
1007 FORMAT(1X,'*', 'COMPOSANTES*3EME VECTEUR PROPRE',46X,'*')

```







Programme T E N F Y

```

C      CALCUL DES VALEURS PROPPES DU TENSEUR DES PERMEABILITES
      DIMENSION A(18),B(9),FRQ(6),EP(6),FACT(6),Y(54),K(9),W(9,6),S(9),A
      1A(6),Rb(9),YY(54),TETA(6),AC(9),AP(9),RA(9),RP(9),APR(3),CC(4),PHI
      2(6),UGRAD(20),VGRAD(20),VTT(20),GAM(6),AZ(6)
      1,DU(9),FE(4),Rb(9),PL(9),OU(9),OA(9)
      1,FA(3),FB(3),FG(15),EP(15),FF(15),EC(5)
      1,FEF(15),FED(15)
      1,ZZ(3),VV(4)
      1,VX(20),VY(20),VMAX(20),VEF(20),VVIT(20),VVX(20),VVY(20)
      1,VTRF(20,18),VTRNP(20,18),VINP(20,18),VTL(20)
      1,ZO(9)
      IMIEGEI SITUATION(8)
      LEC=105
      IMP=108
      READ(LEC,1) N,NGRAD,SITUATION
      READ(LEC,3)(EC(I),I=1,5)
      N=N
      L=N*3
C      LECTURE DE LA DIRECTION ET DU PENDAGE DE LA FAMILLE DE FRACTURE
C      TETA.DIRECTION DE LA COUCHE PAR RAPPORT AU NORD
C      PHI.PENDAGE DE LA COUCHE EN DEGRES
      READ(LEC,13)(TETA(I),I=1,N),(PHI(I),I=1,N),(AZ(I),I=1,N)
C      LECTURE DES PROJECTIONS X&Y, ANGLE ALPHA SUR CANVAS DE NULF
      DATA(P(TB),TB=1,9)/1.,0.,0.,0.,1.,0.,0.,0.,1./
      DATA(RK(IK),IK=1,8)/.001,.010,.033,.1,.2,.3,.4,.5/
C      LECTURE DE LA MATRICE IDENTIF
      READ(LEC,3) (FRQ(MA),MA=1,N),(EP(MA),MA=1,N)
C      NOMBRE DE FAMILLES DE FRACTURES CONDUCTRICES
C      NOMBRE MAXIMUM AUTORISE:6 FAMILLES
C      FRQ=FREQUENCE D'APPARITION DES FRACTURES
C      EP=EPAISSEUR DES FRACTURES
C      UGRAD=DIRECTION DE L'EGOULEMENT
C      VGRAD=VALEUR DU GRADIENT HYDRAULIQUE
      IE(UGRAD.EQ.0.)GO TO 31
      READ(LEC,24)(UGRAD(K),K=1,UGRAD),(VGRAD(K),K=1,UGRAD)
31 CONTINUE
      K=0
      DO 100 I=1,1,3
      K=K+1
      GAM(K)=(3.1416/2.)-(PHI(K)*3.1416/180.)
      A7(K)=A7(K)*3.1416/180.
      A(I)=COS(GAM(K))*COS(AZ(K))
      A(I+1)=-1+COS(GAM(K))*SIN(AZ(K))
      A(I+2)=-1*SIN(GAM(K))
100 CONTINUE
C      LE TABLEAU A CONTIENT LES COMPOSANTES X,Y,Z DE LA NORMALE DE CHAQUE FAMILLE
C      SUCCESSIVE
      IC=0
      DO 20 I=1,N
      EPP=EP(I)
      FACT(J)=FRQ(J)*EPP*EPP*EPP

```



```

      DO 20 K=1,3
      KK=K+(J-1)*3
      DO 20 I=1,3
      IT=I+(J-1)*3
      IC=IC+1
      Y(IC)=A(II)*A(KK)
20  CONTINUE
      M=0
      IC=0
      DO 300 K=1,M
500  IC=IC+1
      n=I+1
      YY(M)=Y(IC)
      L=K*9
      IF(UL.EQ.L) GO TO 400
      GO TO 500
400  CONTINUE
      CALL MRDIF(D,YY,K,3,3)
      M=0
      DO 300 I=1,9
      W(I,K)=R(I)*FACT(K)
300  CONTINUE
L  SOMME DES HAIRICES DE CHAQUE NURALE APRES CORRECTION
      CSI=0.175E+10
      DO 400 I=1,9
      S(I)=0.
      DO 40 J=1,9
40   S(I)=S(I)+W(I,J)
      S(I)=S(I)+CSI
400  CONTINUE
      J=0
      REPEAT 50, FOR I=1,4,5,7,8,9
      J=J+1
      AA(J)=S(I)
50  CONTINUE
      J=0
      REPEAT 51, FOR I=1,2,5
      J=J+1
      ZZ(J)=S(I)
51  CONTINUE
      CALL MSPRO(ZZ,YY,2,0,1.F=06)
      WRITE(IMP,17)
      WRITE(IMP,7) SITUATION
      WRITE(IMP,17)
      WRITE(IMP,2400)
      WRITE(IMP,2500)(FACT(K),K=1,M)
      WRITE(IMP,17)
      CALL MSPRO(AA,BB,3,0,1.F=06)
      WRITE(IMP,17)
      I=0
      REPEAT 60, FOR J=1,3,0

```

```

I=I+1
AA(T)=AA(J)/1.E+05
60 CONTINUE
WRITE(IMP,8) (AA(I),I=1,3)
WRITE(IMP,17)
CH=AA(1)*AA(2)*AA(3)
CH=CH**0.3333
WRITE(IMP,22)CH
WRITE(IMP,17)
WRITE(IMP,5)
J=0
REPEAT 70, FOR I=1,4,7,2,5,8,3,6,9
J=J+1
DD(J)=DR(T)
70 CONTINUE
WRITE(IMP,9) (DD(J),J=1,9)
WRITE(IMP,17)
DO 9050 I=1,4
M=0
WRITE(IMP,17)
Z=A7(T)*180./3.1416
P=PHI(I)
WRITE(IMP,16)I,Z,P
WRITE(IMP,17)
WRITE(IMP,17)
DO 9051 KKK=1,9
N=N+1
Y(N)=W(KKK,I)*CST
9051 CONTINUE
J=0
REPEAT 9052, FOR KK=1,2,5
J=J+1
A(J)=Y(KK)
9052 CONTINUE
CALL M3PR0(A,R0,2,0,1.E-06)
A(1)=A(1)/1.E+05
A(3)=A(3)/1.E+05
WRITE(IMP,9053)
WRITE(IMP,18)A(1),A(3)
A(1)=A(1)/CH
A(3)=A(3)/CH
WRITE(IMP,23)A(1),A(3)
WRITE(IMP,21)
WRITE(IMP,19)R0(1),R0(3),R0(2),R0(4)
WRITE(IMP,17)
TETA(T)=TETA(I)*3.1416/180.
PHI(T)=PHI(I) *3.1416/180.
AC(1)=COS(TETA(I))
AC(2)= SIN(TETA(T))*COS(PHI(T))
AC(3)=SIN(TETA(I))*SIN(PHI(T))
AC(4)=-1*SIN(TETA(I))

```



```

AC(5)=COS(TETA(I))*COS(PHI(I))
AC(6)= SIN(PHI(I))*COS(TETA(I))
AC(7)=0.
AC(8)=-1*SIN(PHI(I))
AC(9)=-1*COS(PHI(I))
CALL MKTRA(AC,RA,3,3)
CALL MKMUL(RA,Y,RR,3,3,3)
WRITE(IMP,9054)
KKK=0
GOTO 9055
9056 CALL MKMUL(RA,S,RR,3,3,3)
KKK=1
WRITE(IMP,9057)
9058 CALL MKMUL(PB,AC,70,3,3,3)
REPEAT 80, FOR M=3,6,7,8,9
ZC(M)=0.
60 CONTINUE
IF(KKK.EQ.1) GOTO 2909
IF (LGRAD.EQ.0.) GOTO 34
DO 34 K=1,NGRAD
AD=DGRAD(K)*3.1416/180.
AD=COS(XD)*VGRAD(K)
YD=-1.*SIN(XD)*VGRAD(K)
33 CONTINUE
VY(K)=((Y(1)*XD)+(Y(2)*YD))/1.E+05
VY(K)=((Y(4)*XD)+(Y(5)*YD))/1.E+05
VIT(K)=SQRT((VX(K)**2.)+(VY(K)**2.))
VEF(K)=VIT(K)*(EP(1)**2.)/FACT(T)
VMAX(K)=VEF(K)*1.5
VTL(K)=(VIT(K)**.57)*.0524/(FACT(T)**.213)
DO 2007 K=1,8
VLRP(K,KN)=VIT(K)/(1.+(8.8*(RR(KN)**1.5)))
VTRNP(K,KN)=.0138*ALOG(1.9/RR(KN))*(VIT(K)**.5)/(EP(1)**.5)
VTRP (K,KN)=.0138*ALOG(3.7/RR(KN))*(VIT(K)**.5)/(EP(1)**.5)
2007 CONTINUE
1999 CONTINUE
IF(T.GT.1) GOTO 34
VVX(K)=((S(1)*AD)+(S(2)*YD))/1.E+05
VVY(K)=((S(4)*XD)+(S(5)*YD))/1.E+05
VVIT(K)=SQRT((VVX(K)**2.)+(VVY(K)**2.))
2000 CONTINUE
34 CONTINUE
J=0
2909 CONTINUE
REPEAT 86, FOR I=1,2,5
J=J+1
ARR(J)=70(I)
86 CONTINUE
CALL MKPRO(ARR,CU,2,0,1.E-06)
I=0
REPEAT 90, FOR J=1,3

```



```

M=M+1
APR(H)=APR(I)/1.L+05
00 CONTINUE
WRITE(IMP,18)(APR(H),M=1,2)
CH1=APR(1)/CH
CH2=APR(2)/CH
WRITE(IMP,23)CH1,CH2
WRITE(IMP,21)
J=0
REPEAT 01, FOR H=1,3,2,4
J=J+1
FE(J)=CC(M)
01 CONTINUE
WRITE(IMP,19)(FE(J),J=1,4)
WRITE(IMP,17)
IF(KKK.EQ.1) GOTO 9050
IF(NGRAD.EQ.0) GOTO 35
WRITE(IMP,17)
WRITE(IMP,17)
WRITE(IMP,17)
WRITE(IMP,1994)
WRITE(IMP,17)
WRITE(IMP,17)
WRITE(IMP,17)
DO 35 K=1,NGRAD
WRITE(IMP,17)
DG=DGRAD(K)
VG=VGRAD(K)
VT=VIT(K)
VIT=VEE(K)
VTIT=VMAX(K)
VKX=VX(K)
VKY=VY(K)
WRITE(IMP,1993) VKX,VKY
WRITE(IMP,17)
WRITE(IMP,25) DG,VG,VT
WRITE(IMP,26) DG,VG,VTIT
WRITE(IMP,27) DG,VG,VTIT
35 CONTINUE
WRITE(IMP,17)
WRITE(IMP,17)
WRITE(IMP,17)
WRITE(IMP,1995)
WRITE(IMP,17)
WRITE(IMP,17)
WRITE(IMP,17)
DO 2015 K=1,NGRAD
WRITE(IMP,17)
VKX=VX(K)
VKY=VY(K)
DG=DGRAD(K)

```



```

VC=VGRAD(K)
VTN=VTL(K)
WRITE(IMP,1093) VKX,VKY
WRITE(IMP,17)
WRITE(IMP,2221)UG,VC,VTN
2015 CONTINUE
WRITE(IMP,17)
WRITE(IMP,17)
WRITE(IMP,17)
WRITE(IMP,1096)
WRITE(IMP,17)
WRITE(IMP,17)
WRITE(IMP,17)
DO 2016 K=1,NGRAD
WRITE(IMP,17)
UG=DGRAD(K)
VC=VGRAD(K)
VKX=VX(K)
VKY=VY(K)
WRITE(IMP,1093)VKY,VKY
WRITE(IMP,17)
DO 2017 KN=1,8
RPT=RP(KN)
VLTN=VLMP(K,KN)
WRITE(IMP,2220)UG,VC,RPT,VLTN
2017 CONTINUE
2016 CONTINUE
WRITE(IMP,17)
WRITE(IMP,17)
WRITE(IMP,17)
WRITE(IMP,1097)
WRITE(IMP,17)
WRITE(IMP,17)
WRITE(IMP,17)
DO 2018 K=1,NGRAD
WRITE(IMP,17)
UG=DGRAD(K)
VC=VGRAD(K)
VKX=VX(K)
VKY=VY(K)
WRITE(IMP,1093)VKY,VKY
WRITE(IMP,17)
DO 2019 KN=1,8
RPT=RP(KN)
VTKN=VTRP(K,KN)
WRITE(IMP,2220)UG,VC,RPT,VTKN
2019 CONTINUE
2018 CONTINUE
WRITE(IMP,17)
WRITE(IMP,17)
WRITE(IMP,17)

```



```

WRITE(IMP,1998)
WRITE(IMP,17)
WRITE(IMP,17)
WRITE(IMP,17)
DO 2020 K=1,NGRAD
WRITE(IMP,17)
UG=DGRAD(K)
VG=VGRAD(K)
VKX=VX(K)
VKY=VY(K)
WRITE(IMP,1993) VKX,VKY
WRITE(IMP,17)
DO 2021 KN=1,8
RPT=RP(KN)
VTR=VTRP(K,KN)
WRITE(IMP,2220)UG,VG,PRT,VTR
2021 CONTINUE
2020 CONTINUE
IF(KKK.EQ.0) GOTO 9056
9050 CONTINUE
WRITE(IMP,3000)
ZZ(1)=Z(1)/1.E+05
ZZ(3)=Z(3)/1.E+05
WRITE(IMP,18)ZZ(1),ZZ(3)
ZZ(1)=ZZ(1)/CH
ZZ(3)=ZZ(3)/CH
WRITE(IMP,23)ZZ(1),ZZ(3)
WRITE(IMP,21)
WRITE(IMP,19)VV(1),VV(3),VV(2),VV(4)
WRITE(IMP,17)
WRITE(IMP,17)
WRITE(IMP,17)
WRITE(IMP,1990)
WRITE(IMP,17)
WRITE(IMP,17)
WRITE(IMP,17)
DO 1991 K=1,NGRAD
UG=DGRAD(K)
VG=VGRAD(K)
VKX=VX(K)
VKY=VY(K)
VTV=VVT(K)
WRITE(IMP,1993) VKX,VKY
WRITE(IMP,25)UG,VG,VTV
1991 CONTINUE
EA(3)=(AA(1)+AA(2)-AA(3))/2.
EA(2)=(AA(1)+AA(3)-AA(2))/2.
EA(1)=(AA(3)+AA(2)-AA(1))/2.
DO 1111 I=1,3
IF(EA(I).LT.0.) GOTO 1112
IF(EA(2).LT.0.) GOTO 1112

```



```

      IF(EA(3).LT.0.) GOTO1112
      GOTO1111
1112  WRITE(IMP,1114)
      DO 9000 J=1,15
      LD(J)=0.
      LF(J)=0.
9000  CONTINUE
      GOTO 1001
1111  CONTINUE
      J=0
      DO 1000 I=1,2
      J=J+1
      EM(I)=(EA(I)+EA(I+1))/(EA(I)**2.+EA(I+1)**2.))**.5
1000  CONTINUE
      EM(3)=(EA(1)+EA(3))/(EA(1)**2.+EA(3)**3.))**.5
      K=0
      DO 1001 J=1,3
      DO 1001 I=1,5
      K=K+1
      EG(K)=EC(I)*EM(J)
      ED(K)=EG(K)*FA(J)
      EF(K)=1./((EG(K)**3.)*(FA(J)**2.))
1001  CONTINUE
      DO 1002 I=1,3
      EA(I)=AA(I)*10.60/3.1416
      EM(I)=(3.1416/(4.*EA(I)))**.5
1002  CONTINUE
      K=0
      DO 1003 J=1,3
      DO 1003 I=1,5
      K=K+1
      EG(K)=EC(I)*EM(J)
      FED(K)=EG(K)*FA(J)
      EFF(K)=1./((EG(K)**4.)*(EA(I)**3.))
1003  CONTINUE
      WRITE(IMP,17)
      WRITE(IMP,17)
      WRITE(IMP,1011)
      WRITE(IMP,17)
      WRITE(IMP,1004)
      WRITE(IMP,1005) (LD(1),LD(4),LD(7))
      WRITE(IMP,17)
      WRITE(IMP,1008)
      WRITE(IMP,1010) (EF(I),ED(I),I=1,5)
      WRITE(IMP,17)
      WRITE(IMP,1009)
      WRITE(IMP,1010) (EFF(I),FED(I),I=1,5)
      WRITE(IMP,17)
      WRITE(IMP,1006)
      WRITE(IMP,1005) (LD(2),LD(5),LD(8))
      WRITE(IMP,17)

```



```

WRITE(IMP,1008)
WRITE(IMP,1010)(EF(I),ED(I),I=6,10)
WRITE(IMP,17)
WRITE(IMP,1009)
WRITE(IMP,1010)(EEF(I),EED(I),I=6,10)
WRITE(IMP,17)
WRITE(IMP,1007)
WRITE(IMP,1005)(UD(3),UD(6),UD(9))
WRITE(IMP,17)
WRITE(IMP,1008)
WRITE(IMP,1010)(EF(I),ED(I),I=11,15)
WRITE(IMP,17)
WRITE(IMP,1009)
WRITE(IMP,1010)(EEF(I),EED(I),I=11,15)
WRITE(IMP,17)
1993 FORMAT(1X,'*', 'DIRECTION VITESSE', 'X=', F11.4, 1X, 'Y=', F11.4, 22X, '*
1')
1994 FORMAT(1X,'*', 'REGIME LAMINAIRE PARALLELE', 51X, '*')
1995 FORMAT(1X,'*', 'REGIME TURBULENT HYDRAULIQUEMENT LISSE', 39X, '*')
1996 FORMAT(1X,'*', 'REGIME LAMINAIRE NON PARALLELE', 47X, '*')
1997 FORMAT(1X,'*', 'REGIME TURBULENT, RUGUEUX, NON PARALLELE', 39X, '*')
1998 FORMAT(1X,'*', 'REGIME TURBULENT, RUGUEUX, PARALLELE', 43X, '*')
1999 FORMAT(1X,'*', 'VITESSE MOYENNE RESULTANTE EN REGIME LAMINAIRE PARA
1LLE', 21X, '*')
25  FORMAT(1X,'*', 'GRADIENT HYDRAULIQUE N', F5.1, 1X, 'VALEUR', F8.4, 'DONN
1E UNE VITESSE MOY', 1X, E9.3, 'M/S*')
26  FORMAT(1X,'*', 'GRADIENT HYDRAULIQUE N', F5.1, 1X, 'VALEUR', F8.4, 'DONN
1E UNE VITESSE EFF', 1X, E9.3, 'M/S*')
27  FORMAT(1X,'*', 'GRADIENT HYDRAULIQUE N', F5.1, 1X, 'VALEUR', F8.4, 'DONN
1E UNE VITESSE MAX', 1X, E9.3, 'M/S*')
2220 FORMAT(1X,'*', 'GRADIENT U', F5.1, 1X, 'VALEUR', F8.4, 1X, 'POUSITE RELA
1TIVE', F5.3, 1X, 'V=', E9.3, 1X, 'M/S', 8X, '*')
2221 FORMAT(1X,'*', 'GRADIENT HYDRAULIQUE N', F5.1, 1X, 'VALEUR', F9.5, 'DONN
1E UNE VITESSE DE', 1X, E9.3, 'M/S*')
9053 FORMAT(1X,'*', 'REPRESENTATION DU TENSEUR ELEMENTAIRE DANS LE PLAN
1NORD-OUEST', 16X, '*')
9054 FORMAT(1X,'*', 'REPRESENTATION DU TENSEUR ELEMENTAIRE DANS LE PLAN
1DE FRACTURE', 15X, '*')
9057 FORMAT(1X,'*', 'REPRESENTATION DU TENSEUR GLOBAL DANS LE PLAN DE FR
1ACTURE', 20X, '*')
3000 FORMAT(1X,'*', 'REPRESENTATION DU TENSEUR GLOBAL DANS LE PLAN NORD-
1OUEST', 22X, '*')
1000 FORMAT(1X,'*', 'COMPOSANTES*1ER VECTEUR PROPRE', 47X, '*')
1005 FORMAT(1X,'*', 7X, 'X, Y, Z', 2X, 3(E11.4, 10X), '*')
1006 FORMAT(1X,'*', 'COMPOSANTES*2EME VECTEUR PROPRE', 46X, '*')
1007 FORMAT(1X,'*', 'COMPOSANTES*3EME VECTEUR PROPRE', 46X, '*')
1008 FORMAT(1X,'*', 'FREQUENCES(1/L) ET OUVERTURES(L) DES FISSURES', 32X,
1'*)
1010 FORMAT(2(1X,'*', 10X, E11.4, 16X, '*'))
1009 FORMAT(1X,'*', 'FREQUENCES(1/L*L) ET OUVERTURES(L) DES CONDUITS', 30
1X, '*')

```



```

1011 FORMAT(1X,'*',9Y,'MILIFEX EQUIVALENTS',49Y,'*')
1114 FORMAT(1X,'*',1X,'IL N'EXISTE PAS DE MILIFEX FISSURE EQUIVALENT',
1X,'*')
1 FORMAT(2X,12,2X,12,8A4)
2 FORMAT(12F6.2)
3 FORMAT(10(F8.4))
4 FORMAT(1X,'*', 'VALEURS PROPRES DU TENSEUR DE PERMEABILITE /S',31
1,'*')
5 FORMAT(1X,'*', 'COMPOSANTES*1ER VECTEUR PROPRE*2EME VECTEUR PROPRE
13EME VECTEUR PROPRE*',6X,'*')
6 FORMAT(9F2.0)
7 FORMAT(1X,'*',8A4,45X,'*',/,1Y,79('*'))
8 FORMAT(1X,'*', 'K1=',E11.4,1X,'*', 'K2=',E11.4,1X,'*', 'K3=',E11.4,3
1X,'*')
9 FORMAT(1X,'*',9Y,'A',4X,3(E11.4,10X),'*',/,1X,'*',9Y,'Y',4X,3(E11.
14,10X),'*',/,1X,'*',9Y,'Z',4X,3(E11.4,10X),'*')
2400 FORMAT(1X,'*', 'PRODUIT DE LA FREQUENCE PAR LE CUBE DE L'EPaisseur
1',27X,'*')
2500 FORMAT(1X,'*',6(E11.4,1X),5X,'*')
13 FORMAT(12F5.1)
14 FORMAT(1X,'*', 'VALEURS PROPRES APRES ROTATION DANS LA FAMILLE DE F
1RACTUPE',19X,'*')
15 FORMAT(1X,'*', 'VECTEURS PROPRES APRES ROTATION DANS LE PLAN DE LA
1FAMILLE DE FRACTUPE',7X,'*')
16 FORMAT(1X,'*', 'FAMILLE NUMERO',2X,11,5X,'D/AZIMUT',11Y,F5.1,2X,'E1
1 DE PENDAGE',2X,F5.1,9X,'*')
17 FORMAT(1X,79('*'))
18 FORMAT(1X,'*', 'K1=',E11.4,1X,'*', 'K2=',E11.4,47X,'*')
19 FORMAT(1X,'*',9X,'A',4X,2(E11.4,10X),21X,'*',/,1X,'*',9X,'Y',4X,2(
1E11.4,10X),21X,'*')
21 FORMAT(1X,'*', 'COMPOSANTES*1ER VECTEUR PROPRE*2EME VECTEUR PROPRE*
1',26X,'*')
22 FORMAT(1X,'*VALEUR GLOBALE DE LA CONDUCTIVITE HYDRAULIQUE K=',3X,F
111.4,15X,'*')
23 FORMAT(1X,'*K1=',E9.4,2X,'K',4X,'K2=',E9.4,2X,'K',43X,'*')
24 FORMAT(81F9.5)

```

